

PROGNOSMETODER

KJELL CASENBERG
ERIK SANDBERG

RE-139 april 1974
Inst.för Reglerteknik
Lunds Tekniska Högskola

PROGNOSMETODER

Examensarbete vid Institutionen för Reglerteknik
vid Lunds Tekniska Högskola.

Författare:

Kjell Casenberg

Erik Sandberg

Handledare:

Jan Holst

Abstract.

In this master thesis we have studied five different prediction methods on three different dataseries in order to get some insight into the properties of the different methods.

The best forecasting results are given by methods which are adaptive and which take into consideration special a priori features e.g. trends in the data, such as general exponential smoothing and the heuristic method.

Sammanfattning.

I detta examensarbete har vi studerat fem olika prediktionsmetoder på tre olika dataserier, för att få en inblick i de olika metodernas egenskaper.

De bästa prediktionsresultaten ges av metoder som är adaptiva och som tar hänsyn till speciella apriori drag t.ex. trender, såsom generell exponentiell utjämning och heuristiska metoden.

INNEHÅLLSFÖRTECKNING

1.	INLEDNING	1
2.	LITTERATURSTUDIER	2
3.	METODBESKRIVNING	4
3.1.	Heuristisk metod	4
3.2.	Glidande medelvärde	5
3.3.	Generell exponentiell utjämning	6
3.3.1.	Enkel exponentiell utjämning	12
3.4.	Minimalvariansprediktion	13
3.4.1.	Minimalvariansprediktion med kända delen fråndragen	14
4.	PRESENTATION AV DATA	15
4.1.	Genererade data	15
4.1.1.	Trenddata (DAT1)	15
4.1.2.	Svängningsdata (DAT2)	15
4.2.	Verkliga data	18
4.2.1.	Företagsdata	18
4.2.2.	Flygdata	18
4.2.3.	Skogsdata	18
5.	PREDIKTIONSRISULTAT MED HEURISTISK METOD	25
5.1.	Flygdata	25
5.2.	Företagsdata	39
5.3.	Kommentar till heuristiska metoden	51
6.	VAL AV METOD ATT VÄLJA A-PARAMETRAR TILL GENERELL EXPONENTIELL UTJÄMNING	52
6.1.	Trenddata	52
6.2.	Svängningsdata	56
6.3.	Metod för att bestämma parametrar i modellen	60
7.	PREDIKTIONSRISULTAT MED GENERELL EXPONENTIELL UTJÄMNING	70
7.1.	Företagsdata	70
7.1.1.	Okorrigerade företagsdata	70
7.1.2.	Korrigerade företagsdata	81
7.1.3.	Problem med generell exponentiell utjämning på företagsdata	83
7.2.	Flygdata	90
7.3.	Skogsdata	100

8.	PREDIKTIONSRISULTAT MED MINIMALVARIANS- PREDIKTION DÅ KÄND DEL ÄR FRÄNDRAGEN	107
8.1.	Flygdata	107
8.2.	Test av hur komplex den kända delen skall vara	114
9.	SAMMANFATTNING AV PREDIKTIONSRISULTATET FÖR DE OLIKA DATASERIERNÄ	131
9.1.	Företagsdata	131
9.2.	Flygdata	133
9.3.	Skogsdata	135
9.4.	Kommentar	136
	REFERENSER	

APPENDIX A1 - A7 PROGRAMLISTNINGAR

Appendix A1	GENE
Appendix A2	MINKO
Appendix A3	ALBER
Appendix A4	GEXP
Appendix A5	SKATT
Appendix A6	RITA
Appendix A7	MILDAT

Appendix A8	Sammanfattning av ML-metoden
-------------	------------------------------

1. INLEDNING

När man skall bestämma sina handlingsalternativ inför framtiden, vill man ha en uppfattning om hur denna **framtid ser ut**. För detta används prognoser.

Allmänt kan sägas att prognoser skall avvika så lite ifrån det verkliga utfallet, att kostnaden för en ytterligare förfining av prognosmetoden ej skulle uppvägas av kostnadsbesparingarna p.g.a. höjningen av precisionen. För en prognosmetod kan följande villkor uppställas:

1. Stabilitet gentemot icke **modellerade slumpfluktuationer**.
2. Snabbt svar på systematiska förändringar.
3. Litet prognosfel.
4. Låg prognoskostnad.

Liksom de flesta målsättningar är dessa stridande mot varandra, ty t.ex. snabbt reagerande prognosmetoder reagerar **även** för slumpfluktuationer. Det bästa sättet att finna en lämplig avvägning av de fyra kriterierna, är en testning av olika metoder på historiska data. Ett problem är att ta hänsyn till systematiska variationer såsom **konjunktur- och säsongssvängningar**.

Målet med vårt examensarbete var att bestämma lämpliga prognosmetoder för tre dataserier med olika utseende.

Examensarbetet är en fortsättning på den obligatoriska uppgiften, som ingår i Systemteknik vid institutionen för Reglerteknik vid Lunds Tekniska Högskola / 2 /.

Uppläggningsen av redovisningen är följande:

Först ges en kortfattad redovisning av litteraturstudier. I kapitel 3 redovisas olika prognosmetoder och därefter följer i kapitel 4 en presentation av de olika dataserierna vi använt. De olika prognosmetoderna testas i kapitel 5 - 8. Därefter följer **resultatsammanställning**.

Den numeriska undersökningen har huvudsakligen utförts med hjälp av datorerna UNIVAC-1108, vid Lunds Datacentral, och PDP-15, vid institutionen för Reglerteknik vid Lunds Tekniska Högskola.

2. LITTERATURSTUDIER

Avsikten med litteraturstudierna var att få en överblick av de prognosmetoder som finns och att för oss finna nya prognosmetoder, som vi kunde ha användning för.

Härvid genomgicks större delen av följande publikationer publicerade under tiden januari 1971 - mars 1973:

1. IEEE Transactions on Education.
2. IEEE Transactions on Ind. Applications.
3. IEEE Transactions on Automatic Control.
4. IEEE Transactions on Information Theory.
5. Automatica (IFAC).
6. International Journal of Control.
7. Automation and Remote Control.
8. Computer and Control Abstracts.

Följande artiklar ansågs intressanta:

- A. "Quantitative Expert Estimation (QEE) in Short-Range Prediction".
(Ur 7, 15 jan. 1973).
En metod som korrigerar prognoser gjorda av experter mot deras tidigare skattningar och det verkliga utfallet.
- B. "Real Time Recursive Prediction of River Flows".
(Ur 5, mars 1973).
I stort sett minimalvarians prediktion för prognostisering av översvämningar hos floder.
- C. "An Iterative Linear Prediction Method".
(Ur 8, 1971:224).
Publiserat av Z. Angew. Math. U. Mech. (Germany), vol. 50, n:o 8, p. 445-54 (aug. 1970).
Den asymptotiska konvergensen av den optimala linjära prediktorn undersöks, där prediktorn är en linjär kombination av observerade värden.
- D. "A Survey of Statistical Forecasting Techniques with Empirical Comparisons".
(Ur 8, 1971:15688).

Redovisning av Colloquim on statistical model building, prediction and control, London, England, 30 April 1971.

En överblick av olika metoder för prediktion.

Av metoderna i ovanstående artiklar har endast minimalvarians prediktion studerats och teorin till detta har tagits från K.J. Åströms bok [Introduction to Stochastic Control Theory / 3 /.

Redovisning av föreläsning

3. METODBESKRIVNING

3.1 Heuristisk metod

Om historiska data uppvisar säsongsmässiga likheter år från år, kan en av nedanstående redovisade metoder användas.

1. Metoden bygger på att en månads andel av säsongsvärdet (årsvärdet) antages ej förändras från aktuell tidpunkt till predikterad tidpunkt. Säsongsvärdet predikteras med enkel exponentiell utjämning, som därefter **multiplieras** med andelen av säsongsvärdet för att få aktuell prediktion. Eventuell trend förändrages, men inget värde får därvid bli negativt. Om detta skulle vara fallet kan till alla data en konstant term adderas, som efter prediktionen dras ifrån.
2. Denna metod tillgår på samma sätt som ovanstående metod, men trenden dras ej ifrån.

Metoden enligt punkt 1 har använts för att prediktera Flygdata och metoden enligt punkt 2 för Företagsdata.

Då den heuristiska metoden behöver värdet över en säsong för att göra en prediktion, är första predikterade värdet säsongens längd plus prediktionsstegets längd.

Utseendet av dataprogrammet SKATT framgår av appendix A5.

3.2 Glidande medelvärde

Glidande medelvärde är en metod som kan användas då efterfrågan är jämn. För att erhålla värdet för nästkommande period, tar man medelvärdet av ett antal perioder just före den period man önskar prediktera. Om man sätter P_i till predikterat värde, där i betecknar tidpunkten, och låter S_i utgöra de gamla periodernas värden, erhåller man den önskade prediktionen genom formeln:

$$P_{i+k} = \frac{S_i + S_{i-1} + \dots + S_{i-N+1}}{N}$$

där N betecknar antalet medtagna värden.

Metoden är ganska trög och tar inte hänsyn till regelbundna variationer. En ytterligare nackdel med metoden är att ingen viktning av de gamla värdena sker.

Utförligare beskrivning av metoden finns i / 2 /.

Data härrörande från denna metod är framtagna vid projektarbetet / 2 /.

3.3 Generell exponentiell utjämning

Antag att våra data kan beskrivas som en linjär kombination av en serie funktioner, $f_i(t)$, härefter kallade anpassningsfunktioner. Vi antar att de kan representeras med följande modell:

$$x(t) = a_1 \cdot f_1(t) + a_2 \cdot f_2(t) + \dots + a_n \cdot f_n(t) + e(t) = \\ = \sum_{i=1}^n a_i \cdot f_i(t) + e(t)$$

där $e(t)$ är en normalfördelad stokastisk process med medelvärdet noll.

Om man inte känner a -parametrarna kan man skatta dessa rekursivt och får dem då som funktioner av tiden. Prediktionen blir då

$$\hat{x}(t + \tau) = \hat{a}_1(t) \cdot f_1(t + \tau) + \hat{a}_2(t) \cdot f_2(t + \tau) + \dots + \\ + \hat{a}_n(t) \cdot f_n(t + \tau) = \sum_{i=1}^n \hat{a}_i(t) f_i(t + \tau)$$

Bestämning av a -parametrarna, $\hat{a}_i(t)$, gör vi genom att minimera funktionen (Jämför Minsta Kvadrat Minimering):

$$\sum_{j=1}^t \beta^j \cdot (x(t - j) - \sum_{i=1}^n \hat{a}_i(t) \cdot f_i(t - j))^2$$

Detta förfaringsätt fodrar att en mängd data, och en mängd uppsättningar anpassningsfunktioner, $f_i(t)$, måste lagras. För att komma ifrån detta är man intresserad av anpassningsfunktioner som kan translateras i tiden.

Vektorn av sådana anpassningsfunktionsvärden måste kunna anges som en linjär kombination av värden för samma funktioner vid den tidigare tidpunkten t .

Detta betyder att det finns en uppsättning koefficienter L_{ij} som inte beror av tiden, sådan att

$$f_1(t + 1) = L_{11} \cdot f_1(t) + L_{12} \cdot f_2(t) + \dots + L_{1n} \cdot f_n(t) \\ f_2(t + 1) = L_{21} \cdot f_1(t) + L_{22} \cdot f_2(t) + \dots + L_{2n} \cdot f_n(t) \\ \cdot \quad \quad \quad \cdot \quad \quad \quad \cdot \quad \quad \quad \cdot \quad \quad \quad \cdot \quad \quad \quad \cdot \\ \cdot \quad \quad \quad \cdot \quad \quad \quad \cdot \quad \quad \quad \cdot \quad \quad \quad \cdot \quad \quad \quad \cdot \\ f_n(t + 1) = L_{n1} \cdot f_1(t) + L_{n2} \cdot f_2(t) + \dots + L_{nn} \cdot f_n(t)$$

Vi skall representera dessa koefficienter med transformationsmatrisen L , så att $f(t + 1) = Lf(t)$. Transformationsmatrisen L är i allmänhet inte symmetrisk, men den måste ha en invers L^{-1} . Den enda uppsättning av funktioner för vilken en sådan transformationsmatris existerar är polynom-, exponential- och trigonometriska funktioner. Dessa funktioner är lösningar till linjära differensekvationer.

Dessa transformationsmatriser kan bestämmas efter undersökning av typen av funktioner som används i modellen. I samband med transformationsmatrisen behöver vi också specificera anpassningsfunktionernas värde vid tiden $t = 0 : f(0)$. Från en vektor och matrisen kan vi erhålla funktionens värde, vid vilken tidpunkt som helst, $f(t) = L^t \cdot f(0)$.

För olika funktionstyper finns L -matrisen redovisad i / 1 / på sidorna 165 - 168.

Härledning av generell exponentiell utjämning med fix transformationsmatris.(Ur / 1 /)

En sekvens av observationer $\{x(t)\} = (x(1), x(2), \dots, x(t))$ fås från någon process $\xi(t)$ påverkad av ett brus $e(t)$, $x(t) = \xi(t) + e(t)$. Processen kan beskrivas lokalt av

$$\xi(t + \tau) = \hat{a}^T(t) f(\tau)$$

där vi känner

$$f(\tau) = \begin{bmatrix} f_1(\tau) \\ f_2(\tau) \\ \cdot \\ \cdot \\ f_n(\tau) \end{bmatrix}$$

Problemet är att skatta parametrarna $a(t)$, vilka förändras genom $a(t) = L^T a(t - 1)$ och dessutom förändras de med små slumpvisa be-
lopp efter hand. Därför är vid någon tid kvadratfelet viktat och koefficienterna, $a(t)$, beräknas för att minimera

$$\sum_{j=0}^t \beta^j \cdot \underbrace{(x(t - j) - a^T(t) \cdot f(-j))}_\text{utfallet}^2$$

β = viktfaktor

lösning av detta problem innehåller en matris av viktade anpassningsfunktioner.

$$F(t) = \sum_{j=0}^t \beta^j \cdot f(-j) \cdot f^T(-j) = F(t-1) + \beta^t \cdot f(-t) \cdot f^T(-t)$$

och en datavektor

$$g(t) = \sum_{j=0}^t \beta^j \cdot x(t-j) \cdot f(-j) = x(t) \cdot f(0) + \beta \cdot L^{-1} \cdot g(t-1) \quad (1)$$

där L är transformationsmatrisen som genererar succesiva värden av anpassningsfunktionerna, $f(t) = L \cdot f(t-1)$. Minimum av summan av viktade kvadratfelet erhålles när

$$F(t) \cdot \hat{a}(t) = g(t) \quad (2)$$

och eftersom alla "hyggliga" uppsättningar av viktade anpassningsfunktioner, $F(t)$, har en invers $F^{-1}(t)$ är parametrarna

$$\hat{a}(t) = F^{-1}(t) \cdot g(t)$$

Om anpassningsfunktionerna inte avklingar för snabbt

$$f_i(t) < \beta^{-t/2}$$

när matrisen F ett stabilt tillstånd

$$F = F(\infty) = \sum_{j=0}^{\infty} \beta^j \cdot f(-j) \cdot f^T(-j)$$

Genom att kombinera ekvationerna 1 och 2 fås

$$F(t) \cdot \hat{a}(t) = x(t) \cdot f(0) + \beta \cdot L^{-1} \cdot F(t-1) \cdot \hat{a}(t-1)$$

men då $F(t)$ nått stabilt tillstånd $F(\infty) = F$ erhålles

$$F \cdot a(t) = x(t) \cdot f(0) + \beta \cdot L^{-1} \cdot F \cdot \hat{a}(t-1)$$

Multiplitera från vänster med inversen F^{-1}

$$\hat{a}(t) = x(t) \cdot F^{-1} \cdot f(0) + \beta \cdot F^{-1} \cdot L^{-1} \cdot F \cdot \hat{a}(t-1)$$

där $F^{-1} \cdot f(0) = h$ och $F^{-1} \cdot L^{-1} \cdot F = H$ ej beror av tiden. Då kan ekvationen skrivas

$$\hat{a}(t) = h \cdot x(t) + H \cdot \hat{a}(t-1)$$

Sålunda definieras de aktuella värdena av parametrarna i termer

av en vektor h , av konstanter som inte beror av tiden, multiplicerat med den aktuella observationen och en matris H , som inte heller beror av tiden, multiplicerat med den senaste vektorn av parametrar. Vi skall visa att

$$H = L^T - h \cdot f^T(t)$$

Angrip först matrisen $L^{-1} \cdot F$. Multiplicera definitionen av F -matrisen från höger med $L^T \cdot L^T$.

$$\begin{aligned} L^{-1} \cdot F \cdot L^T \cdot L^T &= \sum_{j=0}^{\infty} \beta^j \cdot (L^{-1} \cdot f(-j)) \cdot (L^{-1} \cdot f(-j))^T \cdot L^T = \\ &= \frac{1}{\beta} (F - f(0) \cdot f^T(0)) \cdot L^T \end{aligned}$$

Eftersom

$$H = \beta \cdot F^{-1} \cdot L^{-1} \cdot F = (I - F^{-1} \cdot f(0) \cdot f^T(0)) \cdot L^T$$

men vi definierade vektorn $h = F^{-1} f(0)$ så

$$H = L^T - h (L \cdot f(0))^T = L^T - h \cdot f^T(1)$$

Nu kan vi skriva

$$\begin{aligned} \hat{a}(t) &= h \cdot x(t) + H \cdot \hat{a}(t-1) = h \cdot x(t) + L^T \cdot \hat{a}(t-1) - h \cdot f^T(1) \cdot \\ &\quad \cdot \hat{a}(t-1) \end{aligned}$$

Men eftersom $f^T(1) \cdot \hat{a}(t-1) = \hat{x}_1(t-1)$ är prediktionen av vad observationen vid tiden t skulle vara, om den grundades på data vid tiden $t-1$ är

$$\hat{a}(t) = L^T \cdot \hat{a}(t-1) + h \cdot (x(t) - \hat{x}_1(t-1))$$

Ekvationen visar att parametrarna förändras vid varje samplingsintervall beroende av 1) förändringar i tiden och 2) fel i skattningen av vad nästa observation kommer att bli.

Således blir prediktionen,

$$\hat{x}(t) = \hat{a}^T(t) \cdot f(t)$$

Tillvägagångssätt vid prediktering med generell exponentiell
utjämnning.

För att klara av uppdateringen av a-parametrarna och för att göra prediktionen har vi skrivit ett dataprogram. Detta program har kallats GEXP (Se Appendix A4). I detta program fodras ett antal speciella ingångsparametrar, L-matrisen, $\hat{a}(t)$:s startvärden och de fixa anpassningsfunktionerna f. Därför har vi gått tillväga på följande sätt.

A. För att identifiera några av de fix anpassningsfunktionerna söker man efter eventuell trend i historiska data. Detta kan ske med hjälp av programmet IDPAC / 2 /. Denna trend kan vara av varierande ordning. Antalet anpassningsfunktioner som trenden bidrar med är lika med trendens ordning. Om ordningen är ett blir $f_1(t) = 1$ och om ordningen är två blir $f_1(t) = 1$ och $f_2(t) = t$ o.s.v..

B. Då trenden enligt A är frändragen kan vissa systematiska variationer återstå t.ex. periodicitet. För att få en fingervisning om periodens eller periodernas längd beräknas kovariansfunktionen för residualerna m.h.a. RESID i IDPAC / 2 /. Om periodens längd skulle vara 12 månader skall f-vektorn utökas med $f_i(t) = \sin(2\pi t/12)$ och $f_{i+1}(t) = \cos(2\pi t/12)$. Om flera perioder förekommer läggs dessa till på samma sätt som ovan.

C. Startvärdena för parametrarna $a(t)$ kan väljas på olika sätt. T.ex. kan

1) Vid prediktering av genererade data för att bestämma hur vi skall välja a-parametrarna till GEXP. Antalet parametrar väljes lika med antalet anpassningsfunktioner i f-vektorn, bestämda under punkt A. —

a) — och deras värden väljes så att funktionen $\sum_{j=0}^t (x(j) - a^T f(j))^2$ minimeras. Detta görs m.h.a. programmet MINKO (Se Appendix A2).

b) — och deras värden sättes lika med noll.

c) — minus ett och deras värden enligt a).

- d) - minus ett och deras värden sättes lika med noll.
- e) - plus ett och deras värden enligt a) och den tillagda parametern sättes lika med noll.
- f) - plus ett och deras värden sättes lika med noll.

Då a-parametrarna minskas med en innebär detta att den mest komplexa parametern tas bort. Detta betyder att om endast en trend förekommer så tas termen med högst ordning bort, men om svängningar ingår så försvinner den sist redovisade svängningen, d.v.s. både sinus- och cosinustermen för denna svängning tas ej med.

Då a-parametrarna ökas med en betyder detta, om endast en trend förekommer så läggs en term till vars komplexitet är av näst högre ordning. (t.ex. om anpassningsfunktionen har utseendet $f_1(t) = 1$, $f_2(t) = t$ och $f_3(t) = t \cdot (t - 1)/2$ så har den tillagda termen utseendet $f_4(t) = t \cdot (t - 1) \cdot (t - 2)/2 \cdot 3$), om även svängningar ingår så får de nya termerna en svängningsperiod som är dubbelt så stor som den sist medtagna svängningen (t.ex. om anpassningsfunktionerna har utseendet $f_1(t) = 1$, $f_2(t) = t$, $f_3(t) = \sin(2\pi t/12)$ och $f_4(t) = \cos(2\pi t/12)$ så blir de nya termerna $f_5(t) = \sin(2\pi t/24)$ och $f_6(t) = \cos(2\pi t/24)$).

- 2) Vid prediktering av Företagsdata, Flygdata och Skogsdata väljes a-parametrarna enligt (Se kap. 6).

D. Den vektor, f , av anpassningsfunktioner som tagits fram i A och B bestämmer transformationsmatrisen L 's utseende. Om f -vektorn har n komponenter blir L -matrisens storlek $n \times n$. L -matrisens utseende för olika anpassningsfunktioner framgår i / 1 / sidorna 165 - 168.

E. För att kunna läsa in data, L -matrisen och a-parametrarna i programmet GEXP måste de omstruktureras. Detta görs m.h.a. programmet ALBER (Se Appendix A3).

F. Valet av utjämningsfaktorn β , sker genom simulering på historiska data ($0 \leq \beta \leq 1$).

3.3.1 Enkel exponentiell utjämning

En förenklad form av generell exponentiell utjämning är enkel exponentiell utjämning.

Om prediktionen för tiden i blev P_i men det verkliga utfallet S_i så fås prognosfelet $\Delta_i = S_i - P_i$. Till skillnad från glidande medelvärde vill man med denna metod ta hänsyn till prognosfelet vid nästkommande prediktion. Prognosen blir för nästa period

$$P_{i+1} = P_i + \alpha \cdot \Delta_i = P_i + \alpha(S_i - P_i) = \alpha S_i + (1 - \alpha) P_i$$

α kallas utjämningskoefficient ($0 \leq \alpha \leq 1$) och ett högt värde på α medför detta att senaste uppmätta utfallet viktas högt. Detta medför att modellen blir känslig för variationer både slumpmässiga och systematiska. Ett lågt α medför att gamla uppmätta utfall viktas högt; modellen blir trög.

Det α som skall väljas kan bestämmas genom simulering på historiska data. / 2 /.

3.4 MINIMALVARIANSPREDIKTION / 3 /

Vid antar att efterfrågestrukturen kan beskrivas med en stokastisk process, $y(t)$. En stokastisk process med medelvärde noll kan allmänt beskrivas med funktionssambandet

$$y(t) + a_1 \cdot y(t-1) + \dots + a_n \cdot y(t-n) = \lambda \left[e(t) + c_1 \cdot e(t-1) + \dots + c_n \cdot e(t-n) \right] + y_d(t) + a_1 y_d(t-1) + \dots + a_n y_d(t-n)$$

där $e(t)$ är oberoende stokastiska variabler,
 $y_d(t)$ är en deterministisk funktion.

Detta funktionssamband kan även skrivas

$$A^* y(t) = C^* e(t) + A y_d(t)$$

$$\begin{aligned} \text{där } A(q^{-1}) &= (1 + a_1 q^{-1} + a_2 q^{-2} + \dots + a_n q^{-n}), \\ C(q^{-1}) &= (1 + c_1 q^{-1} + c_2 q^{-2} + \dots + c_n q^{-n}), \\ q^{-1} &= \text{skiftoperator.} \end{aligned}$$

$$y(t+k) = \frac{C(q^{-1})}{A(q^{-1})} \cdot e(t+k) + y_d(t+k) = \lambda \left[e(t+k) + f_1 e(t+k-1) + \dots + f_{k-1} e(t+1) \right] + \frac{G(q^{-1})}{C(q^{-1})} \cdot y(t) + y_d(t+k)$$

$$\begin{aligned} \text{där } G(q^{-1}) &= g_0 + g_1 q^{-1} + \dots + g_{n-1} q^{-n+1} \\ F(q^{-1}) &= 1 + f_1 q^{-1} + \dots + f_{k-1} q^{-k+1} \\ e(t+k) + f_1 e(t+k-1) + \dots + f_{k-1} e(t+1) &= \text{prediktionsfelet,} \\ \frac{G(q^{-1})}{C(q^{-1})} \cdot y(t) + y_d(t+k) &= \hat{y}(t+k|t) = \text{den prediktion som minimerar variansen hos prediktionsfelet.} \end{aligned}$$

Polynomen $F(q^{-1})$ och $G(q^{-1})$ definieras av identiteten

$$C(q^{-1}) = A(q^{-1}) \cdot F_{k-1}^*(q^{-1}) + q^{-k} \cdot G_{n-1}^*(q^{-1})$$

Den förväntade variansen vid en k -stegsprediktion med denna metod

$$\text{blir: } \lambda^2 \cdot \sum_{i=0}^{i=k-1} f_i^2, \text{ där } f_0 = 1.$$

3.4.1 Minimalvariansprediktion med kända delen fråndragen

Vid minimalvariansprediktion / 3 / fordras det att data fluktuerar kring nollvärdet, för att kunna göra Maximum-Likelihood skattning (Se appendix A8) av parametrarna i modellen. Detta kan ske genom att ta bort trenden.

Även andra kända delar kan dras ifrån data innan skattningen görs.

Vi skall här beskriva ett sätt att eliminera periodiska svängningar i data innan parameterskattningar görs.

Tillvägagångssätt

A.

1. Modellen antages ha utseendet

$$y(t) = \frac{C(q^{-1})}{A(q^{-1})} \cdot e(t) + y_d(t)$$

där $y_d(t)$ betecknar en godtycklig deterministisk funktion t.ex. nivå, trend eller trigonometriska funktioner.

2. Nivå och trend identifieras i IDPAC / 5 /.
3. Eventuella frekvenser konstateras m.h.a. RESID i IDPAC / 5 /.
4. Vi har nu erhållit de delfunktioner i funktionen, som genererar data, vilka skall dragas ifrån ursprungsdata.
4. Bestäm hur mycket av varje delfunktion som skall dras av. Detta fås genom minimering av förlustfunktionen i MINKO (se appendix A2).

B.

1. M.h.a. den erhållna funktionen, genereras i MIDAT (se appendix A7) den serie data, som skall dras ifrån ursprungsdata.
2. Subtrahera denna serie data från ursprungsdata.

C.

1. Minimalvariansprediktion görs på återstoden.
2. Lägg till den tidigare fråndragna deterministiska delen till resultatet av minimalvariansprediktionen.

4. PRESENTATION AV DATA

För att testa de olika prognosprogrammen behövdes data med olika utseende. Därför konstruerade vi ett genereringsprogram, som vi kallade GENE (se appendix A1). Med hjälp av detta program genererade vi data bestående av trend plus brus, DAT1, och sinusformade data plus brus, DAT2. Dessa data användes för att kunna bestämma vilken metod som skulle användas vid val av a-parametrarna till generell exponentiell utjämning (se kapitel 6). Även verkliga data användes, nämligen Företagsdata, Flygdata och Skogsdata.

4.1 Genererade data

4.1.1 Trenddata (DAT1)

Dessa data har utseendet:

$$y(t) = 10.0 + 0.05 \cdot t + e(t)$$

där

$e(t)$ är brus $\in N(0,1)$,

$y(t)$ är utsignalen,

Tabell 1 visar de 500 trenddata.

4.1.2 Svängningsdata (DAT2)

Dessa data har utseendet:

$$y(t) = 20.0 + 10.0 \sin\left(\frac{2\pi \cdot t}{24}\right) + e(t)$$

där

$e(t)$ är brus $\in N(0,1)$,

$y(t)$ är utsignalen,

Tabell 2 visar de 500 svängningsdata.

	1	2	3	4	5	6	7	8	9	0
1	8.39	9.37	11.44	10.22	10.33	10.41	9.07	10.94	9.65	10.82
11	11.08	10.04	12.35	10.61	11.46	9.52	9.41	9.77	10.21	11.37
21	10.86	9.31	11.35	10.59	10.68	11.22	12.85	12.19	11.87	11.51
31	11.73	9.17	12.44	10.17	10.99	12.52	13.39	12.21	11.62	12.25
41	10.70	12.62	11.63	12.35	12.40	11.41	13.01	14.82	13.47	11.57
51	11.77	13.67	13.91	12.11	13.90	10.90	13.73	12.03	12.41	14.50
61	13.93	12.31	14.29	12.47	14.49	11.98	14.54	13.82	13.44	14.01
71	13.18	15.55	14.76	15.43	13.18	14.65	12.45	14.22	14.56	13.12
81	13.52	14.38	13.32	13.98	13.97	12.92	15.45	14.20	14.78	14.83
91	14.96	12.80	15.98	14.12	13.84	14.78	13.55	14.78	15.10	15.13
101	14.49	15.82	14.73	15.85	15.81	16.23	15.74	13.95	15.50	16.02
111	15.12	14.43	16.57	15.18	14.87	14.28	15.02	16.72	17.01	15.50
121	14.84	14.63	15.51	14.10	18.03	16.92	15.39	16.08	18.60	16.58
131	17.65	15.43	16.54	16.62	16.28	16.16	18.86	15.03	18.29	17.26
141	16.56	15.82	16.67	17.73	18.63	16.98	19.43	15.58	19.07	16.52
151	17.56	17.81	17.89	18.44	18.07	18.41	17.08	17.72	19.95	17.38
161	17.65	18.39	18.20	18.73	18.60	19.42	17.84	19.46	18.92	17.84
171	18.84	17.56	18.61	19.62	19.22	17.03	19.68	18.79	19.98	18.88
181	20.12	18.33	19.11	18.11	19.94	20.24	18.62	18.71	21.14	19.53
191	18.50	20.69	17.71	20.19	19.76	20.04	20.65	20.23	19.39	20.76
201	20.97	20.64	20.40	20.86	20.66	22.43	20.78	21.34	20.73	19.59
211	20.53	20.19	20.18	20.13	21.67	22.41	20.00	22.04	21.17	22.01
221	21.19	21.33	22.05	21.99	20.76	21.99	22.31	19.34	20.70	21.03
231	20.94	20.06	23.02	20.44	21.95	21.17	22.72	22.23	22.33	21.64
241	22.79	22.39	23.09	22.49	20.23	22.93	21.22	22.72	22.05	22.84
251	21.73	22.32	23.24	22.13	23.61	23.29	22.81	22.80	23.86	23.64
261	22.76	24.83	24.50	23.37	21.08	22.25	21.50	23.47	22.77	23.03
271	23.88	22.94	22.84	24.20	23.64	25.79	24.28	23.73	21.77	23.02
281	23.10	25.65	23.28	22.62	25.30	22.94	25.16	22.60	23.87	25.60
291	24.42	23.95	23.81	25.64	24.05	23.67	23.13	25.05	26.05	24.77
301	25.82	24.84	23.44	25.25	25.89	23.00	26.19	28.10	25.34	26.54
311	26.32	26.32	25.16	24.45	25.83	25.92	26.35	26.74	25.71	24.90
321	27.92	25.40	24.97	26.25	25.86	26.44	25.60	25.97	25.18	26.85
331	25.61	27.07	26.88	26.64	26.99	26.55	25.95	25.80	26.75	25.40
341	28.39	27.34	26.88	24.63	29.21	29.25	28.38	26.23	28.40	28.54
351	27.27	26.20	24.97	27.20	28.52	29.55	27.92	27.24	29.15	27.28
361	29.24	28.66	28.16	27.38	28.93	27.44	28.54	25.85	29.00	29.61
371	29.30	26.70	28.44	27.14	28.43	29.93	29.26	28.06	29.94	28.53
381	29.46	29.34	27.82	28.50	30.03	28.01	28.08	27.85	29.97	29.05
391	28.71	29.58	30.29	29.46	30.71	29.68	30.98	31.25	31.10	30.16
401	30.05	30.41	30.85	30.01	30.50	29.95	30.98	29.23	30.32	28.86
411	31.49	30.83	31.51	30.15	29.37	30.81	30.08	30.81	30.63	33.16
421	32.02	32.85	32.26	29.88	33.34	31.26	32.27	29.98	31.04	31.05
431	31.65	31.46	31.11	31.21	31.41	32.31	32.55	32.75	31.54	31.53
441	33.37	33.66	31.04	32.14	30.56	31.95	32.93	31.11	32.13	32.61
451	32.18	30.46	32.08	33.65	32.81	32.19	32.40	34.06	33.82	34.29
461	34.09	31.85	32.20	33.76	34.16	34.02	32.96	33.61	32.60	33.55
471	34.09	31.84	33.42	33.47	34.60	34.44	33.62	32.75	32.48	33.41
481	35.19	34.42	33.74	33.76	35.13	35.46	34.37	34.49	34.45	35.87
491	34.37	34.59	35.14	34.66	35.76	34.07	34.21	33.82	36.51	34.92

Tabell 1. Trenddata

	1	2	3	4	5	6	7	8	9	0
1	20.93	24.27	28.36	28.68	29.74	30.11	28.38	29.20	26.27	25.32
11	23.11	19.44	19.11	14.91	13.64	10.06	8.91	8.87	9.61	11.71
21	12.74	13.21	17.61	19.39	22.02	24.92	28.57	29.46	30.08	30.01
31	29.84	26.23	27.86	23.47	21.83	20.72	18.95	15.31	12.60	11.59
41	9.00	10.52	9.82	11.49	13.08	14.11	18.07	22.42	23.61	24.08
51	26.29	29.73	30.92	29.41	30.81	26.76	27.95	24.13	22.04	21.50
61	18.29	14.21	14.07	10.61	11.59	8.68	11.54	11.76	12.92	15.51
71	17.04	21.95	23.70	26.73	26.50	29.51	28.26	30.32	30.27	27.76
81	26.54	25.28	21.76	19.77	17.13	13.62	14.03	11.14	10.67	10.33
91	10.75	9.54	14.26	14.42	16.50	19.98	21.29	24.88	27.22	28.79
101	29.10	30.72	29.24	29.31	27.63	25.93	22.97	18.55	17.47	15.52
111	12.50	10.17	11.26	9.48	9.47	9.82	12.10	15.82	18.47	19.50
121	21.38	23.53	26.43	26.56	31.44	30.62	28.70	28.34	29.22	25.08
131	23.69	18.83	17.31	14.92	12.46	10.69	12.35	8.13	11.68	11.60
141	12.44	13.72	16.93	20.53	23.97	24.69	29.15	26.84	31.28	29.02
151	29.67	28.87	27.31	25.73	22.90	20.61	16.65	14.82	14.93	10.72
161	9.94	10.29	10.40	11.87	13.28	16.12	16.90	21.06	23.06	24.34
171	27.36	27.62	29.62	30.92	30.13	26.89	27.90	24.89	23.62	19.88
181	18.49	14.22	12.89	10.25	11.03	10.94	9.61	10.65	14.62	15.03
191	16.36	21.09	20.65	25.49	27.08	28.90	30.46	30.33	29.10	29.42
201	27.99	25.54	22.83	20.66	17.82	17.13	13.36	12.28	10.62	9.09
211	10.32	10.93	12.46	14.43	18.33	21.61	21.74	26.14	27.29	29.67
221	29.80	30.23	30.56	29.45	26.58	25.69	23.55	17.94	16.66	14.53
231	12.32	9.80	11.71	8.74	10.54	10.71	13.80	15.33	17.79	19.64
241	23.33	25.30	28.01	28.95	27.64	30.63	28.53	28.98	26.67	25.34
251	21.76	19.72	18.00	14.43	13.78	11.83	10.30	9.90	11.25	11.98
261	12.64	16.73	18.76	20.17	20.42	23.95	25.22	28.73	28.98	29.53
271	29.99	28.00	26.26	25.50	22.48	21.99	17.84	14.83	10.75	10.36
281	9.39	11.55	9.47	9.76	13.98	13.64	18.22	18.20	22.01	26.10
291	26.94	28.01	28.82	30.94	28.96	27.53	25.35	25.15	23.69	19.77
301	18.18	14.74	11.21	11.39	10.98	7.70	11.18	14.04	12.82	16.04
311	18.19	20.72	22.10	23.75	27.15	28.78	30.16	30.84	29.42	27.56
321	28.94	24.30	21.41	20.05	17.02	15.14	12.18	10.91	9.07	10.35
331	9.40	11.82	13.16	14.94	17.65	19.75	21.69	23.90	26.87	27.06
341	31.00	30.24	29.39	26.08	29.03	26.95	23.62	18.82	18.36	16.04
351	12.64	9.94	7.66	9.50	11.11	13.09	13.00	14.34	18.62	19.28
361	23.78	25.56	27.08	27.84	30.34	29.14	29.85	26.11	27.62	26.10
371	23.34	18.10	17.20	13.44	12.61	12.47	10.75	9.16	11.33	10.87
381	13.34	15.25	16.08	19.31	23.37	23.71	25.80	27.12	30.18	29.55
391	28.82	28.64	27.71	24.76	23.55	19.88	18.54	16.34	14.07	11.49
401	10.34	10.31	11.04	11.15	13.18	14.65	18.05	18.83	22.46	23.36
411	28.01	28.89	30.52	29.45	28.28	28.67	26.30	24.91	22.26	22.16
421	18.38	16.75	14.04	10.02	12.43	9.96	11.26	9.92	12.52	14.55
431	17.51	19.86	22.05	24.51	26.73	29.17	30.36	30.85	29.25	28.19
441	28.39	26.56	21.48	19.93	15.72	14.65	13.50	10.05	10.02	10.11
451	9.97	9.20	12.36	15.95	17.48	19.39	22.14	26.17	27.94	29.95
461	30.70	28.75	28.71	29.22	27.98	25.71	22.19	20.21	16.56	15.05
471	13.47	9.58	10.11	9.77	11.19	11.98	12.70	13.86	15.94	19.42
481	23.73	25.32	26.66	28.23	30.54	31.16	29.68	28.75	27.07	26.37
491	22.41	19.99	17.90	14.95	13.93	10.60	9.70	8.92	11.90	11.26

Tabell 2. Svängningsdata

4.2 Verkliga data

4.2.1 Företagsdata

Dessa data visar bruttofaktureringen för ett svenskt företag under åren 1959 - 1972. En fusion ägde rum månad 153 vilket resulterar i ett steg i denna månad. Dessa data ser ut att innehålla en del slumpmässiga variationer. Tabell 3 visar Företagsdata och dess utseende framgår av figur 4.1.

För att undersöka semestermånadernas inverkan på prediktionen, gjordes även testerna på data, där julivärdena sattes lika med junivärdena. Utseendet av korrigerade Företagsdata visas i fig. 4.2.

4.2.2 Flygdata

Dessa data visar antalet passagerare i tusental per månad på internationella flyglinjer under åren 1949 - 1960 / 1 /. Dessa data har även tidigare använts av Brown / 1 / och Gustavsson / 6 /. Tabell 4 visar dessa data och dess utseende framgår av figur 4.3. Av figur 4.3 framgår det att data har starka säsongsvariationer.

4.2.3 Skogsdata

Dessa data utgör omsättningen i miljoner DM i den träberarbände industrin i Västtyskland under tiden 1958 - 1967 (se tabell 5) / 4 /. Av figur 4.4 framgår det att dessa data innehåller oregelbundenheter, dock ej så starka som Företagsdata, och innehåller även säsongsvariationer, dock ej så kraftiga som Flygdata.

Tabell 3. Bruttofaktureringen för ett svenskt företag under åren
1959 - 1972 (i tusental kronor).

KORREKTA JAN	VARDEN FEB	MARS	APRIL	MAJ	JUNI	JULI	AUG	SEPT	OKT	NOV	DEC
5258.0	5366.0	5720.0	7362.0	6130.0	5746.0	4451.0	6838.0	4954.0	11210.0	8078.0	8091.0
6722.0	7396.0	9357.0	7390.0	7511.0	9270.0	4430.0	9872.0	6063.0	10054.0	8095.0	9390.0
7050.0	7421.0	9471.0	7236.0	9210.0	8174.0	4011.0	9160.0	6497.0	10858.0	10424.0	8067.0
8754.0	7705.0	8767.0	7610.0	9774.0	9191.0	3813.0	9571.0	6519.0	11661.0	12176.0	8383.0
8925.0	9044.0	10093.0	8434.0	9726.0	9572.0	4449.0	10319.0	9464.0	11663.0	10223.0	8655.0
10106.0	10593.0	10801.0	12402.0	10896.0	12492.0	5939.0	10895.0	12401.0	11355.0	12912.0	10863.0
11069.0	12079.0	12979.0	11554.0	11057.0	14115.0	4635.0	12078.0	13484.0	12197.0	13266.0	10964.0
10871.0	11392.0	14647.0	11360.0	12400.0	15505.0	3190.0	13528.0	12318.0	13189.0	15200.0	11651.0
12028.0	11897.0	13925.0	13127.0	13894.0	17060.0	2487.0	16125.0	14912.0	14415.0	14492.0	13181.0
12162.0	13196.0	14154.0	14102.0	15656.0	18339.0	4685.0	17462.0	15781.0	15958.0	15915.0	13605.0
13690.0	16424.0	17841.0	17664.0	16589.0	19080.0	10732.0	19681.0	19025.0	20167.0	20220.0	16803.0
16634.0	17452.0	18899.0	23447.0	19452.0	21453.0	7464.0	19238.0	21048.0	22032.0	19910.0	15535.0
16544.0	16502.0	19637.0	17290.0	18359.0	22977.0	6205.0	19534.0	23863.0	28819.0	23579.0	23232.0
21027.0	24403.0	27655.0	25198.0	27420.0	29400.0	13100.0	25189.0	29170.0	30850.0	32124.0	23288.0

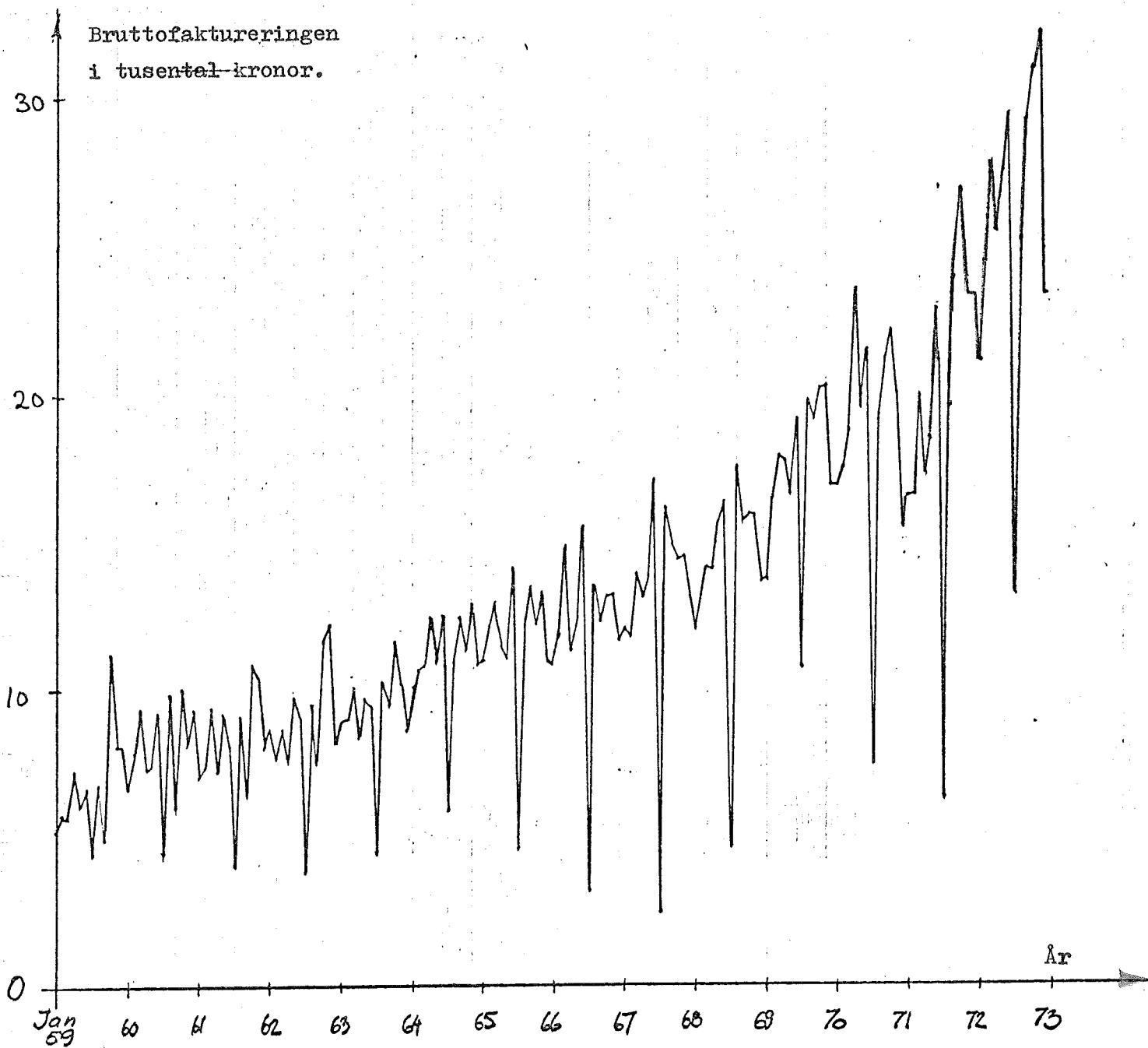


Fig. 4.1 Bruttofaktureringen för ett svenskt företag under åren 1959 - 1972.

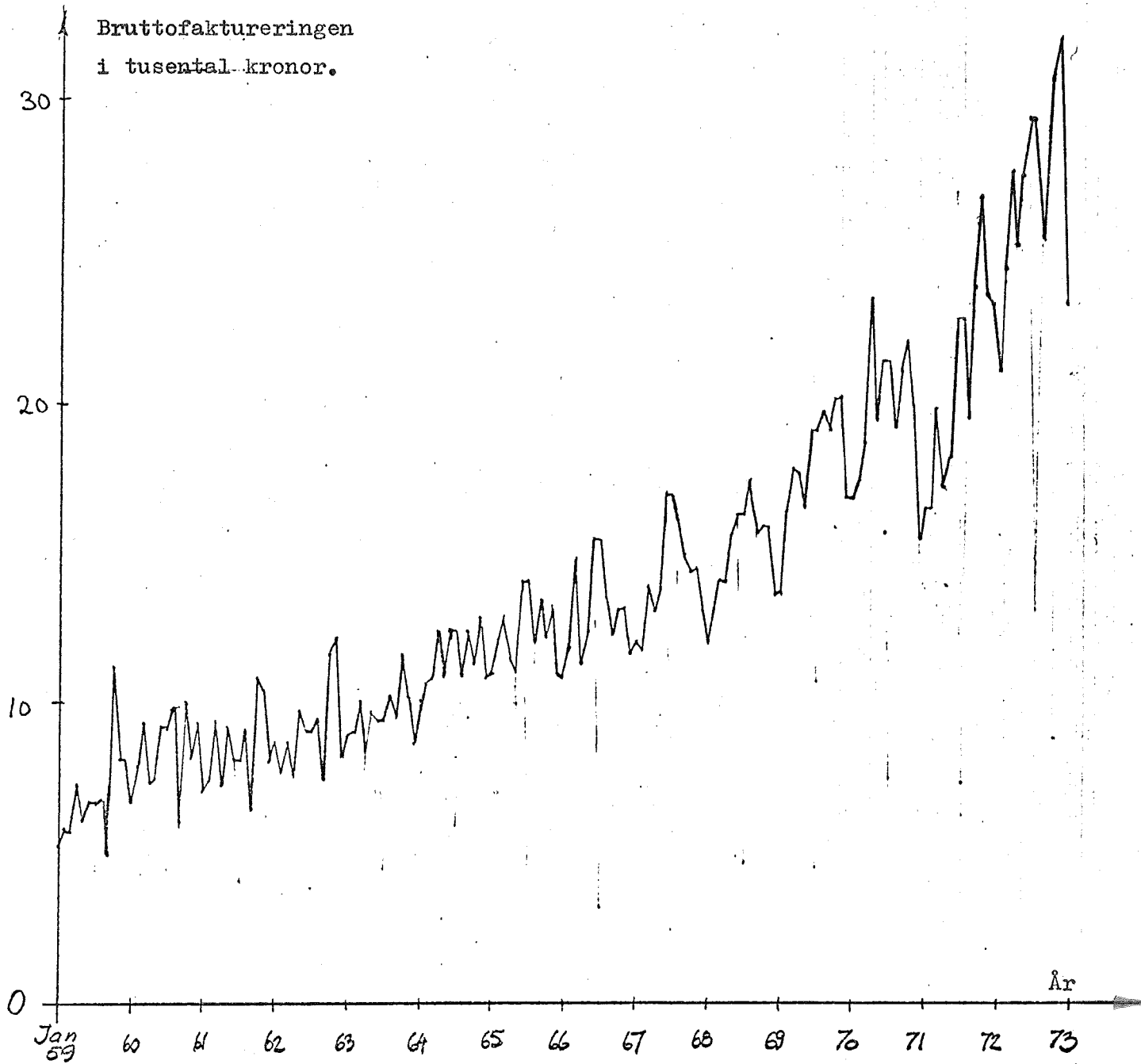


Fig. 4.2 Bruttofaktureringen för ett svenskt företag under åren 1959 - 1972, där det ursprungliga julivärdet har ersatts med junivärdet.

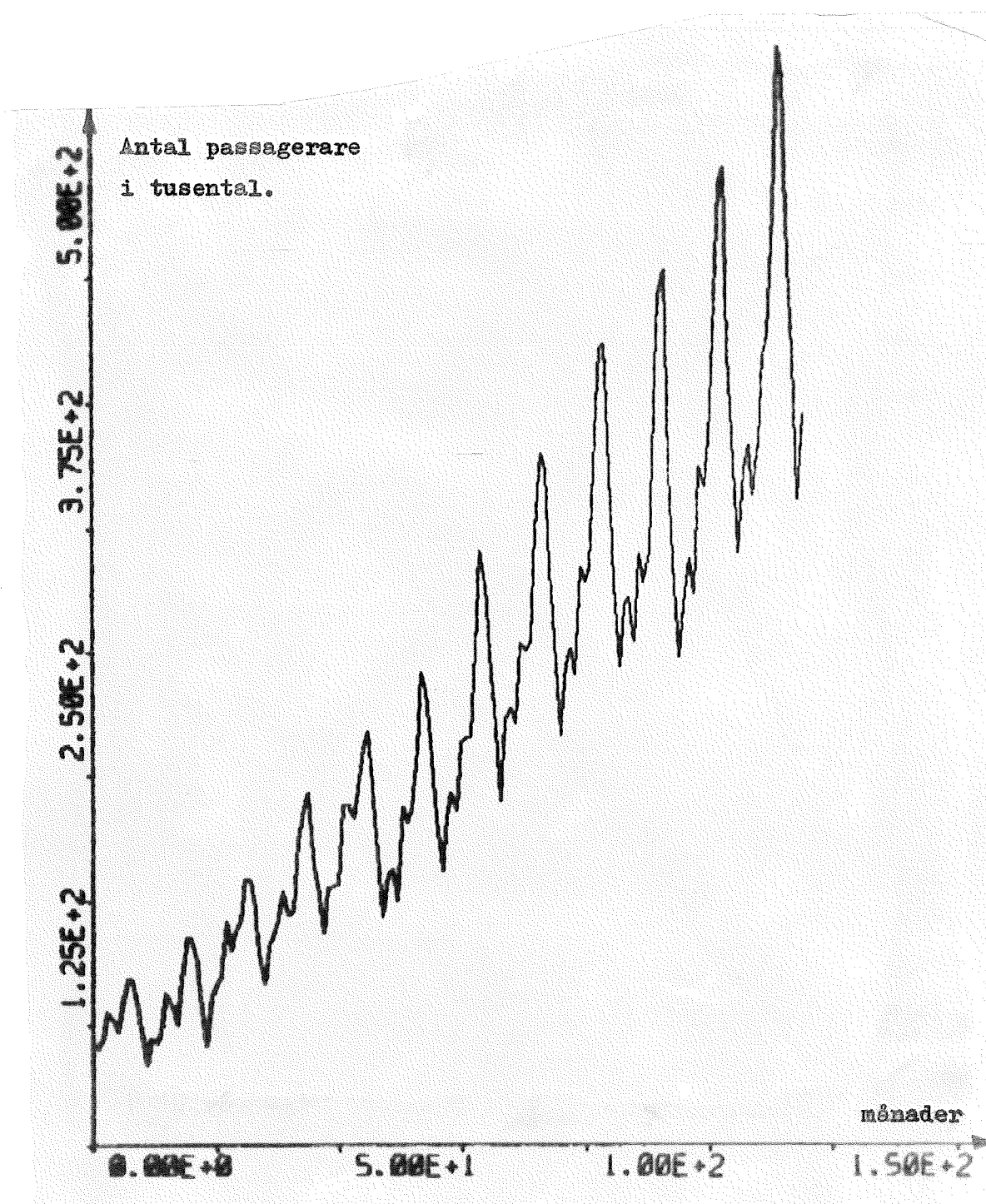


Fig. 4.3 Antalet passagerare i tusental per månad på internationella flyglinjer under åren 1949 - 1960.

Tabell 4. Antalet passagerare i tusental per månad på internationella flyglinjer under åren 1949 - 1960.

Month	1949	1950	1951	1952	1953	1954	1955	1956	1957	1958	1959	1960
Jan.	112	115	145	171	196	204	242	284	315	340	360	417
Feb.	118	126	150	180	196	188	233	277	301	318	342	391
Mar.	132	141	178	193	236	235	267	317	356	362	406	419
Apr.	129	135	163	181	235	227	269	313	348	348	396	461
May	121	125	172	183	229	234	270	318	355	363	420	472
June	135	149	178	218	243	264	315	374	422	435	472	535
July	148	170	199	230	264	302	364	413	465	491	548	622
Aug.	148	170	199	242	272	293	347	405	467	505	559	606
Sept.	136	158	184	209	237	259	312	355	404	404	463	508
Oct.	119	133	162	191	211	229	274	306	347	359	407	461
Nov.	104	114	146	172	180	203	237	271	305	310	362	390
Dec.	118	140	166	194	201	229	278	306	336	337	405	432
Total	1520	1676	2042	2364	2700	2867	3408	3939	4421	4572	5140	5714

* FAA Statistical Handbook of Civil Aviation (several annual issues).

Tabell 5. Omsättningen i miljoner DM i den träbearbetande industrin i Västtyskland under åren 1958 - 1967.

UMSÄTZE IN MILL. DM - HOLZVERARBEITENDE INDUSTRI - IO. NR. U54
B1. ORIGINAL SERIES

YEAR	JAN	FEB	MAR	APR	MAY	JUN	JUL	AUG	SEP	OCT	NOV	DEC
1958	306.4	295.7	351.6	342.2	341.0	329.8	361.8	333.2	387.8	430.1	403.4	395.5
1959	303.5	302.0	344.5	372.2	337.4	370.9	371.8	371.8	424.0	456.8	457.0	449.6
1960	337.4	344.2	419.6	406.7	427.8	400.5	417.1	432.2	486.0	504.7	521.1	507.6
1961	411.0	401.4	482.4	436.5	456.6	459.1	443.2	466.0	512.0	549.6	562.0	522.0
1962	429.3	430.2	491.8	479.3	533.2	497.3	509.3	521.2	555.5	644.3	632.4	548.1
1963	451.6	410.8	461.7	489.1	536.2	453.3	528.2	510.5	581.0	669.0	618.1	574.3
1964	475.8	494.9	557.0	609.4	540.0	596.7	627.7	532.2	680.4	742.0	728.3	692.9
1965	545.7	583.9	671.1	660.4	660.8	649.5	658.9	617.3	758.9	775.3	787.2	764.3
1966	589.8	610.7	755.2	697.3	727.6	723.9	708.2	646.4	806.3	824.2	824.4	763.5
1967	607.8	601.8	679.3	665.7	637.6	700.4	660.8	615.6	756.7	815.8	813.7	855.1

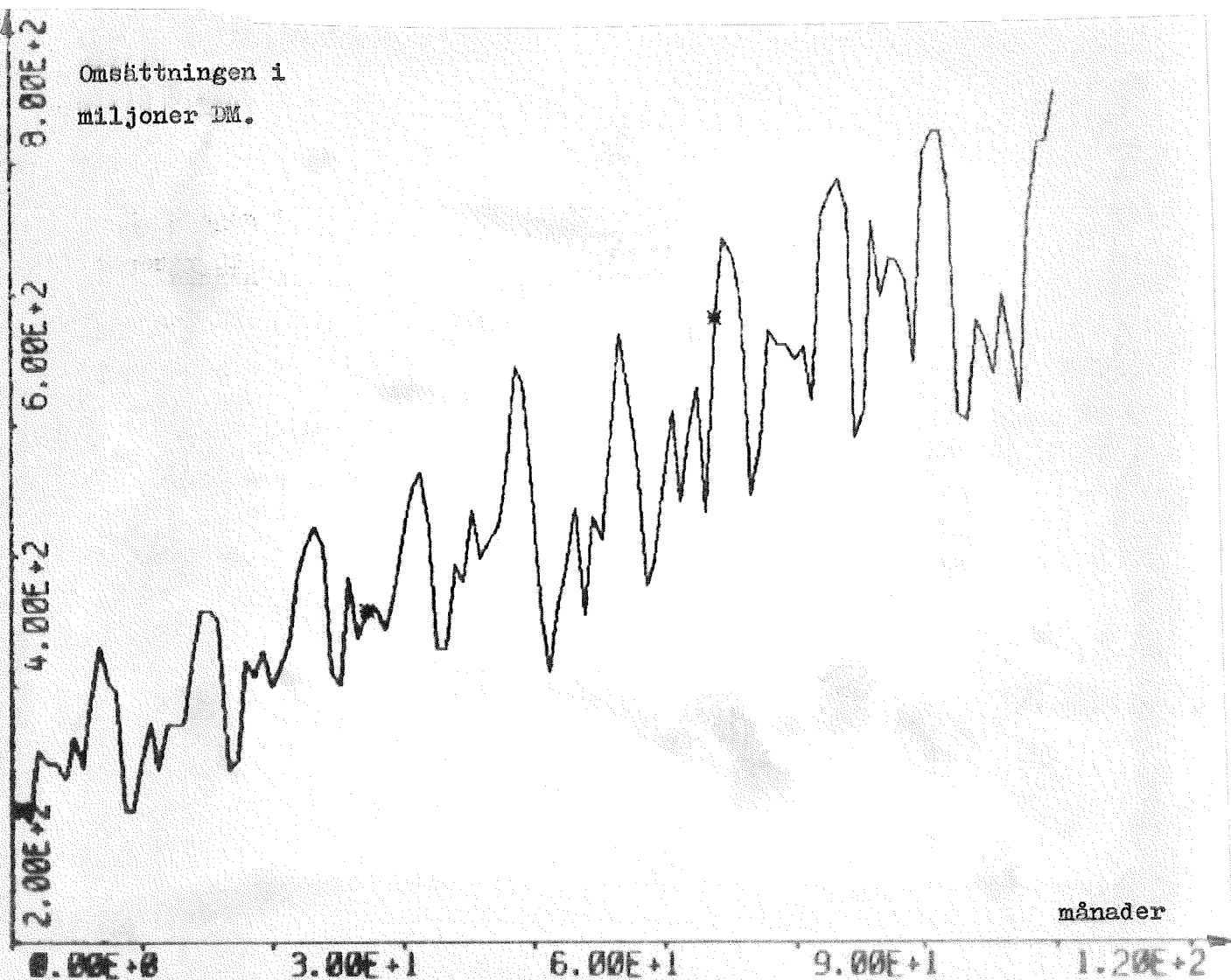


Fig. 4.4 Omsättningen i miljoner DM i den träbearbetande industrin i Västtyskland under åren 1958 - 1967.

5. PREDIKTIONSRISULTAT MED HEURISTISK METOD

5.1 Flygdata.

Trenden som befanns ha utseendet

$$1.2320 \cdot t + 0.0229 \cdot t \cdot (t - 1) / 2$$

drogs ifrån de verkliga flygdata.

Men som framgår av figur 5.1, där de avtrendade flygdata visas, blir några värden negativa och detta medför att prediktionen blir fel. För att undvika detta adderas en konstant term (=50.0) till alla data.

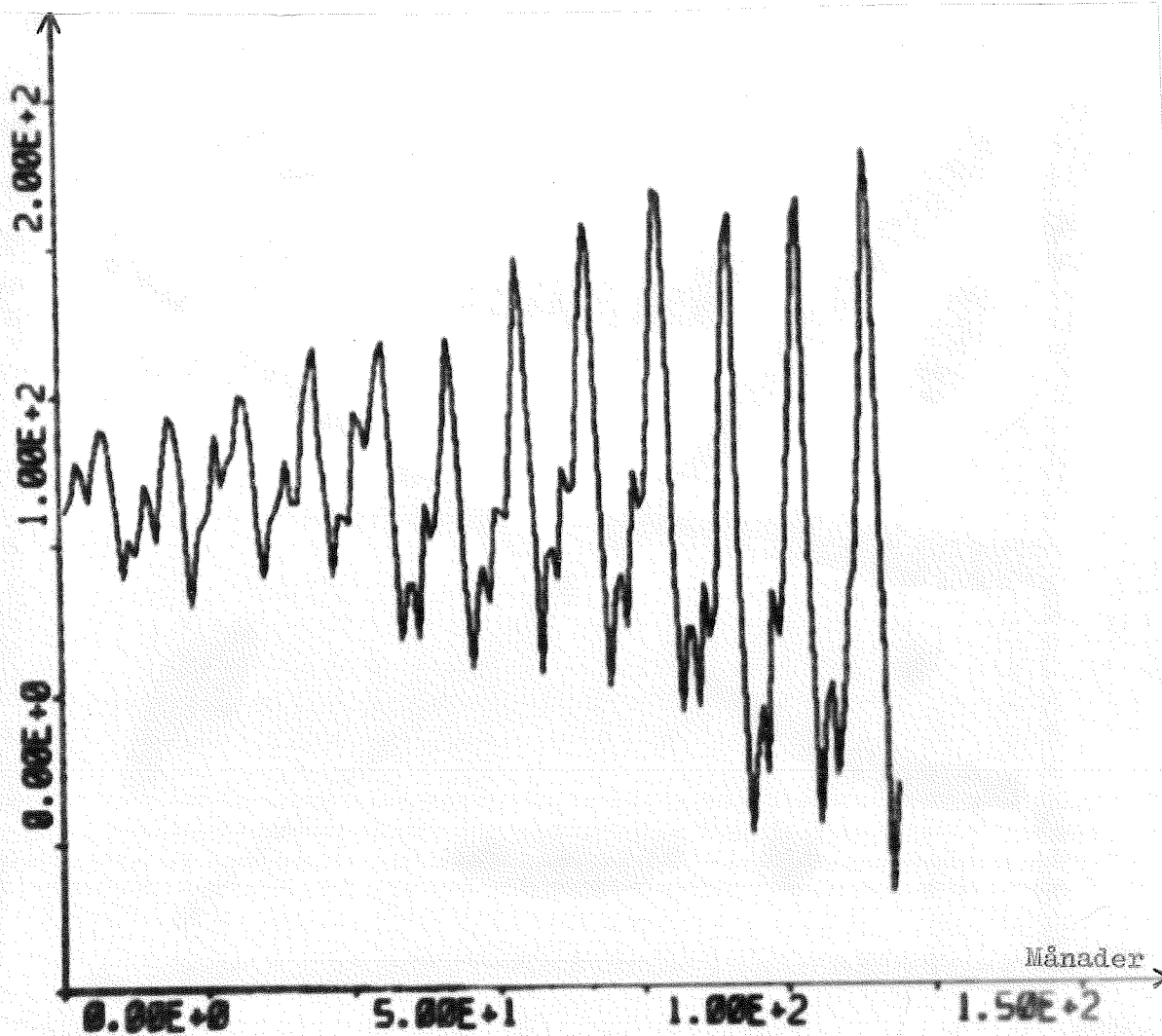


Fig. 5.1 Avtrendade Flygdata.

Beräkningar utfördes för prediktionsstegen 1,2,3,6,12,24 och 48. Utjämningskoefficienter, α , som användes vid prediktering av säsongsvärdet, från 0.0 till 1.0 i steg om 0.05 undersöktes. Värdena på medelfel och varians framgår av tabellerna 6 - 12. Minima för medelfel och varians är understrykna.

Figuerna 5.2 - 5.4 visar prediktionen med prediktionsstegen 1,12 och 48 månader. Som framgår av figurerna prickar prediktionen in variationen bra i tiden, dock ligger den något högt. Prediktionsfelet för prediktionssteget 1 mån. visas i figur 5.5. Figuren 5.6 visar summa prediktionsfel i kvadrat för prediktionssteget 1.

De branta stigningarna kommer av att vissa perioder avviker från genomsnittet och därför ger ett stort bidrag till prediktionsfelet. Sådana perioder är t.ex. månaderna 60-65 , 88-92 , 100-105 , 110-120 och 133-135. Detta framgår även i figur 5.5 av de djupa dipparna.

Tabell 6. Varians och medelfel vid 1-stegsprediktion av Flygdata
 för $\alpha = 0.0, (0.05), 1.0$

PREDIKTIONSSTEG= 1	ALFA=0.00	VARIANS=	481.5755005	MEDEFEL=	-8.4989016
PREDIKTIONSSTEG= 1	ALFA=0.05	VARIANS=	401.6689224	MEDEFEL=	-4.3353434
PREDIKTIONSSTEG= 1	ALFA=0.10	VARIANS=	370.3140716	MEDEFEL=	-3.0399593
PREDIKTIONSSTEG= 1	ALFA=0.15	VARIANS=	331.4353027	MEDEFEL=	-2.6796252
PREDIKTIONSSTEG= 1	ALFA=0.20	VARIANS=	303.9913483	MEDEFEL=	-2.5680990
PREDIKTIONSSTEG= 1	ALFA=0.25	VARIANS=	285.8089905	MEDEFEL=	-2.5238186
PREDIKTIONSSTEG= 1	ALFA=0.30	VARIANS=	273.4894028	MEDEFEL=	-2.5042650
PREDIKTIONSSTEG= 1	ALFA=0.35	VARIANS=	264.8566894	<u>MEDEFEL=</u>	<u>-2.4984514</u>
PREDIKTIONSSTEG= 1	ALFA=0.40	VARIANS=	258.5951843	MEDEFEL=	-2.5016285
PREDIKTIONSSTEG= 1	ALFA=0.45	VARIANS=	253.9051094	MEDEFEL=	-2.5104332
PREDIKTIONSSTEG= 1	ALFA=0.50	VARIANS=	250.2925148	MEDEFEL=	-2.5222650
PREDIKTIONSSTEG= 1	ALFA=0.55	VARIANS=	247.4447365	MEDEFEL=	-2.5352709
PREDIKTIONSSTEG= 1	ALFA=0.60	VARIANS=	245.1578407	MEDEFEL=	-2.5482332
PREDIKTIONSSTEG= 1	ALFA=0.65	VARIANS=	243.2952728	MEDEFEL=	-2.5604472
PREDIKTIONSSTEG= 1	ALFA=0.70	VARIANS=	241.7630424	MEDEFEL=	-2.5715544
PREDIKTIONSSTEG= 1	ALFA=0.75	VARIANS=	240.4953537	MEDEFEL=	-2.5814094
PREDIKTIONSSTEG= 1	ALFA=0.80	VARIANS=	239.4452171	MEDEFEL=	-2.5900132
PREDIKTIONSSTEG= 1	ALFA=0.85	VARIANS=	238.5785103	MEDEFEL=	-2.5974237
PREDIKTIONSSTEG= 1	ALFA=0.90	VARIANS=	237.8698349	MEDEFEL=	-2.6037426
PREDIKTIONSSTEG= 1	ALFA=0.95	<u>VARIANS=</u>	<u>237.2999878</u>	MEDEFEL=	-2.6090899
PREDIKTIONSSTEG= 1	ALFA=1.00	VARIANS=	266.5587997	MEDEFEL=	-2.7968730

Tabell 7. Varians och medelfel vid 2-stegsprediktion av Flygdata
 för $\alpha = 0.0, (0.05), 1.0$

PREDIKTIONSSTEG= 2	ALFA=0,00	VARIANS=	451,4224853	MEDELFE=	-8,2662177
PREDIKTIONSSTEG= 2	ALFA=0,05	VARIANS=	379,7917251	MEDELFE=	-4,2349410
PREDIKTIONSSTEG= 2	ALFA=0,10	VARIANS=	360,1575928	MEDELFE=	-2,8567821
PREDIKTIONSSTEG= 2	ALFA=0,15	VARIANS=	326,2444000	MEDELFE=	-2,4418537
PREDIKTIONSSTEG= 2	ALFA=0,20	VARIANS=	299,9817276	MEDELFE=	-2,3009157
PREDIKTIONSSTEG= 2	ALFA=0,25	VARIANS=	281,5089721	MEDELFE=	-2,2341134
PREDIKTIONSSTEG= 2	ALFA=0,30	VARIANS=	268,3904495	MEDELFE=	-2,1932594
PREDIKTIONSSTEG= 2	ALFA=0,35	VARIANS=	258,8630371	MEDELFE=	-2,1678368
PREDIKTIONSSTEG= 2	ALFA=0,40	VARIANS=	251,7570610	MEDELFE=	-2,1546556
PREDIKTIONSSTEG= 2	ALFA=0,45	VARIANS=	246,3011475	<u>MEDELFE=</u>	<u>-2,1512690</u>
PREDIKTIONSSTEG= 2	ALFA=0,50	VARIANS=	241,9904442	MEDELFE=	-2,1551569
PREDIKTIONSSTEG= 2	ALFA=0,55	VARIANS=	238,4930038	MEDELFE=	-2,1640258
PREDIKTIONSSTEG= 2	ALFA=0,60	VARIANS=	235,5871964	MEDELFE=	-2,1759705
PREDIKTIONSSTEG= 2	ALFA=0,65	VARIANS=	233,1227035	MEDELFE=	-2,1895823
PREDIKTIONSSTEG= 2	ALFA=0,70	VARIANS=	230,9961281	MEDELFE=	-2,2038719
PREDIKTIONSSTEG= 2	ALFA=0,75	VARIANS=	229,1368675	MEDELFE=	-2,2181702
PREDIKTIONSSTEG= 2	ALFA=0,80	VARIANS=	227,4980545	MEDELFE=	-2,2320631
PREDIKTIONSSTEG= 2	ALFA=0,85	VARIANS=	226,0511513	MEDELFE=	-2,2452618
PREDIKTIONSSTEG= 2	ALFA=0,90	VARIANS=	224,7826920	MEDELFE=	-2,2575914
PREDIKTIONSSTEG= 2	ALFA=0,95	<u>VARIANS=</u>	<u>223,6926079</u>	MEDELFE=	-2,2689463
PREDIKTIONSSTEG= 2	ALFA=1,00	VARIANS=	267,7096329	MEDELFE=	-2,7146340

Tabell 8. Varians och medelfel vid 3-stegsprediktion av Flygdata

för $\alpha = 0.0, (0.05), 1.0$

PREDIKTIONSSTEG= 3	ALFA=0.00	VARIANS=	425,8340759	MEDELFE=	-8.0334589
PREDIKTIONSSTEG= 3	ALFA=0.05	VARIANS=	361,1845321	MEDELFE=	-4,1460991
PREDIKTIONSSTEG= 3	ALFA=0.10	VARIANS=	353,3988037	MEDELFE=	-2,6967649
PREDIKTIONSSTEG= 3	ALFA=0.15	VARIANS=	325,7397003	MEDELFE=	-2,2351679
PREDIKTIONSSTEG= 3	ALFA=0.20	VARIANS=	302,0040512	MEDELFE=	-2,0729805
PREDIKTIONSSTEG= 3	ALFA=0.25	VARIANS=	284,3607712	MEDELFE=	-1,9900730
PREDIKTIONSSTEG= 3	ALFA=0.30	VARIANS=	271,3015976	MEDELFE=	-1,9303298
PREDIKTIONSSTEG= 3	ALFA=0.35	VARIANS=	261,5698700	MEDELFE=	-1,8830824
PREDIKTIONSSTEG= 3	ALFA=0.40	VARIANS=	254,2470932	MEDELFE=	-1,8473617
PREDIKTIONSSTEG= 3	ALFA=0.45	VARIANS=	248,6601105	MEDELFE=	-1,8228360
PREDIKTIONSSTEG= 3	ALFA=0.50	VARIANS=	244,3289452	MEDELFE=	-1,8082792
PREDIKTIONSSTEG= 3	ALFA=0.55	VARIANS=	240,9176369	MEDELFE=	-1,8019187
PREDIKTIONSSTEG= 3	ALFA=0.60	VARIANS=	238,1903725	<u>MEDELFE=</u>	<u>-1,8018320</u>
PREDIKTIONSSTEG= 3	ALFA=0.65	VARIANS=	235,9794312	MEDELFE=	-1,8063322
PREDIKTIONSSTEG= 3	ALFA=0.70	VARIANS=	234,1629715	MEDELFE=	-1,8140679
PREDIKTIONSSTEG= 3	ALFA=0.75	VARIANS=	232,6527290	MEDELFE=	-1,8240137
PREDIKTIONSSTEG= 3	ALFA=0.80	VARIANS=	231,3859901	MEDELFE=	-1,8354705
PREDIKTIONSSTEG= 3	ALFA=0.85	VARIANS=	230,3216133	MEDELFE=	-1,8479007
PREDIKTIONSSTEG= 3	ALFA=0.90	VARIANS=	229,4388123	MEDELFE=	-1,8609414
PREDIKTIONSSTEG= 3	ALFA=0.95	<u>VARIANS=</u>	<u>228,7370377</u>	MEDELFE=	-1,8743403
PREDIKTIONSSTEG= 3	ALFA=1.00	VARIANS=	269,4913254	MEDELFE=	-2,6674773

Tabell 9. Varians och medelfel vid 6-stegsprediktion av Flygdata

för $\alpha = 0.0, (0.05), 1.0$

PREDIKTIONSSTEG= 6	ALFA=0,00	VARIANS=	367,1605682	MEDELFE=	-7,0432049
PREDIKTIONSSTEG= 6	ALFA=0,05	VARIANS=	325,3514404	MEDELFE=	-3,6406797
PREDIKTIONSSTEG= 6	ALFA=0,10	VARIANS=	352,1179428	MEDELFE=	-2,0247145
PREDIKTIONSSTEG= 6	ALFA=0,15	VARIANS=	346,5470352	MEDELFE=	-1,4571017
PREDIKTIONSSTEG= 6	ALFA=0,20	VARIANS=	335,1997528	MEDELFE=	-1,2932029
PREDIKTIONSSTEG= 6	ALFA=0,25	VARIANS=	325,5701752	MEDELFE=	-1,2462941
PREDIKTIONSSTEG= 6	ALFA=0,30	VARIANS=	317,6664886	MEDELFE=	-1,2163624
PREDIKTIONSSTEG= 6	ALFA=0,35	VARIANS=	311,0924148	MEDELFE=	-1,1766027
PREDIKTIONSSTEG= 6	ALFA=0,40	VARIANS=	305,6662979	MEDELFE=	-1,1253480
PREDIKTIONSSTEG= 6	ALFA=0,45	VARIANS=	301,2201614	MEDELFE=	-1,0679199
PREDIKTIONSSTEG= 6	ALFA=0,50	VARIANS=	297,5561066	MEDELFE=	-1,0101198
PREDIKTIONSSTEG= 6	ALFA=0,55	VARIANS=	294,4867172	MEDELFE=	-0,9562637
PREDIKTIONSSTEG= 6	ALFA=0,60	VARIANS=	291,8680038	MEDELFE=	-0,9086815
PREDIKTIONSSTEG= 6	ALFA=0,65	VARIANS=	289,6100006	MEDELFE=	-0,8681842
PREDIKTIONSSTEG= 6	ALFA=0,70	VARIANS=	287,6686478	MEDELFE=	-0,8344930
PREDIKTIONSSTEG= 6	ALFA=0,75	VARIANS=	286,0357285	MEDELFE=	-0,8067029
PREDIKTIONSSTEG= 6	ALFA=0,80	VARIANS=	284,7309036	MEDELFE=	-0,7837508
PREDIKTIONSSTEG= 6	ALFA=0,85	VARIANS=	283,7957458	MEDELFE=	-0,7644793
PREDIKTIONSSTEG= 6	ALFA=0,90	VARIANS=	283,2986298	MEDELFE=	-0,7479730
PREDIKTIONSSTEG= 6	ALFA=0,95	VARIANS=	283,3354263	MEDELFE=	-0,7335631
PREDIKTIONSSTEG= 6	ALFA=1,00	VARIANS=	274,0671081	MEDELFE=	-2,4691988

Tabell 10. Varians och medelfel vid 12-stegsprediktion av Flygdata

för $\alpha = 0.0, (0.05), 1.0$

PREDIKTIONSSTEG=12	ALFA=0.00	VARIANS=	319.6696930	MEDEFEL=	-5.9117930
PREDIKTIONSSTEG=12	ALFA=0.05	<u>VARIANS=</u>	<u>284.2349930</u>	MEDEFEL=	-3.4453954
PREDIKTIONSSTEG=12	ALFA=0.10	VARIANS=	386.3242340	MEDEFEL=	-1.4224454
PREDIKTIONSSTEG=12	ALFA=0.15	VARIANS=	453.3921814	MEDEFEL=	-0.3154970
PREDIKTIONSSTEG=12	ALFA=0.20	VARIANS=	481.1171112	MEDEFEL=	0.1687079
PREDIKTIONSSTEG=12	ALFA=0.25	VARIANS=	494.0881424	MEDEFEL=	0.3087609
PREDIKTIONSSTEG=12	ALFA=0.30	VARIANS=	502.4555511	MEDEFEL=	0.2693502
PREDIKTIONSSTEG=12	ALFA=0.35	VARIANS=	508.4114685	MEDEFEL=	0.1376038
PREDIKTIONSSTEG=12	ALFA=0.40	VARIANS=	512.2977753	<u>MEDEFEL=</u>	<u>-0.0396830</u>
PREDIKTIONSSTEG=12	ALFA=0.45	VARIANS=	514.5090179	MEDEFEL=	-0.2357854
PREDIKTIONSSTEG=12	ALFA=0.50	VARIANS=	515.6703491	MEDEFEL=	-0.4347298
PREDIKTIONSSTEG=12	ALFA=0.55	VARIANS=	516.4526062	MEDEFEL=	-0.6272343
PREDIKTIONSSTEG=12	ALFA=0.60	VARIANS=	517.4300232	MEDEFEL=	-0.8080580
PREDIKTIONSSTEG=12	ALFA=0.65	VARIANS=	519.0346985	MEDEFEL=	-0.9748006
PREDIKTIONSSTEG=12	ALFA=0.70	VARIANS=	521.5689697	MEDEFEL=	-1.1267427
PREDIKTIONSSTEG=12	ALFA=0.75	VARIANS=	525.2391816	MEDEFEL=	-1.2641066
PREDIKTIONSSTEG=12	ALFA=0.80	VARIANS=	530.2051086	MEDEFEL=	-1.3878259
PREDIKTIONSSTEG=12	ALFA=0.85	VARIANS=	536.6137238	MEDEFEL=	-1.4988612
PREDIKTIONSSTEG=12	ALFA=0.90	VARIANS=	544.6556397	MEDEFEL=	-1.5984125
PREDIKTIONSSTEG=12	ALFA=0.95	VARIANS=	554.6065064	MEDEFEL=	-1.6876724
PREDIKTIONSSTEG=12	ALFA=1.00	VARIANS=	286.4089126	MEDEFEL=	-2.5272812

Tabell 11. Varians och medelfel vid 24-stegsprediktion av Flygdata
 för $\alpha = 0.0, (0.05), 1.0$

PREDIKTIONSSTEG=24	ALFA=0.00	<u>VARIANS=</u>	<u>436.8837967</u>	MEDELFE=	-6.6117158
PREDIKTIONSSTEG=24	ALFA=0.05	VARIANS=	479.1484070	MEDELFE=	-6.8811295
PREDIKTIONSSTEG=24	ALFA=0.10	VARIANS=	713.1915893	MEDELFE=	-6.4053379
PREDIKTIONSSTEG=24	ALFA=0.15	VARIANS=	948.5600281	MEDELFE=	-5.5965728
PREDIKTIONSSTEG=24	ALFA=0.20	VARIANS=	1130.5643921	MEDELFE=	-4.7570163
PREDIKTIONSSTEG=24	ALFA=0.25	VARIANS=	1268.9879151	MEDELFE=	-4.0728512
PREDIKTIONSSTEG=24	ALFA=0.30	VARIANS=	1372.3819885	MEDELFE=	-3.5869790
PREDIKTIONSSTEG=24	ALFA=0.35	VARIANS=	1445.1348267	MEDELFE=	-3.2869781
PREDIKTIONSSTEG=24	ALFA=0.40	VARIANS=	1492.0857239	MEDELFE=	-3.1401192
PREDIKTIONSSTEG=24	ALFA=0.45	VARIANS=	1519.3039551	<u>MEDELFE=</u>	<u>-3.1080622</u>
PREDIKTIONSSTEG=24	ALFA=0.50	VARIANS=	1533.0293580	MEDELFE=	-3.1549096
PREDIKTIONSSTEG=24	ALFA=0.55	VARIANS=	1538.7063904	MEDELFE=	-3.2514208
PREDIKTIONSSTEG=24	ALFA=0.60	VARIANS=	1540.5891113	MEDELFE=	-3.3752038
PREDIKTIONSSTEG=24	ALFA=0.65	VARIANS=	1541.7738647	MEDELFE=	-3.5105065
PREDIKTIONSSTEG=24	ALFA=0.70	VARIANS=	1544.4322510	MEDELFE=	-3.6466309
PREDIKTIONSSTEG=24	ALFA=0.75	VARIANS=	1550.0686035	MEDELFE=	-3.7765757
PREDIKTIONSSTEG=24	ALFA=0.80	VARIANS=	1559.7921753	MEDELFE=	-3.8964140
PREDIKTIONSSTEG=24	ALFA=0.85	VARIANS=	1574.5026855	MEDELFE=	-4.0036553
PREDIKTIONSSTEG=24	ALFA=0.90	VARIANS=	1595.1212769	MEDELFE=	-4.0974406
PREDIKTIONSSTEG=24	ALFA=0.95	VARIANS=	1622.7589722	MEDELFE=	-4.1778278
PREDIKTIONSSTEG=24	ALFA=1.00	VARIANS=	533.4962158	MEDELFE=	-6.2537439

Tabell 12. Varians och medelfel vid 48-stegsprediktion av Flygdata

för $\alpha = 0.0, (0.05), 1.0$

PREDIKTIONSSSTEG=48	ALFA=0.00	VARIANS=	1001.9298095	MEDELFE=	-12.8485789
PREDIKTIONSSSTEG=48	ALFA=0.05	<u>VARIANS=</u>	<u>886.2574463</u>	MEDELFE=	-12.4519963
PREDIKTIONSSSTEG=48	ALFA=0.10	VARIANS=	966.3211670	<u>MEDELFE=</u>	<u>-11.9614058</u>
PREDIKTIONSSSTEG=48	ALFA=0.15	VARIANS=	1287.3744507	MEDELFE=	-13.0677102
PREDIKTIONSSSTEG=48	ALFA=0.20	VARIANS=	1649.8432312	MEDELFE=	-14.4137526
PREDIKTIONSSSTEG=48	ALFA=0.25	VARIANS=	1959.7087402	MEDELFE=	-15.5173388
PREDIKTIONSSSTEG=48	ALFA=0.30	VARIANS=	2193.7823486	MEDELFE=	-16.3872738
PREDIKTIONSSSTEG=48	ALFA=0.35	VARIANS=	2355.0409546	MEDELFE=	-17.1059394
PREDIKTIONSSSTEG=48	ALFA=0.40	VARIANS=	2458.3837280	MEDELFE=	-17.7298503
PREDIKTIONSSSTEG=48	ALFA=0.45	VARIANS=	2522.5059813	MEDELFE=	-18.2866106
PREDIKTIONSSSTEG=48	ALFA=0.50	VARIANS=	2564.5643309	MEDELFE=	-18.7875047
PREDIKTIONSSSTEG=48	ALFA=0.55	VARIANS=	2597.9258422	MEDELFE=	-19.2375789
PREDIKTIONSSSTEG=48	ALFA=0.60	VARIANS=	2631.9948120	MEDELFE=	-19.6392698
PREDIKTIONSSSTEG=48	ALFA=0.65	VARIANS=	2672.9915160	MEDELFE=	-19.9952354
PREDIKTIONSSSTEG=48	ALFA=0.70	VARIANS=	2724.9924927	MEDELFE=	-20.3083677
PREDIKTIONSSSTEG=48	ALFA=0.75	VARIANS=	2790.8139647	MEDELFE=	-20.5816283
PREDIKTIONSSSTEG=48	ALFA=0.80	VARIANS=	2872.8358764	MEDELFE=	-20.8188667
PREDIKTIONSSSTEG=48	ALFA=0.85	VARIANS=	2973.5947875	MEDELFE=	-21.0228510
PREDIKTIONSSSTEG=48	ALFA=0.90	VARIANS=	3096.4057615	MEDELFE=	-21.1967111
PREDIKTIONSSSTEG=48	ALFA=0.95	VARIANS=	3246.0577392	MEDELFE=	-21.3435063
PREDIKTIONSSSTEG=48	ALFA=1.00	VARIANS=	895.5457306	MEDELFE=	-13.1710601

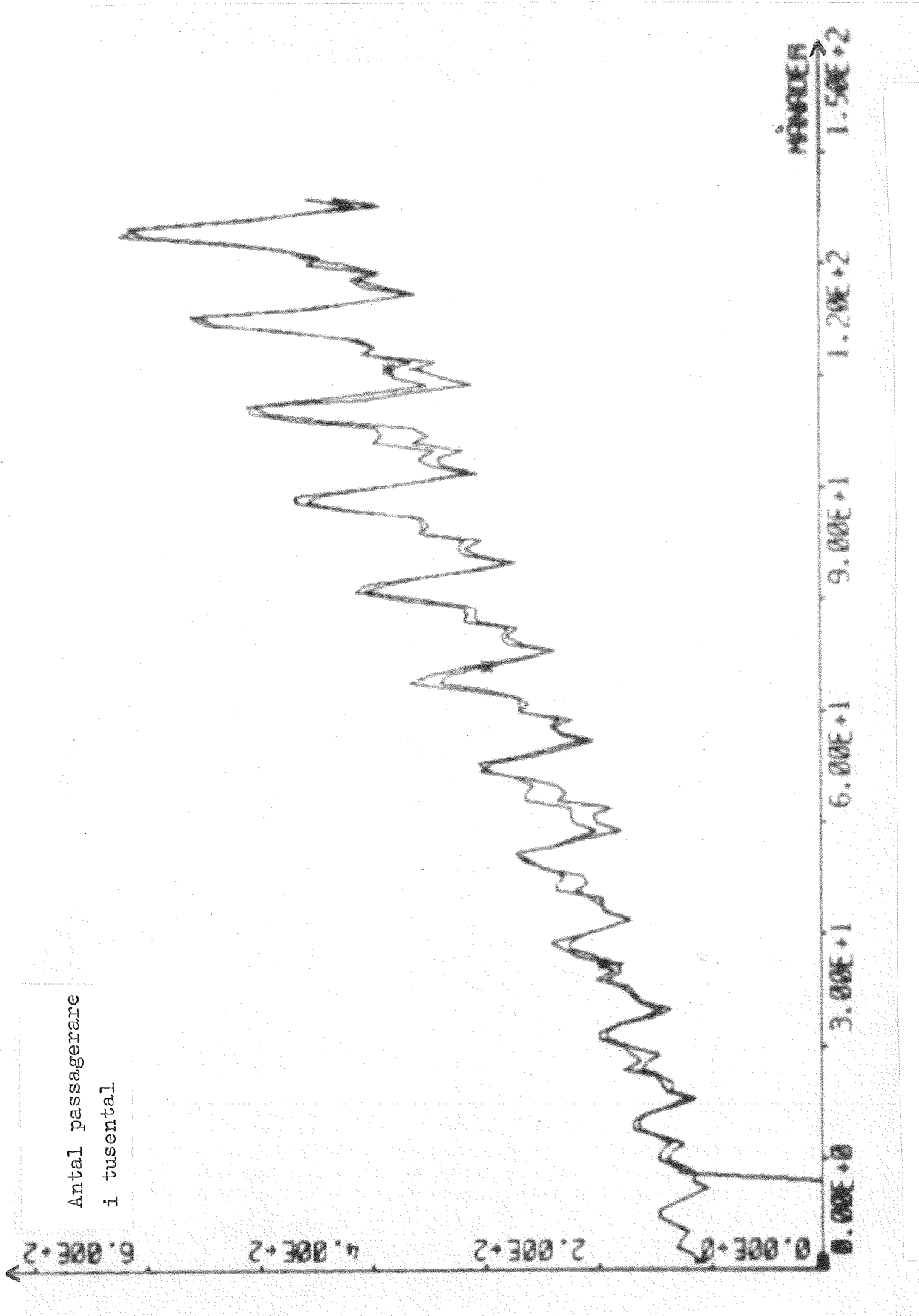


Fig. 5.2 Prediktionen av Flygdata med heuristiska metoden med $k=1$ och $\alpha=0.95$. Flygdata = I, Prediktion av Flygdata = #.

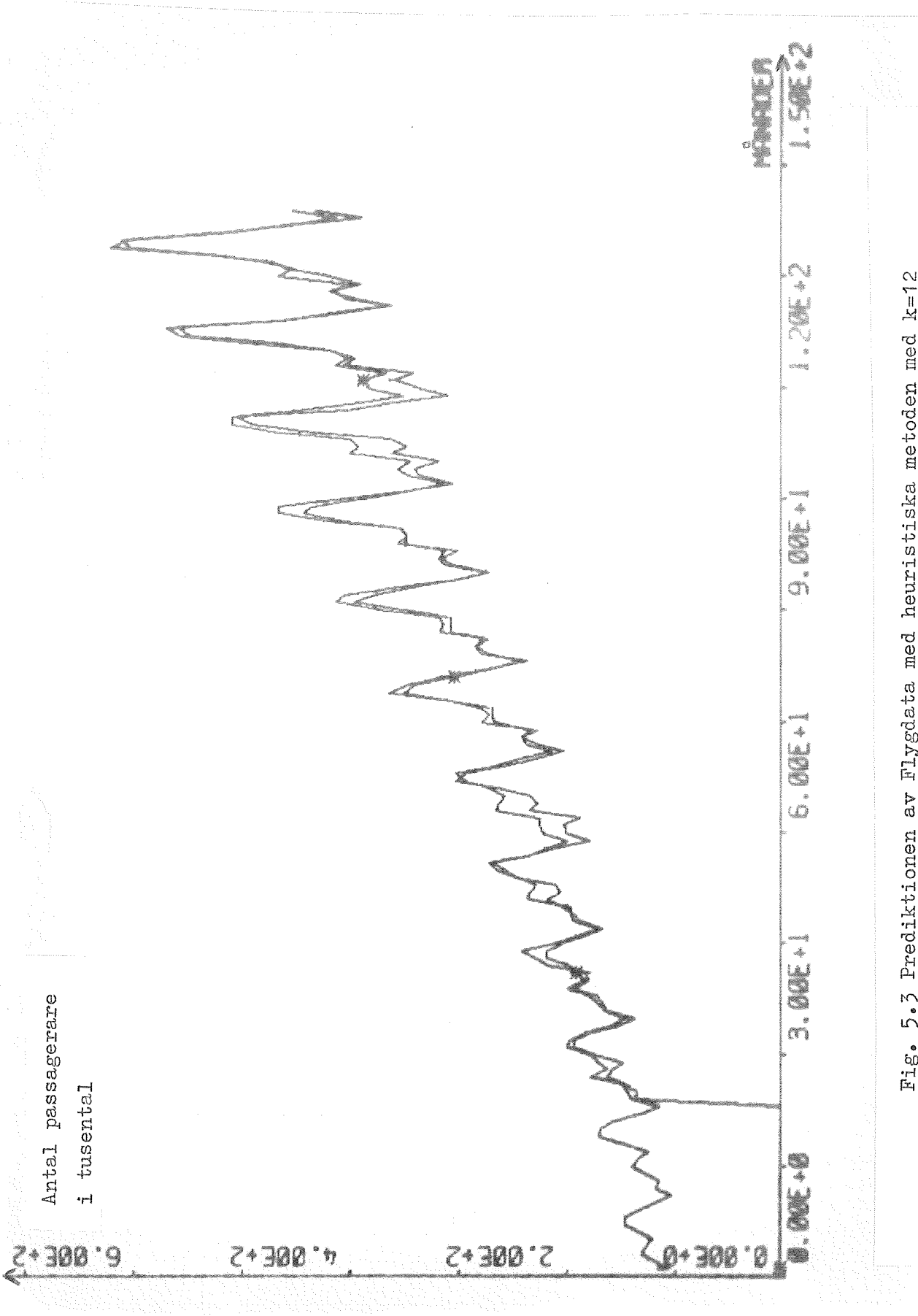


Fig. 5.3 Prediktionen av Flygdata med heuristiska metoden med $k=12$
 och $\alpha=0.05$. Flygdata = I, Prediktion av Flygdata = \hat{I} .

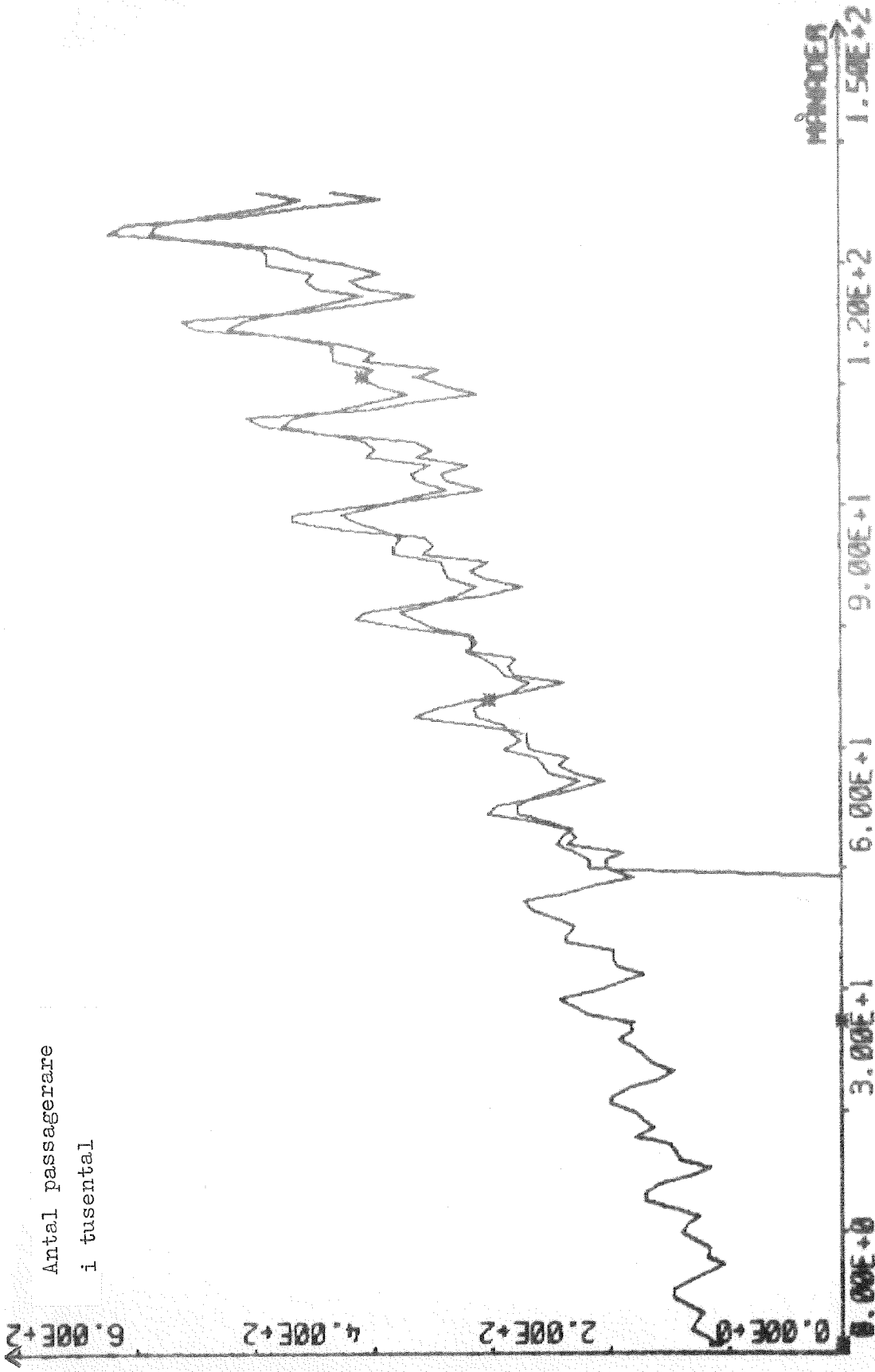


Fig. 5.4 Prediktionen av Flygdata med heuristiska metoden med $k=48$ och $\lambda=0.05$. Flygdata = I, Prediktion av Flygdata = \hat{x} .

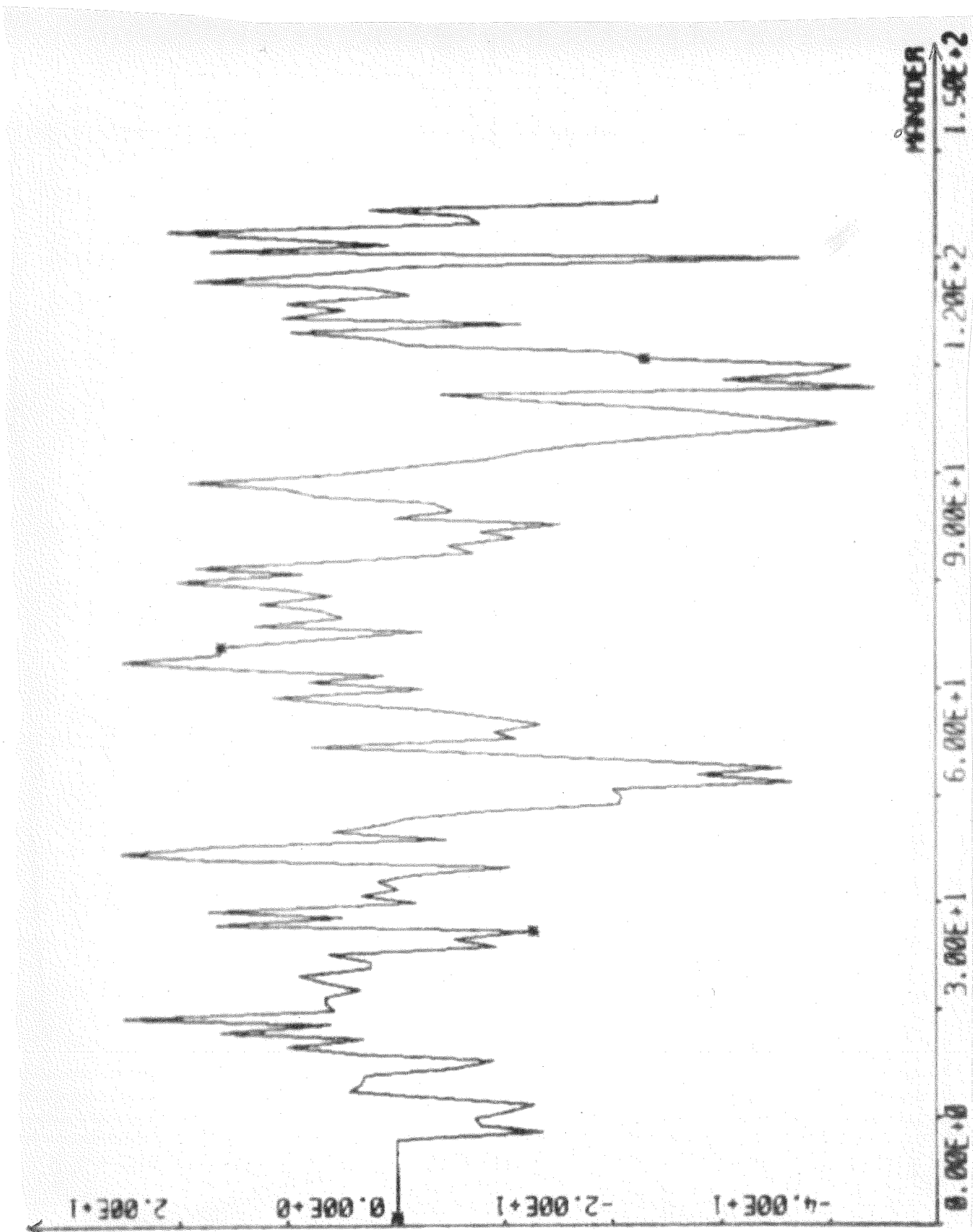


Fig. 5.5 Prediktionsfelet vid prediktion av Flygdata med heuristiska metoden med $k=1$ och $\alpha=0.95$.

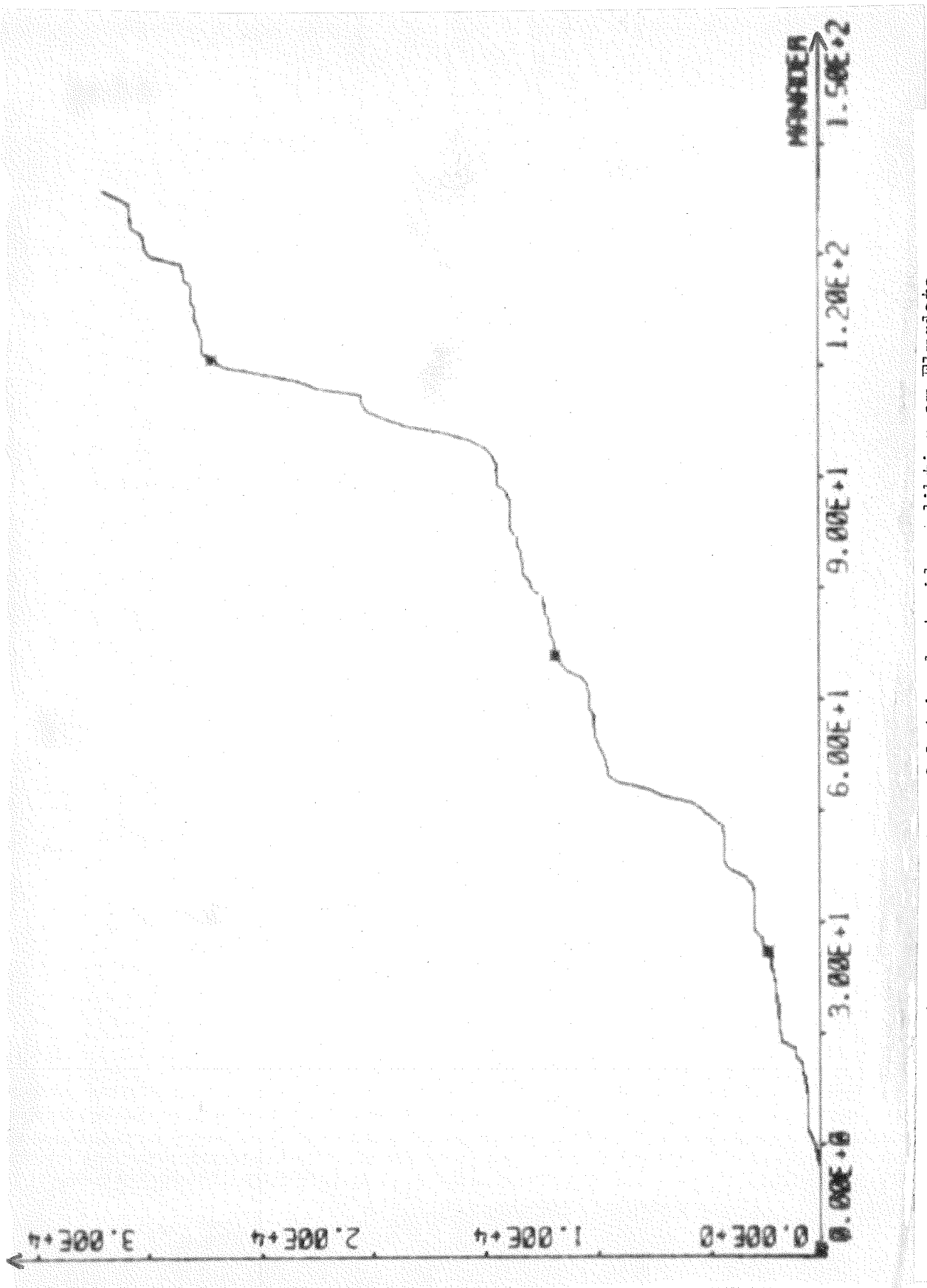


Fig. 5.6 Summa prediktionsfel i kvadrat vid prediktion av Flygdata med heuristiska metoden med $k=1$ och $\alpha=0.95$.

5.2 Företagsdata.

Denna prediktion gjordes enligt punkt 2 (Se kap. 3.1) d.v.s. ingen trend drogs ifrån innan prediktionen gjordes. Beräkningar utfördes för prediktionsstegen 1, 2, 3, 6, 12, 24 och 48 månader. Utjämningskoefficienter, α , från 0.0 till 1.0 i steg om 0.05 undersöktes. Värdena på medelfel och varians framgår av tabellerna 13 - 19. Minima för medelfel och varians är understrykna.

Prediktionen vid prediktionsstegen 1 och 12 månader visas i figurerna 5.7 och 5.8. Som synes ligger prediktionen tidsmässigt rätt och utseendet följer relativt bra, men ligger hela tiden något lågt. Anmärkningsvärt är hur bra prediktionen följer julidipparna. Prediktionsfelet för prediktionssteget 1 månad visas i figur 5.9 och här framgår det att felet blir större ju längre fram i tiden man kommer. Detta framgår även av den ökade stigningen för summa prediktionsfel i kvadrat, figur 5.10, mot slutet av tidsperioden. Detta gäller även för övriga prediktionssteg.

Tabell 13. Varians och medelfel vid 1-stegsprediktion av Företags-
data för $\alpha = 0.0, (0.05), 1.0$

PREDIKTIONSSTEG= 1	ALFA=0.00	VARIANS=	32177101,0011434	MEDELFE=	7320,0231934
PREDIKTIONSSTEG= 1	ALFA=0.05	VARIANS=	6289709,3747742	MEDELFE=	1759,0599976
PREDIKTIONSSTEG= 1	ALFA=0.10	VARIANS=	6089941,2496946	MEDELFE=	1506,0181885
PREDIKTIONSSTEG= 1	ALFA=0.15	VARIANS=	5751821,7498436	MEDELFE=	1444,1499939
PREDIKTIONSSTEG= 1	ALFA=0.20	VARIANS=	5431940,0000385	MEDELFE=	1413,8716736
PREDIKTIONSSTEG= 1	ALFA=0.25	VARIANS=	5188942,1250671	MEDELFE=	1396,0404663
PREDIKTIONSSTEG= 1	ALFA=0.30	VARIANS=	5018449,6250003	MEDELFE=	1384,8449402
PREDIKTIONSSTEG= 1	ALFA=0.35	VARIANS=	4902332,1249987	MEDELFE=	1377,5943908
PREDIKTIONSSTEG= 1	ALFA=0.40	VARIANS=	4823919,7498187	MEDELFE=	1372,7584839
PREDIKTIONSSTEG= 1	ALFA=0.45	VARIANS=	4770880,2500274	MEDELFE=	1369,4228515
PREDIKTIONSSTEG= 1	ALFA=0.50	VARIANS=	4734741,6249103	MEDELFE=	1367,0343933
PREDIKTIONSSTEG= 1	ALFA=0.55	VARIANS=	4709848,6248869	MEDELFE=	1365,2550354
PREDIKTIONSSTEG= 1	ALFA=0.60	VARIANS=	4692463,7500196	MEDELFE=	1363,8765870
PREDIKTIONSSTEG= 1	ALFA=0.65	VARIANS=	4680118,8748795	MEDELFE=	1362,7679138
PREDIKTIONSSTEG= 1	ALFA=0.70	VARIANS=	4671179,4999428	MEDELFE=	1361,8464050
PREDIKTIONSSTEG= 1	ALFA=0.75	VARIANS=	4664566,2500523	MEDELFE=	1361,0585937
PREDIKTIONSSTEG= 1	ALFA=0.80	VARIANS=	4659572,7498643	MEDELFE=	1360,3681336
PREDIKTIONSSTEG= 1	ALFA=0.85	VARIANS=	4655746,5000078	MEDELFE=	1359,7514039
PREDIKTIONSSTEG= 1	ALFA=0.90	VARIANS=	4652815,1249513	MEDELFE=	1359,1902160
PREDIKTIONSSTEG= 1	ALFA=0.95	VARIANS=	4650632,1250926	MEDELFE=	1358,6712036
PREDIKTIONSSTEG= 1	ALFA=1.00	VARIANS=	5016177,6249296	MEDELFE=	1468,7564393

Tabell 14. Varians och medelfel vid 2-stegsprediktion av Företags-

data för $\alpha = 0.0, (0.05), 1.0$

PREDIKTIONSSTEG= 2	ALFA=0,00	VARIANS=	31924399,4983844	MEDELFE=	7304,2818601
PREDIKTIONSSTEG= 2	ALFA=0,05	VARIANS=	6035515,9998871	MEDELFE=	1692,4333191
PREDIKTIONSSTEG= 2	ALFA=0,10	VARIANS=	5975503,7496797	MEDELFE=	1427,6277466
PREDIKTIONSSTEG= 2	ALFA=0,15	VARIANS=	5708937,4996721	MEDELFE=	1358,5972595
PREDIKTIONSSTEG= 2	ALFA=0,20	VARIANS=	5399395,3750468	MEDELFE=	1324,2691040
PREDIKTIONSSTEG= 2	ALFA=0,25	VARIANS=	5135238,4998463	MEDELFE=	1302,7025756
PREDIKTIONSSTEG= 2	ALFA=0,30	VARIANS=	4931690,7499451	MEDELFE=	1268,2879028
PREDIKTIONSSTEG= 2	ALFA=0,35	VARIANS=	4780875,6248559	MEDELFE=	1278,4497376
PREDIKTIONSSTEG= 2	ALFA=0,40	VARIANS=	4670851,9998937	MEDELFE=	1271,6279297
PREDIKTIONSSTEG= 2	ALFA=0,45	VARIANS=	4591082,7498883	MEDELFE=	1266,8132934
PREDIKTIONSSTEG= 2	ALFA=0,50	VARIANS=	4533451,2498229	MEDELFE=	1263,3466186
PREDIKTIONSSTEG= 2	ALFA=0,55	VARIANS=	4492022,1248175	MEDELFE=	1260,7937316
PREDIKTIONSSTEG= 2	ALFA=0,60	VARIANS=	4462540,1250086	MEDELFE=	1258,8698121
PREDIKTIONSSTEG= 2	ALFA=0,65	VARIANS=	4441979,4999994	MEDELFE=	1257,3838196
PREDIKTIONSSTEG= 2	ALFA=0,70	VARIANS=	4428185,7497990	MEDELFE=	1256,2091370
PREDIKTIONSSTEG= 2	ALFA=0,75	VARIANS=	4419630,5000223	MEDELFE=	1255,2615661
PREDIKTIONSSTEG= 2	ALFA=0,80	VARIANS=	4415243,3748822	MEDELFE=	1254,4836426
PREDIKTIONSSTEG= 2	ALFA=0,85	VARIANS=	4414301,8750473	MEDELFE=	1253,8397216
PREDIKTIONSSTEG= 2	ALFA=0,90	VARIANS=	4416376,3748947	MEDELFE=	1253,3047790
PREDIKTIONSSTEG= 2	ALFA=0,95	VARIANS=	4421286,8749164	MEDELFE=	1252,8621826
PREDIKTIONSSTEG= 2	ALFA=1,00	VARIANS=	5048750,0000745	MEDELFE=	1468,7871093

Tabell 15. Varians och medlefel vid 3-stegsprediktion av Företags-
data för $\alpha = 0.0, (0.05), 1.0$

PREDIKTIONSSTEG#	3	ALFA=0,00	VARIANS=	31752495,5002591	MEDELFEF=	7284,8477762
PREDIKTIONSSTEG#	3	ALFA=0,05	VARIANS=	5785030,2499718	MEDELFEF=	1623,7534179
PREDIKTIONSSTEG#	3	ALFA=0,10	VARIANS=	5869610,1247332	MEDELFEF=	1345,4608459
PREDIKTIONSSTEG#	3	ALFA=0,15	VARIANS=	5700939,6250359	MEDELFEF=	1271,9582214
PREDIKTIONSSTEG#	3	ALFA=0,20	VARIANS=	5428642,7497863	MEDELFEF=	1234,0864562
PREDIKTIONSSTEG#	3	ALFA=0,25	VARIANS=	5164457,6247781	MEDELFEF=	1208,8808899
PREDIKTIONSSTEG#	3	ALFA=0,30	VARIANS=	4941895,8749156	MEDELFEF=	1190,9933777
PREDIKTIONSSTEG#	3	ALFA=0,35	VARIANS=	4763789,8749671	MEDELFEF=	1178,0959472
PREDIKTIONSSTEG#	3	ALFA=0,40	VARIANS=	4624083,4998898	MEDELFEF=	1168,7112426
PREDIKTIONSSTEG#	3	ALFA=0,45	VARIANS=	4515331,4999770	MEDELFEF=	1161,8109131
PREDIKTIONSSTEG#	3	ALFA=0,50	VARIANS=	4430942,3749800	MEDELFEF=	1156,6731872
PREDIKTIONSSTEG#	3	ALFA=0,55	VARIANS=	4365646,8749977	MEDELFEF=	1152,7903442
PREDIKTIONSSTEG#	3	ALFA=0,60	VARIANS=	4315416,9998597	MEDELFEF=	1149,8063659
PREDIKTIONSSTEG#	3	ALFA=0,65	VARIANS=	4277236,3750264	MEDELFEF=	1147,4663696
PREDIKTIONSSTEG#	3	ALFA=0,70	VARIANS=	4248856,6248212	MEDELFEF=	1145,5881347
PREDIKTIONSSTEG#	3	ALFA=0,75	VARIANS=	4228601,8750164	MEDELFEF=	1144,0414124
PREDIKTIONSSTEG#	3	ALFA=0,80	VARIANS=	4215220,1249264	MEDELFEF=	1142,7298584
PREDIKTIONSSTEG#	3	ALFA=0,85	VARIANS=	4207800,3748320	MEDELFEF=	1141,5902710
PREDIKTIONSSTEG#	3	ALFA=0,90	VARIANS=	4205736,8748355	MEDELFEF=	1140,5775146
PREDIKTIONSSTEG#	3	ALFA=0,95	VARIANS=	4208750,7499381	MEDELFEF=	1139,6622620
PREDIKTIONSSTEG#	3	ALFA=1,00	VARIANS=	5079676,5000559	MEDELFEF=	1465,1428833

Tabell 16. Varians och medelfel vid 6-stegsprediktion av Företags-

data för $\alpha = 0.0, (0.05), 1.0$

PREDIKTIONSSTEG= 6	ALFA=0,00	VARIANS=	31031776,4990031	MEDELFE=	7232,6295166
PREDIKTIONSSTEG= 6	ALFA=0,05	VARIANS=	4867045,3750528	MEDELFE=	1418,7940674
PREDIKTIONSSTEG= 6	ALFA=0,10	VARIANS=	5387470,1252207	MEDELFE=	1101,0150147
PREDIKTIONSSTEG= 6	ALFA=0,15	VARIANS=	5652194,6252323	MEDELFE=	1019,8680420
PREDIKTIONSSTEG= 6	ALFA=0,20	VARIANS=	5664705,8748640	MEDELFE=	978,0387573
PREDIKTIONSSTEG= 6	ALFA=0,25	VARIANS=	5563674,7498065	MEDELFE=	947,0368195
PREDIKTIONSSTEG= 6	ALFA=0,30	VARIANS=	5427589,3750600	MEDELFE=	921,7326660
PREDIKTIONSSTEG= 6	ALFA=0,35	VARIANS=	5289931,2498047	MEDELFE=	900,8282013
PREDIKTIONSSTEG= 6	ALFA=0,40	VARIANS=	5163457,9999372	MEDELFE=	883,5759583
PREDIKTIONSSTEG= 6	ALFA=0,45	VARIANS=	5052500,2498179	MEDELFE=	869,3161773
PREDIKTIONSSTEG= 6	ALFA=0,50	VARIANS=	4957989,0000168	MEDELFE=	857,4669342
PREDIKTIONSSTEG= 6	ALFA=0,55	VARIANS=	4879383,3749368	MEDELFE=	847,5449372
PREDIKTIONSSTEG= 6	ALFA=0,60	VARIANS=	4815467,9997824	MEDELFE=	839,1809388
PREDIKTIONSSTEG= 6	ALFA=0,65	VARIANS=	4764747,4999539	MEDELFE=	832,0985565
PREDIKTIONSSTEG= 6	ALFA=0,70	VARIANS=	4725729,8750337	MEDELFE=	826,0989532
PREDIKTIONSSTEG= 6	ALFA=0,75	VARIANS=	4697167,8750123	MEDELFE=	821,0402527
PREDIKTIONSSTEG= 6	ALFA=0,80	VARIANS=	4678310,6247894	MEDELFE=	816,8105469
PREDIKTIONSSTEG= 6	ALFA=0,85	VARIANS=	4669169,2499443	MEDELFE=	813,3320770
PREDIKTIONSSTEG= 6	ALFA=0,90	VARIANS=	4670801,2497983	MEDELFE=	810,5371704
PREDIKTIONSSTEG= 6	ALFA=0,95	VARIANS=	4685650,5000032	MEDELFE=	808,3734284
PREDIKTIONSSTEG= 6	ALFA=1,00	VARIANS=	5135988,6247664	MEDELFE=	1460,8344726

Tabell 17. Varians och medelfel vid 12-stegsprediktion av Företags-

data. för $\alpha = 0.0, (0.05), 1.0$

PREDIKTIONSSSTEG=12	ALFA=0.00	VARIANS=	29930426,0010831	MEDELFE=	7152,0573729
PREDIKTIONSSSTEG=12	ALFA=0.05	VARIANS=	3779052,9998019	MEDELFE=	1034,8290405
PREDIKTIONSSSTEG=12	ALFA=0.10	VARIANS=	4371355,4998394	MEDELFE=	614,9596252
PREDIKTIONSSSTEG=12	ALFA=0.15	VARIANS=	5324826,4999128	MEDELFE=	519,4403687
PREDIKTIONSSSTEG=12	ALFA=0.20	VARIANS=	6151061,8748143	MEDELFE=	490,0465088
PREDIKTIONSSSTEG=12	ALFA=0.25	VARIANS=	6741812,8750286	MEDELFE=	474,9638791
PREDIKTIONSSSTEG=12	ALFA=0.30	VARIANS=	7139941,5000341	MEDELFE=	461,5837936
PREDIKTIONSSSTEG=12	ALFA=0.35	VARIANS=	7413887,2497715	MEDELFE=	447,1052017
PREDIKTIONSSSTEG=12	ALFA=0.40	VARIANS=	7618359,5000766	MEDELFE=	431,3209839
PREDIKTIONSSSTEG=12	ALFA=0.45	VARIANS=	7789814,6249353	MEDELFE=	414,5418930
PREDIKTIONSSSTEG=12	ALFA=0.50	VARIANS=	7950862,0002306	MEDELFE=	397,1034927
PREDIKTIONSSSTEG=12	ALFA=0.55	VARIANS=	8115215,3750881	MEDELFE=	379,2416534
PREDIKTIONSSSTEG=12	ALFA=0.60	VARIANS=	8291387,7498358	MEDELFE=	361,1101913
PREDIKTIONSSSTEG=12	ALFA=0.65	VARIANS=	8485075,5003280	MEDELFE=	342,7821960
PREDIKTIONSSSTEG=12	ALFA=0.70	VARIANS=	8700689,5001977	MEDELFE=	324,2629132
PREDIKTIONSSSTEG=12	ALFA=0.75	VARIANS=	8942267,5003297	MEDELFE=	305,6054840
PREDIKTIONSSSTEG=12	ALFA=0.80	VARIANS=	9214169,0002754	MEDELFE=	286,7061615
PREDIKTIONSSSTEG=12	ALFA=0.85	VARIANS=	9521665,5000112	MEDELFE=	267,5443802
PREDIKTIONSSSTEG=12	ALFA=0.90	VARIANS=	9871527,4995192	MEDELFE=	248,0571938
PREDIKTIONSSSTEG=12	ALFA=0.95	VARIANS=	10273041,9998988	MEDELFE=	228,1753426
PREDIKTIONSSSTEG=12	ALFA=1.00	VARIANS=	5224857,8746803	MEDELFE=	1476,4068908

Tabell 18. Varians och medelfel vid 24-stegsprediktion av Företags-

data för $\alpha = 0.0, (0.05), 1.0$

PREDIKTIONSSSTEG=24	ALFA=0.00	VARIANS=	30403898.5003717	MEDELFE=	7689.3638917
PREDIKTIONSSSTEG=24	ALFA=0.05	VARIANS=	5135906.6246077	MEDELFE=	1661.5756836
PREDIKTIONSSSTEG=24	ALFA=0.10	VARIANS=	4789171.7499587	MEDELFE=	976.7054901
PREDIKTIONSSSTEG=24	ALFA=0.15	VARIANS=	5095310.4998916	MEDELFE=	699.8252564
PREDIKTIONSSSTEG=24	ALFA=0.20	VARIANS=	5611271.6249190	MEDELFE=	557.2888642
PREDIKTIONSSSTEG=24	ALFA=0.25	VARIANS=	6205816.1250315	MEDELFE=	477.9746551
PREDIKTIONSSSTEG=24	ALFA=0.30	VARIANS=	6826164.3750593	MEDELFE=	430.8590698
PREDIKTIONSSSTEG=24	ALFA=0.35	VARIANS=	7445933.4998391	MEDELFE=	400.4499817
PREDIKTIONSSSTEG=24	ALFA=0.40	VARIANS=	8056586.3749943	MEDELFE=	378.5496292
PREDIKTIONSSSTEG=24	ALFA=0.45	VARIANS=	8660900.4996716	MEDELFE=	360.7032242
PREDIKTIONSSSTEG=24	ALFA=0.50	VARIANS=	9267682.2496578	MEDELFE=	344.4779663
PREDIKTIONSSSTEG=24	ALFA=0.55	VARIANS=	9888402.2496640	MEDELFE=	328.5486832
PREDIKTIONSSSTEG=24	ALFA=0.60	VARIANS=	10535505.9998109	MEDELFE=	312.2561264
PREDIKTIONSSSTEG=24	ALFA=0.65	VARIANS=	11221739.9994842	MEDELFE=	295.2955170
PREDIKTIONSSSTEG=24	ALFA=0.70	VARIANS=	11960259.0003050	MEDELFE=	277.5667267
PREDIKTIONSSSTEG=24	ALFA=0.75	VARIANS=	12765087.7498090	MEDELFE=	259.0718994
PREDIKTIONSSSTEG=24	ALFA=0.80	VARIANS=	13652321.0001178	MEDELFE=	239.8073921
PREDIKTIONSSSTEG=24	ALFA=0.85	VARIANS=	14641720.9994979	MEDELFE=	219.7860069
PREDIKTIONSSSTEG=24	ALFA=0.90	VARIANS=	15759154.4999741	MEDELFE=	198.9579239
PREDIKTIONSSSTEG=24	ALFA=0.95	VARIANS=	17040313.4999796	MEDELFE=	177.2068901
PREDIKTIONSSSTEG=24	ALFA=1.00	VARIANS=	6659306.7501671	MEDELFE=	2631.4135130

Tabell 19. Varians och medelfel vid 48-stegsprediktion av Företags-
data för $\alpha = 0.0, (0.05), 1.0$

PREDIKTIONSSSTEG=48	ALFA=0.00	VARIANS=	28126123,4986595	MEDELFE=	8963,8723144
PREDIKTIONSSSTEG=48	ALFA=0.05	VARIANS=	7716107,1249283	MEDELFE=	3293,1872557
PREDIKTIONSSSTEG=48	ALFA=0.10	VARIANS=	8703515,4998302	MEDELFE=	2504,3002930
PREDIKTIONSSSTEG=48	ALFA=0.15	VARIANS=	9413047,2503602	MEDELFE=	2240,8584595
PREDIKTIONSSSTEG=48	ALFA=0.20	VARIANS=	10146175,5000054	MEDELFE=	2094,9390869
PREDIKTIONSSSTEG=48	ALFA=0.25	VARIANS=	10916901,2499041	MEDELFE=	1997,4015503
PREDIKTIONSSSTEG=48	ALFA=0.30	VARIANS=	11686952,9993273	MEDELFE=	1925,3173524
PREDIKTIONSSSTEG=48	ALFA=0.35	VARIANS=	12459583,4994688	MEDELFE=	1867,8970336
PREDIKTIONSSSTEG=48	ALFA=0.40	VARIANS=	13263953,2489702	MEDELFE=	1819,3127137
PREDIKTIONSSSTEG=48	ALFA=0.45	VARIANS=	14135487,7492412	MEDELFE=	1776,1352539
PREDIKTIONSSSTEG=48	ALFA=0.50	VARIANS=	15108134,7502768	MEDELFE=	1736,1794434
PREDIKTIONSSSTEG=48	ALFA=0.55	VARIANS=	16214053,2503835	MEDELFE=	1697,9114380
PREDIKTIONSSSTEG=48	ALFA=0.60	VARIANS=	17486549,4994446	MEDELFE=	1660,2497558
PREDIKTIONSSSTEG=48	ALFA=0.65	VARIANS=	18963743,0002912	MEDELFE=	1622,3709412
PREDIKTIONSSSTEG=48	ALFA=0.70	VARIANS=	20692691,9999532	MEDELFE=	1583,6449585
PREDIKTIONSSSTEG=48	ALFA=0.75	VARIANS=	22733400,9995684	MEDELFE=	1543,6034546
PREDIKTIONSSSTEG=48	ALFA=0.80	VARIANS=	25163380,0007402	MEDELFE=	1501,8117066
PREDIKTIONSSSTEG=48	ALFA=0.85	VARIANS=	28083682,9985491	MEDELFE=	1457,9642029
PREDIKTIONSSSTEG=48	ALFA=0.90	VARIANS=	31626281,9990515	MEDELFE=	1411,7617798
PREDIKTIONSSSTEG=48	ALFA=0.95	VARIANS=	35965793,0000685	MEDELFE=	1362,9081116
PREDIKTIONSSSTEG=48	ALFA=1.00	VARIANS=	11158623,7493902	MEDELFE=	5197,7523192

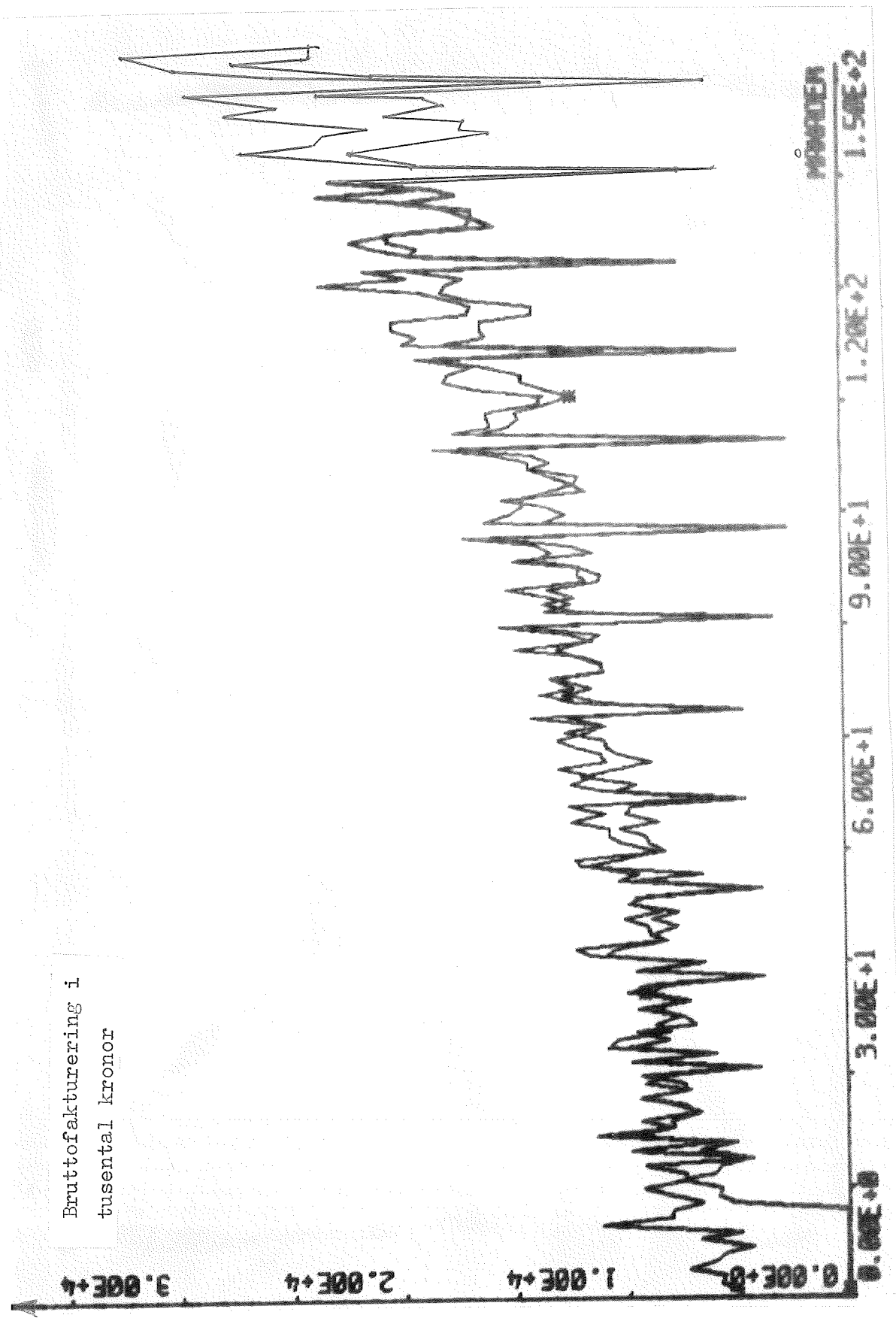


Fig. 5.7 Prediktionen av Företagsdata med heuristiska metoden med $k = 1$ och $\alpha = 0.95$. Företagsdata = I, Prediktionen av Företagsdata = #.

Bruttofakturereringen
i tusental kronor.

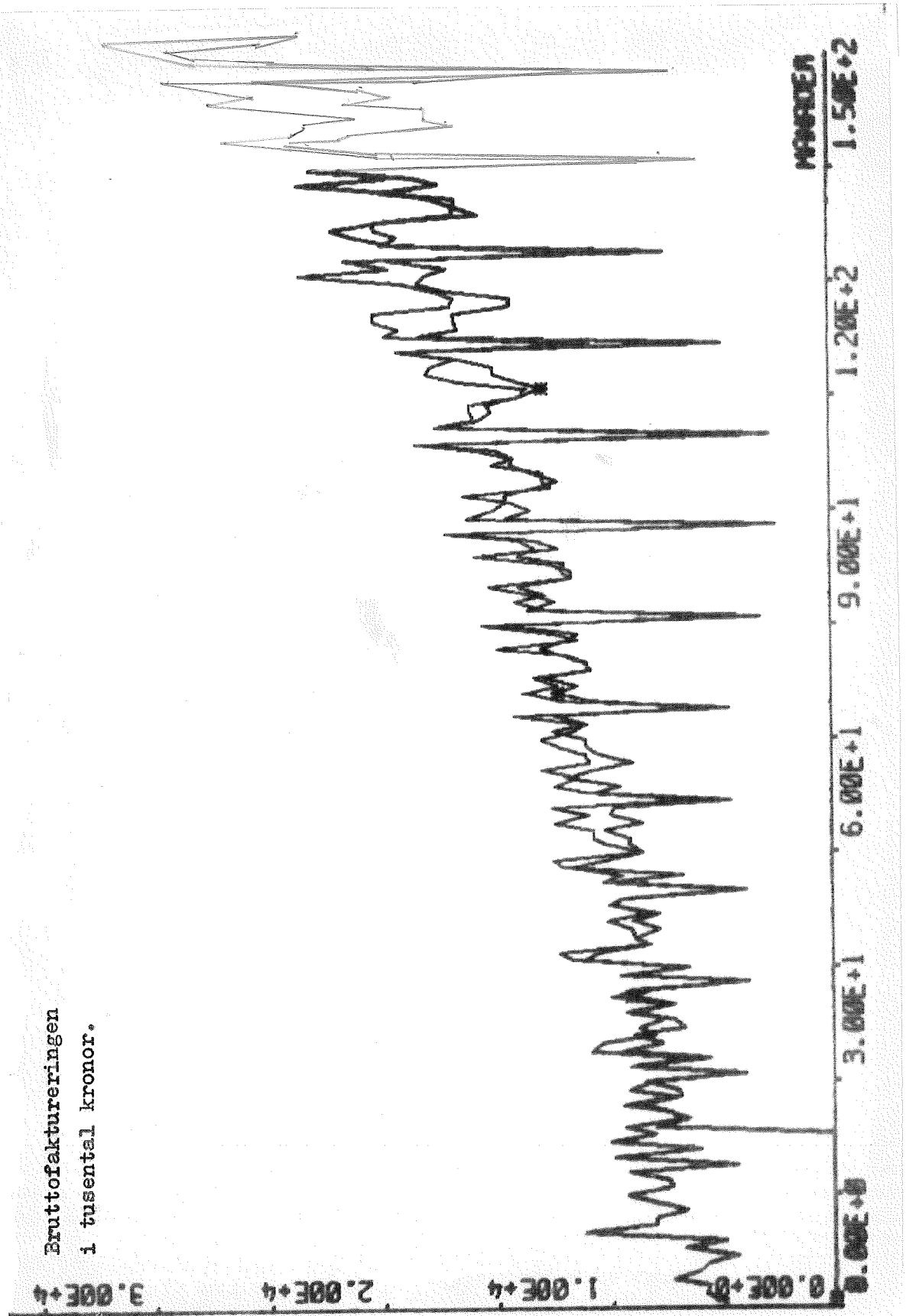


Fig. 5.8 Prediktionen av Företagsdata med heuristiska metoden med $k = 12$ och $\alpha = 0.05$. Företagsdata = I, Prediktionen av Företagsdata = K.

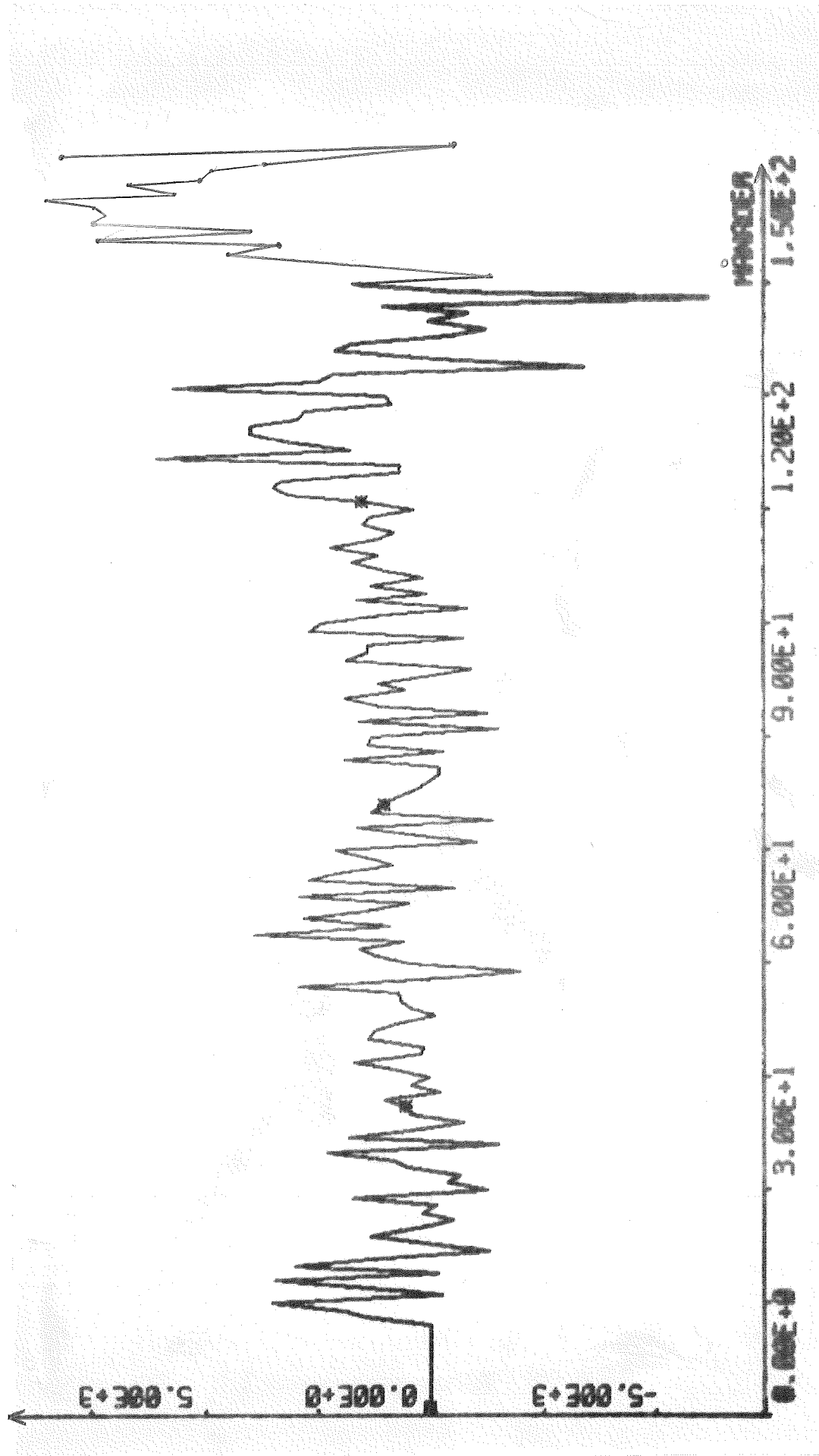


Fig. 5.9 Prediktionsfelet vid prediktion av Företagsdata med heuristiska metoden med $k = 1$ och $\alpha = 0.95$.

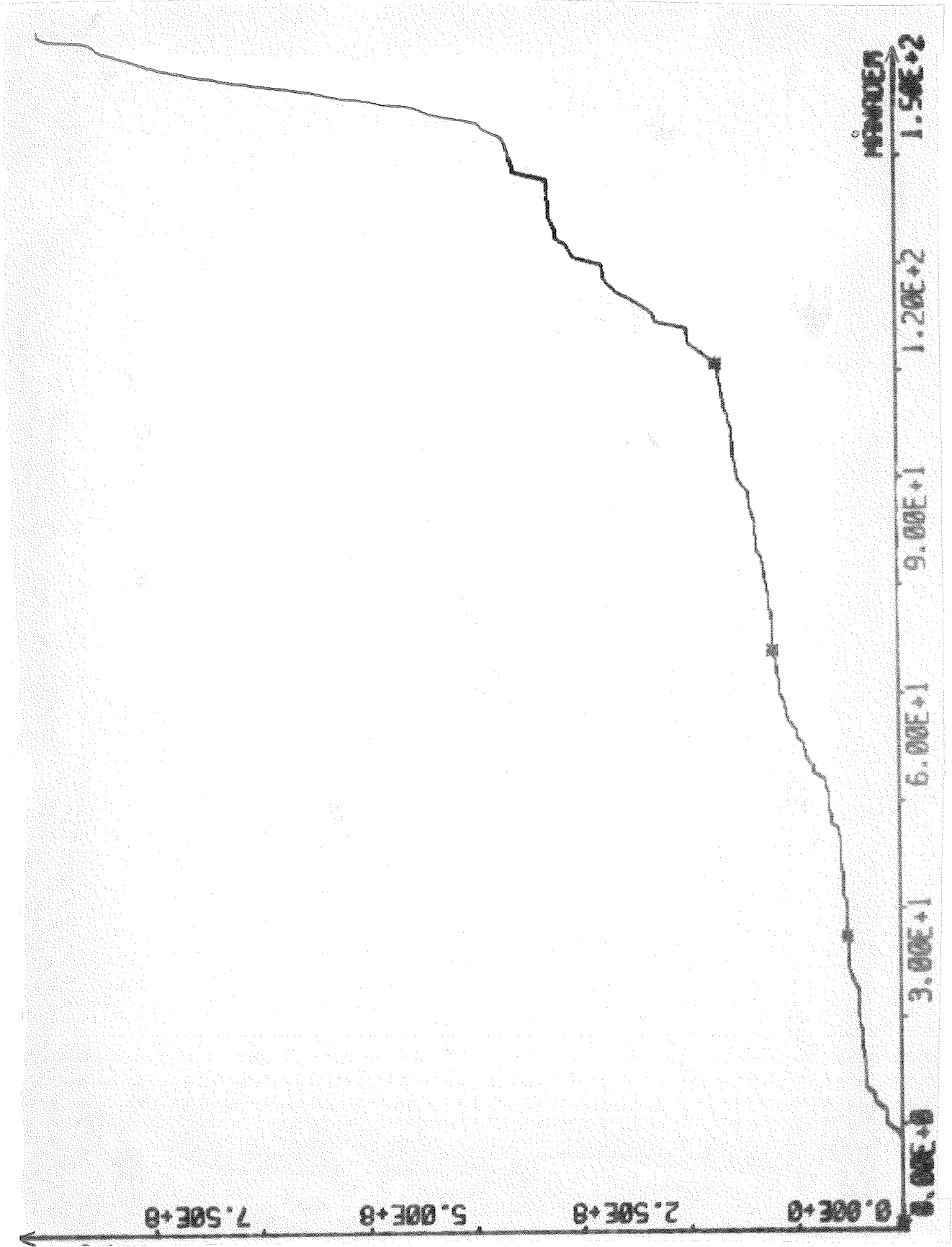


Fig. 5.10 Summa prediktionsfel i kvadrat vid prediktion av Företagsdata med heuristiska metoden med $k = 1$ och $\alpha = 0.95$.

5.3 Kommentar till heuristiska metoden.

Vid prediktering med den heuristiska metoden på Flygdata och Företagsdata med prediktionssteglängderna, $k=1,2,3$ och 6 månader erhöles variansmin för ett högt värde på utjämningskoefficienten α , d.v.s. stor hänsyn tas till senaste uppmätta värdet. Vid längre prediktionssteg, såsom $k=12,24$ och 48 månader erhöles minimum för ett lågt värde på α , d.v.s. stor hänsyn tas till gamla uppmätta värden. Att hoppet sker vid prediktionssteget, k , lika med tolv månader kan bero på att **prediktionen då sträcker sig över en säsong**, men kan även bero på den långa prediktionslängden.

De branta stigningarna i figurerna över summa prediktionsfel i kvadrat orsakas av att modellen ej är tillräckligt dynamisk. En mer dynamisk modell skulle eventuellt kunna ge en varians som motsvaras av de flacka stigningarna i figurerna.

6. VAL AV METOD ATT VÄLJA A-PARAMETRAR TILL GENERELL EXPONENTIELL
UTJÄMNING

Modellerna DAT1A - DAT1F och DAT2A - DAT2F enligt nedan är byggda på 400 av de 500 data som finns i DAT1 resp. DAT2.

6.1 Trenddata

Trenden befanns vara $10.0 + 0.05 t$ vilket var lika med den som användes vid genereringen (se kapitel 4.1.1). Beroende efter vilken metod vi väljer att använda vid bestämmandet av a-parametrar, fås nedan redovisade f-vektor, a-vektor och L-matris.

DAT1A - DAT1F betecknar att data har utseendet enligt DAT1 i datapresentationen (se kapitel 4.1.1) och att a-parametrarna har valts enligt punkterna C:a - C:f i kapitel 3.3. Således innebär DAT1A och DAT1B att parametrarna valts enligt punkt C:a resp. C:b. Analogt gäller för DAT1C - DAT1F.

DAT1A

Anpassningsfunktioner:	a-parametrar:	L-matris:
$f_1(t) = 1$	$a_1(0) = 10.0$	1.0 0.0
$f_2(t) = t$	$a_2(0) = 0.05$	1.0 1.0

DAT1B

Anpassningsfunktioner:	a-parametrar:	L-matris:
$f_1(t) = 1$	$a_1(0) = 0.0$	1.0 0.0
$f_2(t) = t$	$a_2(0) = 0.0$	1.0 0.0

DAT1C

Anpassningsfunktion:	a-parameter:	L-matris:
$f_1(t) = 1$	$a_1(0) = 10.0$	1.0

DAT1D

Anpassningsfunktion:	a-parameter:	L-matris:
$f_1(t) = 1$	$a_1(0) = 0.0$	1.0

DAT1E

Anpassningsfunktioner:	a-parametrar:	L-matris:
$f_1(t) = 1$	$a_1(0) = 10.0$	1.0 0.0 0.0
$f_2(t) = t$	$a_2(0) = 0.05$	1.0 1.0 0.0
$f_3(t) = t(t-1)/2$	$a_3(0) = 0.0$	0.0 1.0 1.0

DAT1F

Anpassningsfunktioner:	a-parametrar:	L-matris:
$f_1(t) = 1$	$a_1(0) = 0.0$	1.0 0.0 0.0
$f_2(t) = t$	$a_2(0) = 0.0$	1.0 1.0 0.0
$f_3(t) = t(t-1)/2$	$a_3(0) = 0.0$	0.0 1.0 1.0

Vid körning erhöill vi de i tabell 20 redovisade resultaten på medelfel och varians för olika prediktionssteg, k , och olika viktfaktorer, β .

En genomgående tendens för de olika typerna av data, är att om prediktionssteget är litet skall låg viktfaktor, β , väljas. Däremot om prediktionssteget är stort, bör en viktfaktor, β , med högt värde väljas.

I tabell 21 redovisas medelfelsminimum och variansminimum för prediktionsstegen 1, 2, 3, 6 och 12 månader.

Tabell 20.

		$\beta = 0.97$		$\beta = 0.94$		$\beta = 0.91$		$\beta = 0.88$	
		Var.	Medf.	Var.	Medf.	Var.	Medf.	Var.	Medf.
k=1	DAT1A	0.861	-0.049	0.774	-0.050	0.677	-0.051	0.569	-0.052
	DAT1B	2.539	0.056	1.591	-0.026	1.217	-0.041	0.969	-0.046
	DAT1C	0.966	1.471	0.864	0.714	0.812	0.448	0.762	0.313
	DAT1D	2.954	2.118	2.160	1.028	1.740	0.651	1.478	0.460
	DAT1E	0.823	-0.050	0.687	-0.051	0.529	-0.052	0.353	-0.052
	DAT1F	2.051	-0.050	1.289	-0.051	0.924	-0.052	0.647	-0.052
k=2	DAT1A	0.983	-0.048	1.037	-0.049	1.103	-0.050	1.185	-0.050
	DAT1B	2.702	0.044	1.894	-0.041	1.692	-0.058	1.644	-0.063
	DAT1C	1.022	1.522	0.983	0.765	0.999	0.500	1.021	0.645
	DAT1D	3.039	2.171	2.309	1.080	1.958	0.703	1.771	0.512
	DAT1E	1.014	-0.049	1.117	-0.050	1.259	-0.051	1.465	-0.050
	DAT1F	2.306	-0.069	1.796	-0.071	1.750	-0.071	1.877	-0.071
k=3	DAT1A	0.976	-0.050	1.027	-0.051	1.093	-0.052	1.176	-0.053
	DAT1B	2.652	0.028	1.838	-0.060	1.643	-0.078	1.605	-0.085
	DAT1C	1.025	1.569	0.980	0.813	0.991	0.548	1.009	0.412
	DAT1D	2.994	2.219	2.253	1.128	1.896	0.751	1.704	0.560
	DAT1E	1.006	-0.051	1.111	-0.053	1.269	-0.053	1.514	-0.053
	DAT1F	2.280	-0.092	1.791	-0.093	1.784	-0.094	1.976	-0.093
k=6	DAT1A	0.985	-0.051	1.049	-0.052	1.144	-0.054	1.276	-0.056
	DAT1B	2.684	-0.013	1.886	-0.112	1.758	-0.134	1.808	-0.143
	DAT1C	1.033	1.718	0.988	0.963	1.000	0.698	1.020	0.562
	DAT1D	2.996	2.372	2.243	1.280	1.883	0.902	1.691	0.711
	DAT1E	1.023	-0.052	1.184	-0.054	1.472	-0.057	1.973	-0.059
	DAT1F	2.430	-0.155	2.110	-0.157	2.376	-0.160	2.975	-0.162
k=12	DAT1A	0.984	-0.048	1.062	-0.047	1.212	-0.047	1.469	-0.048
	DAT1B	2.838	-0.092	2.139	-0.211	2.268	-0.238	2.691	-0.250
	DAT1C	1.029	2.021	0.982	1.266	0.992	1.002	1.010	0.868
	DAT1D	3.048	2.682	2.275	1.587	1.907	1.209	1.719	1.018
	DAT1E	1.033	-0.048	1.311	-0.046	2.031	-0.049	3.588	-0.052
	DAT1F	3.003	-0.280	3.444	-0.278	5.072	-0.281	7.864	-0.284

TABELL 21

<u>k</u>	<u>Varians</u>	<u>Medelfel</u>	<u>β</u>	<u>DATA()</u>
1	<u>0.353</u>	-0.052	0.88	E
1	1.591	<u>-0.028</u>	0.91	B
2	<u>0.983</u>	-0.048	0.97	A
2	1.894	<u>-0.041</u>	0.94	B
3	<u>0.976</u>	-0.050	0.97	A
3	2.653	<u>0.028</u>	0.97	B
6	<u>0.985</u>	-0.051	0.97	A
6	2.684	<u>-0.013</u>	0.97	B
12	<u>0.982</u>	1.266	0.94	C
12	1.311	<u>-0.046</u>	0.94	E

De understrukna värdena i tabellen ovan betecknar minima-
värdena.

6.2 Svängningsdata

Nivån befanns vara 20.0 vilket var lika med den som användes vid genereringen (se kapitel 4.1.2). Periodens längd befanns vara 24 månader.

P.s.s. som vid trenddata (DAT1-data) fås nedanstående redovisade f-vektor, a-vektor och L-matris.

Beteckningarna DAT2A - DAT2F följer samma mönster som redovisades för DAT1A - DAT1F tidigare, men med det undantaget att DAT2 betecknar att data har utseendet enligt DAT2 i datapresentationen (se kapitel 4.1.2).

DAT2A

Anpassningsfunktioner:	a-parametrar:	L-matris:
$f_1(t) = 1$	$a_1(0) = 20.0$	1.0 0.0 0.0
$f_2(t) = \sin\left(\frac{2\pi \cdot t}{24}\right)$	$a_2(0) = 10.0$	0.0 0.9659 0.2588
$f_3(t) = \cos\left(\frac{2\pi \cdot t}{24}\right)$	$a_3(0) = 0.0$	0.0 -0.2588 0.9659

DAT2B

Anpassningsfunktioner:	a-parametrar:	L-matris:
$f_1(t) = 1$	$a_1(0) = 0.0$	1.0 0.0 0.0
$f_2(t) = \sin\left(\frac{2\pi \cdot t}{24}\right)$	$a_2(0) = 0.0$	0.0 0.9659 0.2588
$f_3(t) = \cos\left(\frac{2\pi \cdot t}{24}\right)$	$a_3(0) = 0.0$	0.0 -0.2588 0.9659

DAT2C

Anpassningsfunktion:	a-parameter:	L-matris:
$f_1(t) = 1$	$a_1(0) = 20.0$	1.0

DAT2D

Anpassningsfunktion:	a-parameter:	L-matris:
$f_1(t) = 1$	$a_1(0) = 0.0$	1.0

DAT2E

Anpassningsfunktioner:

$$f_1(t) = 1$$

$$f_2(t) = \sin\left(\frac{2\pi \cdot t}{24}\right)$$

$$f_3(t) = \cos\left(\frac{2\pi \cdot t}{24}\right)$$

$$f_4(t) = \sin\left(\frac{2\pi \cdot t}{48}\right)$$

$$f_5(t) = \cos\left(\frac{2\pi \cdot t}{48}\right)$$

a-parametrar:

$$a_1(0) = 20.0$$

$$a_2(0) = 10.0$$

$$a_3(0) = 0.0$$

$$a_4(0) = 0.0$$

$$a_5(0) = 0.0$$

L-matris:

1.0	0.0	0.0	0.0	0.0
0.0	0.9659	0.2588	0.0	0.0
0.0	-0.2588	0.9659	0.0	0.0
0.0	0.0	0.0	0.9914	0.1305
0.0	0.0	0.0	-0.1305	0.9914

DAT2F

Anpassningsfunktioner:

$$f_1(t) = 1$$

$$f_2(t) = \sin\left(\frac{2\pi \cdot t}{24}\right)$$

$$f_3(t) = \cos\left(\frac{2\pi \cdot t}{24}\right)$$

$$f_4(t) = \sin\left(\frac{2\pi \cdot t}{48}\right)$$

$$f_5(t) = \cos\left(\frac{2\pi \cdot t}{48}\right)$$

a-parametrar:

$$a_1(0) = 0.0$$

$$a_2(0) = 0.0$$

$$a_3(0) = 0.0$$

$$a_4(0) = 0.0$$

$$a_5(0) = 0.0$$

L-matris:

1.0	0.0	0.0	0.0	0.0
0.0	0.9659	0.2588	0.0	0.0
0.0	-0.2588	0.9659	0.0	0.0
0.0	0.0	0.0	0.9914	0.1305
0.0	0.0	0.0	-0.1305	0.9914

Vid körning erhöill vi de i tabell 22 redovisade resultaten på medelfel och varians för olika prediktionssteg, k, och olika viktfaktorer, β .

En genomgående tendens för de olika typerna av data, är att om prediktionssteget är litet skall en låg viktfaktor, β , väljas. Om prediktionssteget däremot är stort, skall en viktfaktor, β , med högt värde väljas.

Tabell 22.

		$\beta = 0.97$		$\beta = 0.94$		$\beta = 0.91$		$\beta = 0.88$	
		Var.	Medf.	Var.	Medf.	Var.	Medf.	Var.	Medf.
k=1	DAT2A	3.81	0.026	3.88	0.026	3.81	0.026	3.69	0.025
	DAT2B	16.32	1.266	9.59	0.585	7.04	0.352	5.80	0.233
	DAT2C	49.35	-0.041	45.43	-0.046	40.12	-0.048	33.91	-0.047
	DAT2D	62.55	1.254	53.20	0.582	45.85	0.357	38.52	0.247
	DAT2E	3.76	0.026	3.78	0.025	3.62	0.024	3.51	0.023
	DAT2F	13.77	1.166	6.88	0.454	5.19	0.219	4.84	0.117
k=2	DAT2A	3.99	0.023	4.29	0.024	4.49	0.023	4.73	0.023
	DAT2B	17.89	1.340	11.32	0.657	8.81	0.419	7.69	0.294
	DAT2C	52.62	-0.052	51.89	-0.058	49.47	-0.063	45.51	-0.065
	DAT2D	65.60	1.246	59.53	0.571	55.17	0.343	50.19	0.230
	DAT2E	4.09	0.023	4.59	0.022	5.20	0.022	6.36	0.020
	DAT2F	16.68	1.316	9.19	0.580	7.66	0.311	8.59	0.174
k=3	DAT2A	3.97	0.017	4.24	0.017	4.43	0.018	4.66	0.018
	DAT2B	18.88	1.401	12.37	0.719	9.70	0.481	8.36	0.353
	DAT2C	55.71	-0.070	58.34	-0.078	59.15	-0.085	57.99	-0.089
	DAT2D	65.16	1.231	65.48	0.553	64.45	0.322	62.38	0.206
	DAT2E	4.05	0.017	4.54	0.017	5.25	0.018	6.78	0.019
	DAT2F	19.27	1.461	10.88	0.710	8.69	0.413	9.93	0.248
k=6	DAT2A	4.01	0.011	4.25	0.011	4.38	0.011	4.55	0.011
	DAT2B	20.24	1.503	14.82	0.844	12.50	0.622	10.92	0.502
	DAT2C	62.81	-0.128	74.49	-0.137	85.39	-0.148	94.37	-0.158
	DAT2D	73.21	1.181	79.62	0.497	88.85	0.261	97.16	0.139
	DAT2E	4.08	0.010	4.50	0.010	5.41	0.008	8.30	0.006
	DAT2F	27.49	1.834	18.74	1.103	14.48	0.768	16.36	0.531
k=12	DAT2A	4.01	0.034	4.25	0.035	4.33	0.035	4.37	0.035
	DAT2B	14.47	1.252	10.59	0.657	10.23	0.507	10.25	0.457
	DAT2C	58.44	-0.181	69.72	-0.179	85.02	-0.180	102.96	-0.183
	DAT2D	66.03	1.143	71.52	0.463	84.86	0.235	102.03	0.117
	DAT2E	4.09	0.034	4.32	0.034	4.59	0.034	6.16	0.035
	DAT2F	33.11	2.005	32.42	1.518	29.49	1.348	28.22	1,181

I tabell 23 redovisas medelfelsminimum och variansminimum för prediktionsstegen 1, 2, 3, 6 och 12 månader.

TABELL 23

<u>k</u>	<u>Varians</u>	<u>Medelfel</u>	<u>β</u>	<u>DAT2()</u>
1	<u>3.509</u>	0.023	0.88	E
1	3.509	<u>0.023</u>	0.88	E
2	<u>3.993</u>	0.023	0.97	A
2	6.360	<u>0.020</u>	0.88	E
3	<u>3.973</u>	0.017	0.97	A
3	4.054	<u>0.017</u>	0.97	E
6	<u>4.009</u>	0.011	0.97	A
6	8.296	<u>0.006</u>	0.88	E
12	<u>4.014</u>	0.034	0.97	A
12	4.014	<u>0.034</u>	0.97	A

De understrukna värdena i tabellen ovan betecknar minima-
värdena.

6.3 Metod för att bestämma parametrar i modellen

Trenddata (DAT1)

Om man startar med startparametrar som erhållits ur dataprogrammet MINKO (se appendix A2) kommer prediktionen hela tiden att variera med liten avvikelse kring trenden (se figur 6.1). Väljer man däremot alla startparametrar till noll, behöver prediktionen en viss tid för att svänga in sig, vilket framgår av figur 6.2. När den gjort detta, kommer prediktionen även här att fluktuera med liten avvikelse kring trenden.

Ökningen av summa prediktionsfel i kvadrat är i båda fallen lika. Detta framgår av figurerna 6.3 och 6.4. Detta har till följd, att om startparametrarna väljes lika med noll fås totalt högre varians, trots att variansen under de sista 300 tidpunkterna är lika.

Svängningsdata (DAT2)

Då startparametrarna är valda till noll (DAT2B) beror insvängningstiden av valet av viktfaktorn, β . Detta framgår i figurerna 6.5 och 6.6 där $\beta = 0.97$ resp. 0.88 .

Även här är variansen lika efter insvängningen för de båda fallen (se figurerna 6.7 och 6.8).

Slutsats

Då vi för den fortsatta användningen av dataprogrammet GEEP behöver ett sätt att välja α -parametrar, studerade vi varians- och medelfelsminimum för de olika prediktionsstegen, k , vilka framgår av tabellerna 22 och 24.

Av dessa två tabeller kan man erhålla följande sammanställning:

Modell	VARIANSMINIMUM			Modell	MEDELFELSMINIMUM		
	Antal				Antal		
	DAT1	DAT2		DAT1	DAT2		
A	= 4	+ 3	= 7	A	= 1	+ 0	= 1
B	=		= 0	B	= 0	+ 4	= 4
C	= 0	+ 1	= 1	C	=		= 0
D	=		= 0	D	=		= 0
E	= 1	+ 1	= 2	E	= 4	+ 1	= 5
F	=		= 0	F	=		= 0

I tabellen ovan framgår det att för att erhålla variansminimum, bör man välja metod A och för att få medelfelsminimum metod E. Eftersom det är svårt att i metod E bestämma den extra anpassningsfunktionen (ev. anpassningsfunktioner), har vi endast använt metod A.

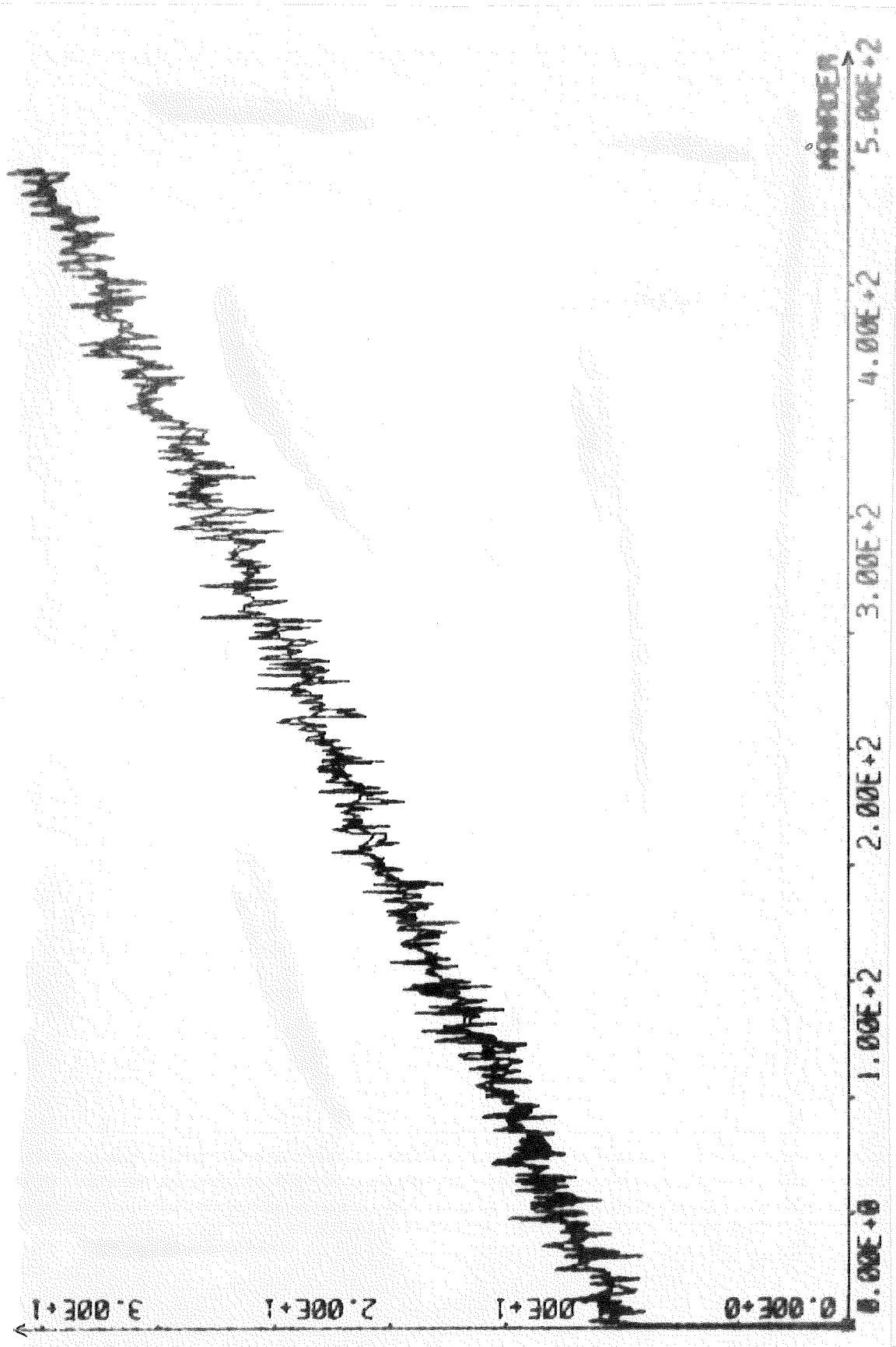


Fig. 6.1 Prediktionen av trenddata (DAT1) med generell exponentiell utjämnning då startparametrarna erhållits ur dataprogrammet MINKO. $k=1$ och $\beta = 0.91$. Trenddata = I, Prediktionen av trenddata = \hat{x} .

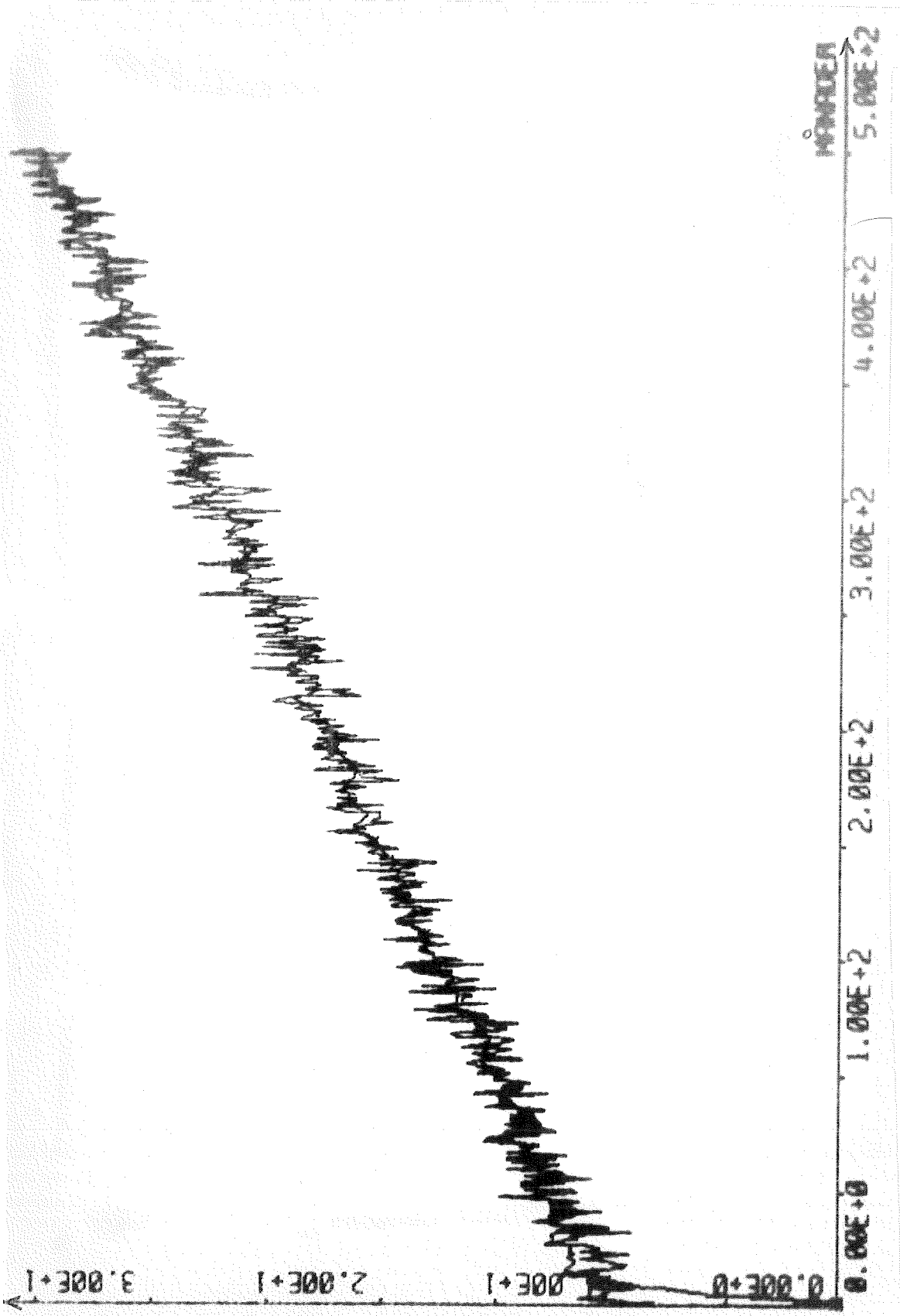


Fig. 6.2 Prediktionen av trenddata (DAT1) med generell exponentiell utjämning då startparametrarna satts lika med noll. $k=1$ och $\beta = 0.91$. Trenddata = I, Prediktionen av trenddata = \hat{x} .

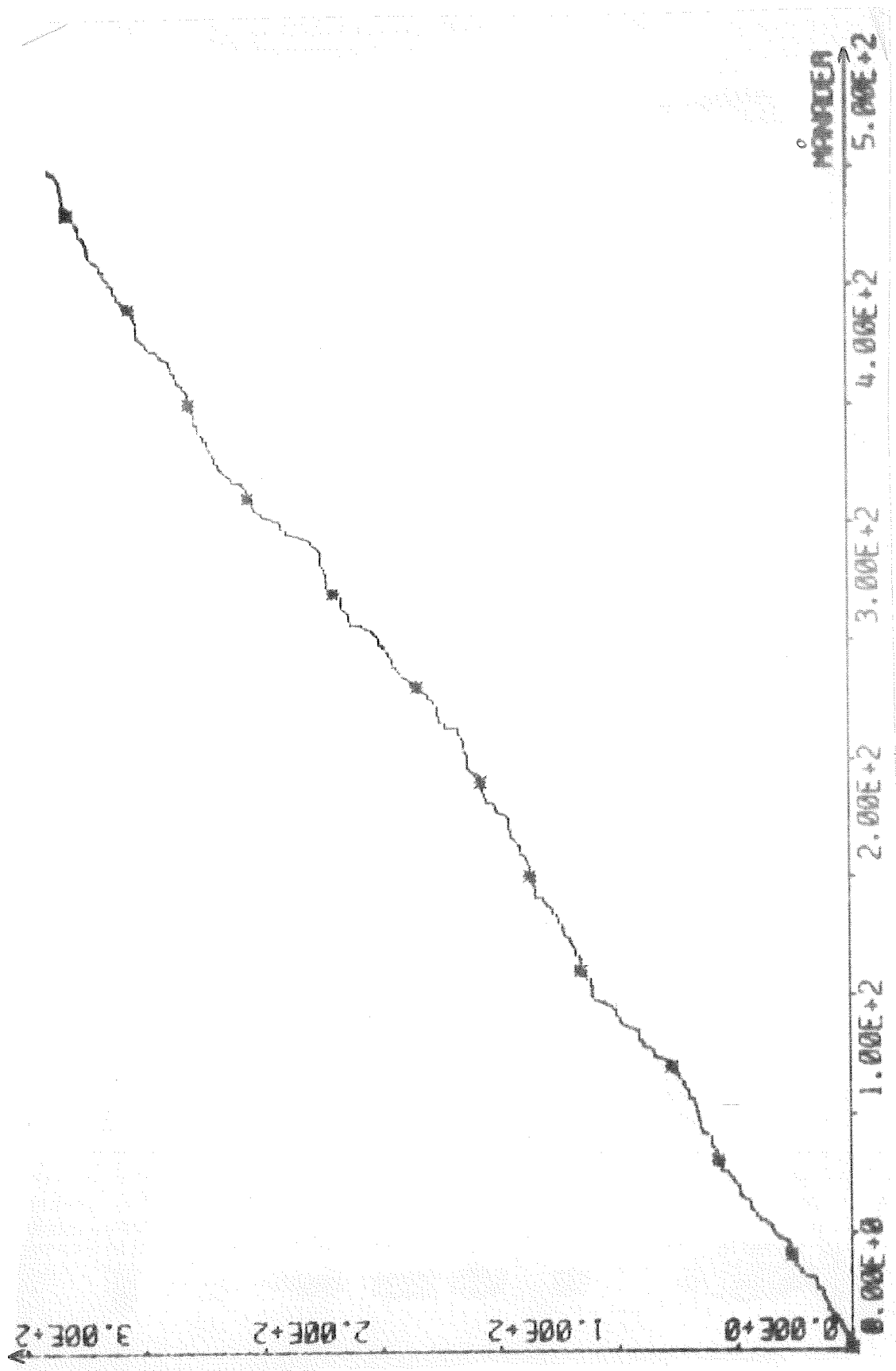


Fig. 6.3 Summa prediktionsfel i kvadrat vid prediktion av trenddata med generell exponentiell utjämning med $k=1$ och $\lambda=0.91$. Startparametrarna har erhållits ur dataprogrammet MINKO.

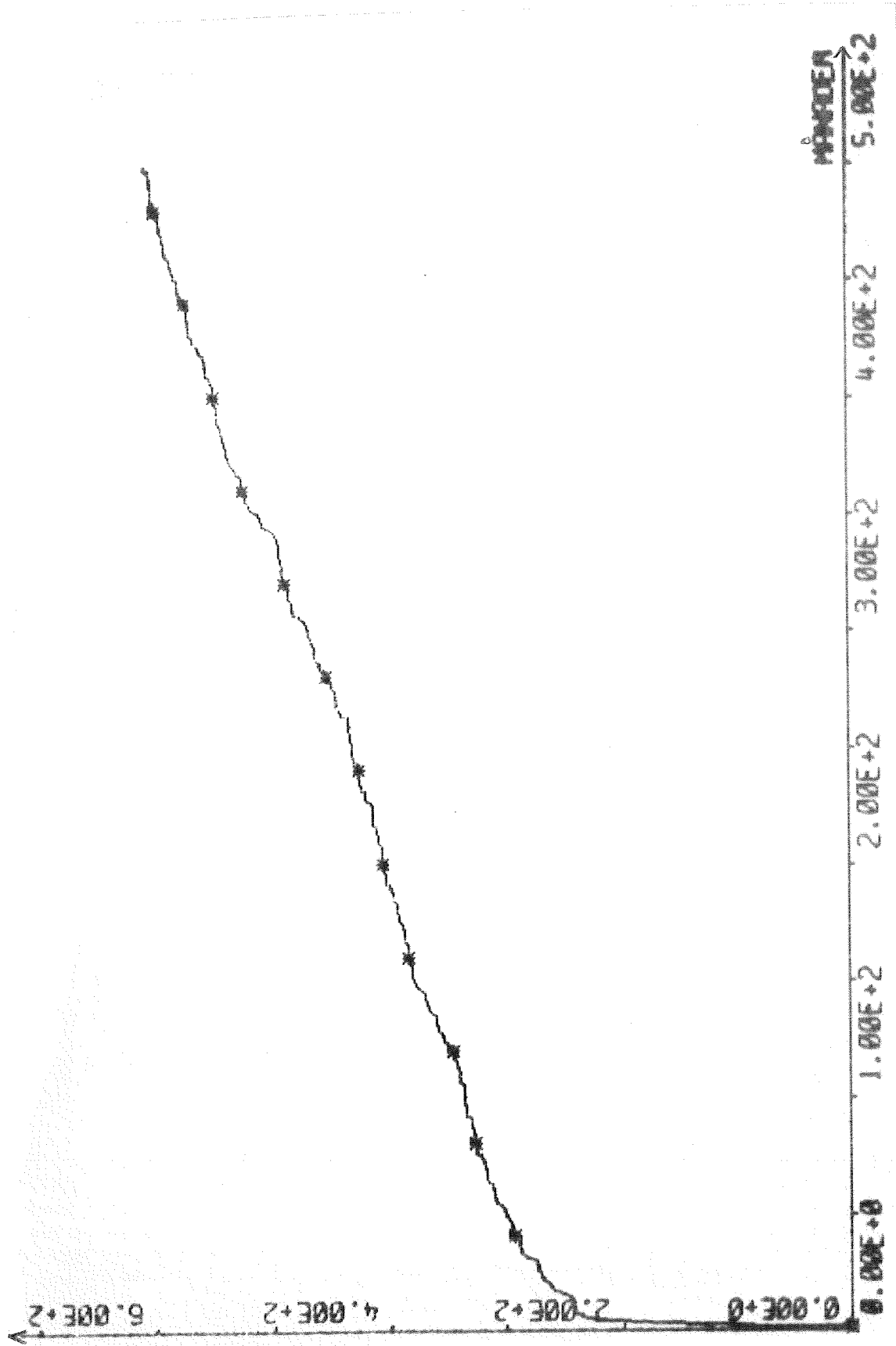


Fig. 6.4 Summa prediktionsfel i kvadrat vid prediktion av trenddata med generell exponentiell utjämning med $k=1$ och $\beta=0.91$. Startparametrarna har satts till noll.

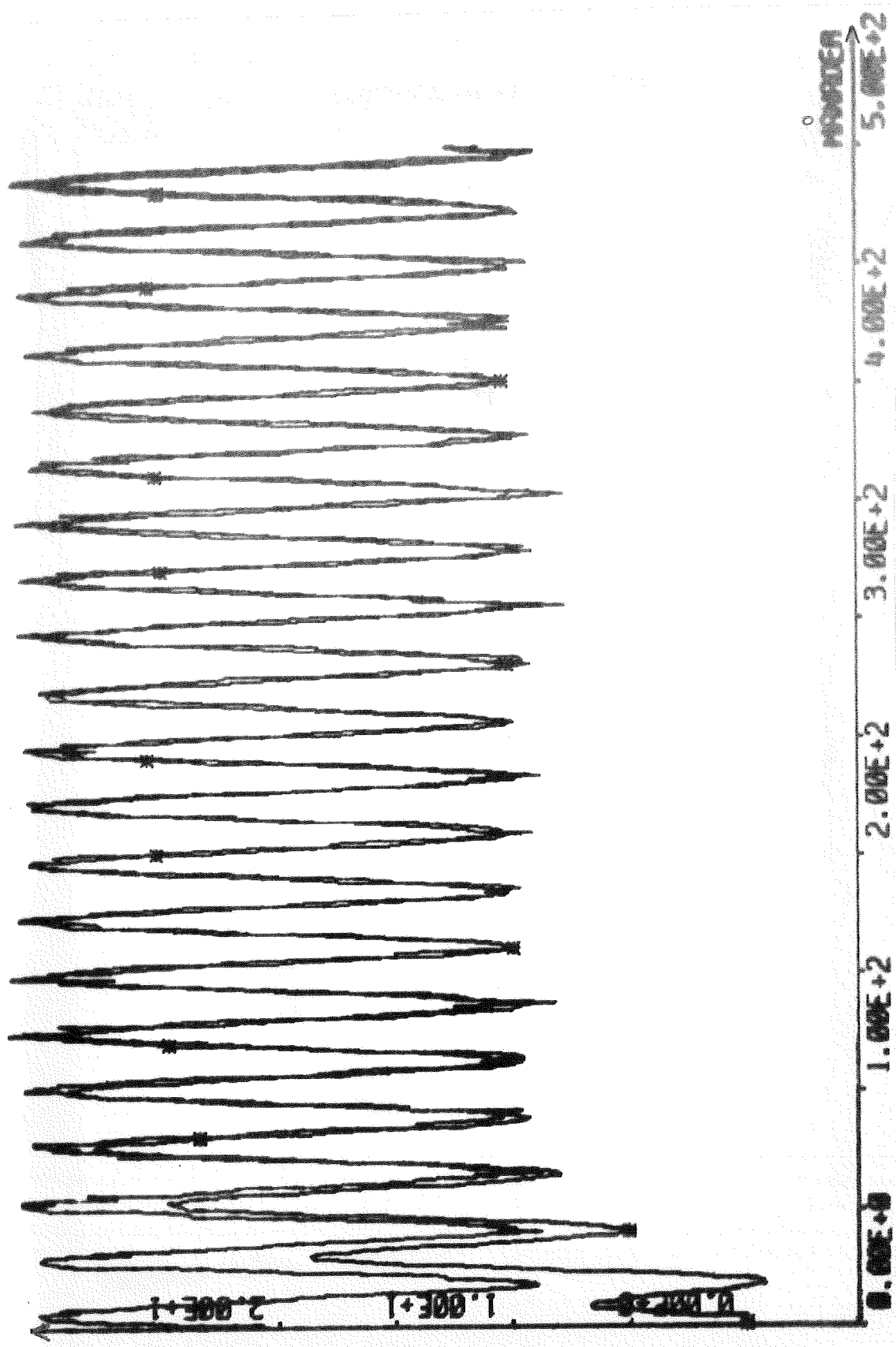


Fig. 6.5 Prediktionen av svängningsdata (DAT2) med generell exponentiell utjämnning då startparametrarna satts lika med noll. $k=3$ och $\beta = 0.97$. Svängningsdata = I, Prediktionen av svängningsdata = *.

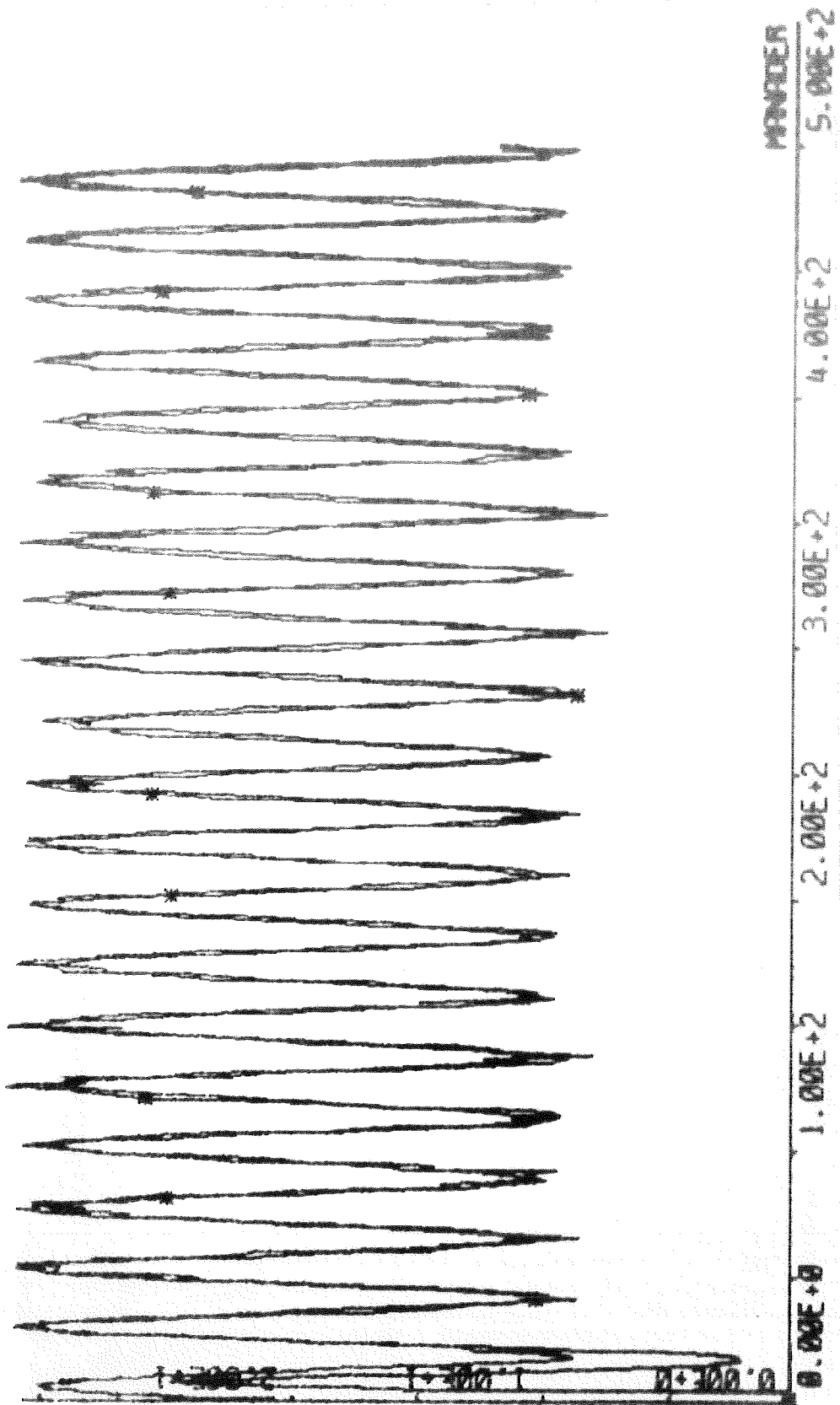


Fig. 6.6 Prediktionen av svängningsdata (DAT2) med generell exponentiell utjämnning då startparametrarna satts lika med noll. $M=3$ och $\beta = 0.88$. Svängningsdata = I, Prediktionen av svängningsdata = #.

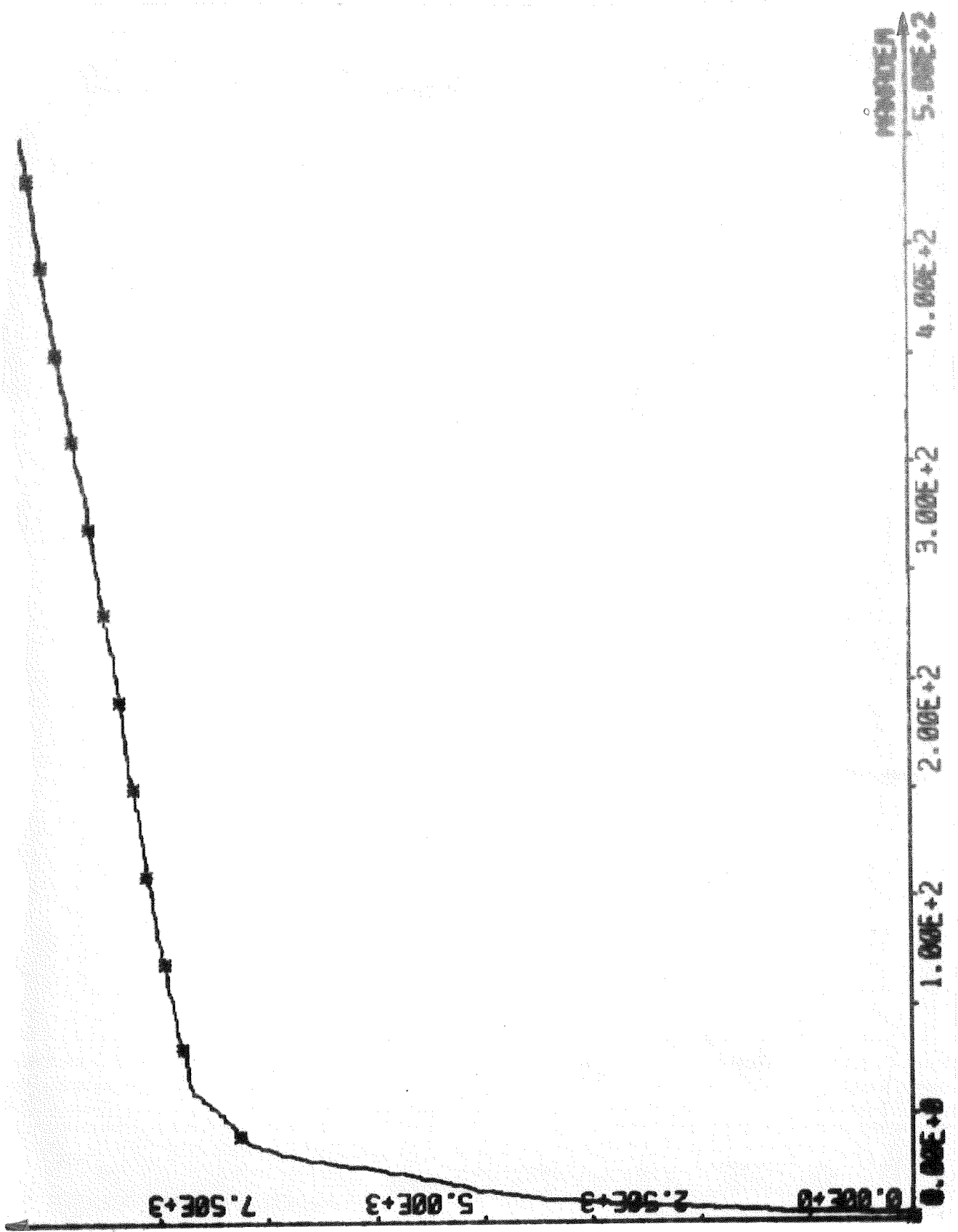


Fig. 6.7 Summa prediktionsfel i kvadrat vid prediktion av svängningsdata med generell exponentiell utjämnning då startparametrarna satts lika med noll. $k=3$ och $\beta = 0.97$.

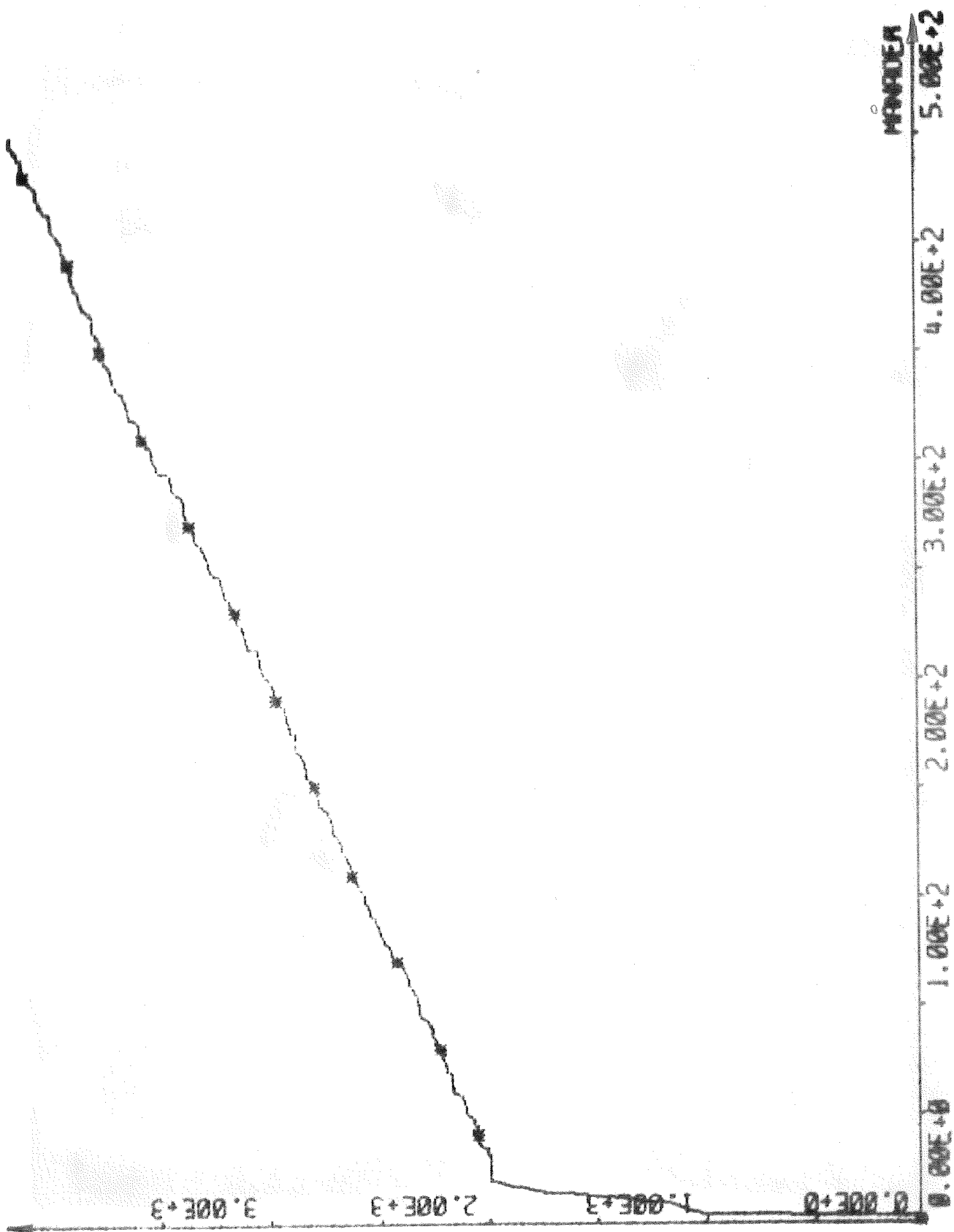


Fig. 6.8 Summa prediktionsfel i kvadrat vid prediktion av svängningsdata med generell exponentiell utjämning då startparametrarna satts lika med noll. $k=3$ och $\beta = 0.88$

7. PREDIKTIONRESULTAT MED GENERELL EXPONENTIELL UTJÄMNING

7.1 Företagsdata

Redan vid projektarbetet / 2 / framkom att dessa data har en årligen återkommande tidpunkt, juli månad, vars värde starkt avviker från övriga. Detta medförde att det uppstod svårigheter vid prediktering av dessa data.

För att undersöka denna månads inverkan, modifierades data genom att julivärdet ersattes med samma års junivärdet, i avsikt att kunna bedöma julimånadernas inverkan på prediktionen.

Först kommer de ursprungliga data att behandlas och därefter de modifierade, där julivärdet ersatts med junivärdet.

För att ha ett facit, byggdes modellen endast på de 96 första data.

7.1.1 Okorrigerade Företagsdata

Med hjälp av IDPAC / 5 / bestämdes 1:a, 2:a och 3:e ordningens trend (se figur 7.1). Härvid framgick det att det knappast kunde löna sig att använda en 3:e ordningens modell. Om vi skulle använda en 1:a eller 2:a ordningens modell, bestämdes genom att testa dessa i MINKO (se appendix A2).

För att bestämma periodicitet beräknas kovariansfunktionen för residualerna (se figur 7.2).

Följande modeller testades i MINKO:

1.

Anpassningsfunktioner:

$$f_1(t) = 1$$

$$f_2(t) = t$$

$$f_3(t) = \sin\left(\frac{2\pi \cdot t}{6}\right)$$

$$f_4(t) = \cos\left(\frac{2\pi \cdot t}{6}\right)$$

$$f_5(t) = \sin\left(\frac{2\pi \cdot t}{12}\right)$$

$$f_6(t) = \cos\left(\frac{2\pi \cdot t}{12}\right)$$

Detta medförde att a-parametrarna blev:

$$a_1(0) = 4459.59$$

$$a_2(0) = 102.74$$

$$a_3(0) = -1872.37$$

$$a_4(0) = -846.40$$

$$a_5(0) = 11.27$$

$$a_6(0) = 731.31$$

Följande förlustfunktionsvärde erhöles, $F = 1.573 \cdot 10^9$

2.

Anpassningsfunktioner:

$$f_1(t) = 1$$

$$f_2(t) = t$$

$$f_3(t) = \sin\left(\frac{2\pi \cdot t}{6}\right)$$

$$f_4(t) = \cos\left(\frac{2\pi \cdot t}{6}\right)$$

$$f_5(t) = \sin\left(\frac{2\pi \cdot t}{12}\right)$$

$$f_6(t) = \cos\left(\frac{2\pi \cdot t}{12}\right)$$

$$f_7(t) = \sin\left(\frac{2\pi \cdot t}{5}\right)$$

$$f_8(t) = \cos\left(\frac{2\pi \cdot t}{5}\right)$$

$$f_9(t) = \sin\left(\frac{2\pi \cdot t}{7}\right)$$

$$f_{10}(t) = \cos\left(\frac{2\pi \cdot t}{7}\right)$$

Detta medförde att a-parametrarna blev:

$$a_1(0) = 4461.27$$

$$a_2(0) = 102.70$$

$$a_3(0) = -1870.66$$

$$a_4(0) = -859.87$$

$$a_5(0) = 11.47$$

$$a_6(0) = 726.97$$

$$a_7(0) = 245.20$$

$$a_8(0) = -43.32$$

$$a_9(0) = -129.87$$

$$a_{10}(0) = 34.98$$

Följande förlustfunktionsvärde erhöles, $F = 1.566 \cdot 10^9$

3.

Anpassningsfunktioner:

$$f_1(t) = 1$$

$$f_2(t) = t$$

$$f_3(t) = t(t-1)/2$$

$$f_4(t) = \sin\left(\frac{2\pi \cdot t}{12}\right)$$

$$f_5(t) = \cos\left(\frac{2\pi \cdot t}{12}\right)$$

$$f_6(t) = \sin\left(\frac{2\pi \cdot t}{3}\right)$$

$$f_7(t) = \cos\left(\frac{2\pi \cdot t}{3}\right)$$

$$f_8(t) = \sin\left(\frac{2\pi \cdot t}{6}\right)$$

$$f_9(t) = \cos\left(\frac{2\pi \cdot t}{6}\right)$$

Detta medförde att a-parametrarna blev:

$$a_1(0) = 6457.88$$

$$a_2(0) = 55.07$$

$$a_3(0) = 0.19$$

$$a_4(0) = 151.17$$

$$a_5(0) = 720.31$$

$$a_6(0) = -913.98$$

$$a_7(0) = 316.96$$

$$a_8(0) = -1225.33$$

$$a_9(0) = -448.37$$

Följande förlustfunktionsvärde erhöles, $F = 1.257 \cdot 10^9$

Eftersom förlustfunktionsvärdet för alternativ 3 är lägre än för övriga alternativ, väljer vi att använda detta alternativ.

L-matrisen för alternativ 3 har utseendet:

1.0	0.0	0.0	0.0	0.0	0.0	0.0	0.0	0.0
1.0	1.0	0.0	0.0	0.0	0.0	0.0	0.0	0.0
0.0	1.0	1.0	0.0	0.0	0.0	0.0	0.0	0.0
0.0	0.0	0.0	0.866	0.500	0.0	0.0	0.0	0.0
0.0	0.0	0.0	-0.500	0.866	0.0	0.0	0.0	0.0
0.0	0.0	0.0	0.0	0.0	-0.500	0.866	0.0	0.0
0.0	0.0	0.0	0.0	0.0	-0.866	-0.500	0.0	0.0
0.0	0.0	0.0	0.0	0.0	0.0	0.0	0.500	0.866
0.0	0.0	0.0	0.0	0.0	0.0	0.0	-0.866	0.500

Vid körning i dataprogrammet GEXP, erhöles vi följande resultat på medelfel och varians för prediktionsstegen, k , lika med 1, 2, 3, 6 och 12 och viktfaktorerna, β , lika med 0.97, 0.94 och 0.91.

TABELL 24

k	$\beta = 0.97$		$\beta = 0.94$		$\beta = 0.91$	
	<u>Varians</u>	<u>Medelfel</u>	<u>Varians</u>	<u>Medelfel</u>	<u>Varians</u>	<u>Medelfel</u>
1	9.179 10^6	158.46	7.773 10^6	-28.50	20.341 10^6	-80.03
2	11.651 10^6	200.43	13.160 10^6	-8.42	17.169 10^6	-88.40
3	11.480 10^6	233.43	12.289 10^6	24.79	18.281 10^6	-83.68
6	12.150 10^6	305.42	13.411 10^6	108.93	18.830 10^6	9.31
12	13.904 10^6	425.11	20.922 10^6	289.40	60.527 10^6	220.65

Figurerna 7.3 - 7.5 visar prediktionen för prediktionssteget, k , lika med en månad för viktfaktorerna, β , 0.97, 0.94 och 0.91. En viss förbättring av varians och medelfel kan iakttagas, då vikt faktorn, , minskas från 0.97 till 0.94. En ytterligare minskning till 0.91 medför en kraftig ökning av variansen. Då $\beta = 0.88$ blir varians och medelfel oändligt stort.

Figur 7.6 visar prediktionsfelet för vikt faktorn, β , lika med 0.94 och prediktionssteget k lika med en månad. Summa preeiktionsfel i kvadrat för vikt faktorn $\beta = 0.94$ och prediktionssteget $k=1$ framgår av figur 7.7.

Då prediktionssteget ökar måste vikt faktorn, β , minskas för att er-hålla medelfelsminimum och ökas för att få minsta varians.

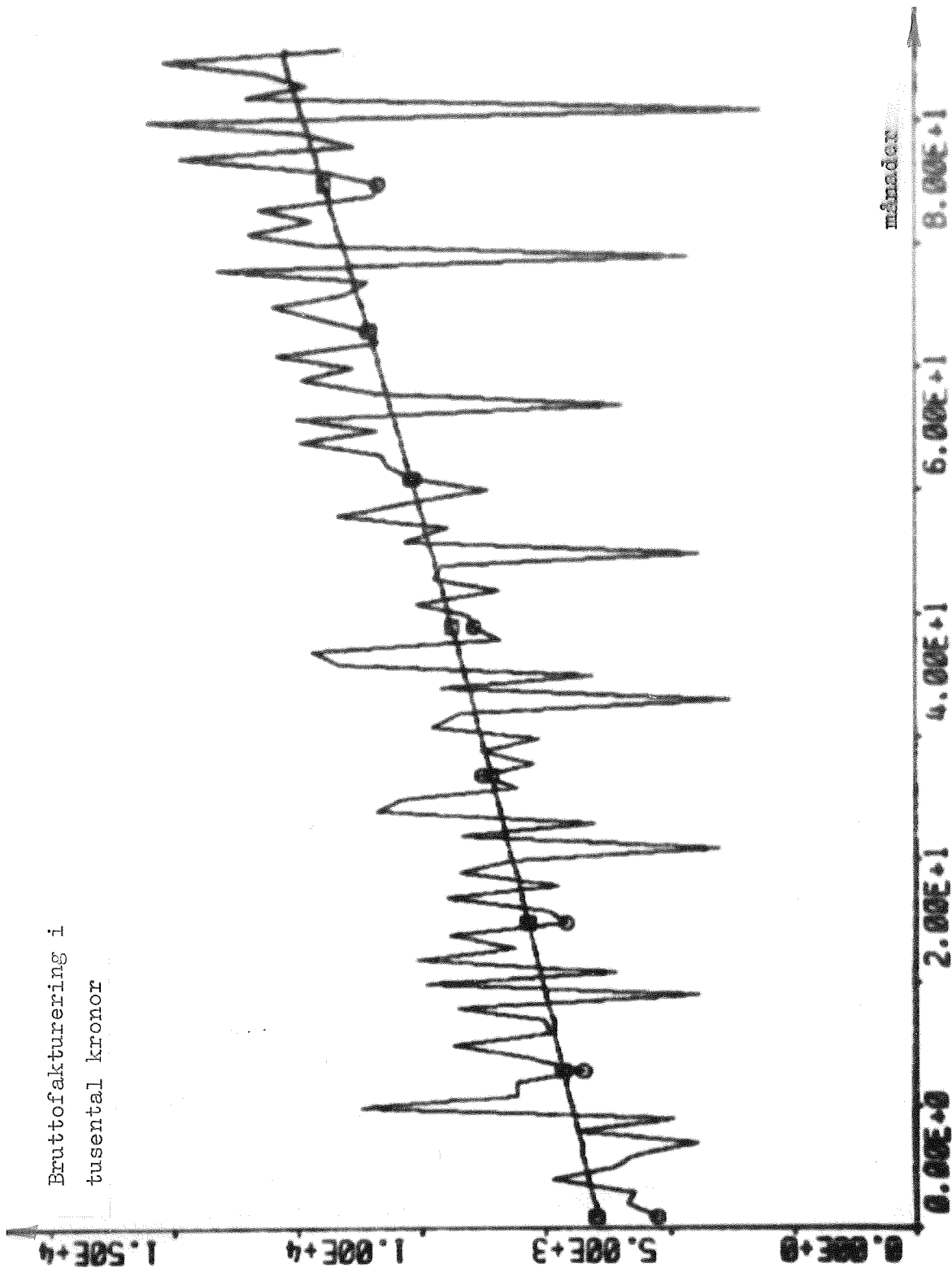


Fig. 7.1 Okorrigerade Företagsdata med inlagd 2:a ordningens trend.

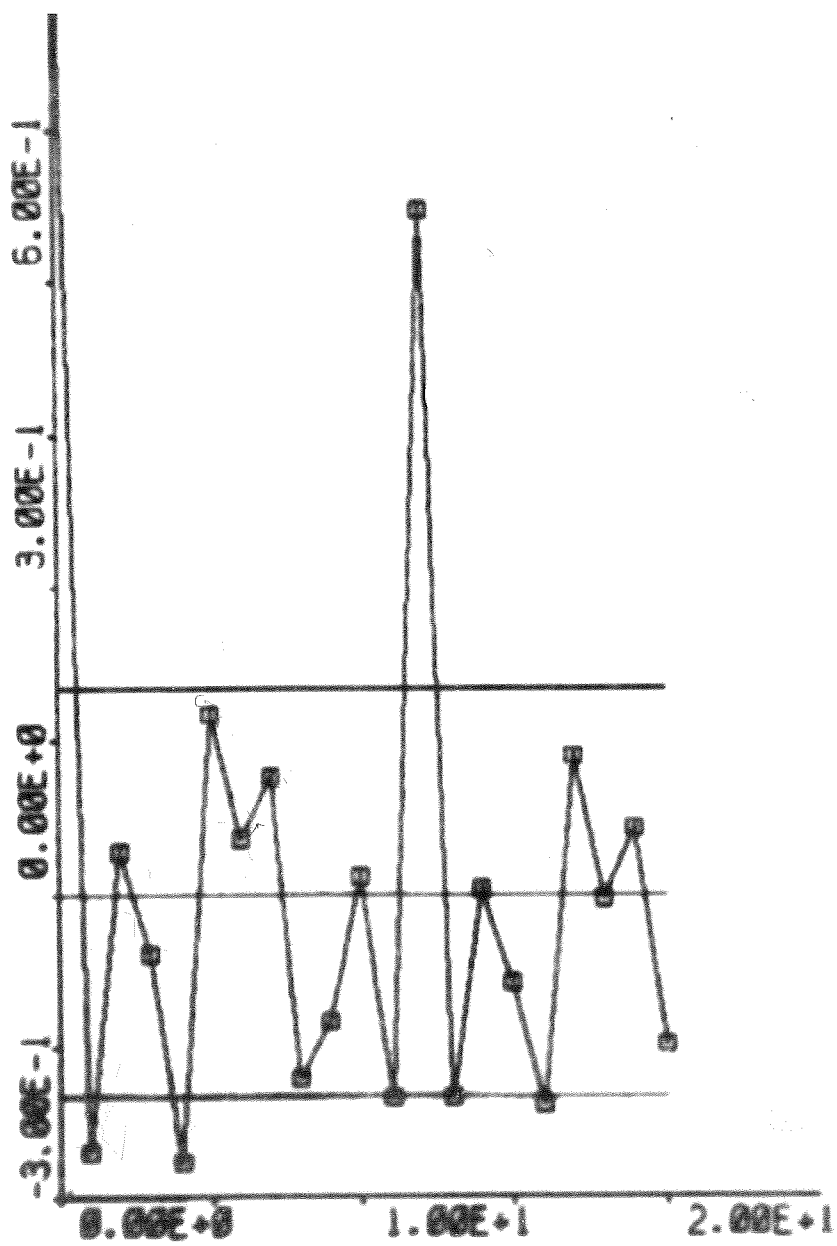


Fig. 7.2 Kovariansfunktioner för residualerna.

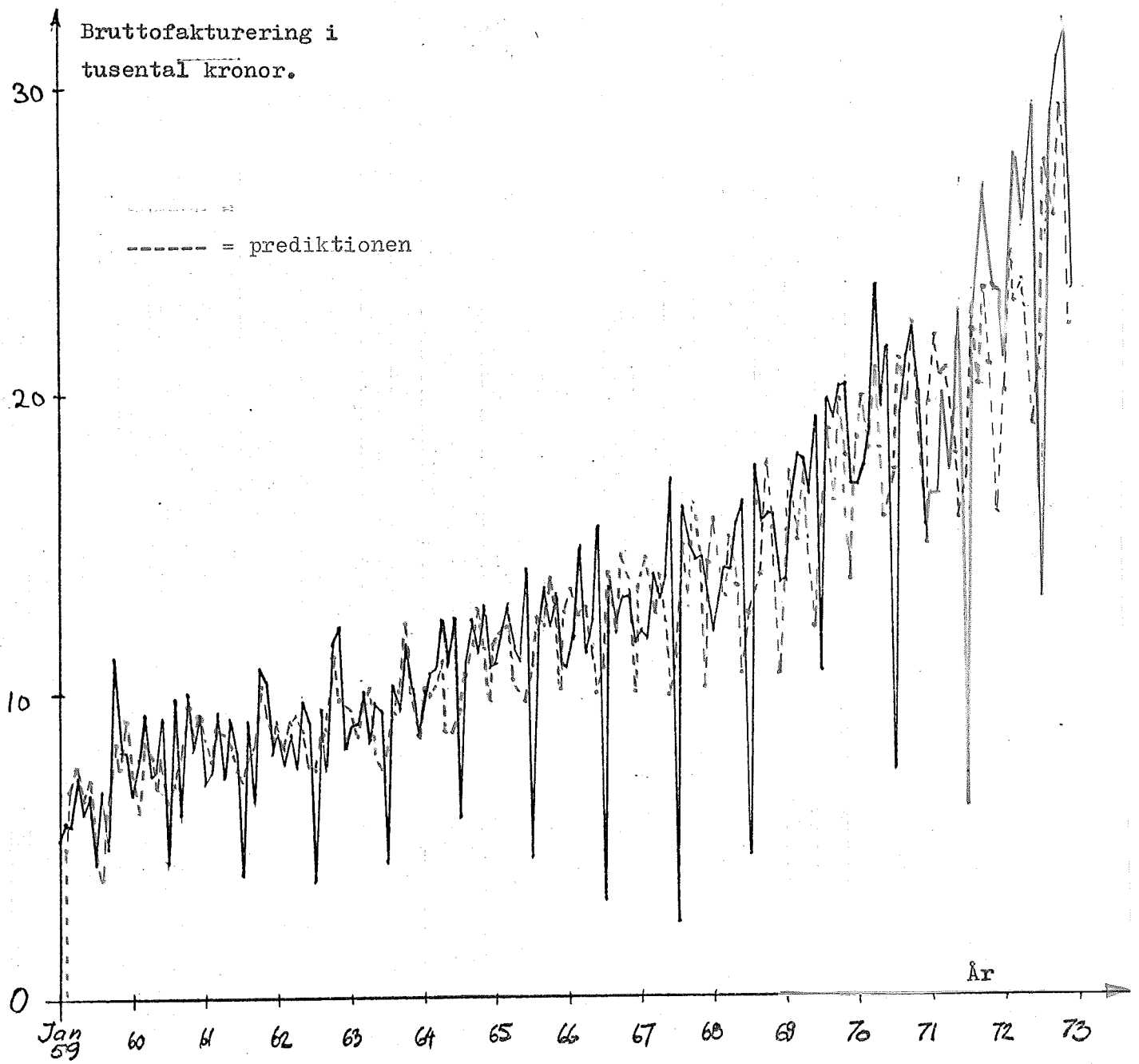


Fig. 7.3 Prediktionen av okorrigerade Företagsdata med generell exponentiell utjämning med prediktionssteget, $k=1$ och $\beta = 0.97$.

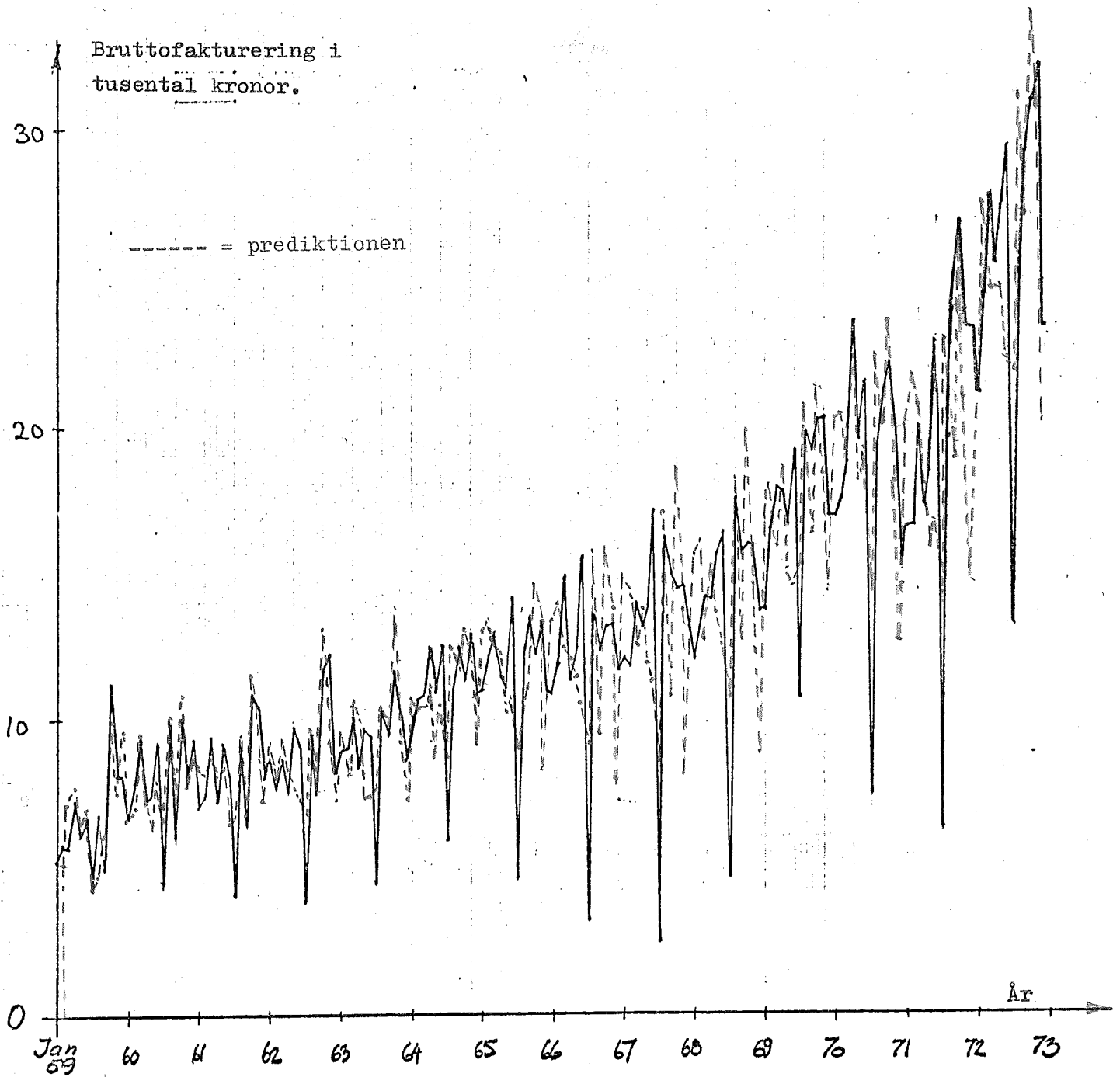


Fig. 7.4 Prediktionen av okorrigerade Företagsdata med generell exponentiell utjämning med prediktionssteget, $k=1$ och $\beta=0.94$.

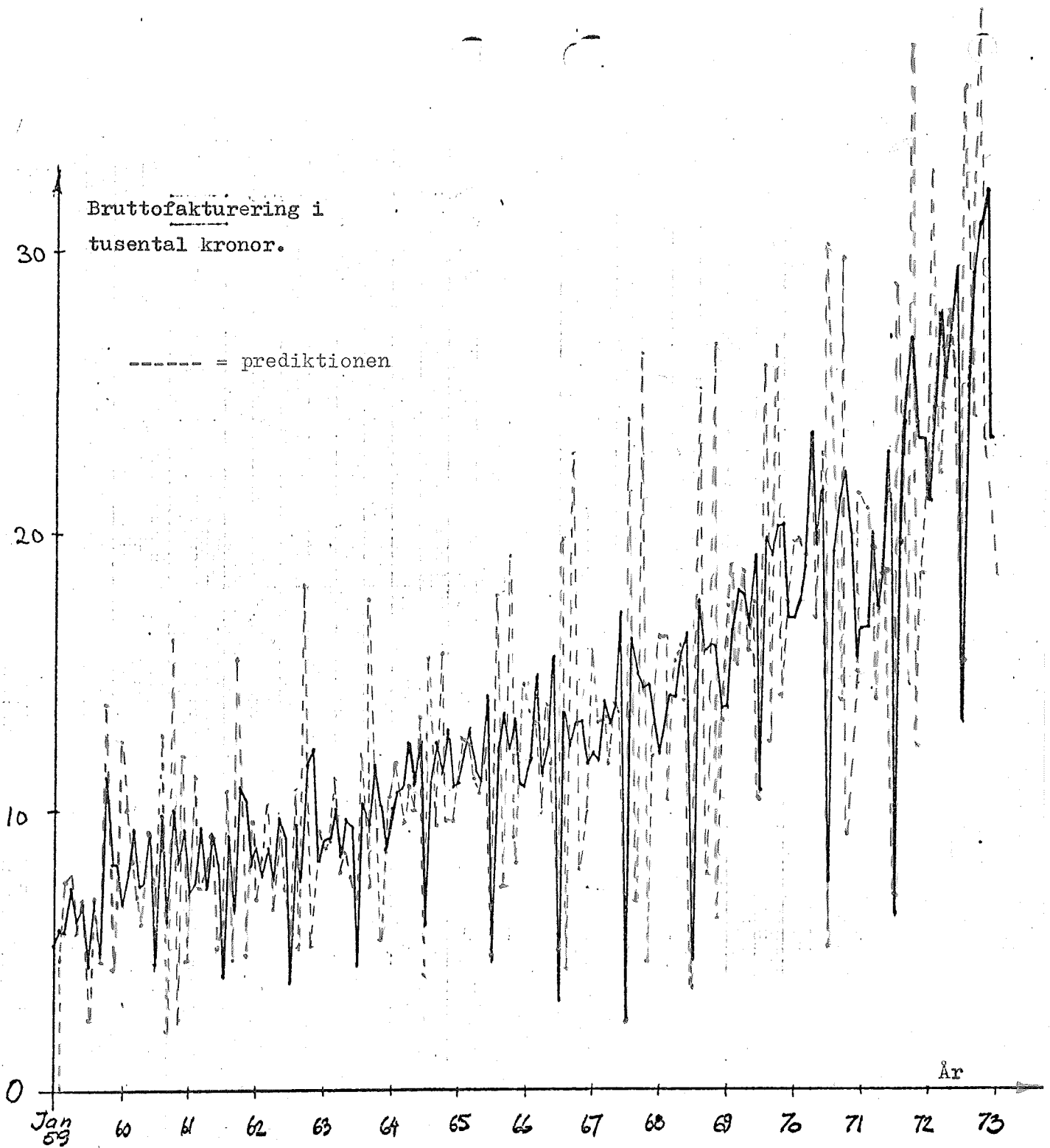


Fig. 7.5 Prediktionen av okorrigerade Företagsdata med generell exponentiell utjämning med prediktionssteget, $k=1$ och $\beta = 0.91$.

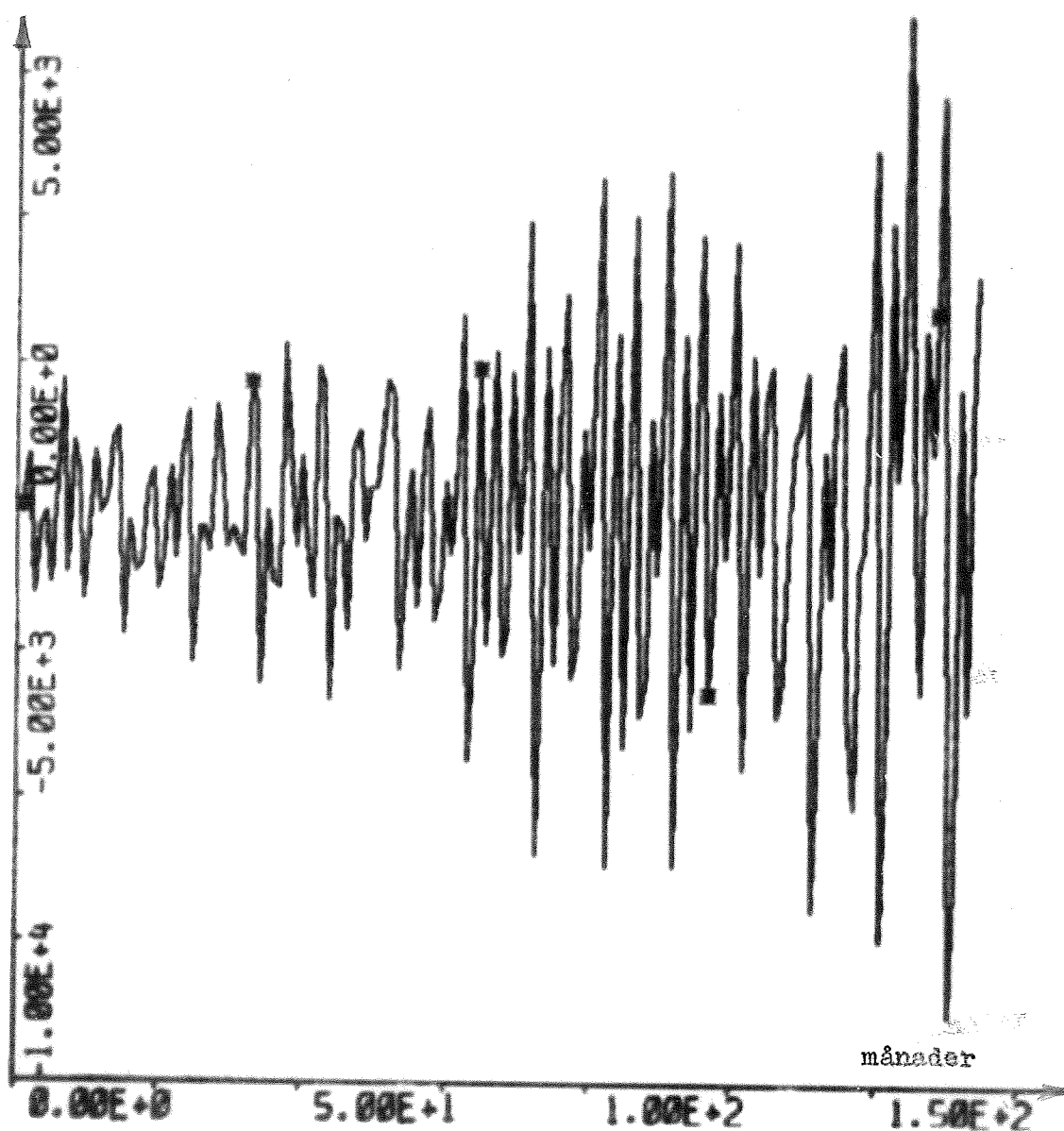


Fig. 7.6 Prediktionsfelet vid prediktion av okorrigerade Företagsdata med generell exponentiell utjämning med prediktionssteget, $k=1$ och $\beta=0.94$.

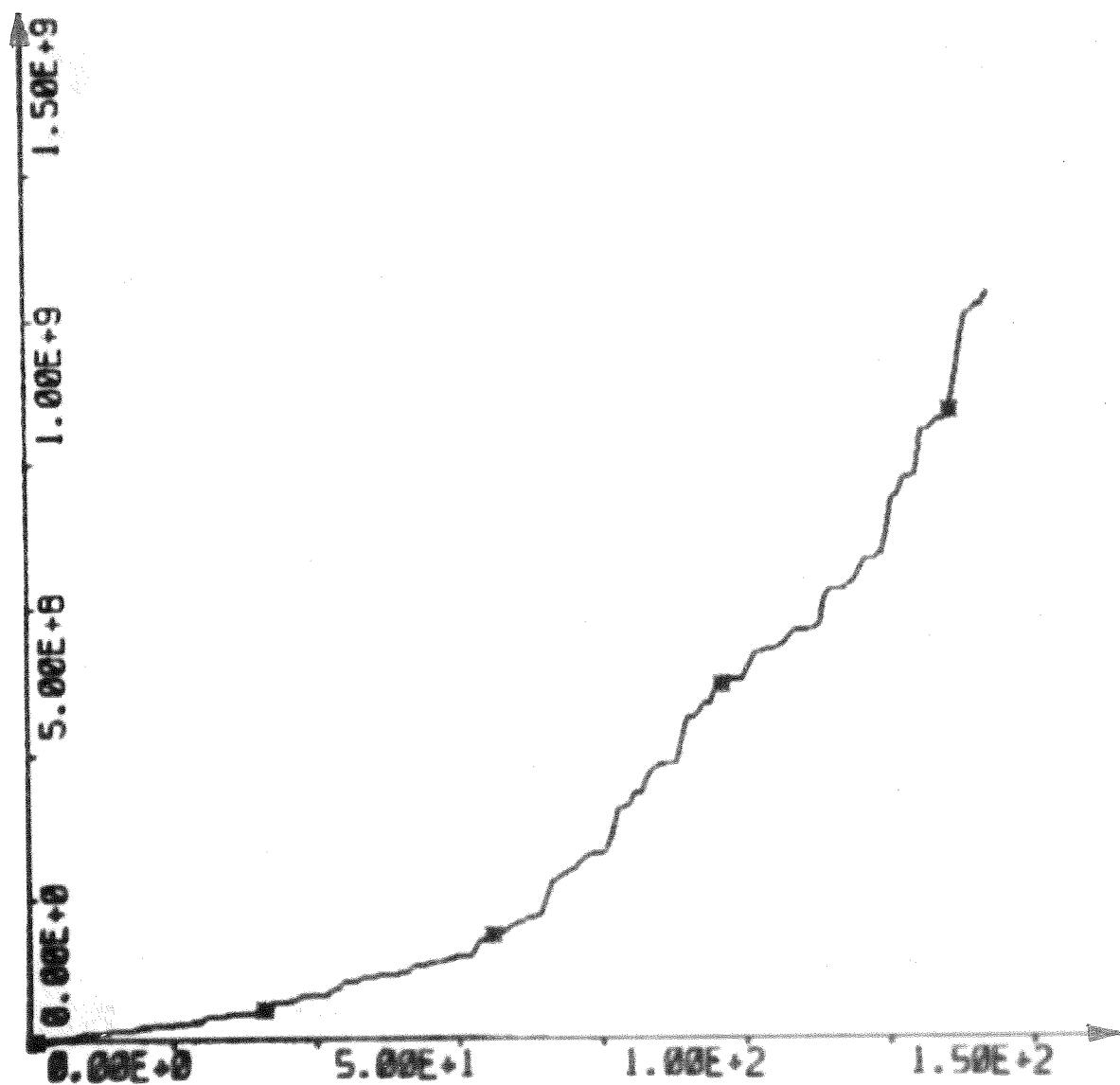


Fig. 7.7 Summa prediktionsfel i kvadrat vid prediktering av okorrigerade Företagsdata med generell exponentiell utjämning med prediktionssteget, $k=1$ och $\beta=0.94$.

7.1.2 Korrigerade Företagsdata

Trenden av 1:a, 2:a och 3:e ordningen bestämdes m.h.a. IDPAC / 5 / (se figur 7.8). Härvid framgick det att dataserien hade en 2:a ordningens trend.

Genom att beräkna kovariansfunktionen för residualerna (se figur 7.9) bestämdes periodiciteten.

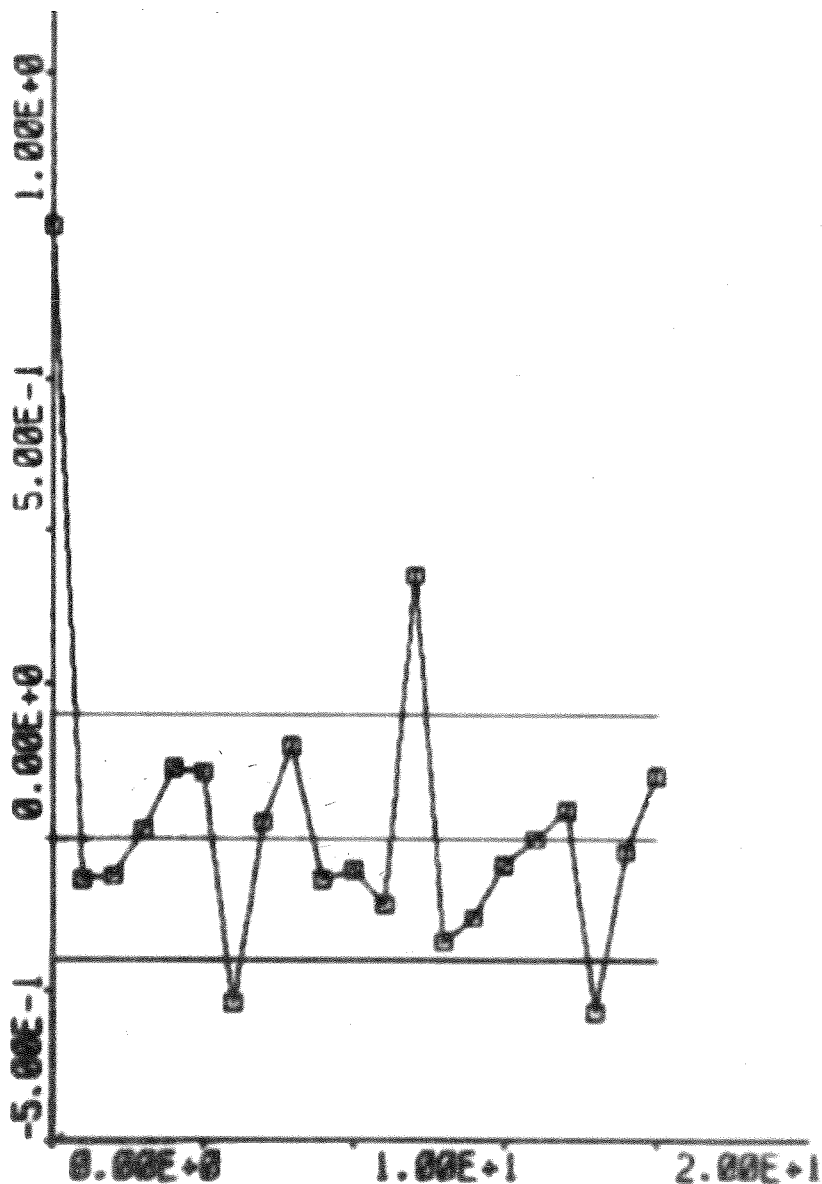


Fig.7.9 Kovariansfunktionen för residualerna.

I MINKO användes anpassningsfunktionerna:

$$f_1(t) = 1$$

$$f_2(t) = t$$

$$f_3(t) = t(t-1)/2$$

$$f_4(t) = \sin\left(\frac{2\pi \cdot t}{3}\right)$$

$$f_5(t) = \cos\left(\frac{2\pi \cdot t}{3}\right)$$

$$f_6(t) = \sin\left(\frac{2\pi \cdot t}{6}\right)$$

$$f_7(t) = \cos\left(\frac{2\pi \cdot t}{6}\right)$$

$$f_8(t) = \sin\left(\frac{2\pi \cdot t}{12}\right)$$

$$f_9(t) = \cos\left(\frac{2\pi \cdot t}{12}\right)$$

Detta medförde att a-parametrarna blev:

$$a_1(0) = 4532.35$$

$$a_2(0) = 112.73$$

$$a_3(0) = -0.03$$

$$a_4(0) = 95.83$$

$$a_5(0) = 0.04$$

$$a_6(0) = -489.80$$

$$a_7(0) = -64.10$$

$$a_8(0) = -750.43$$

$$a_9(0) = -645.14$$

Förlustfunktionsvärdet, F, blev: $8.583 \cdot 10^8$

L-matrisen har utseendet enligt nedan:

1.0	0.0	0.0	0.0	0.0	0.0	0.0	0.0	0.0
1.0	1.0	0.0	0.0	0.0	0.0	0.0	0.0	0.0
0.0	1.0	1.0	0.0	0.0	0.0	0.0	0.0	0.0
0.0	0.0	0.0	-0.500	0.866	0.0	0.0	0.0	0.0
0.0	0.0	0.0	-0.866	-0.500	0.0	0.0	0.0	0.0
0.0	0.0	0.0	0.0	0.0	0.500	0.866	0.0	0.0
0.0	0.0	0.0	0.0	0.0	-0.866	0.500	0.0	0.0
0.0	0.0	0.0	0.0	0.0	0.0	0.0	0.866	0.500
0.0	0.0	0.0	0.0	0.0	0.0	0.0	-0.500	0.866

Vid körning i dataprogrammet GEXP erhöles de värden på medelfel och varians, som finns redovisade i tabell 25, för prediktionsstegen, $k=1, 2, 3, 6$ och 12 månader och viktfaktorerna, $\beta=0.97, 0.94$ och 0.91 .

TABELL 25

k	$\beta = 0.97$		$\beta = 0.94$		$\beta = 0.91$	
	Varians	Medelfel	Varians	Medelfel	Varians	Medelfel
1	$2.652 \cdot 10^6$	138.37	$1.679 \cdot 10^6$	-49.03	$3.550 \cdot 10^6$	-98.54
2	$3.795 \cdot 10^6$	171.63	$4.152 \cdot 10^6$	-31.34	$6.263 \cdot 10^6$	-135.62
3	$3.997 \cdot 10^6$	183.61	$4.386 \cdot 10^6$	-13.89	$6.679 \cdot 10^6$	-121.28
6	$4.390 \cdot 10^6$	208.80	$4.739 \cdot 10^6$	20.50	$6.185 \cdot 10^6$	-107.80
12	$5.468 \cdot 10^6$	288.02	$7.038 \cdot 10^6$	189.05	$16.165 \cdot 10^6$	126.64

Då prediktionssteget, k , är lika med en månad och viktfaktorn, β , är 0.97, följer prediktionen bra stora systematiska förändringar, men däremot inte alls små variationer (se figur 7.10). Då viktfaktorn, β , minskas till 0.94 fås en förbättring av prediktionen då även små variationer följs (se figur 7.11). Prediktionen blir ej bra om viktfaktorn, β , väljes till 0.91, vilket framgår av figur 7.12.

Den omtalade fusionen som inträffade månad 153, framgår tydligt av figurerna 7.13 och 7.14.

För att erhålla medelfelsminimum måste viktfaktorn, β , minskas, men denna måste ökas om variansminimum önskas.

7.1.3 Problem med generell exponentiell utjämning på Företagsdata

Vid prediktering med generell exponentiell utjämning av Företagsdata, speciellt okorrigerade data, är det svårt att bestämma anpassningsfunktionerna och därför blir prediktionsresultatet ganska dåligt.

När man bestämt anpassningsfunktionerna, går det ej att ändra dessa under predikteringen, vilket medför att om dataserien ändrar utseende, blir prediktionen dålig. Denna nackdel finns också i den heuristiska metoden. Vidare kan instabilitet vid lägre viktfaktorer, β , iakttagas. Orsaken till detta är att om ett relativt stort prognosfel uppkommer, korrigeras ingående parametrar kraftigt och nästa prediktion kommer att avvika ännu mer från sitt rätta värde.

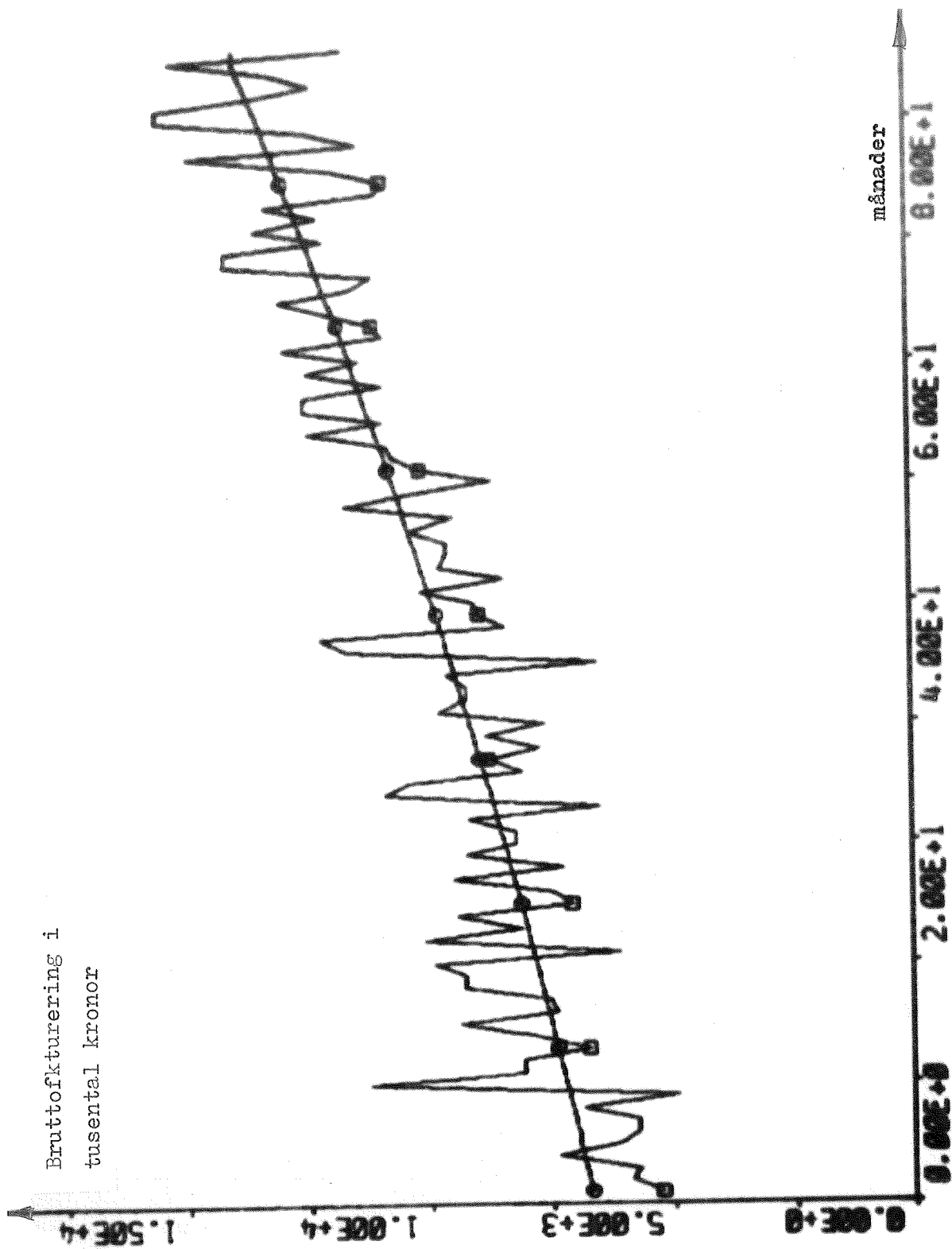


Fig. 7.8 Korrigerade Företagsdata med inlagd 2:a ordningens trend.

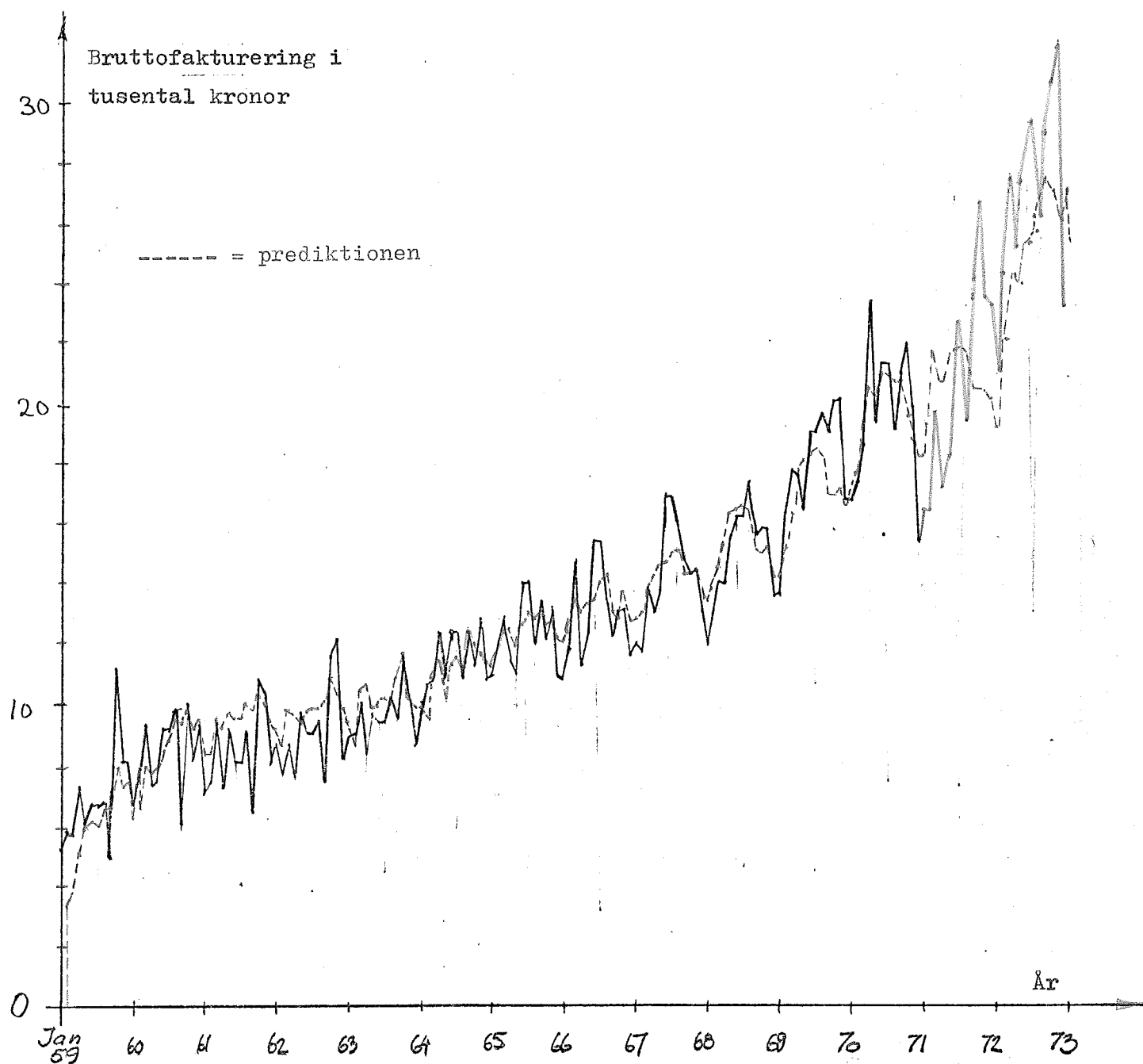


Fig. 7.10 Prediktionen av korrigerade Företagsdata med generell exponentiell utjämning med prediktionssteget, $k=1$ och $\beta=0.97$.

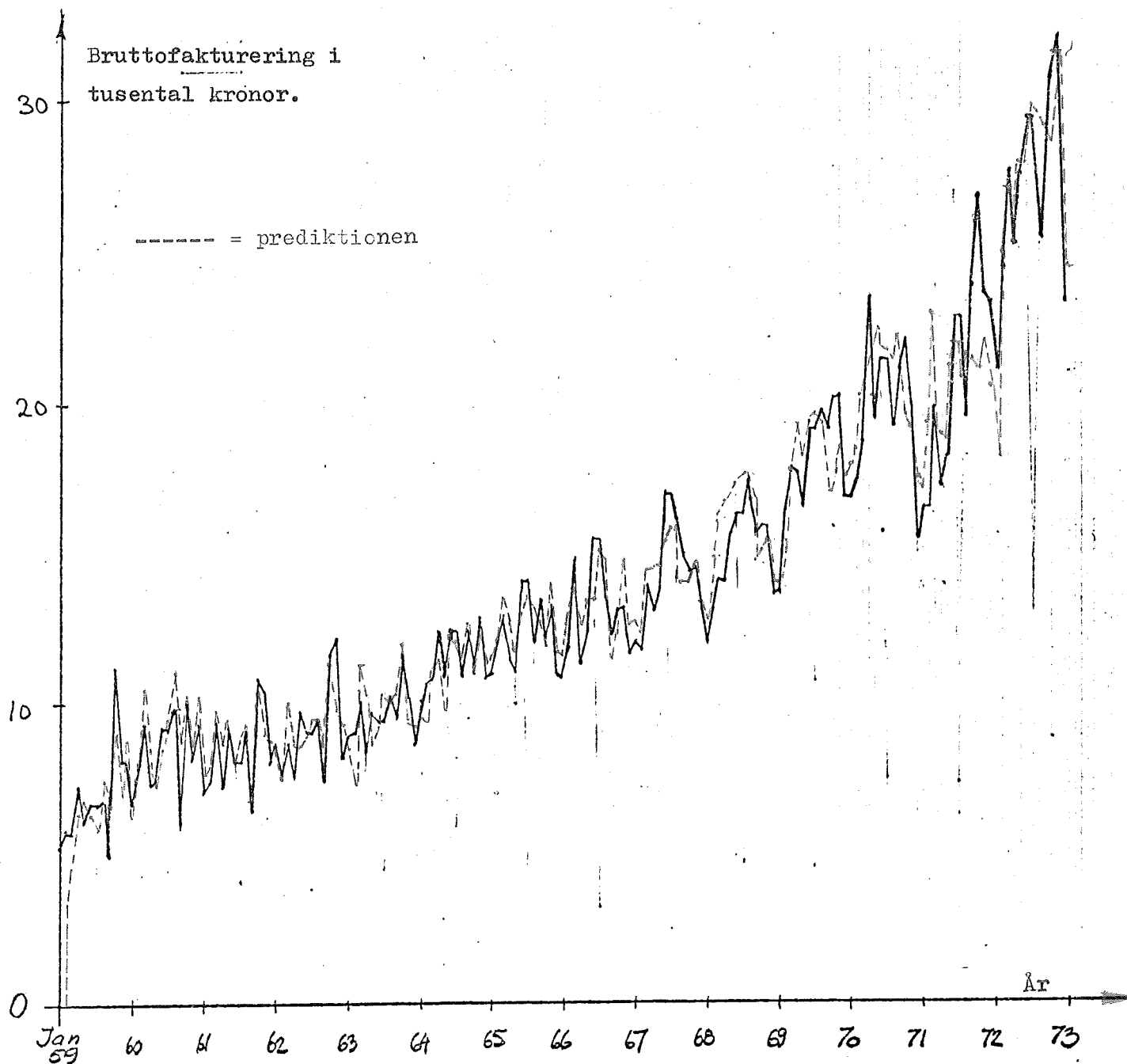


Fig. 7.11 Prediktionen av korrigerade Företagsdata med generell exponentiell utjämning med prediktionssteget, $k=1$ och $\beta=0.94$.

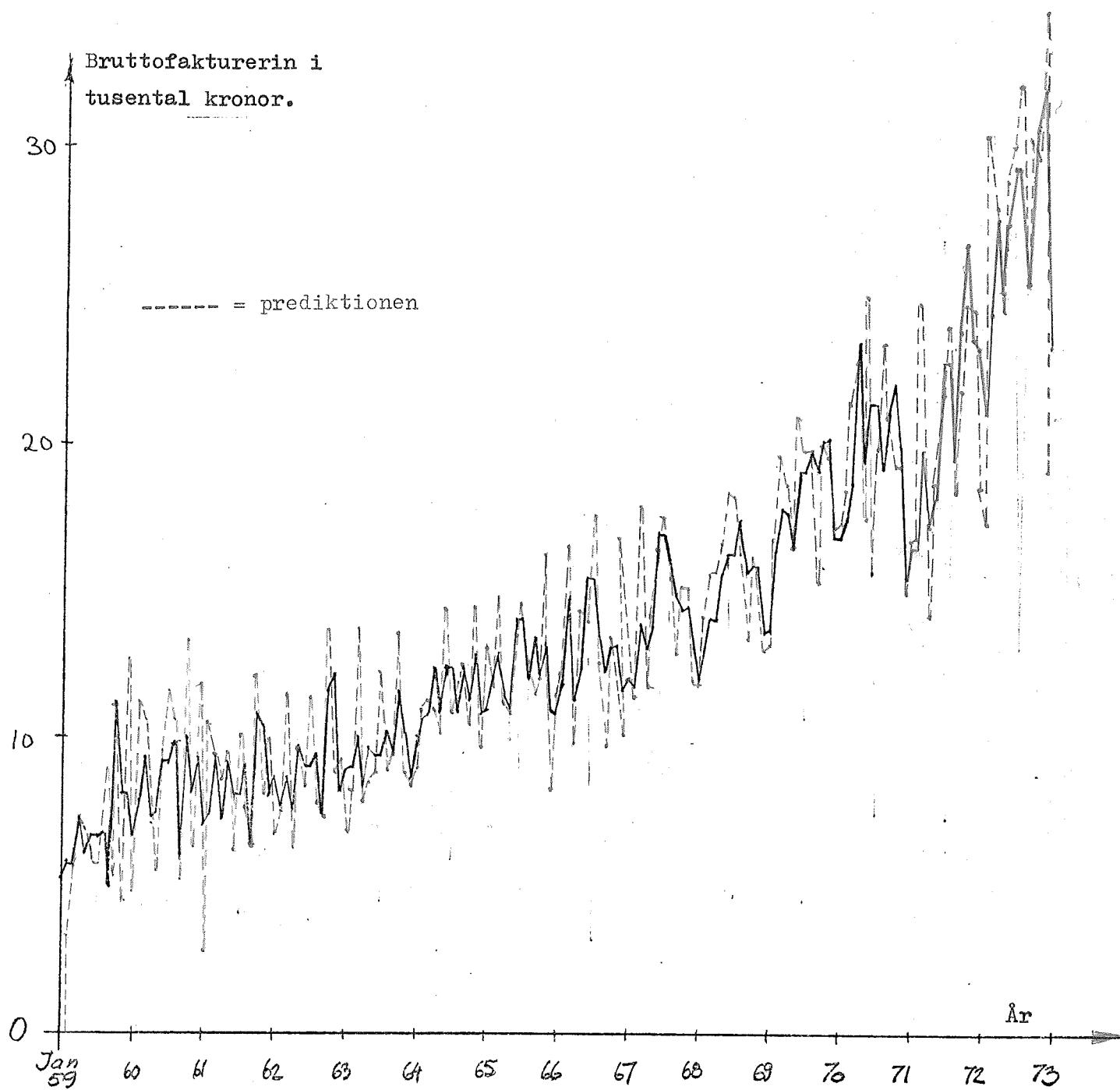


Fig. 7.12 Prediktionen av korrigerade Företagsdata med generell exponentiell utjämning med prediktionssteget, $k=1$ och $\beta=0.91$.

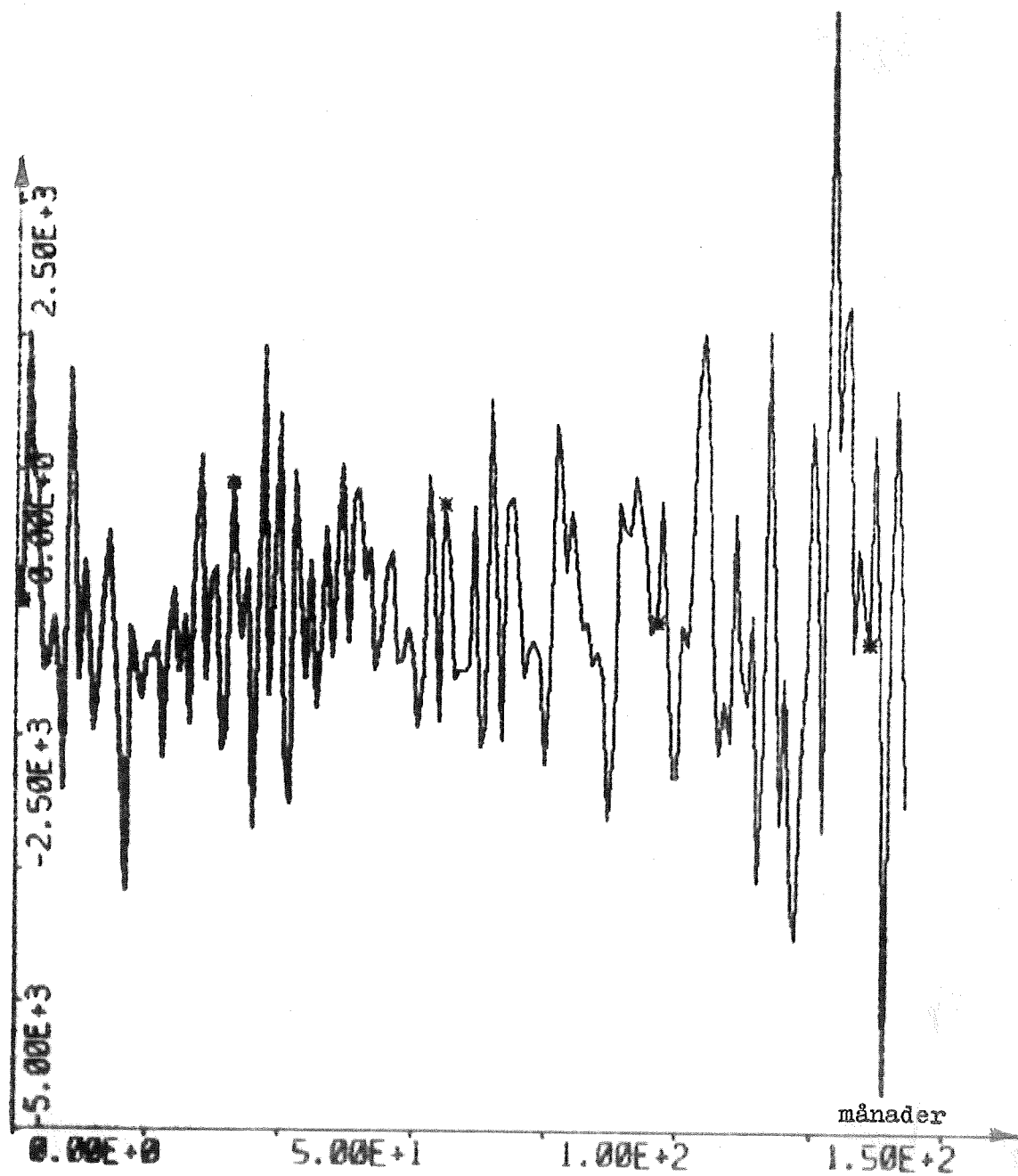


Fig. 7.13 Prediktionsfelet vid prediktion av korrigerade Företagsdata med generell exponentiell utjämning med prediktionssteget, $k=1$ och $\beta=0.94$.

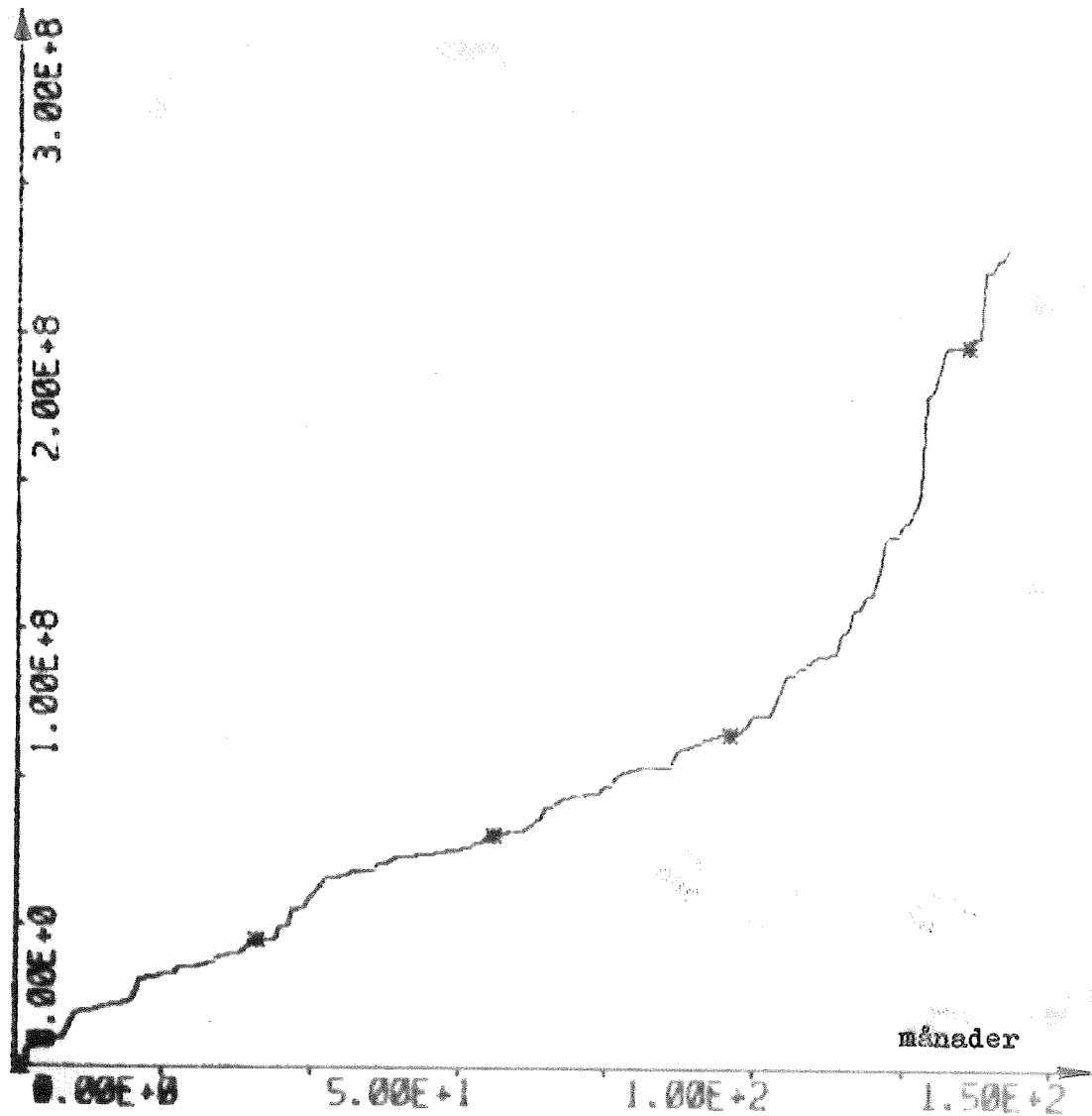


Fig. 7.14 Summa prediktionsfel i kvadrat vid korrigerade Företags-
data med generell exponentiell utjämning med prediktions-
steget, $k=1$ och $\beta=0.94$.

7.2 Flygdata.

Med hjälp av IDPAC / 5 / bestämdes 1:a, 2:a och 3:e ordningens trend. Härvid framgick det att 2:a ordningens trend (Se figur 7.15) var den som bäst överensstämde med dataseriens utseende.

Periodisiteten fastställdes genom att beräkna kovariansfunktionen för residualerna (Se figur 7.16).

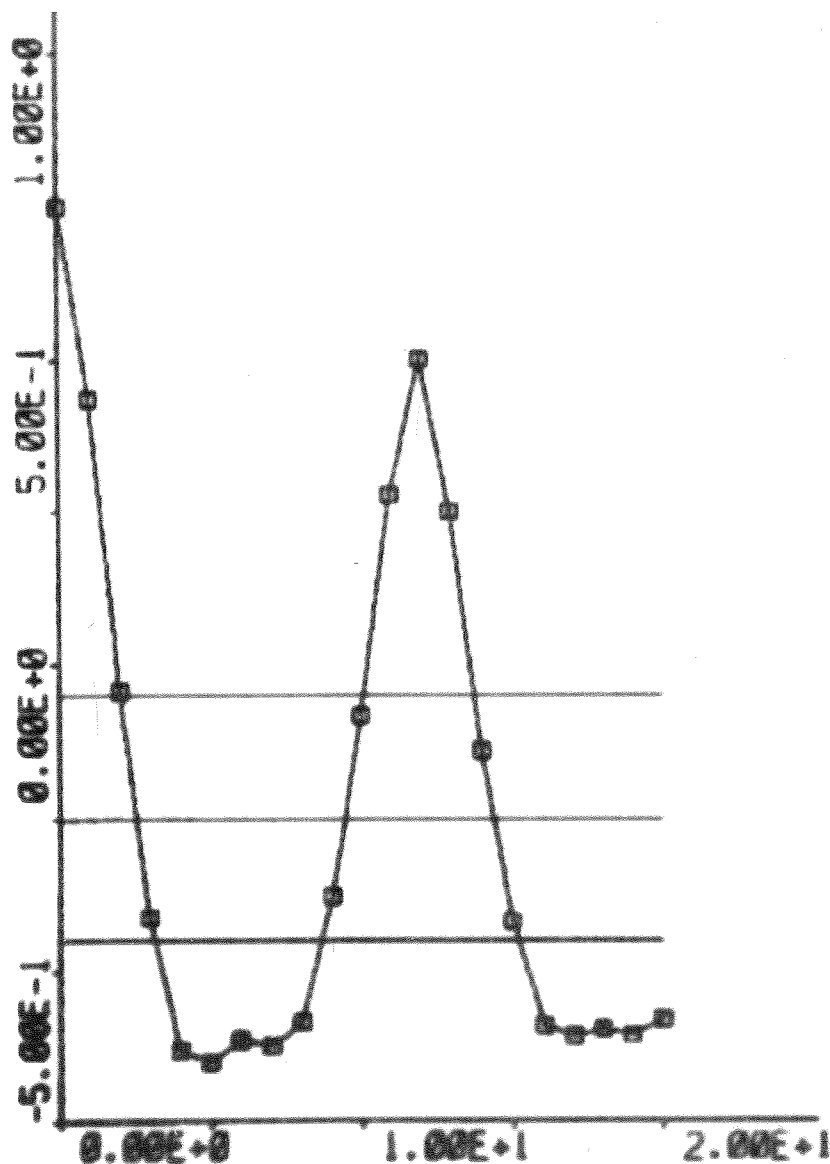


Fig. 7.16 Kovariansfunktionen för residualerna.

Följande modell testades i MINKO :

Anpassningsfunktioner: :

$$f_1(t) = 1$$

$$f_2(t) = t$$

$$f_3(t) = t(t-1)/2$$

$$f_4(t) = \sin\left(\frac{2\pi t}{12}\right)$$

$$f_5(t) = \cos\left(\frac{2\pi t}{12}\right)$$

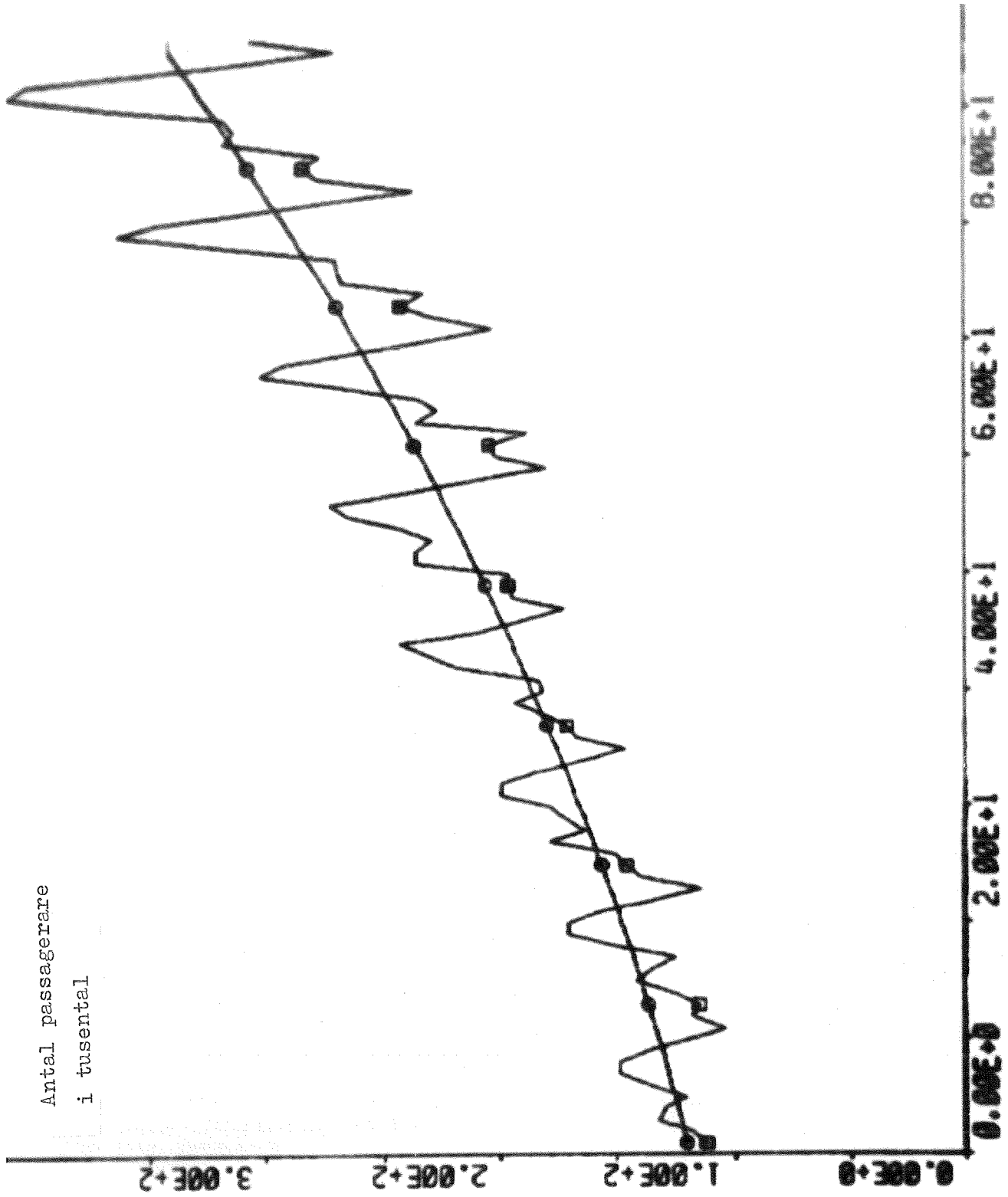


Fig. 7.15 Flygdata med inlagd 2:a ordningens trend.

Detta medförde att a-parametrarna blev:

$$a_1(0) = 118.77$$

$$a_2(0) = 1.23$$

$$a_3(0) = 0.03$$

$$a_4(0) = -9.10$$

$$a_5(0) = -29.45$$

Följande förlustfunksvärde erhöles, $F = 3.846 \cdot 10^4$.

Denna modell valdes som indata till GEXP.

Modellens L-matris har utseendet:

1.0	0.0	0.0	0.0	0.0
1.0	1.0	0.0	0.0	0.0
0.0	1.0	1.0	0.0	0.0
0.0	0.0	0.0	0.866	0.500
0.0	0.0	0.0	-0.500	0.866

Vid körning erhöles följande resultat på medelfel och varians för prediktionsstegen, $k=1, 2, 3, 6$ och 12 och viktfaktorerna, $\beta=0.97, 0.94, 0.91$ och 0.88 .

Tabell 26.

k	$\beta=0.97$		$\beta=0.94$		$\beta=0.91$		$\beta=0.88$	
	Var.	Medf.	Var.	Medf.	Var.	Medf.	Var.	Medf.
1	778.9	-2.91	560.3	-2.16	383.6	-2.02	346.2	-2.01
2	1027.1	-3.27	1048.4	-2.44	1132.8	-2.23	1239.0	-2.03
3	1170.4	-3.66	1361.9	-2.84	1759.4	-2.77	2277.4	-2.70
6	1169.7	-3.76	1164.3	-2.63	1222.4	-2.49	1639.8	-2.70
12	992.7	-4.03	922.3	-2.30	1272.5	-1.72	2937.4	-1.95

Prediktionen för prediktionssteget lika med en månad ($k=1$) och för viktfaktorerna $\beta=0.97$ och $\beta=0.88$ visas i figurerna 7.17 och 7.18. Här framgår att $\beta=0.88$ ger en betydligt bättre prediktion beroende på att den kan anpassa den antagna sinusformade svängningen i data till verkliga data bättre än $\beta=0.97$.

Prediktionsfelet för $k=1$ och $\beta=0.88$ framgår av figur 7.19. Felet uppvisar tydlig sinusform med ökande amplitud, vilket antyder att anpassningsfunktioner av typ $t \cdot \sin\left(\frac{2\pi t}{12}\right)$ borde ha medtagits.

Den trappstegsformade branta ökningen i figur 7.20, som visar summa prediktionsfel i kvadrat, beror på prediktionsfelets ökande amplitud.

Jämfört med prediktion med den heuristiska metoden, på dessa data, fås här med den generella exponentiella utjämningen högre varians. Detta beror på, trots datas ökande amplitud, att en månads andel av säsongsvärdet är relativt konstant, oberoende vilken säsong som betraktas, vilket medför att den heuristiska metoden kan prediktera både toppar och dalar bra. Generell exponentiell utjämning kan ej följa med amplitudökningen så bra, vilket medför att variansen blir högre än för den heuristiska metoden.

Prediktionen för prediktionsstegen, $k=6$ och 12 månader med vikt-faktorn, $\beta = 0.94$ visas i figurerna 7.21 och 7.22.

För Flygdata skall man för att få varians- och medelfelsminimum, öka vikt-faktorn, β , för längre prediktionssteg.

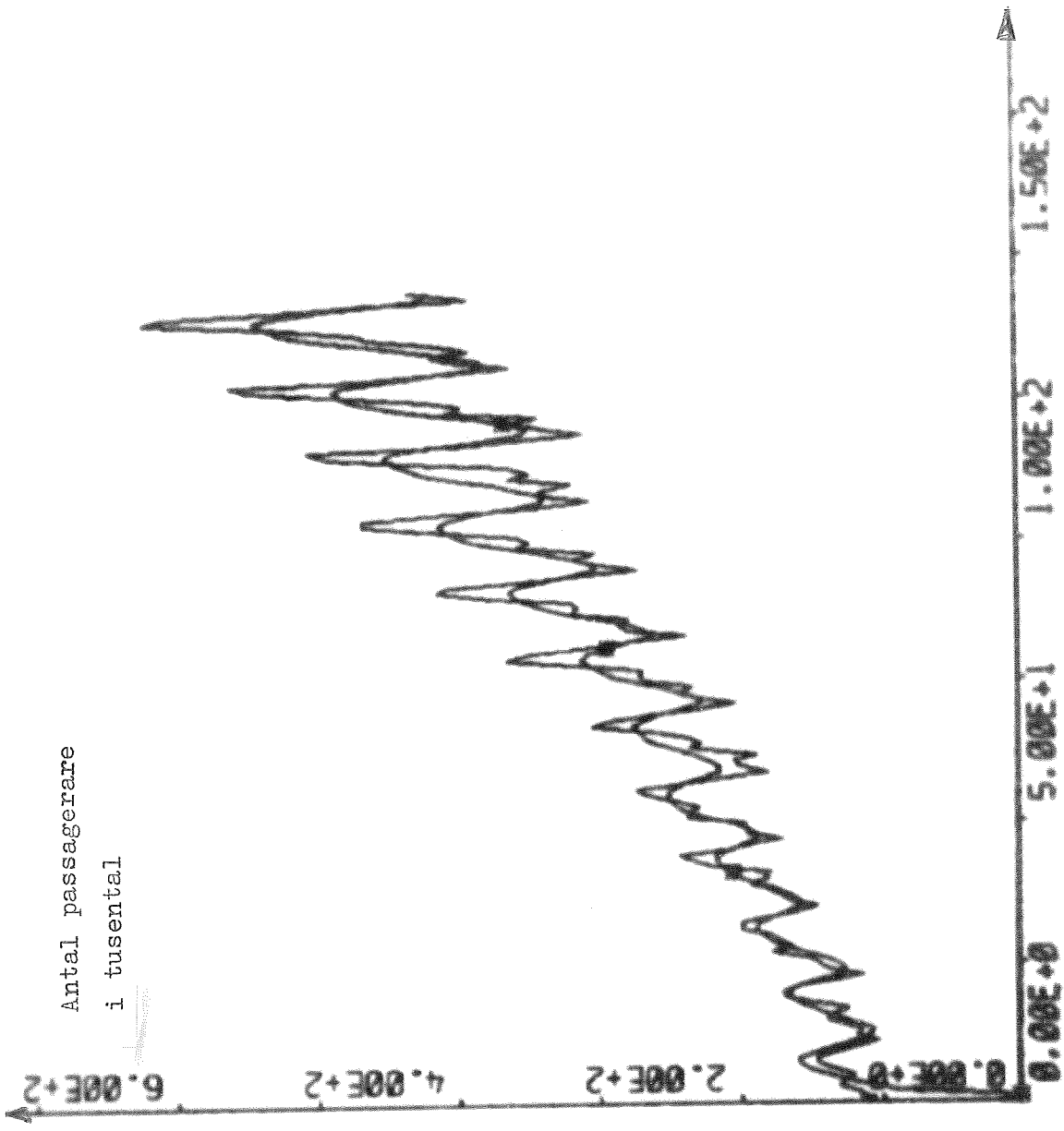


Fig. 7.17 Prediktionen av Flygdata med generell exponentiell utjämning med $k=1$ och $\beta=0.97$. Flygdata = I, Prediktionen av Flygdata = #.

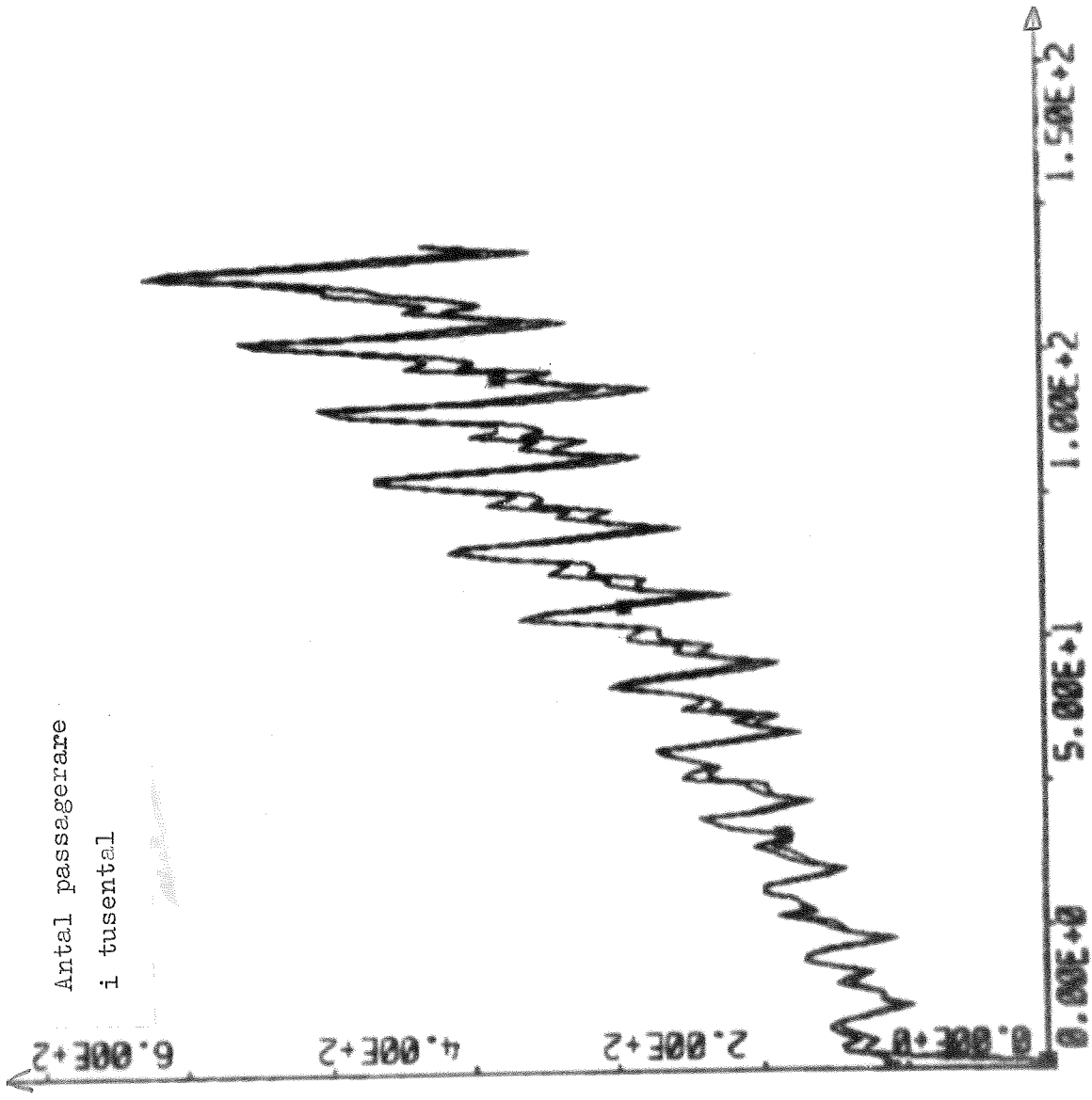


Fig. 7.18 Prediktionen av Flygdata med generell exponentiell utjämning med $k=1$ och $\beta=0.88$. Flygdata = I, Prediktionen av Flygdata = \hat{x} .

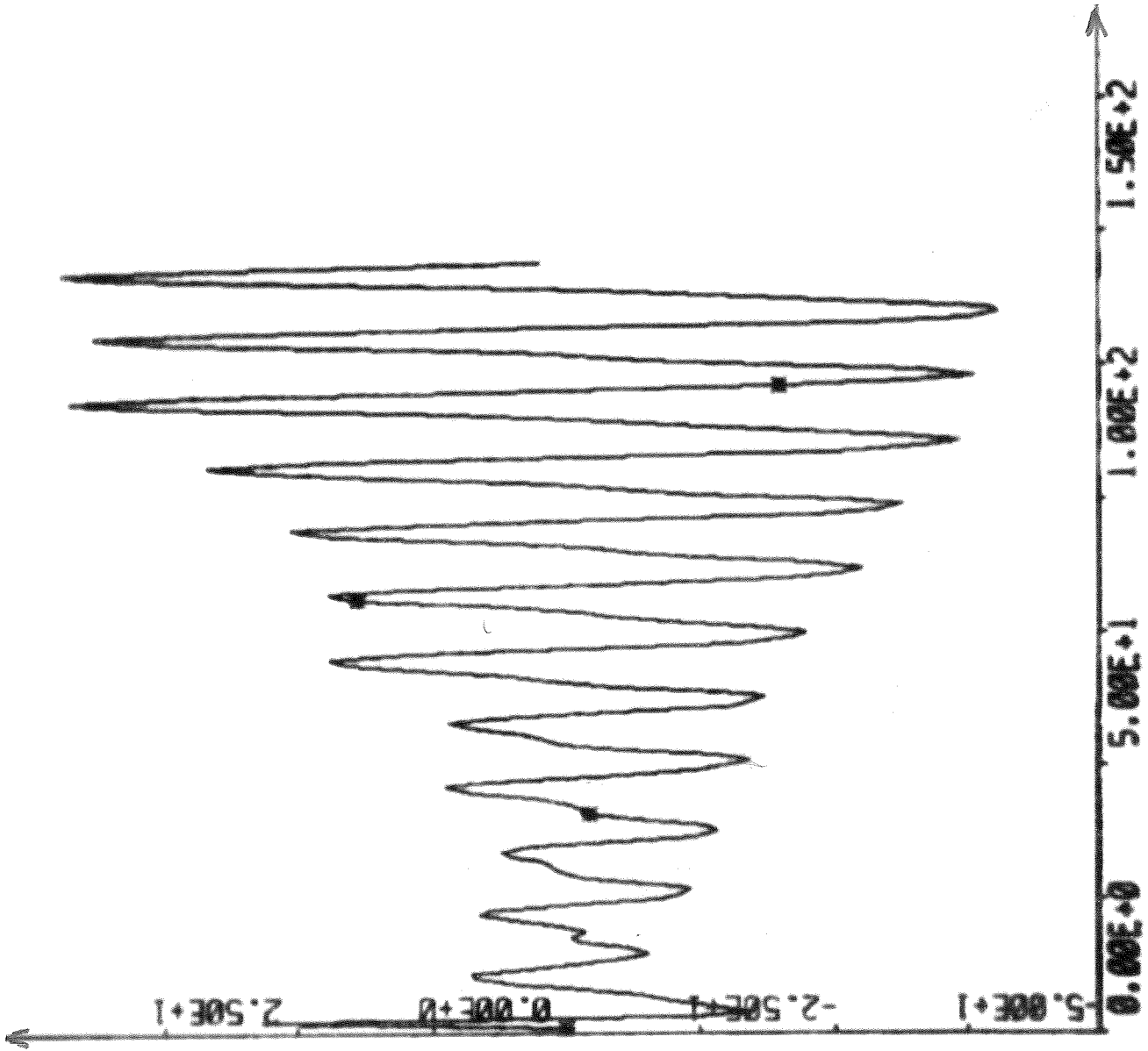


Fig. 7.19 Prediktionsfelet vid prediktion av Flygdata med generell exponentiell utjämning med $k=1$ och $\beta=0.88$.

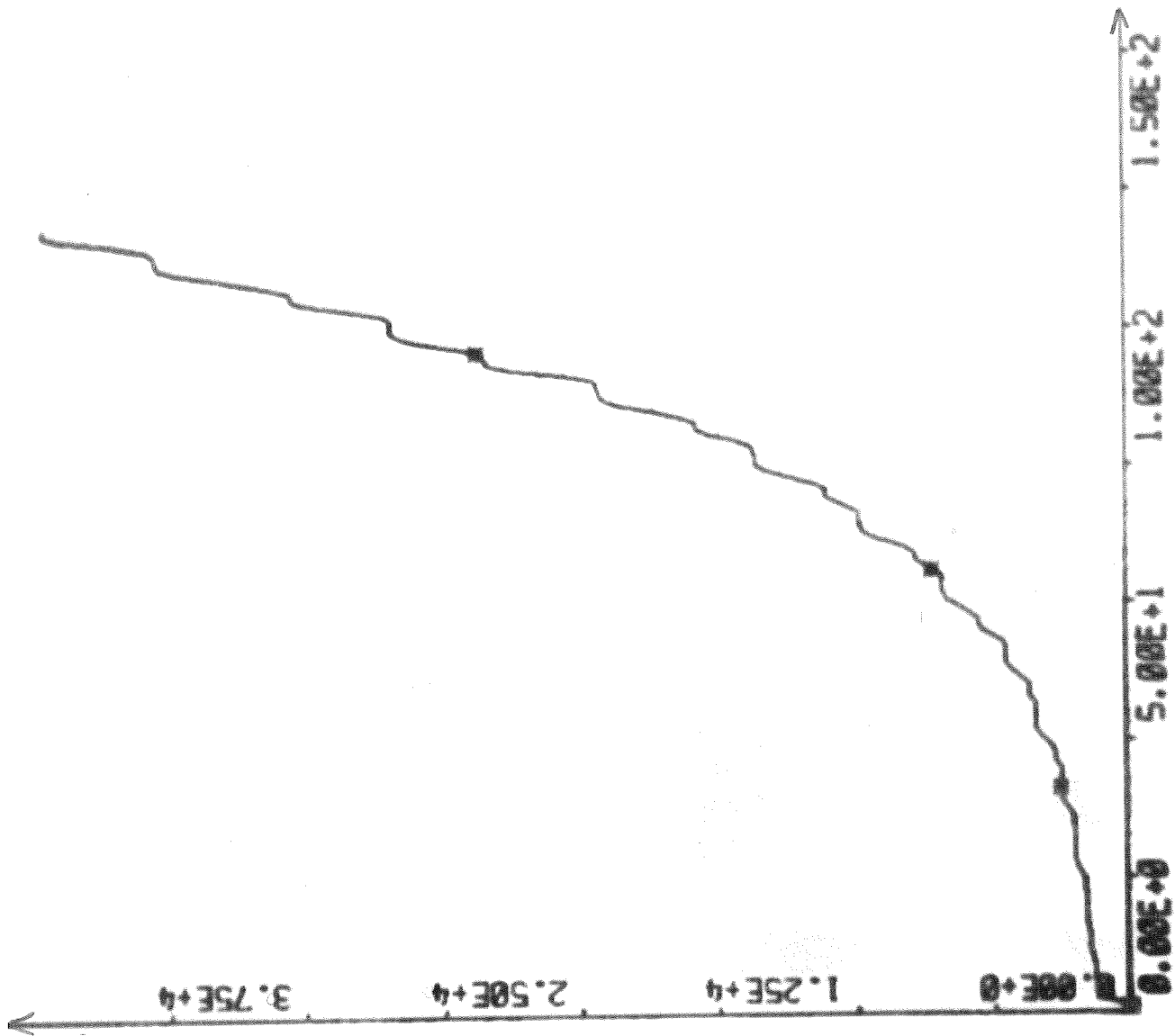


Fig. 7.20 Summa prediktionsfel i kvadrat vid prediktion av Flygdata med generell exponentiell utjämnning med $k=1$ och $\beta=0.88$.

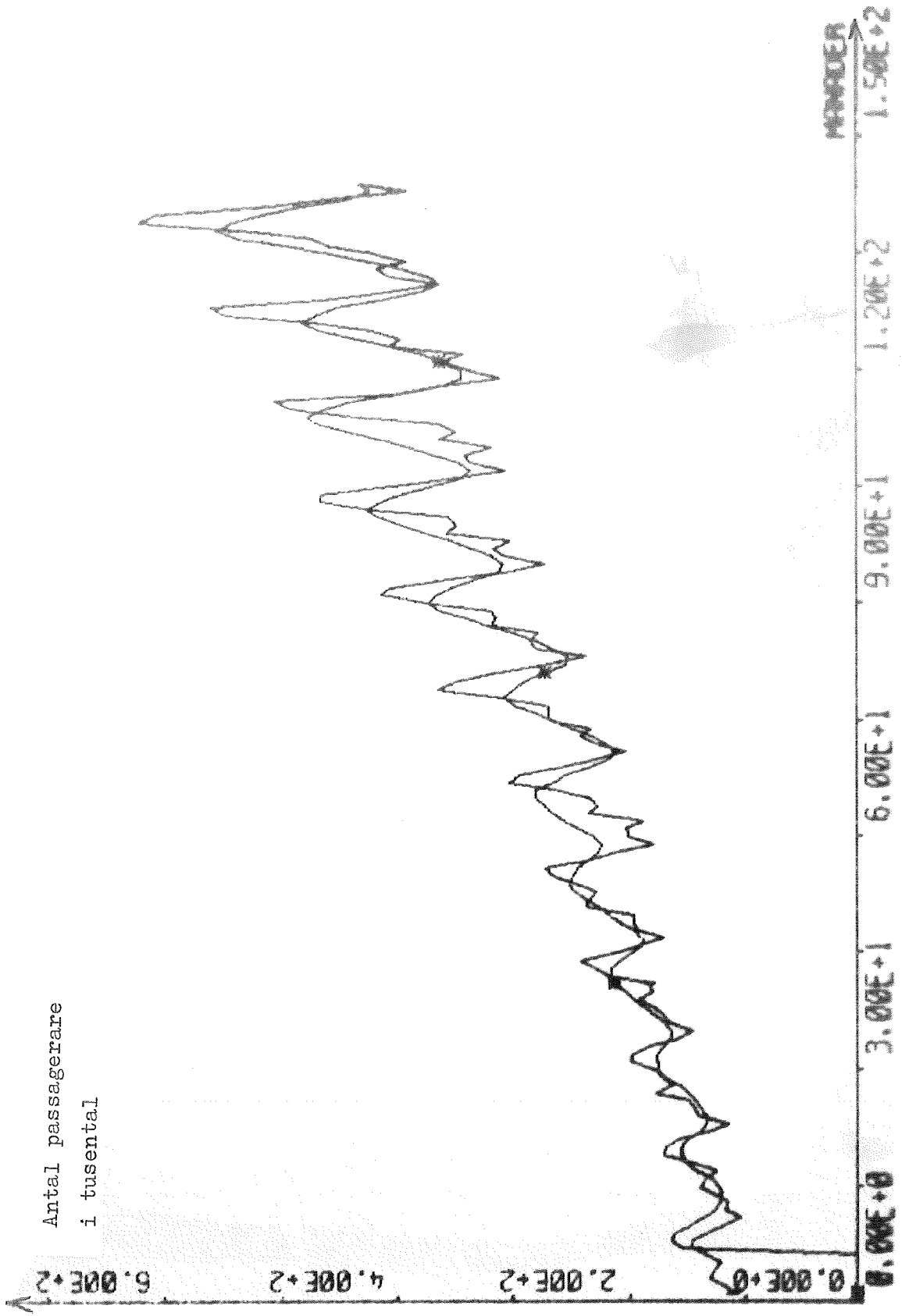


Fig. 7.21 Prediktionen av Flygdata med generell exponentiell utjämning med $k=6$ och $\beta=0.94$. Flygdata = I, Prediktionen av Flygdata = #.

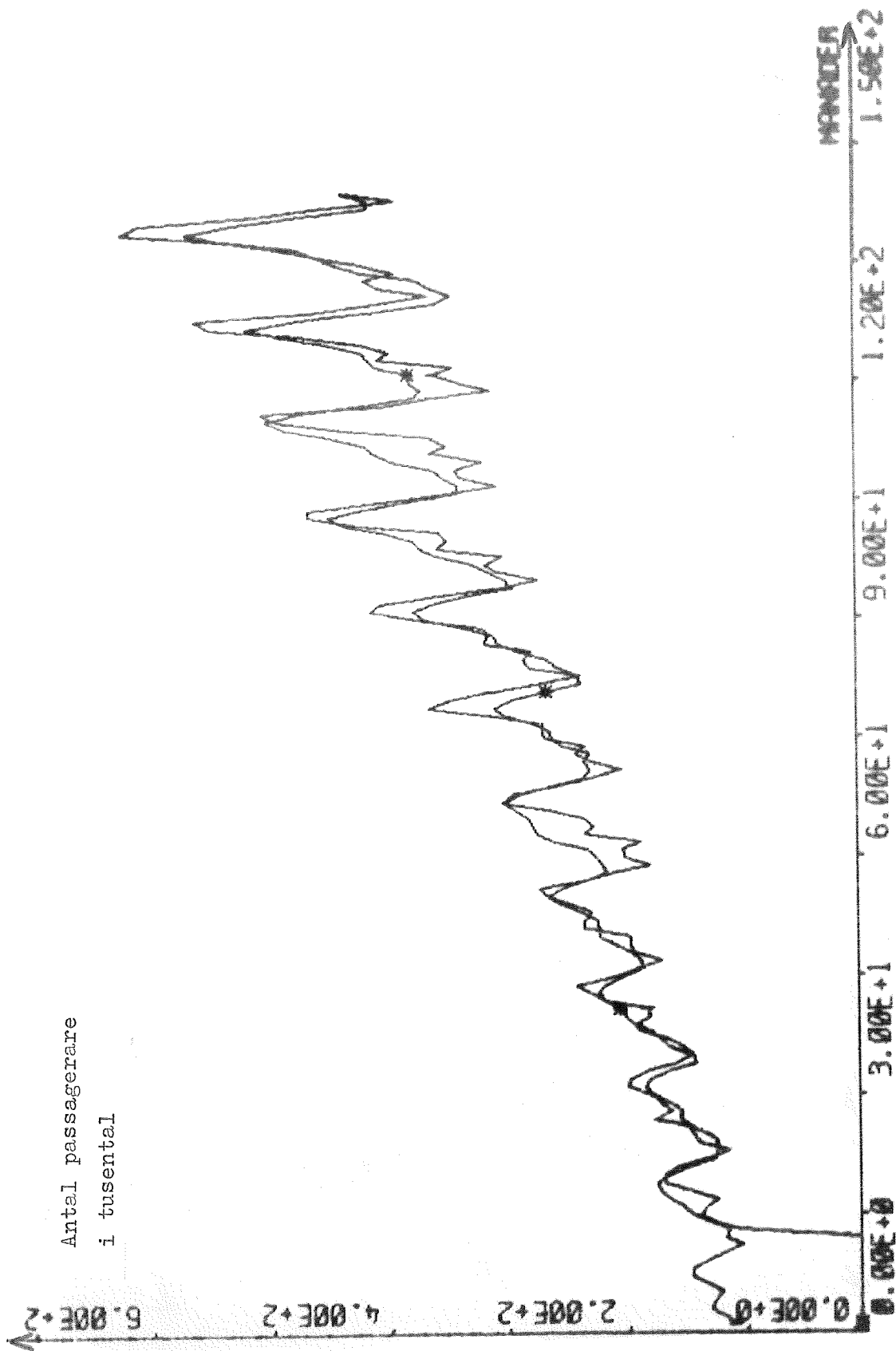


Fig. 7.22 Prediktionen av Flygdata med generell exponentiell ut-
 jämning med $k=12$ och $\beta=0.94$. Flygdata = I, Prediktionen av
 Flygdata = #.

7.3 Skogsdata.

Genom att använda IDPAC / 5 / bestämdes 1:a, 2:a och 3:e ordningens trend (Se figur 7.23). Första ordningens trend överensstämde bäst med dataseriens utseende.

Periodiciteten fastställdes genom att beräkna kovariansfunktionen för residualerna (Se figur 7.24).

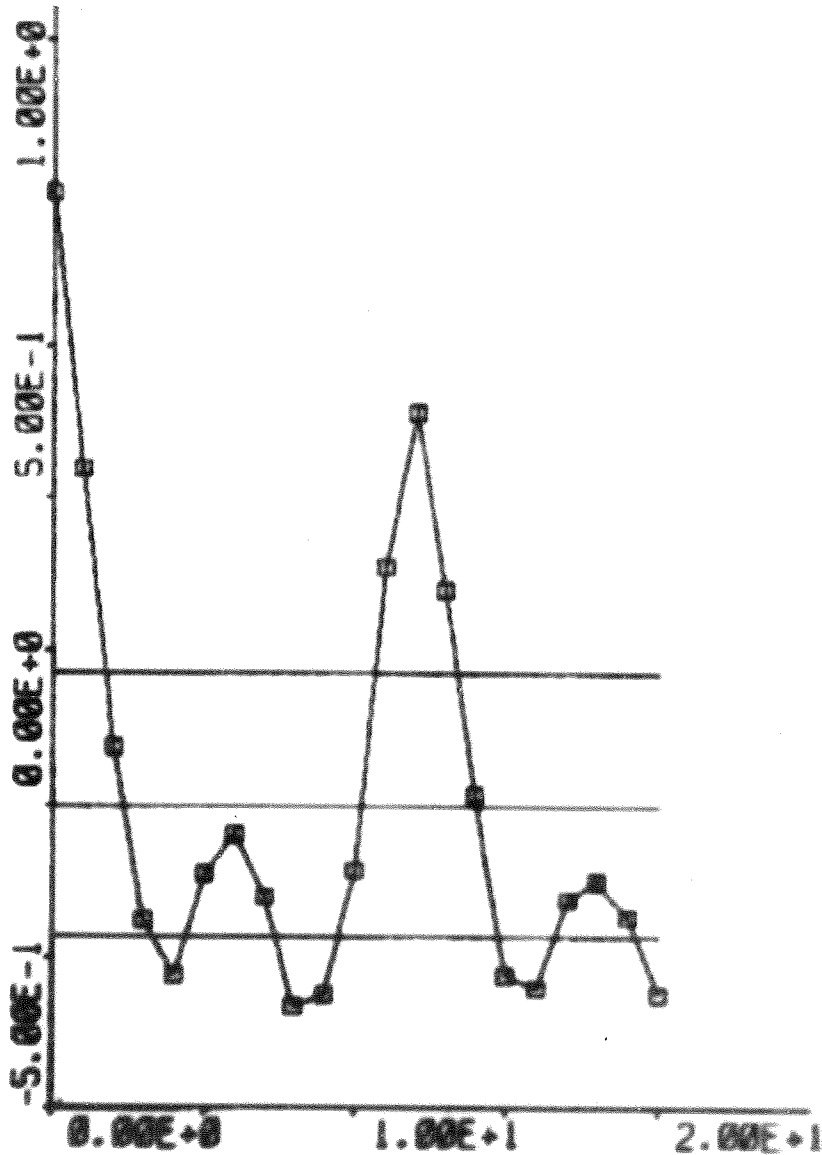


Fig. 7.24 Kovariansfunktion för residualerna.

Följande modell testades i MINKO:

Anpassningsfunktionerna:

$$f_1(t) = 1$$

$$f_2(t) = t$$

$$f_3(t)$$

$$f_3(t) = \sin\left(\frac{2\pi t}{12}\right)$$

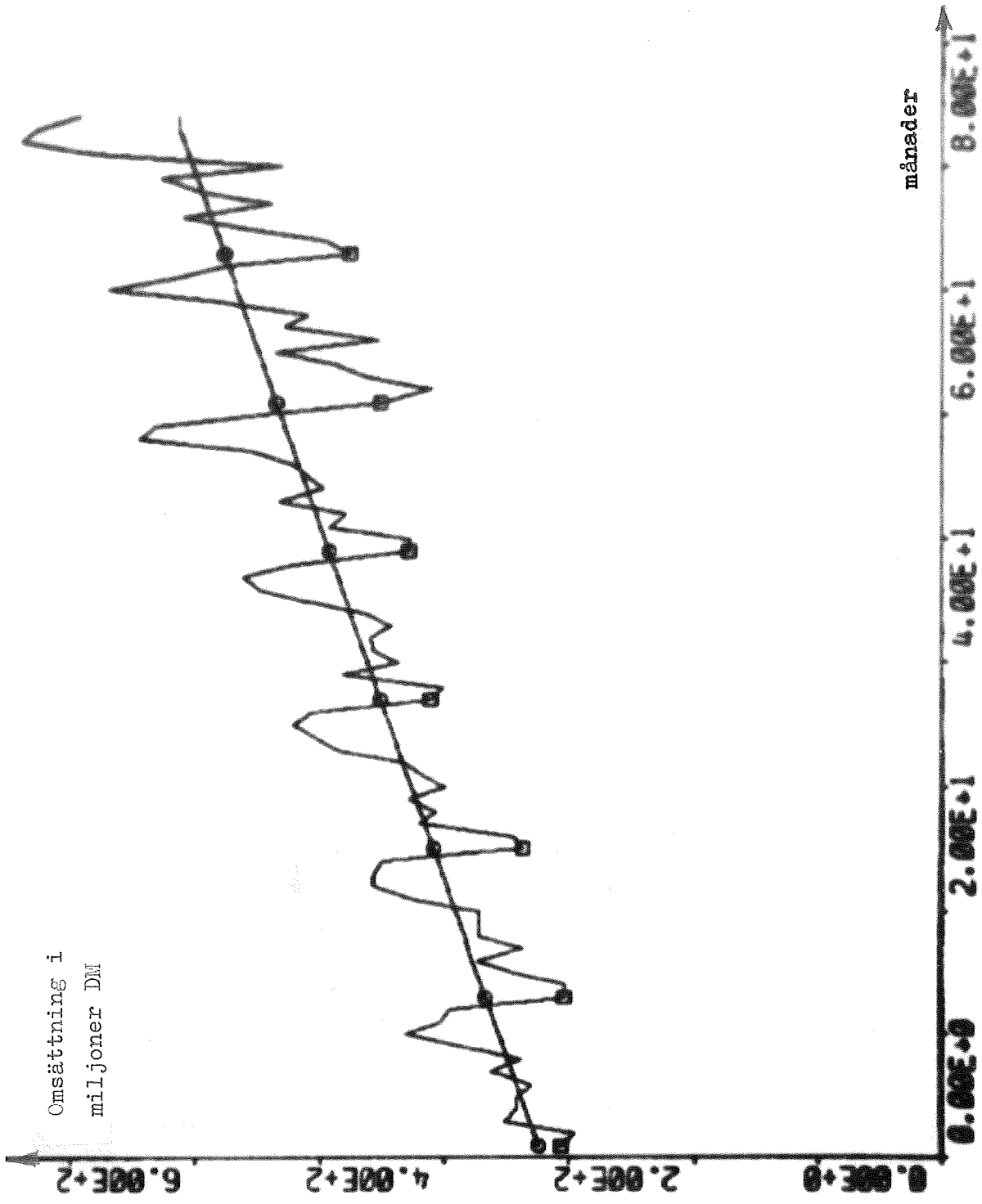


Fig. 7.23 Skogsdata med inlagd 1:a ordningens trend.

$$f_4(t) = \cos\left(\frac{2\pi t}{12}\right)$$

$$f_5(t) = \sin\left(\frac{2\pi t}{6}\right)$$

$$f_6(t) = \cos\left(\frac{2\pi t}{6}\right)$$

Detta medförde att a-parametrarna fick värdena:

$$a_1(0) = 327.85$$

$$a_2(0) = 3.37$$

$$a_3(0) = -43.08$$

$$a_4(0) = 19.08$$

$$a_5(0) = -43.69$$

$$a_6(0) = -0.90$$

Förlustfunktionsvärdet $F = 7.402 \cdot 10^4$

Denna modell valdes som indata till GEXP.

Modellens L-matris har utseendet:

1.0	0.0	0.0	0.0	0.0	0.0	0.0	0.0
1.0	1.0	0.0	0.0	0.0	0.0	0.0	0.0
0.0	0.0	0.866	0.500	0.0	0.0	0.0	0.0
0.0	0.0	-0.500	0.866	0.0	0.0	0.0	0.0
0.0	0.0	0.0	0.0	0.499	0.866	0.0	0.0
0.0	0.0	0.0	0.0	-0.866	0.499	0.0	0.0

Följande resultat på medelfel och varians erhöles för prediktionsstegen, $k=1,2,3,6$ och 12 och viktfaktorerna, $\beta=0.97, 0.94, 0.91$ och 0.88 .

Tabell 27.

k	$\beta=0.97$		$\beta=0.94$		$\beta=0.91$		$\beta=0.88$	
	Var.	Medf.	Var.	Medf.	Var.	Medf.	Var.	Medf.
1	2434.7	-0.13	2243.4	-4.07	1853.7	-4.14	2133.8	-4.00
2	3092.1	-0.37	3569.3	-4.43	3930.9	-4.64	4723.2	-4.06
3	3199.0	-0.11	3766.5	-5.52	4143.2	-6.12	4862.2	-5.69
6	3287.1	-0.30	3941.4	-6.28	4362.1	-7.34	4899.7	-7.26
12	3288.7	1.49	4142.0	-6.45	4982.2	-9.08	7273.6	-9.89

Figur 7.25 visar prediktionen vid prediktionssteget tre månader och med vikt faktorn $\beta = 0.97$

Prediktionsfelet har ökande amplitud (Se fig. 7.26) vilket medför att summa prediktionsfel i kvadrat (Se fig. 7.27) får en ökande lutning.

För alla prediktionssteg utom ett fås minsta varians och medelfel för $\beta = 0.97$, d.v.s. stor hänsyn tas till gamla uppmätta data.

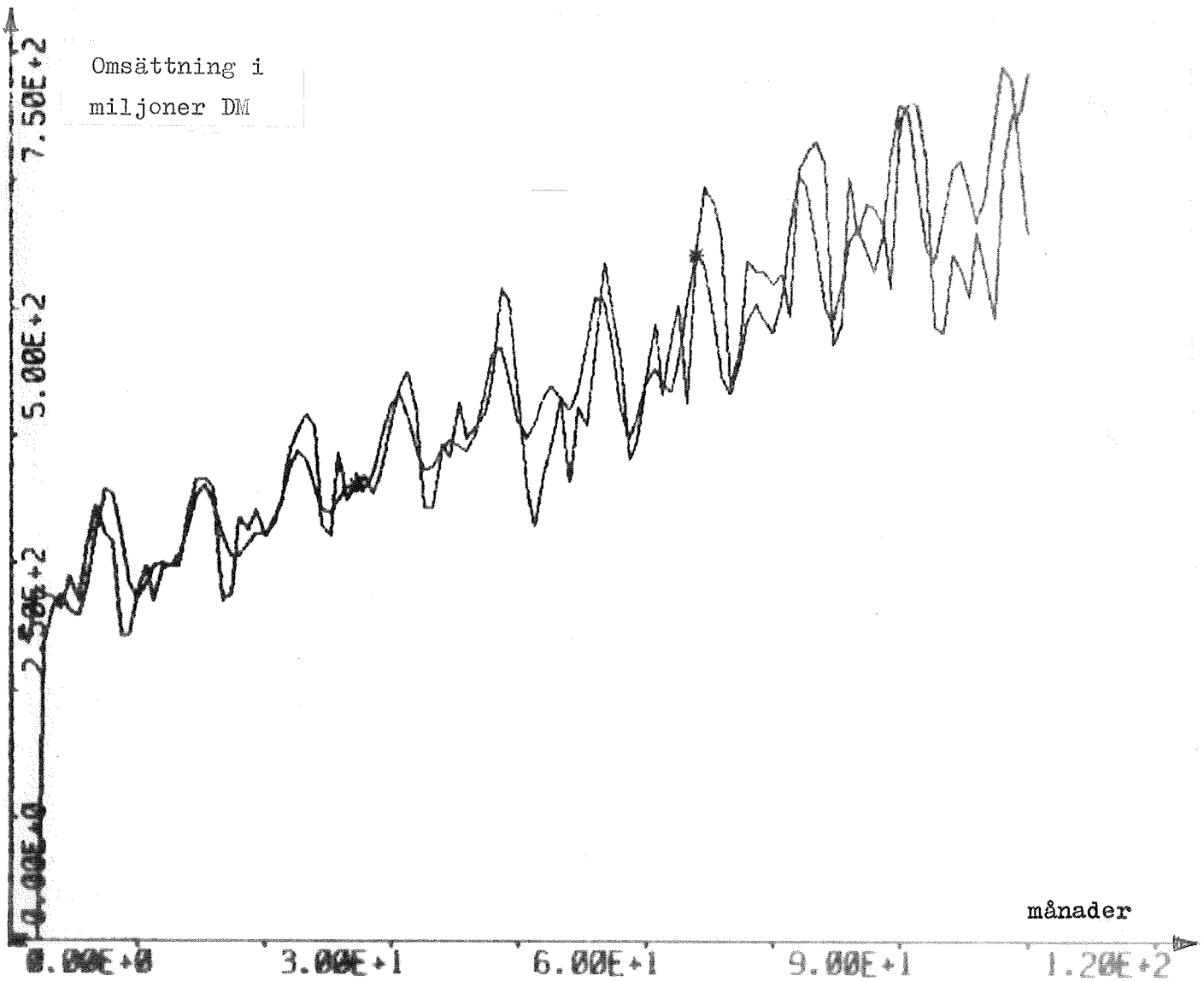


Fig. 7.25 Prediktionen av Skogsdata med generell exponentiell utjämning med $k=3$ och $\beta=0.97$. Skogsdata = I, Prediktionen av Skogsdata = π .

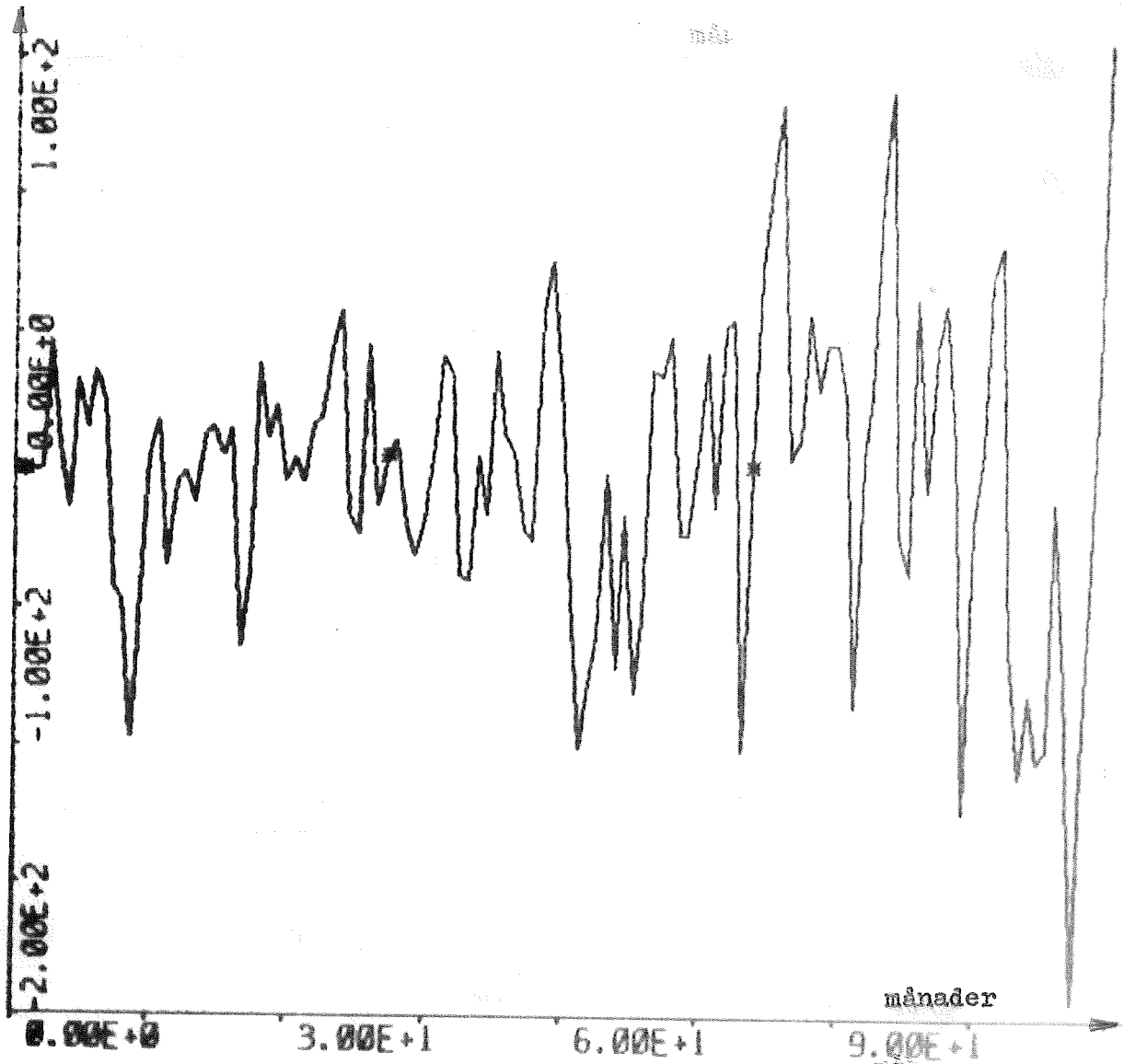


Fig. 7.26 Prediktionsfelet vid prediktion av Skogsdata med generell exponentiell utjämning med $k=3$ och $\beta=0.97$.

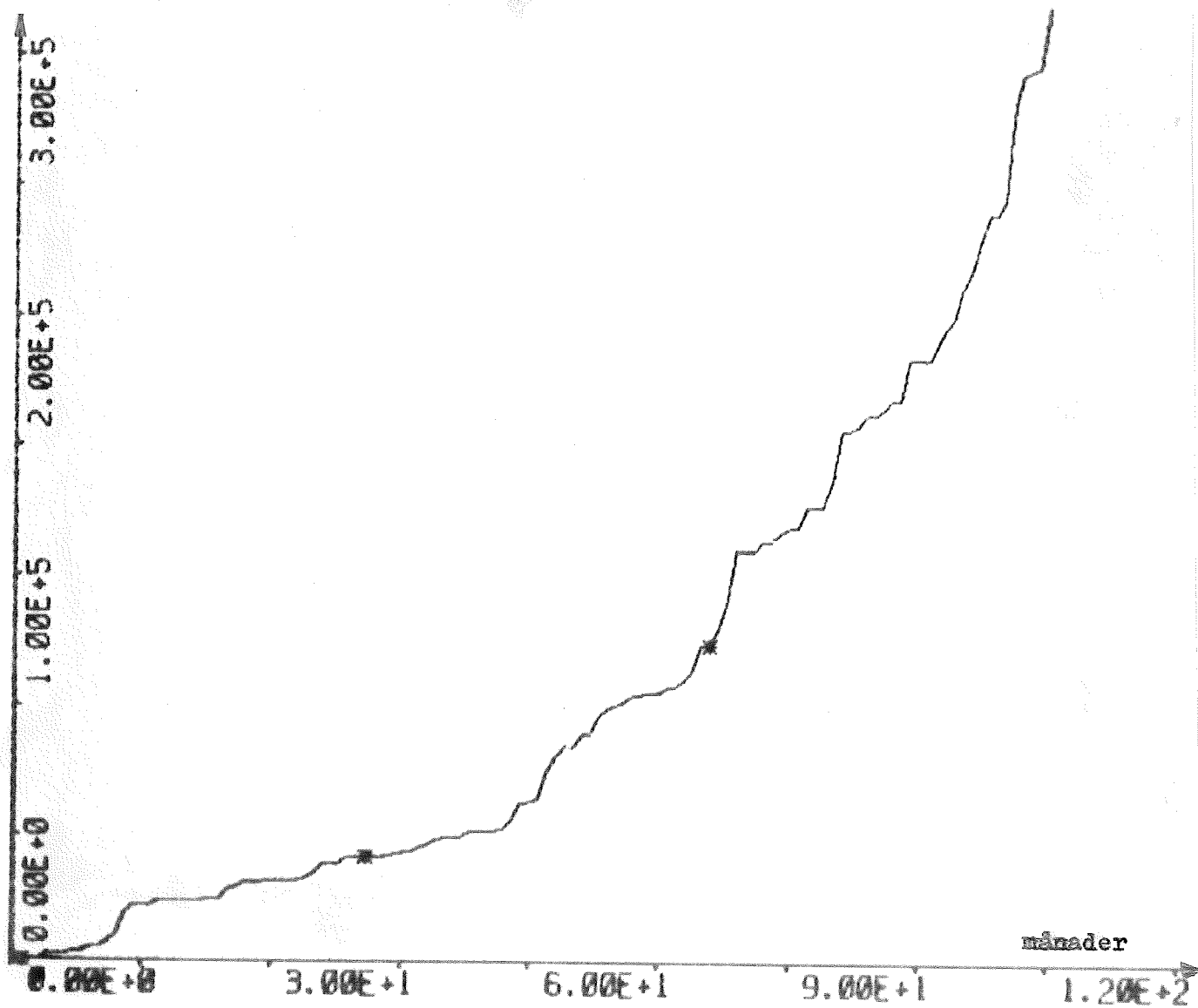


Fig. 7.27 Summa prediktionsfel i kvadrat vid prediktion av Skogsdata med generell exponentiell utjämning med $k=3$ och $\beta=0.97$.

8. PREDIKTIONRESULTAT MED MINIMALVARIANSPREDIKTION DÅ KÄND DEL ÄR FRÅNDRAGEN

Med denna metod behandlade vi Flygdata. Tillvägagångssättet redovisades i kapitel 3.4.1.

8.1 Flygdata

Den kända delen, $y_d(t)$ (se kapitel 7.2), som är baserad på de 96 första data, befanns vara

$$y_d(t) = 118.77 + 1.23 \cdot t + 0.03 \cdot t(t-1)/2 - 9.10 \sin\left(\frac{2\pi \cdot t}{12}\right) - \cos\left(\frac{2\pi \cdot t}{12}\right)$$

Vid projektarbetet i prognosmetoder / 2 / konstaterades, att en tredje ordningens modell var den som var mest signifikant. Det fastlades också att modellen innehöll en tolvmånaderssvängning.

Vi har i detta arbete valt en femte ordningens modell (se nedanstående hypotestest). Vid kontroll av denna modells poler, får man fram att den innehåller en 12- och en 19-månaderssvängning.

I figur 8.1 finns ursprungsdata och med funktionen genererade data inlagd.

Funktionen $y_d(t)$ subtraherades från ursprungsdata och på återstoden blev modellen m.h.a. ML-identifiering (Se appendix A8) (Se fig. 8.2).

$$y(t) \left[1 - 1.35q^{-1} + 1.80q^{-2} - 0.17q^{-3} + 0.38q^{-4} + 0.06q^{-5} \right] = 12.43 \left[1 - 0.82q^{-1} + 1.18q^{-2} + 0.46q^{-3} - 0.29q^{-4} + 0.65q^{-5} \right] \cdot e(t)$$

Kovariansfunktionen för residualerna för denna modell framgår av figur 8.3.

Genom identifiering (se kapitel 3.4) erhöles G^* - och F^* -polynom- en enligt nedan

$$\underline{k=1} \quad F^*(q^{-1}) = 1$$

$$G^*(q^{-1}) = 0.538 - 0.620q^{-1} + 1.176q^{-2} - 0.662q^{-3} + 0.590q^{-4}$$

$$\underline{k=2} \quad F^*(q^{-1}) = 1 + 0.538q^{-1}$$

$$G^*(q^{-1}) = 0.109 + 0.208q^{-1} - 0.277q^{-2} + 0.393q^{-3} - 0.034q^{-4}$$

$$\underline{k=3} \quad F^*(q^{-1}) = 1 + 0.538q^{-1} + 0.109q^{-2}$$

$$G^*(q^{-1}) = 0.355 - 0.473q^{-1} + 0.470q^{-2} - 0.074q^{-3} - 0.007q^{-4}$$

$$\underline{k=6} \quad F^*(q^{-1}) = 1 + 0.538q^{-1} + 0.109q^{-2} + 0.355q^{-3} + 0.008q^{-4} - 0.157q^{-5}$$

$$G^*(q^{-1}) = -0.048 + 0.151q^{-1} + 0.138q^{-2} + 0.057q^{-3} + 0.010q^{-4}$$

$$\underline{k=12} \quad F^*(q^{-1}) = 1 + 0.538q^{-1} + 0.109q^{-2} + 0.355q^{-3} + 0.008q^{-4} - 0.157q^{-5} - 0.048q^{-6} + 0.086q^{-7} + 0.065q^{-8} - 0.044q^{-9} - 0.086q^{-10} - 0.021q^{-11}$$

$$G^*(q^{-1}) = 0.067 - 0.012q^{-1} + 0.020q^{-2} + 0.013q^{-3} + 0.001q^{-4}$$

Sammanfattning av hypotestesten för val av modellens ordning.

<u>Ord. (i)</u>	<u>Förlustfunktion (V_i)</u>
1	1.23 10^4
2	1.01 10^4
3	0.93 10^4
4	0.78 10^4
5	0.74 10^4

<u>Steget för förlustfunktionen</u>	<u>Testkvantitet</u>	<u>Tabellerat värde</u>
1 \rightarrow 2	10.0	3.10
2 \rightarrow 3	3.9	3.10
3 \rightarrow 5	5.5	2.48
4 \rightarrow 5	2.3	3.10

G-polynomen i 4:e och 6:e ordningens modeller blev instabila.

5:e ordningens modell valdes, eftersom steget för förlustfunktionen från 4:e till 5:e ordningens modell måste vara mindre eller lika med $V_5 - V_4$ och då detta steg ej är signifikant, kan steget till högre ordning från 5:e ordningen, ej vara signifikant.

Värden på medelfel och varians erhöles enligt nedan $\sum_{i=k+4}^{96} (x_i - \hat{x}_i)^2$

<u>k</u>	<u>Medelfel</u>	<u>Varians</u>	<u>Förväntad varians</u>	$\frac{\sum_{i=k+4}^{96} (x_i - \hat{x}_i)^2}{92-k}$
1	-3.9	599.8	154.6	438
2	-5.9	725.6	199.3	345
3	-6.2	768.2	201.2	352
6	-6.9	807.3	224.5	230
12	-7.2	796.6	228.1	244

Prediktionen, prediktionsfelet och summa prediktionsfel i kvadrat för prediktionssteget, $k=1$ månad framgår av figurerna 8.4 - 8.6. Figur 8.7 visar prediktionen för prediktionssteget, $k=12$ månader.

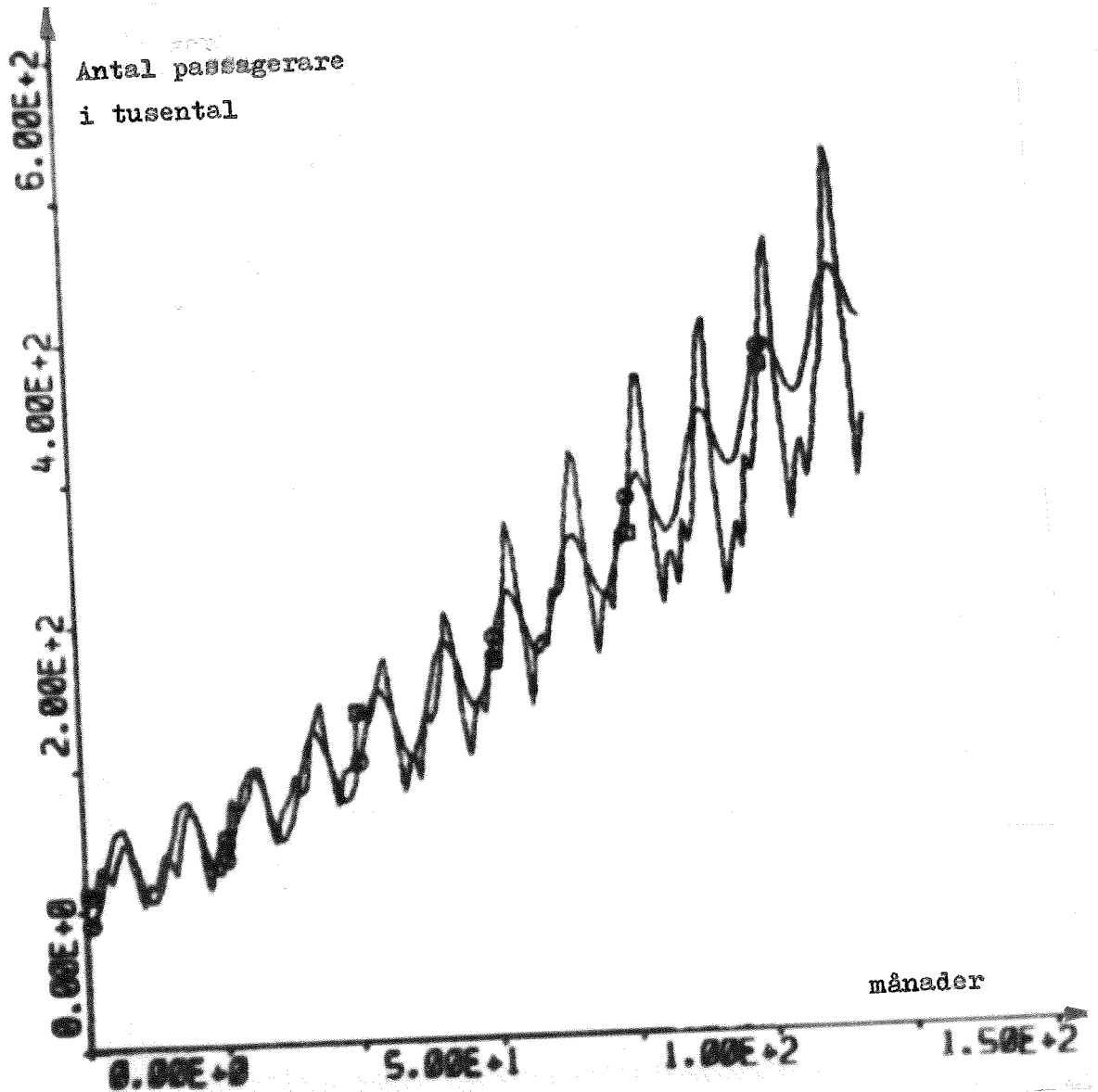


Fig. 8.1 Flygdata med den kända delen, $y_d(t)$, inlaggd.

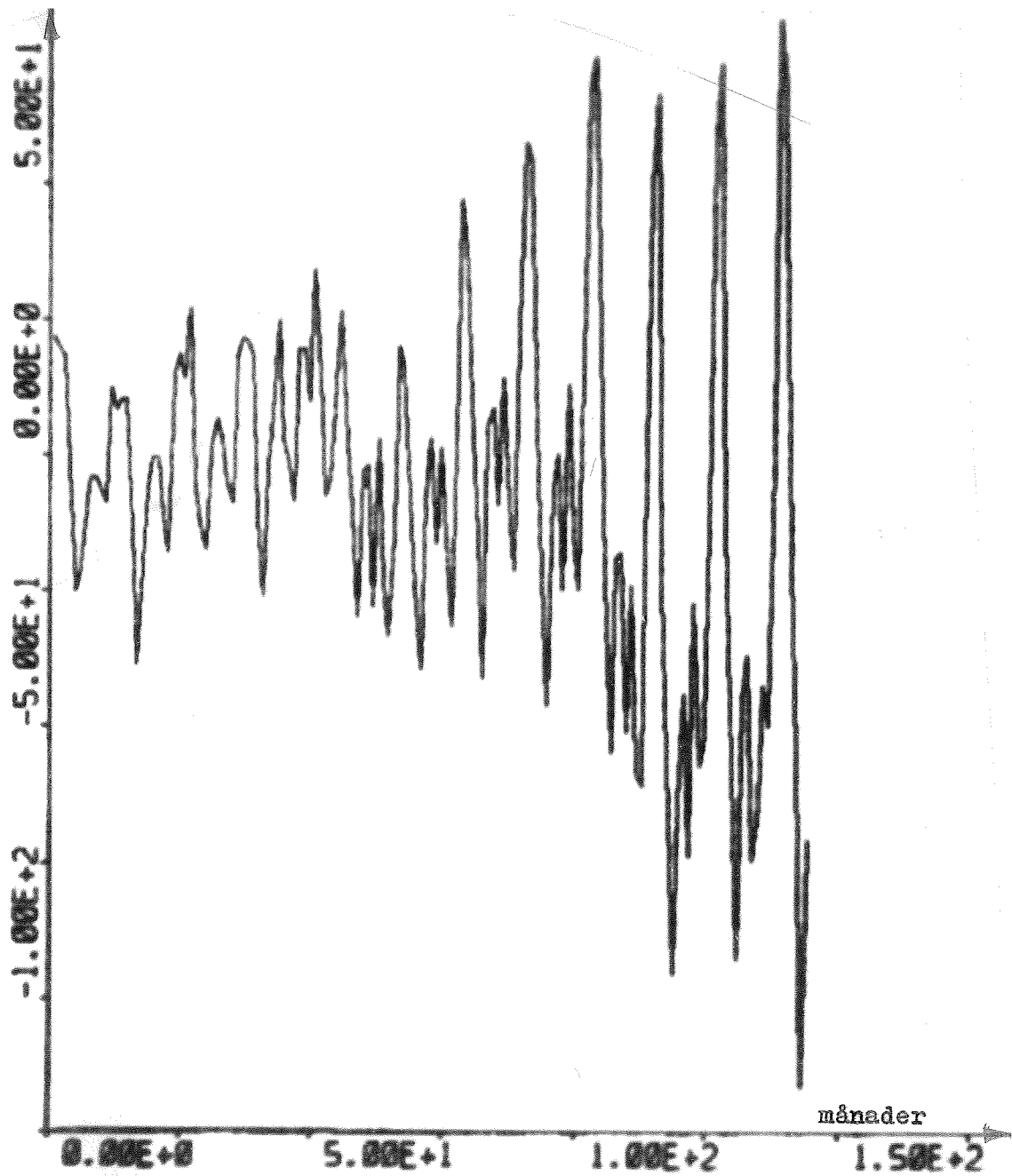


Fig. 8.2 Data som ligger till grund för ML-identifiering av Flygdata.

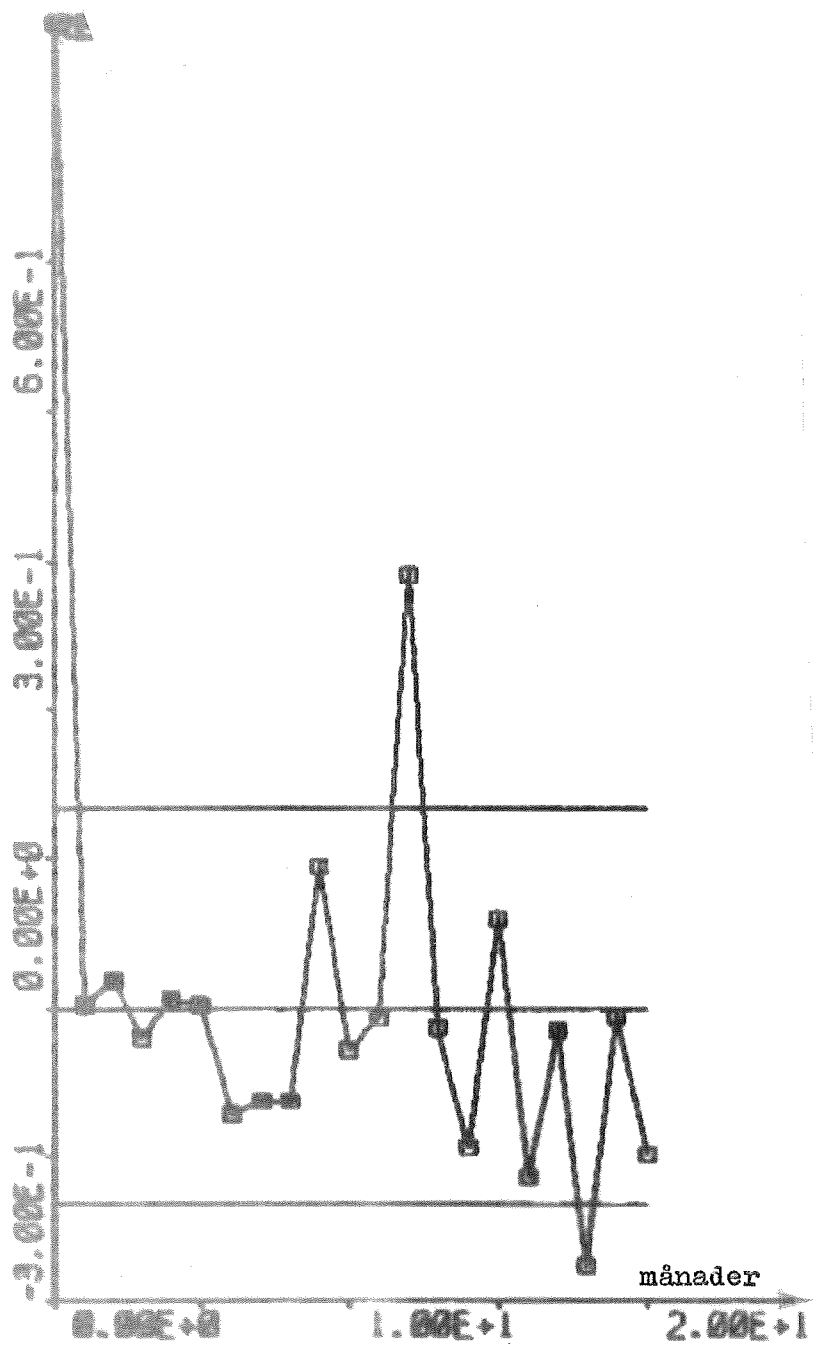


Fig. 8.3 Kovariansfunktionen för residualerna för 5:e ordningens modell.

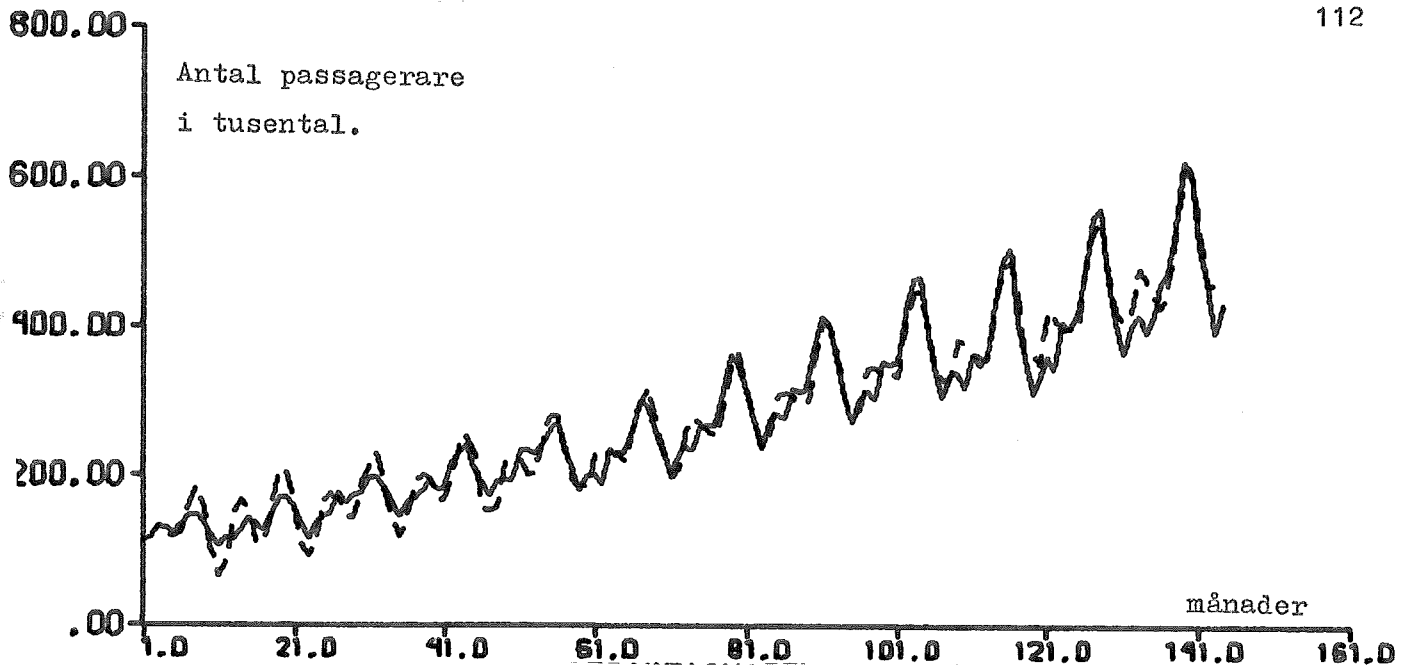


Fig. 8.4 Prediktionen av Flygdata med minimalvariansprediktion med $k=1$. ----- = prediktionen.

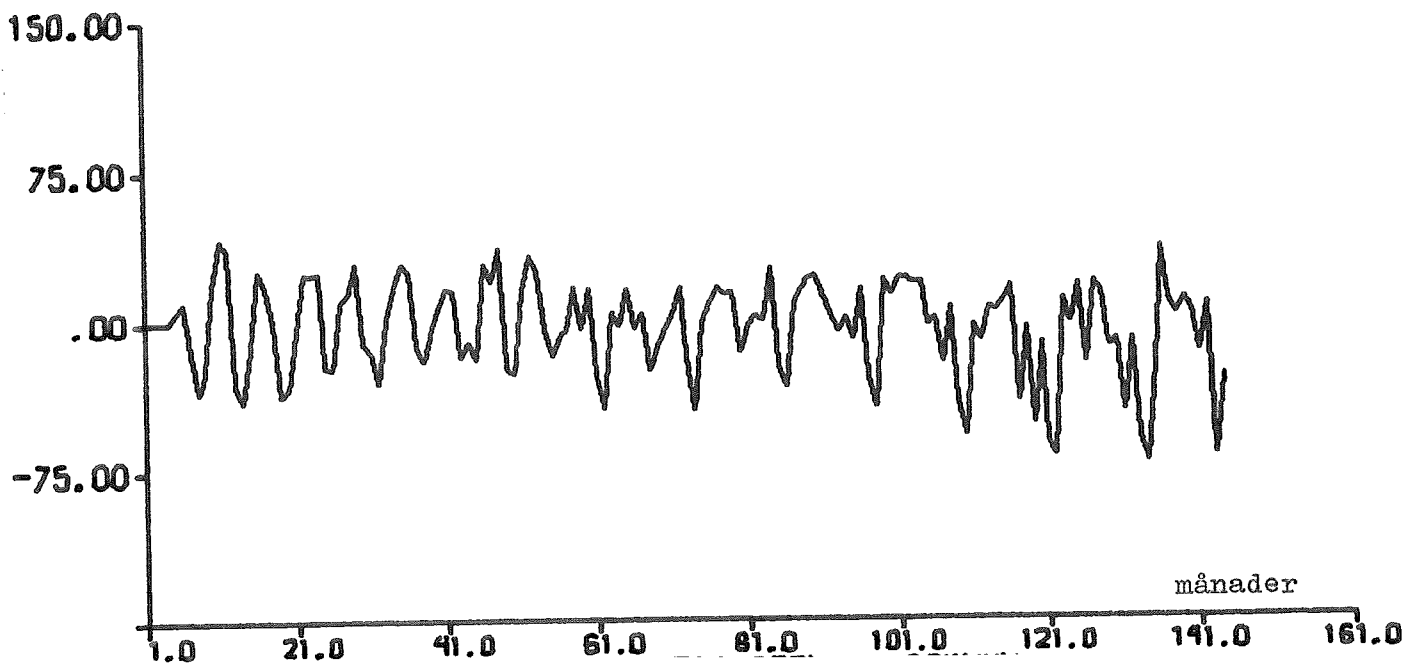


Fig. 8.5 Prediktionsfelet vid prediktion av Flygdata med minimalvariansprediktion med $k=1$.

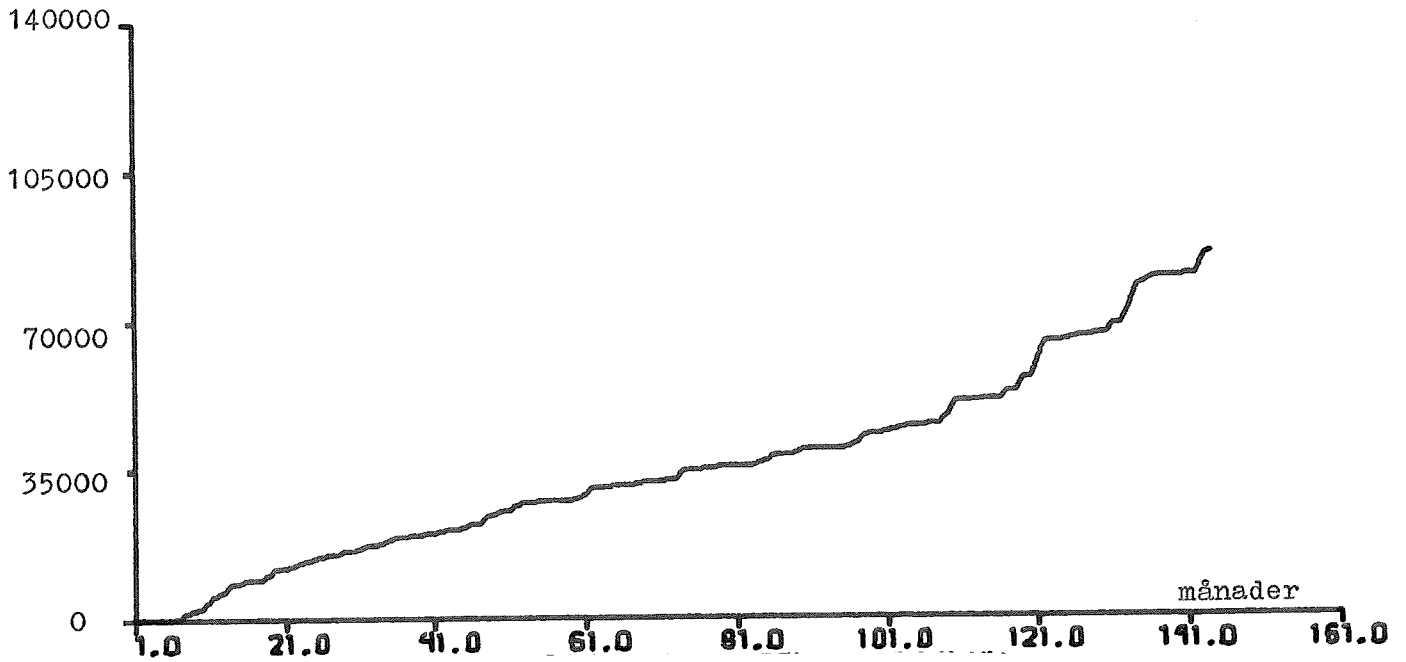


Fig. 8.6 Summa prediktionsfel i kvadrat vid prediktion av Flygdata med minimalvariansprediktion med $k=1$.

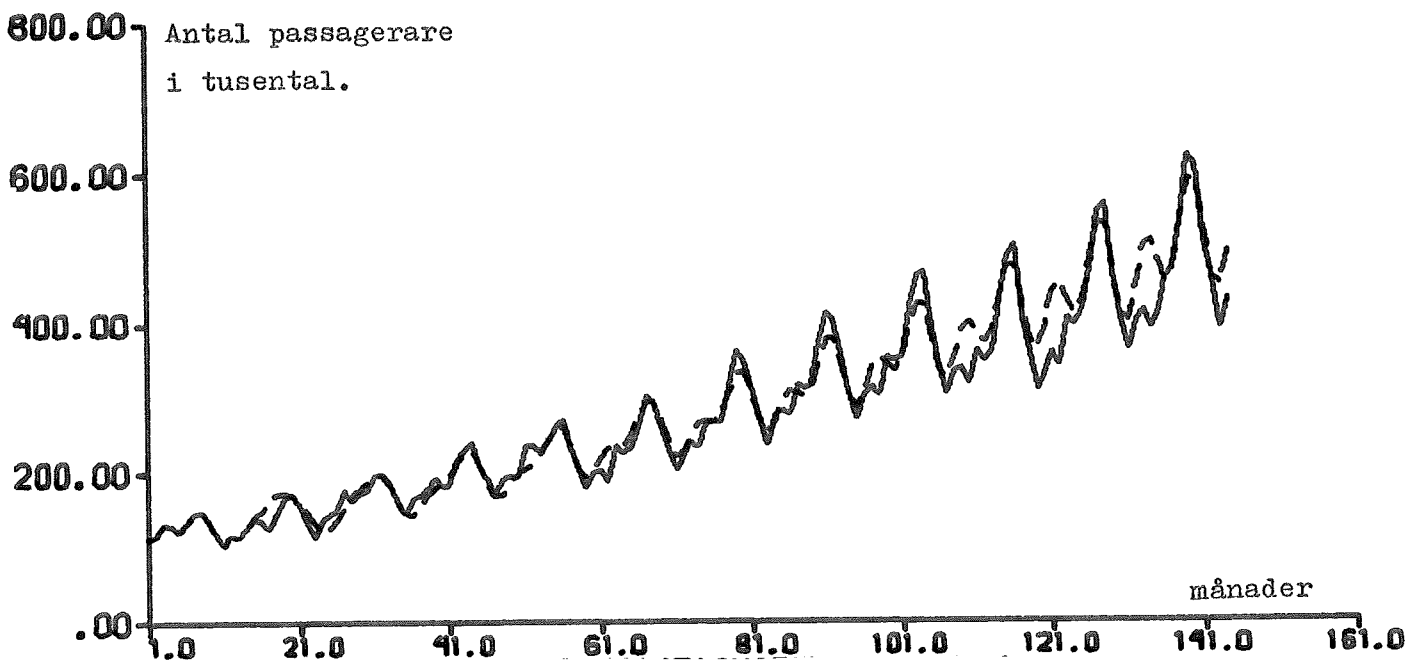


Fig. 8.7 Prediktionen av Flygdata med minimalvariansprediktion med $k=12$. ----- = prediktionen.

8.2 Test av hur komplex den kända delen skall vara

För att bestämma den metod, enbart trendavdragning eller känd del frändragen, som med minimalvariansprediktion ger den bästa prediktionen, testas dessa på genererade data.

Vi har antagit att modellens utseende är

$$y(t) = x(t) + e(t)$$

där $e(t)$ är en stokastisk process med medelvärde noll.

Vi vill jämföra de två redovisade tillvägagångssätten att prediktera med minimalvariansprediktion, på data som har ovanstående utseende.

Konstruktion av data

Vi genererade en serie data, vars utseende var

$$y(t) = -1.20 \cdot y(t-1) + 0.72 \cdot y(t-2) + 1.00 \cdot e(t) - 0.60 \cdot e(t-1) + 0.13 \cdot e(t-2)$$

Denna modell genererar data med en 8-månaderssvängning. Här är $e(t)$ vitt brus tillhörande $N(0,1)$. Till dessa data adderas sedan en nivå, 20.0, och en svängning, $10 \sin\left(\frac{2\pi \cdot t}{12}\right)$, (se figur 8.8).

Metod 1. Enbart identifiera trend och därefter göra minimalvariansprediktion

Vi testade en 0:e och en 1:a ordningens trend på de 96 första värdena. Vi valde 0:e ordningens trend med nivån 20.01. Återstoden visas på figur 8.9.

Kovariansfunktionen för residualerna över dessa data framgår av figur 8.10. På dessa data, som visas i figur 8.9, gjordes en 3:e-, 4:e- och 5:e ordningens ML-identifiering (Se appendix A8).

Med hjälp av hypotestest undersöktes om någon signifikant förbättring i modellerna erhöles, när ordningen ökades. Vid utförandet av testen utnyttjades förlustfunktionen.

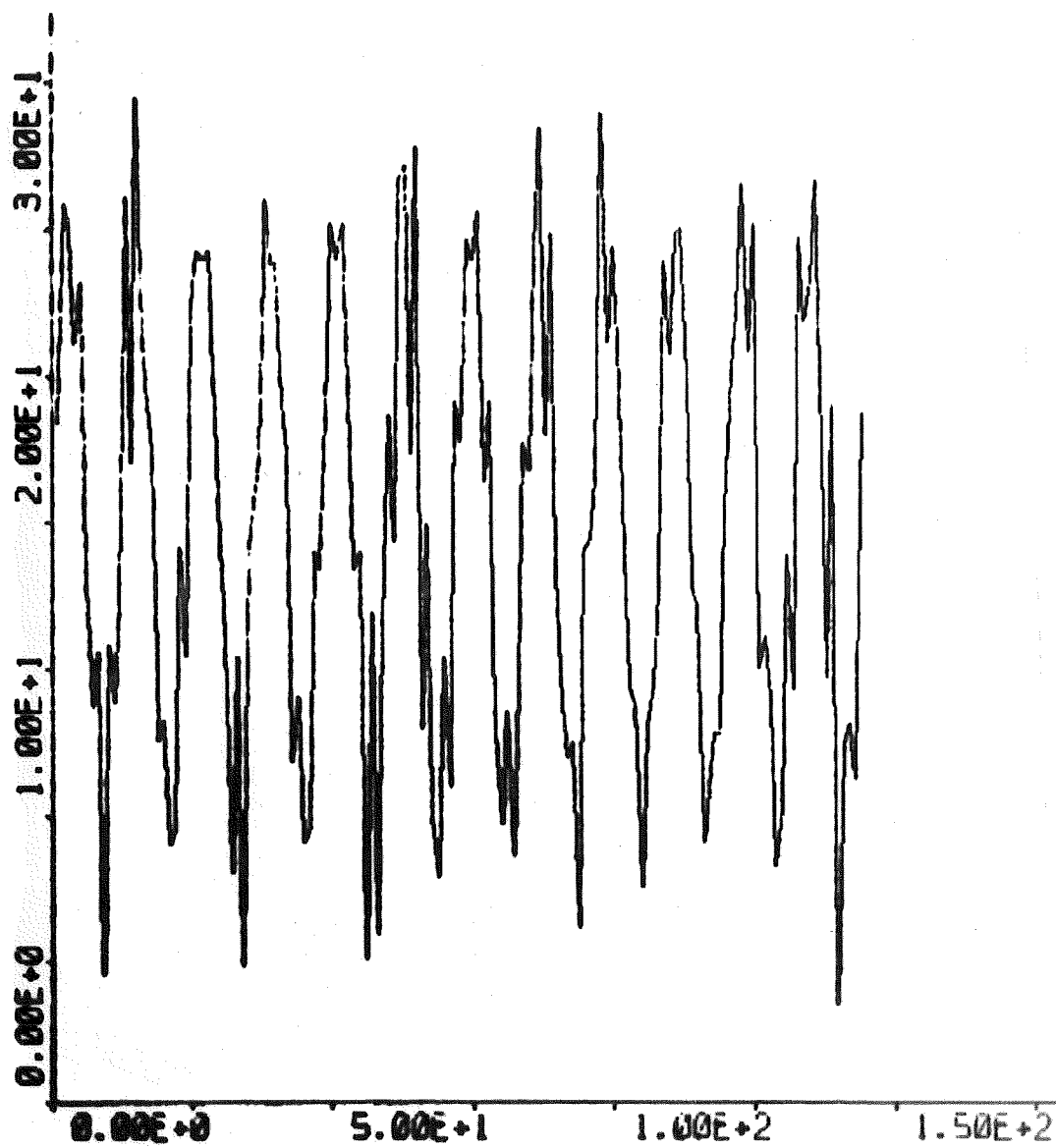


Fig. 8.8 Den genererade dataserien med adderad nivå, 20.0, och en svängning, $10 \sin\left(\frac{2\pi \cdot t}{12}\right)$.

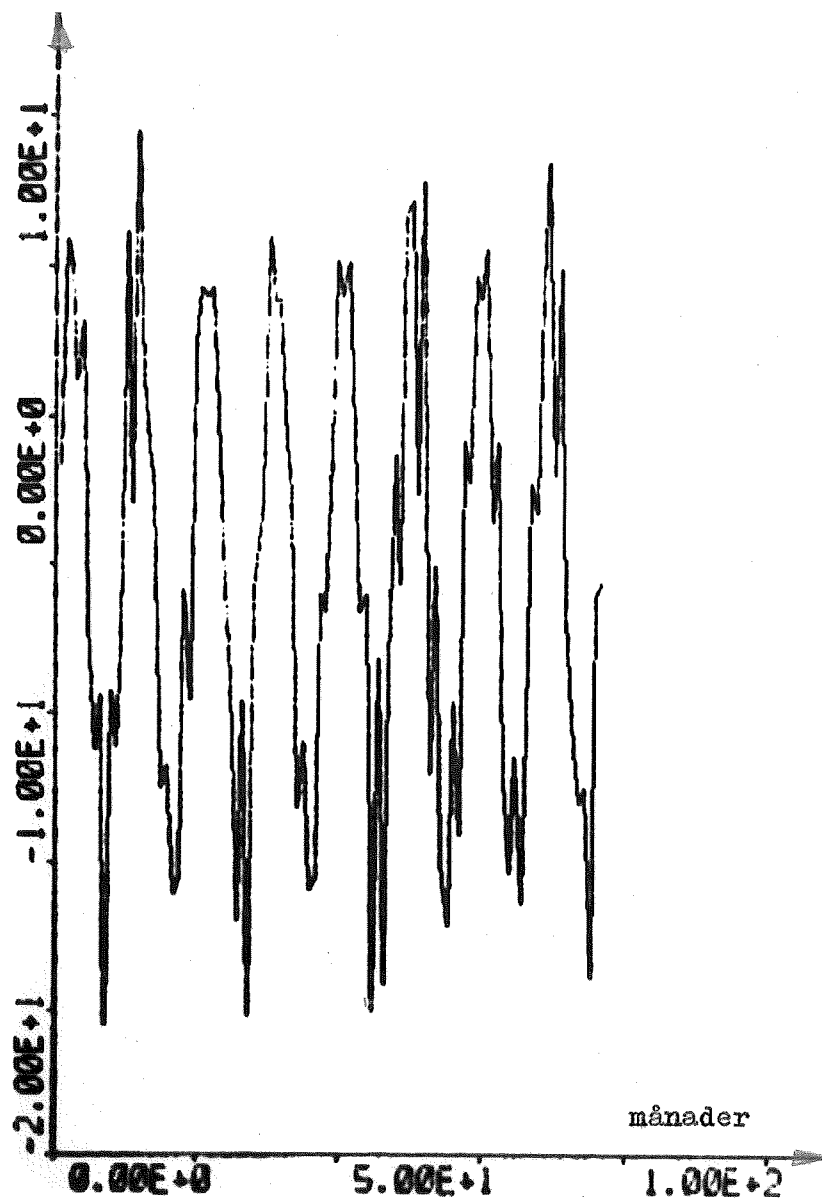


Fig. 8.9 Data som ligger till grund för ML-identifiering enligt metod 1.

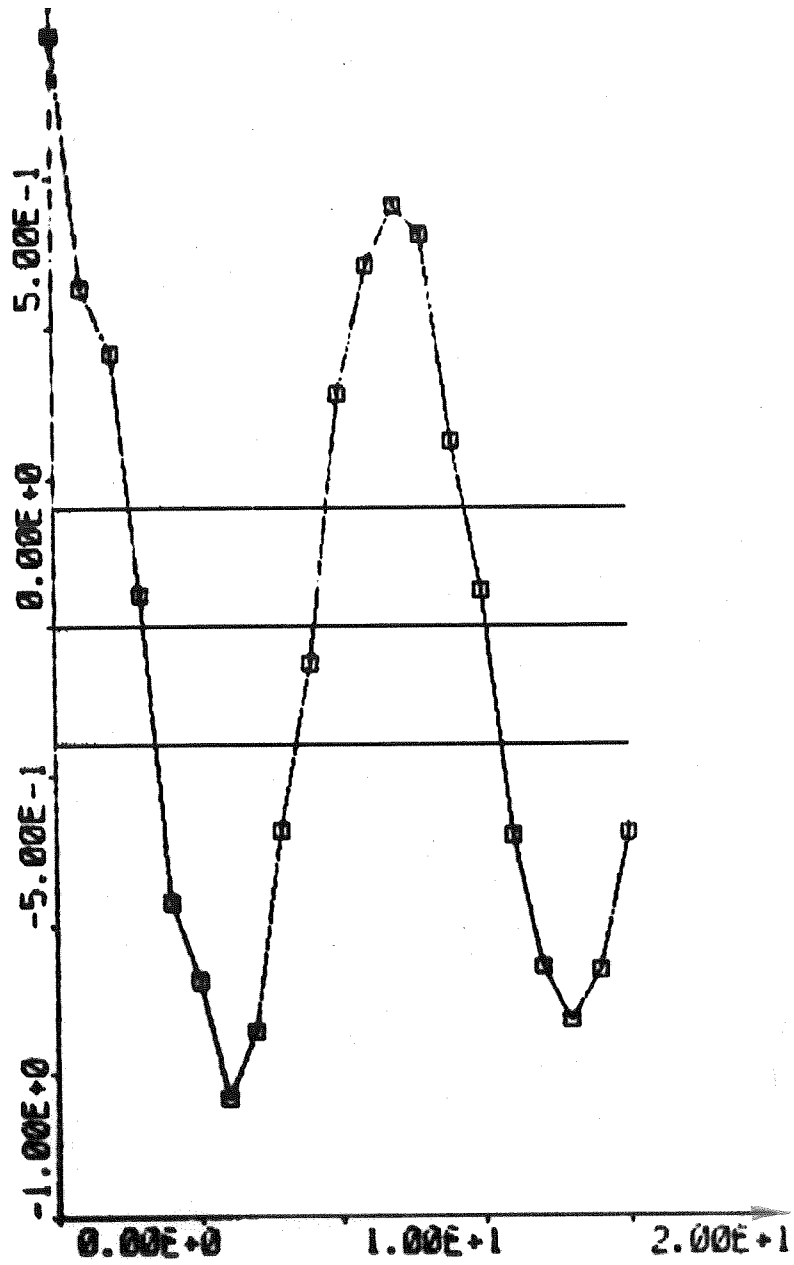


Fig. 8.10 Kovariansfunktionen för residualerna för indata.

Sammanfattning av hypotestesten:

<u>Ordn. (i)</u>	<u>Förlustfunktion (V_i)</u>
3	397.07
4	308.70
5	308.66

<u>Steget för förlustfunktionen</u>	<u>Testkvantitet</u>	<u>Tabellerat värde</u>
3 \rightarrow 4	12.60	3.10
4 \rightarrow 5	0.01	3.10

Av tabellen framgår att ingen signifikant förbättring fås, för steget för förlustfunktionen från 4:e till 5:e ordningens modell. En 4:e ordningens modell valdes således.

Kovariansfunktionen för residualerna till modellen framgår av figur 8.11.

Modellen fick följande utseende

$$y(t) \left[1 - 0.53q^{-1} - 0.37q^{-2} - 0.04q^{-3} + 0.72q^{-4} \right] = 2.54 \left[1 - 0.90q^{-1} + 0.71q^{-2} - 0.32q^{-3} + 0.10q^{-4} \right] e(t)$$

Vid kontroll av modellens poler, framkom det att modellen innehöll svängningar med periodiciteten tolv och åtta månader. Tolvmånaderssvängningen härrör från den pålagda tolvmånaders sinusvängning och åttamånaderssvängningen från det pålagda dynamiska bruset.

Genom identifiering (se kapitel 3.4) erhöles G^* och F^* -polynomen, för olika prediktionssteglängder, k , enligt nedan

$$\begin{aligned} \underline{k=1} \quad F^*(q^{-1}) &= 1 \\ G^*(q^{-1}) &= -0.37 + 1.08q^{-1} - 0.28q^{-2} - 0.62q^{-3} \end{aligned}$$

$$\begin{aligned} \underline{k=2} \quad F^*(q^{-1}) &= 1 - 0.37q^{-1} \\ G^*(q^{-1}) &= 0.88 - 0.42q^{-1} - 0.63q^{-2} + 0.27q^{-3} \end{aligned}$$

$$\begin{aligned} \underline{k=3} \quad F^*(q^{-1}) &= 1 - 0.37q^{-1} + 0.88q^{-2} \\ G^*(q^{-1}) &= 0.05 - 0.31q^{-1} + 0.30q^{-2} - 0.64q^{-3} \end{aligned}$$

$$\underline{k=6} \quad F^*(q^{-1}) = 1 - 0.37q^{-1} + 0.88q^{-2} + 0.05q^{-3} - 0.28q^{-4} + 0.17q^{-5}$$

$$G(q^{-1}) = -0.65 + 0.02q^{-1} + 0.21q^{-2} - 0.12q^{-3}$$

$$\begin{aligned} \underline{k=12} \quad F(q^{-1}) &= 1 - 0.37q^{-1} + 0.88q^{-2} + 0.05q^{-3} - 0.28q^{-4} + 0.17q^{-5} - \\ &\quad - 0.65q^{-6} - 0.32q^{-7} - 0.20q^{-8} - 0.37q^{-9} + 0.19q^{-10} + \\ &\quad + 0.19q^{-11} \end{aligned}$$

$$G(q^{-1}) = 0.29 + 0.35q^{-1} - 0.13q^{-2} - 0.13q^{-3}$$

Värden på varians och medelfel:

<u>k</u>	<u>Medelfel</u>	<u>Varians</u>	<u>Förväntad varians</u>	$\frac{\sum_{i=k+4}^{96} (x_i - \hat{x}_i)^2}{92-k}$
1	-0.03	3.72	6.45	3.60
2	-0.06	6.30	7.33	6.56
3	-0.01	9.07	12.33	9.40
6	-0.03	9.61	13.04	9.80
12	0.01	11.10	18.03	10.95

Figurerna 8.12 - 8.14 visar prediktionen, prediktionsfelet och summa prediktionsfel i kvadrat för prediktionssteget, k=1 månad.

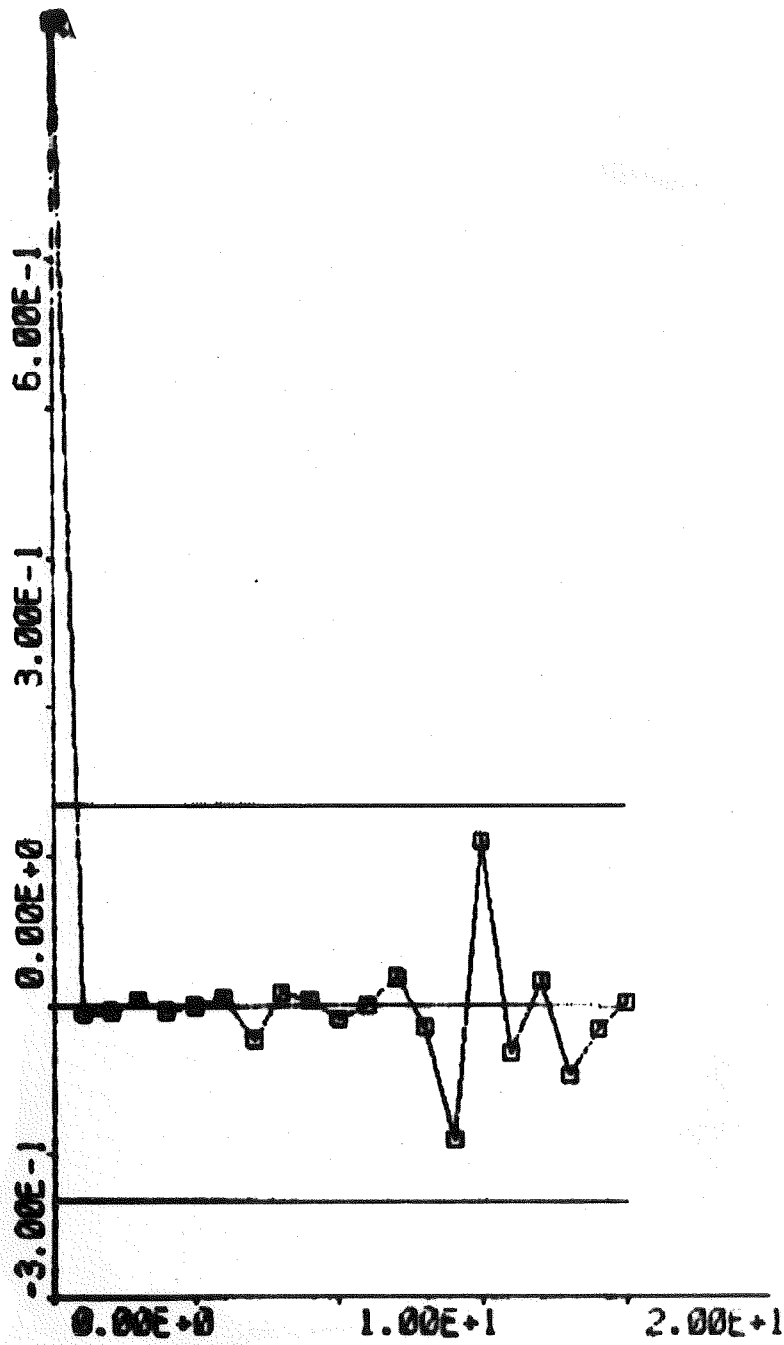


Fig 8.11 Kovariansfunktionen för residualerna till 4:e ordningens modell.

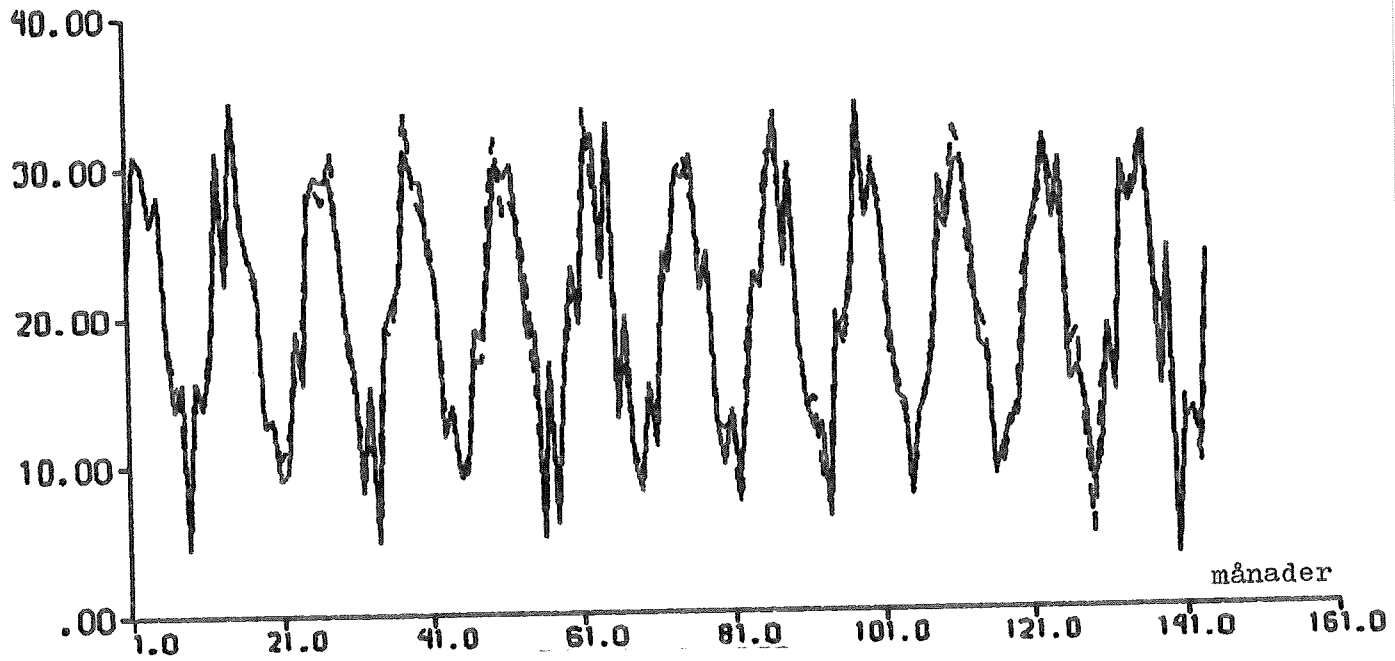


Fig. 8.12 Prediktionen av data enligt metod 1 med minimalvariansprediktion med $k=1$. ----- = prediktionen.

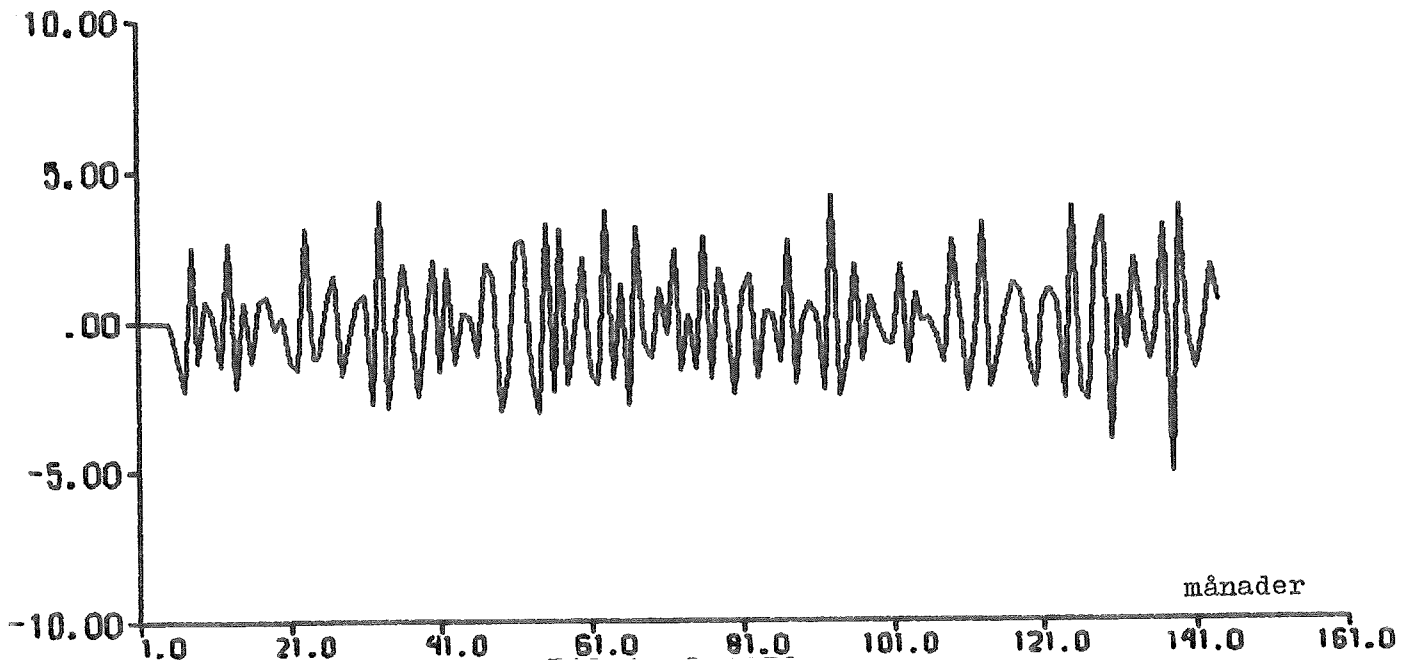


Fig. 8.13 Prediktionsfelet vid prediktion av data enligt metod med minimalvariansprediktion med $k=1$.

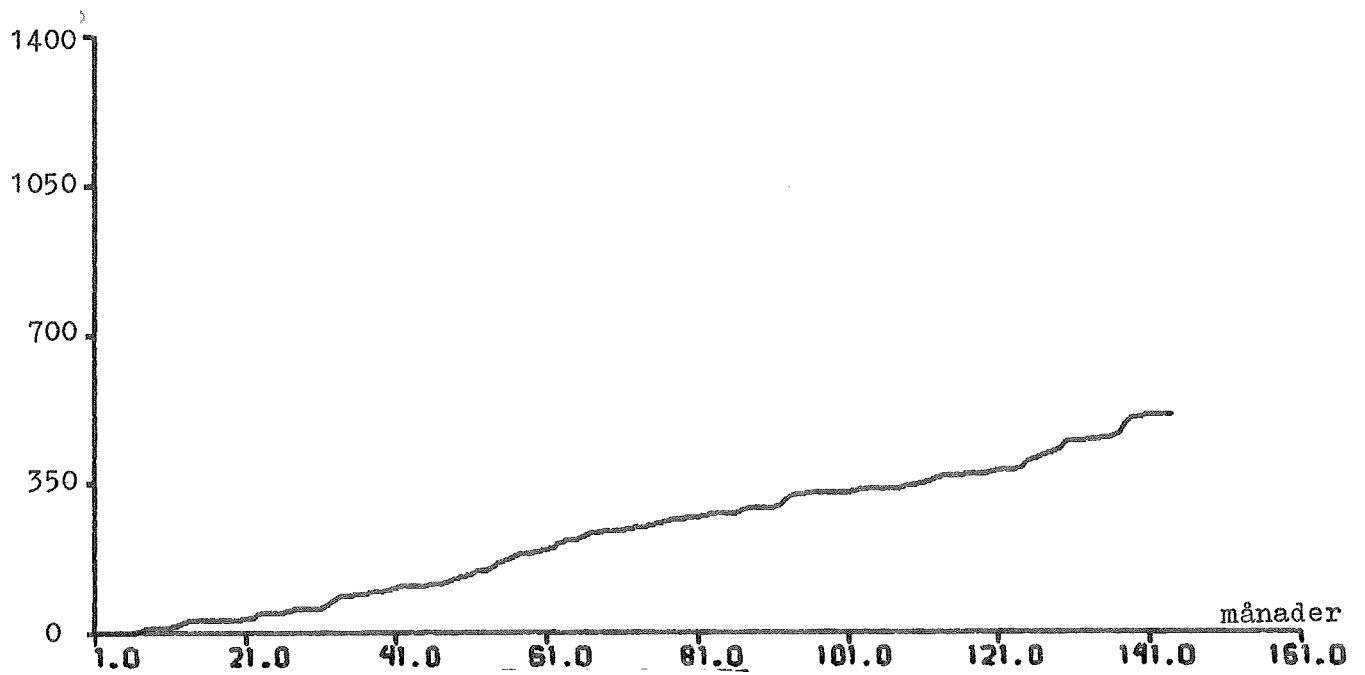


Fig. 8.14 Summa prediktionsfel i kvadrat av data enligt metod 1 med minimalvariansprediktion med $k=1$.

Metod 2 Identifiera trend och svängning och därefter görs mini-
malvariansprediktion

Från metod 1 framgick att det fanns en nivå och av figur 8.10 framgick det att det fanns en tolv månaderssvängning. Parametrarna för dessa bestämdes i dataprogrammet MINKO (se appendix A2).

Funktionens utseende blev

$$20.01 + 10.01 \sin\left(\frac{2\pi \cdot t}{12}\right) + 0.08 \cos\left(\frac{2\pi \cdot t}{12}\right)$$

Denna funktion dras ifrån den genererade dataserien och återstoden visas i figur 8.15. Kovariansfunktionen för residualerna över dessa data framgår av figur 8.16.

På de data som visades i figur 8.15 gjordes en 1:a, 2:a och 3:e ordningens ML-identifiering (Se appendix A8).

P.s.s. som i metod 1 gjordes m.h.a. hypotestest en undersökning, om någon signifikant förbättring i modellerna erhöles, då ordningen ökades. Även här utnyttjades förlustfunktionen vid utförandet av testen.

Sammanfattning av hypotestesten:

<u>Ordn. (i)</u>	<u>Förlustfunktionen (V_i)</u>
1	87.77
2	42.07
3	41.92

Steget för förlustfunktionen Testkvantitet Tabellerat värde

1 → 2	49.8	3.10
2 → 3	1.4	3.10

Andra ordningens modell valdes, eftersom ingen signifikant förbättring erhöles för steget för förlustfunktionen från 2:a till 3:e ordningens modell.

Kovariansfunktionen för residualerna till modellen framgår av figur 8.17.

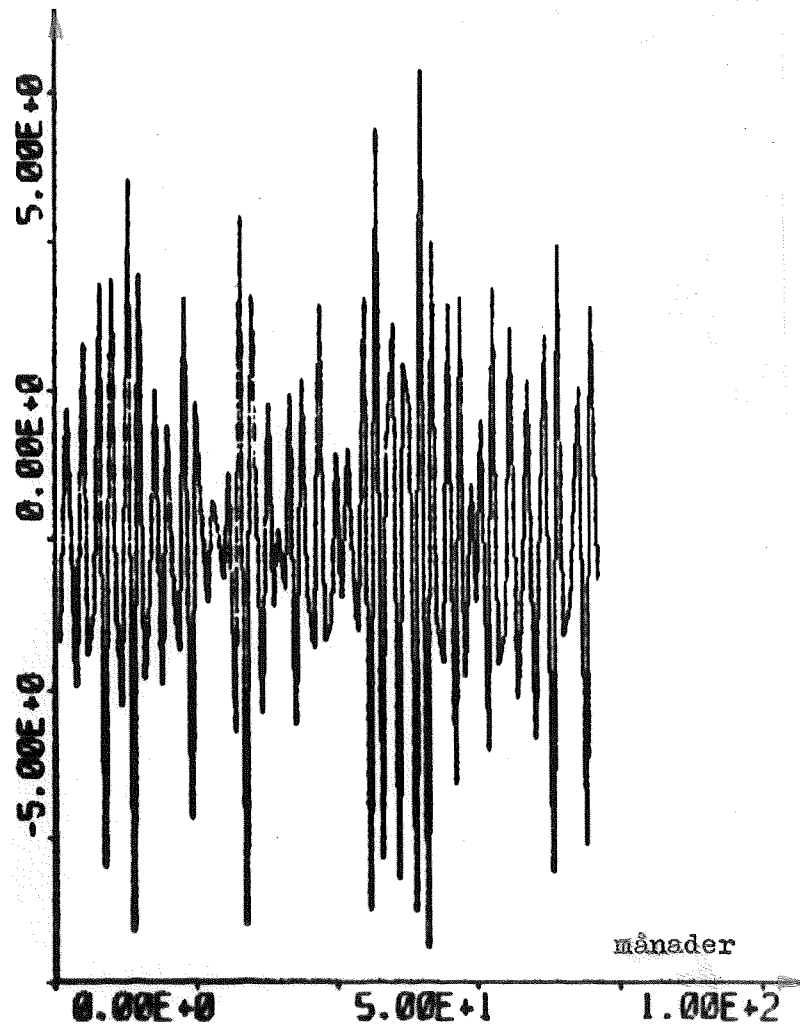


Fig. 8.15 Data som ligger till grund för ML-identifiering enligt metod 2.

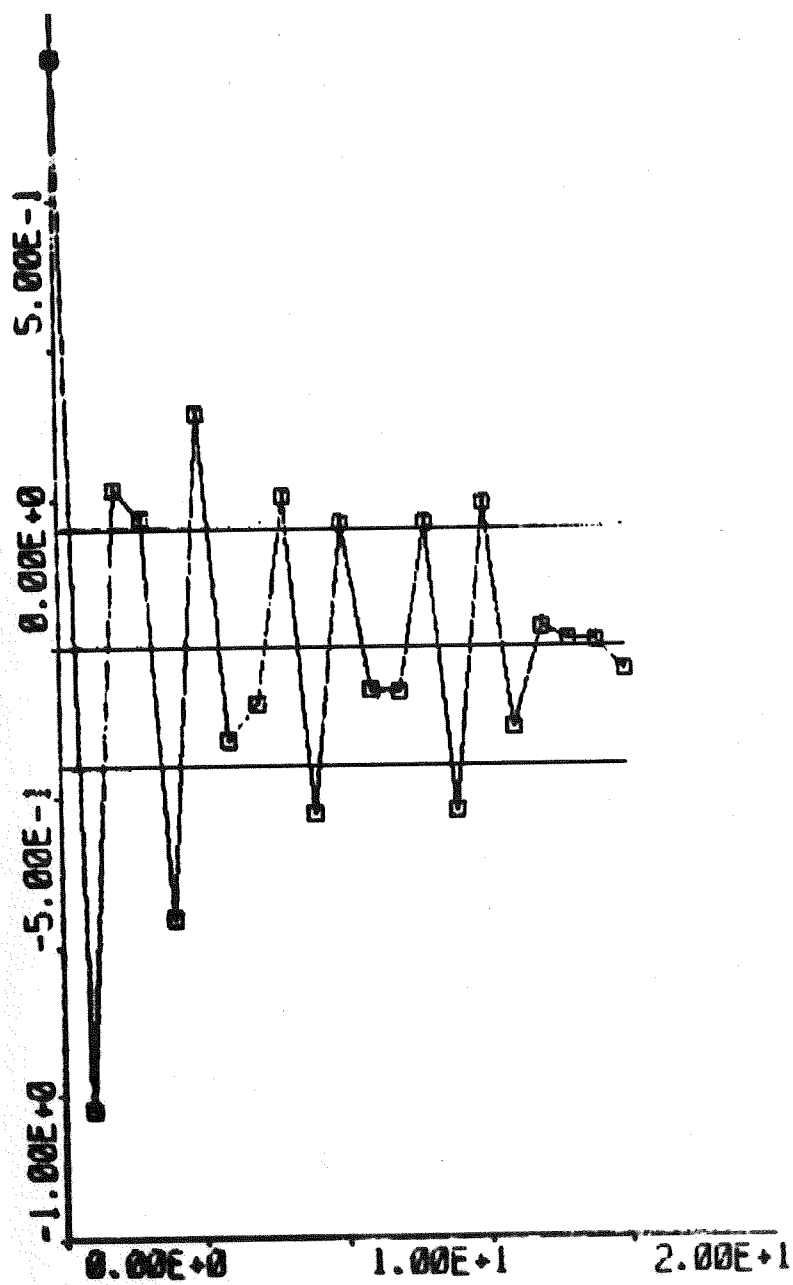


Fig. 8.16 Kovariansfunktionen för residualerna för indata.

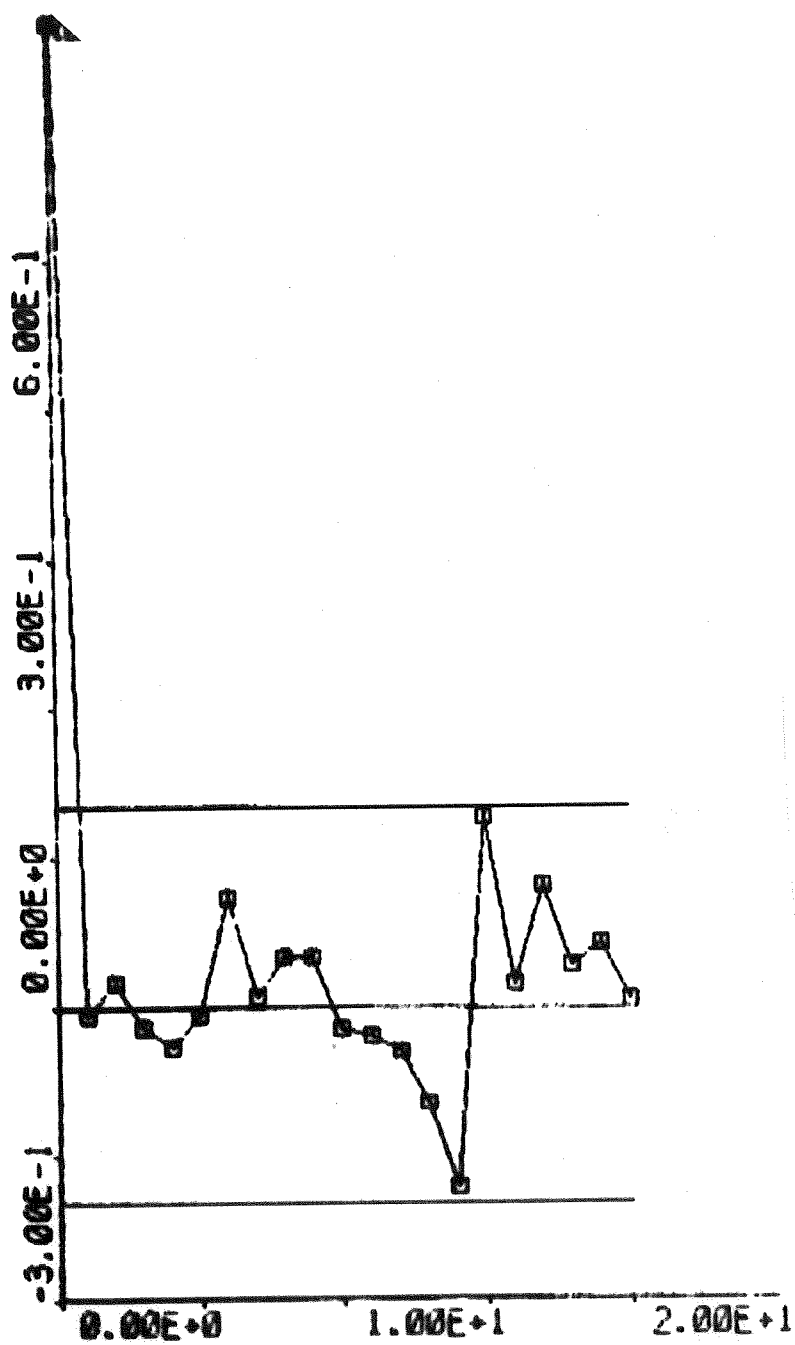


Fig. 8.17 Kovariansfunktionen för residualerna till 2:a ordningens modell.

Modellen fick utseendet

$$y(t) \left[1 + 1.26q^{-1} + 0.74q^{-2} \right] = 0.94 \left[1 - 0.72q^{-1} + 0.17q^{-2} \right] e(t)$$

Vid kontroll av modellens poler, då 12-månaderssvängningen dragits ifrån, konstaterades att endast 8-månaderssvängningen från det dynamiska bruset återstod.

Genom identifiering (se kapitel 3.4) blev F^* och G^* -polynomen för olika prediktionssteglängder, k .

$$\begin{aligned} \underline{k=1} \quad F^*(q^{-1}) &= 1 \\ G^*(q^{-1}) &= -1.98 - 0.57q^{-1} \end{aligned}$$

$$\begin{aligned} \underline{k=2} \quad F^*(q^{-1}) &= 1 - 1.98q^{-1} \\ G^*(q^{-1}) &= 1.94 + 1.46q^{-1} \end{aligned}$$

$$\begin{aligned} \underline{k=3} \quad F^*(q^{-1}) &= 1 - 1.98q^{-1} + 1.94q^{-2} \\ G^*(q^{-1}) &= -0.99 - 1.43q^{-1} \end{aligned}$$

$$\begin{aligned} \underline{k=6} \quad F^*(q^{-1}) &= 1 - 1.98q^{-1} + 1.94q^{-2} - 0.99q^{-3} - 0.17q^{-4} + 0.95q^{-5} \\ G^*(q^{-1}) &= -1.07 - 0.70q^{-1} \end{aligned}$$

$$\begin{aligned} \underline{k=12} \quad F^*(q^{-1}) &= 1 - 1.98q^{-1} + 1.94q^{-2} - 0.99q^{-3} - 0.17q^{-4} + 0.95q^{-5} - \\ &\quad - 1.07q^{-6} + 0.66q^{-7} - 0.07q^{-8} - 0.43q^{-9} + 0.57q^{-10} - \\ &\quad - 0.41q^{-11} \\ G^*(q^{-1}) &= 0.10 + 0.30q^{-1} \end{aligned}$$

Följande värden på varians och medelfel erhöles:

<u>k</u>	<u>Medelfel</u>	<u>Varians</u>	<u>Förväntad varians</u>	$\frac{\sum_{i=k+4}^{96} (x_i - \hat{x}_i)^2}{92-k}$
1	-0.93	1.01	0.88	0.88
2	0.04	4.88	4.35	4.67
3	-0.05	8.14	7.67	8.10
6	-0.06	9.69	9.36	9.63
12	0.01	10.72	10.35	10.05

För prediktionssteget, $k=1$ månad visas, prediktionen, prediktionsfelet och summa prediktionsfel i kvadrat, i figurerna 8.18 - 8.20.

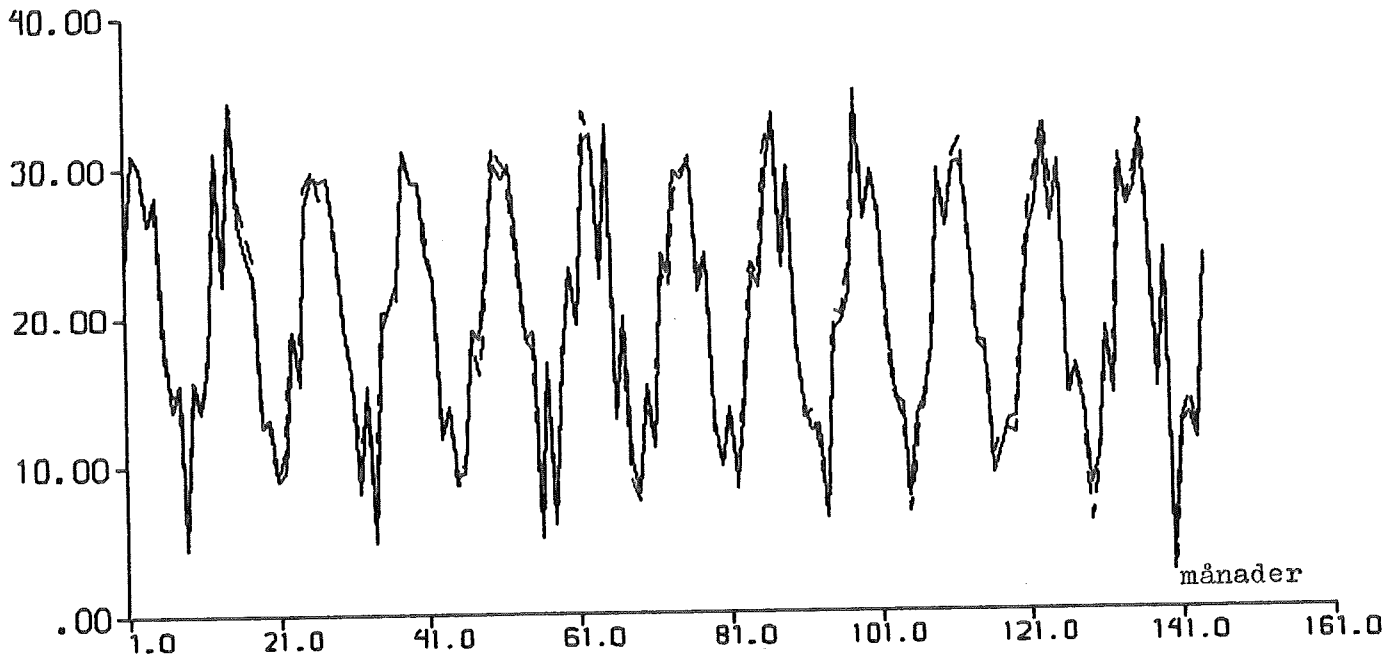


Fig. 8.18 Prediktionen av data enligt metod 2 med minimalvariansprediktion med $k=1$. ----- = prediktionen.

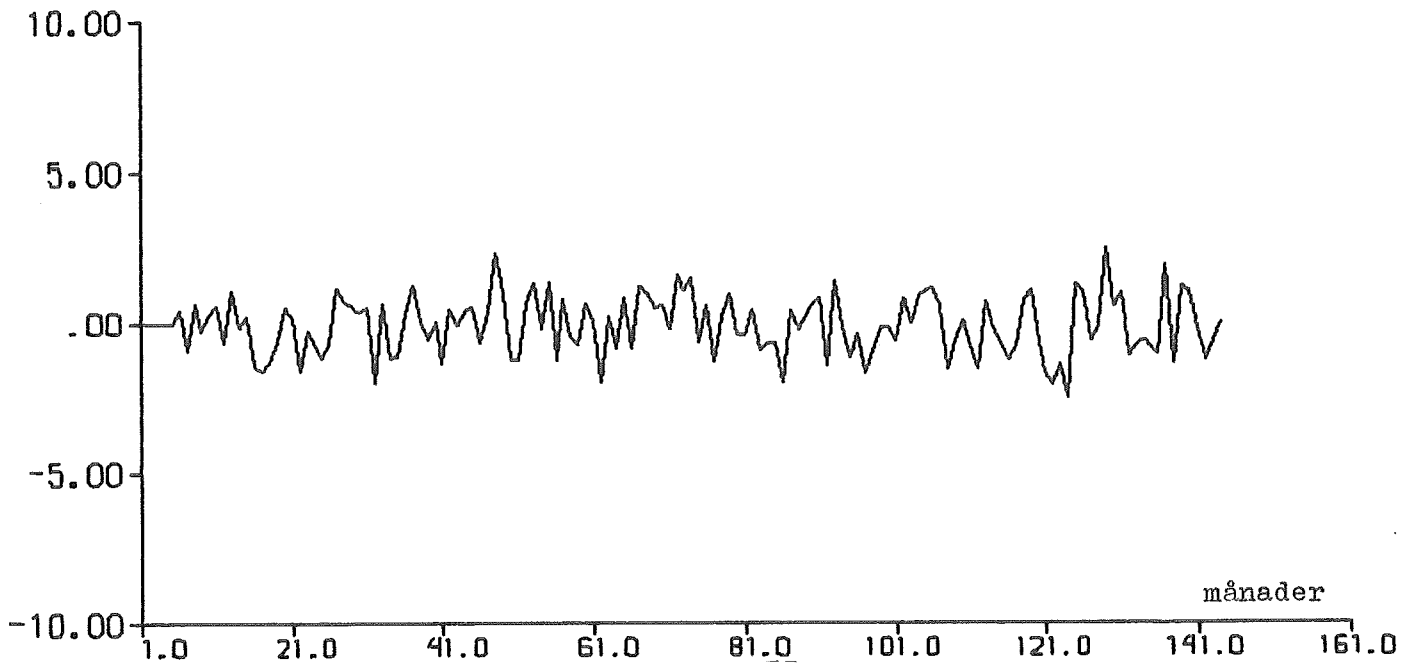


Fig. 8.19 Prediktionsfelet vid prediktion av data enligt metod 2 med minimalvariansprediktion med $k=1$.

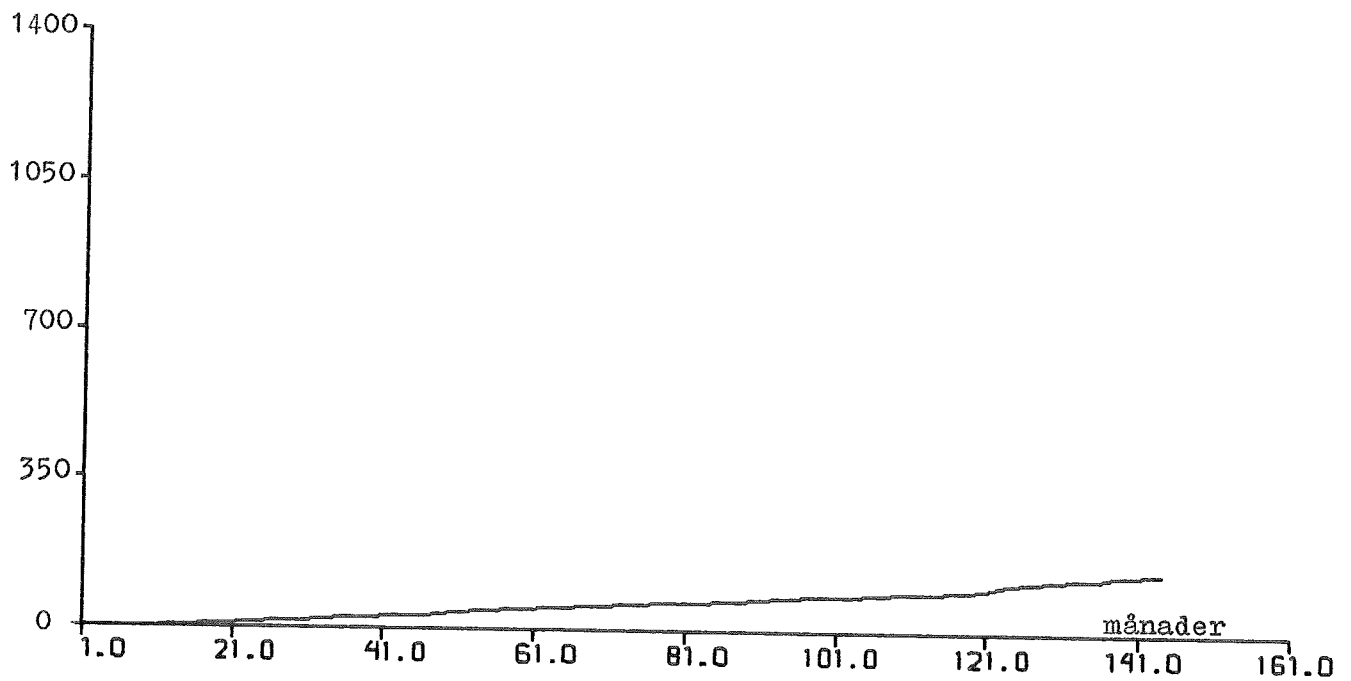


Fig. 8.20 Summa prediktionsfel i kvadrat vid prediktion av data enligt metod 2 med minimalvariansprediktion med $k=1$.

Den kända delens komplexitet

Den bästa variansen fås då den kända delen dras ifrån innan ML-identifiering och minimalvariansprediktion görs. Vid minimalvariansprediktion av Flygdata efter trendavdragning / 2 / erhöles, med prediktionssteget en månad, variansen 599.5 och vid prediktion med känd del frändragen erhöles, för samma prediktionsstegslängd, variansen 599.8. Dock bör påpekås att modell i / 2 / är byggd på 132 data, medan den senare metodens modell är baserad på 96 data. Om den förra modellen / 2 / vore byggd på samma antal data, skulle dess varians bli större, varför iakttagelsen vid predikteringen ovan av genererade data, antagligen även gäller för verkliga data.

Allmänt bör gälla, att man bör dra av så mycket som möjligt, av den kunskap om datas utseende, som man kan.

9. SAMMANFATTNING AV PREDIKTIONSRISULTATET FÖR DE OLIKA DATA-SERIERNÄ

För varje dataserie redovisas resultaten på varians och medelfel för de olika prediktionsmetoderna. Dessutom kommer vi att kommentera hur strukturella förändringar och steg påverkar prediktionen.

9.1 Företagsdata

Resultaten för de olika prediktionsmetoderna framgår av tabell 28.

TABELL 28

Glidande medelvärde

N = antalet data vid prediktion.

	<u>k=1</u>		<u>k=6</u>	
	<u>VARIANS</u>	<u>MEDELFEI</u>	<u>VARIANS</u>	<u>MEDELFEI</u>
Variansminimum (N=5)	$11.3 \cdot 10^6$	700.2	$11.7 \cdot 10^6$	1330.1
Medelfelsminimum (N=20)	$11.8 \cdot 10^6$	394.9	$12.0 \cdot 10^6$	1022.5

Exponentiell utjämning

α_i = utjämningskoefficienten för prediktionssteglängden, k=i

<u>Enkel</u>	<u>k=1</u>		<u>k=6</u>	
	<u>VARIANS</u>	<u>MEDELFEI</u>	<u>VARIANS</u>	<u>MEDELFEI</u>
Medelfelsminimum o. Variansminimum ($\alpha_1 = \alpha_6 = 0.17$)	$11.3 \cdot 10^6$	666.9	$11.1 \cdot 10^6$	1279.0
<u>Dubbel</u>				
Variansminimum ($\alpha_1 = 0.04, \alpha_6 = 0.05$)	$10.7 \cdot 10^6$	681.8	$10.8 \cdot 10^6$	828.6
Medelfelsminimum ($\alpha_1 = \alpha_6 = 0.17$)	$12.7 \cdot 10^6$	82.8	$11.7 \cdot 10^6$	283.0

Generell exponentiell utjämningOkorrigerade data

β_i = viktfaktorn för prediktionssteget, $k=i$.

	<u>k=1</u>		<u>k=6</u>	
	<u>VARIANS</u>	<u>MEDELFEJ</u>	<u>VARIANS</u>	<u>MEDELFEJ</u>
Variansminimum ($\beta_1=0.94, \beta_6=0.97$)	$7.7 \cdot 10^6$	-28.5	$12.1 \cdot 10^6$	305.42
Medelfelsminimum ($\beta_1=0.94, \beta_6=0.91$)	$7.7 \cdot 10^6$	-28.5	$18.8 \cdot 10^6$	9.3

Korrigerade data, där julivärdet = junivärdet.

Variansminimum ($\beta_1=0.94, \beta_6=0.97$)	$1.7 \cdot 10^6$	-49.0	$4.4 \cdot 10^6$	208.8
Medelfelsminimum ($\beta_1=\beta_6=0.94$)	$1.7 \cdot 10^6$	-49.0	$4.7 \cdot 10^6$	20.5

Heuristisk metod

α_i = utjämningsfaktorn på säsongsprediktionen för prediktionssteget, $k=i$.

	<u>k=1</u>		<u>k=6</u>	
	<u>VARIANS</u>	<u>MEDELFEJ</u>	<u>VARIANS</u>	<u>MEDELFEJ</u>
Variansminimum ($\alpha_1=0.95, \alpha_6=0.85$)	$4.7 \cdot 10^6$	1358.7	$4.7 \cdot 10^6$	813.3
Medelfelsminimum ($\alpha_1=0.95, \alpha_6=0.95$)	$4.7 \cdot 10^6$	1358.7	$4.7 \cdot 10^6$	808.3

Av tabell 28 framgår det om man med okorrigerade företagsdata önskar prediktera för att erhålla minsta varians, skall heuristiska metoden väljas och om minsta medelfel önskas, skall generell exponentiell utjämning väljas.

Vid korrigerade företagsdata skall generell exponentiell utjämning väljas vid båda tillfällena.

Eftersom prediktering med generell exponentiell utjämning på korrigerade företagsdata har lägre värden på varians och medelfel, bör denna prediktionsmetod väljas och avvikande månad predikteras för sig själv med enkel exponentiell utjämning.

De prediktionsmetoder som kan svara mot förändringar i data (adaptiva metoder) är de som har lägsta varians. Av de metoder som vi har studerat, har den heuristiska metoden och den generella exponentiella utjämningen i någon mån denna egenskap.

9.2 Flygdata

Resultaten för de olika prediktionsmetoderna framgår av tabell 29.

TABELL 29

Glidande medelvärde

N_i = antalet data vid prediktion, för prediktionssteglängden, $k=i$.

	<u>k=2</u>		<u>k=6</u>	
	<u>VARIANS</u>	<u>MEDELFEL</u>	<u>VARIANS</u>	<u>MEDELFEL</u>
Variansminimum ($N_2=15, N_6=10$)	2254.0	27.9	1920.0	27.4
Medelfelsminimum ($N_2=2, N_6=10$)	2989.0	5.2	1920.0	27.4

Exponentiell utjämning

α_i = utjämningskoefficient för prediktionssteglängden, $k=i$.

<u>Enkel</u>	<u>k=2</u>		<u>k=6</u>	
	<u>VARIANS</u>	<u>MEDELFEL</u>	<u>VARIANS</u>	<u>MEDELFEL</u>
Variansminimum ($\alpha_2=0.10$)	2549.0	26.6	-	-
Medelfelsminimum ($\alpha_2=0.80$)	2696.0	4.6	-	-
<u>Dubbel</u>				
Variansminimum ($\alpha_2=0.05$)	2536.0	9.5	-	-
Medelfelsminimum ($\alpha_2=0.20$)	3985.0	-0.2	-	-

Minimalvariansprediktion

<u>k=1</u>		<u>k=2</u>		<u>k=6</u>	
<u>VARIANS</u>	<u>MEDELFEL</u>	<u>VARIANS</u>	<u>MEDELFEL</u>	<u>VARIANS</u>	<u>MEDELFEL</u>
599.5	-0.59	-	-	-	-

Minimalvariansprediktion med känd del fråndragen

<u>k=1</u>		<u>k=2</u>		<u>k=6</u>	
<u>VARIANS</u>	<u>MEDELFEL</u>	<u>VARIANS</u>	<u>MEDELFEL</u>	<u>VARIANS</u>	<u>MEDELFEL</u>
599.8	-3.9	725.6	-5.9	807.3	-6.9

Generell exponentiell utjämning

β_i = viktfa β ktorn för prediktionssteglängden, $k=i$.

	<u>k=2</u>		<u>k=6</u>	
	<u>VARIANS</u>	<u>MEDELFEL</u>	<u>VARIANS</u>	<u>MEDELFEL</u>
Variansminimum				
($\beta_2=0.97, \beta_6=0.94$)	1027.1	-3.3	1164.3	-2.6
Medelfelsminimum				
($\beta_2=0.88, \beta_6=0.91$)	1239.0	-2.0	1222.4	-2.5

Heuristisk metod

α_i = utjämningsfaktorn på säsongsprediktering för prediktionssteglängden, $k=i$.

	<u>k=2</u>		<u>k=6</u>	
	<u>VARIANS</u>	<u>MEDELFEL</u>	<u>VARIANS</u>	<u>MEDELFEL</u>
Variansminimum				
($\alpha_2=0.95, \alpha_6=1.00$)	223.7	-2.3	274.1	-2.5
Medelfelsminimum				
($\alpha_2=0.45, \alpha_6=0.95$)	246.3	-2.2	283.3	-0.7

För dessa data, som har en stark säsongsv α riation, visar det sig att den heuristiska metoden ger minsta varians. Om minsta medelfel eftersträvas, är det likgiltigt vilken metod av de redovisade, som används, eftersom medelfelet för alla metoderna är mycket litet.

9.3 Skogsdata

Resultaten för de olika prediktionsmetoderna framgår av tabell 30.

TABELL 30

Glidande medelvärde

N_i = antal data vid prediktion

	<u>k=1</u>		<u>k=6</u>	
	<u>VARIANS</u>	<u>MEDELFEL</u>	<u>VARIANS</u>	<u>MEDELFEL</u>
Variansminimum				
($N=13$)	3828.0	25.2	-	-
Medelfelsminimum				
($N=10$)	4938.0	20.5	-	-

Exponentiell utjämning

α_i = utjämningskoefficienten för prediktionssteglängden, $k=i$.

Enkel

	<u>k=1</u>		<u>k=6</u>	
	<u>VARIANS</u>	<u>MEDELFEL</u>	<u>VARIANS</u>	<u>MEDELFEL</u>
Variansminimum				
($\alpha_1=0.10, \alpha_6=0.12$)	3973.0	35.3	4452.0	47.1
Medelfelsminimum				
($\alpha_1=0.15, \alpha_6=0.16$)	3984.0	24.4	4568.0	41.4

Dubbel

Variansminimum				
($\alpha_1=0.02, \alpha_6=0.12$)	4039.0	55.6	5763.0	1.9
Medelfelsminimum				
($\alpha_1=0.15, \alpha_6=0.12$)	4329.0	2.4	5763.0	1.9

Minimalvariansprediktion

	<u>k=1</u>		<u>k=6</u>	
	<u>VARIANS</u>	<u>MEDELFEL</u>	<u>VARIANS</u>	<u>MEDELFEL</u>
	3390.0	-5.6	5026.0	-8.4

Generell exponentiell utjämning

β_i = viktfaktorn för prediktionssteglängden, $k=i$.

	<u>k=1</u>		<u>k=6</u>	
	<u>VARIANS</u>	<u>MEDELFEJEL</u>	<u>VARIANS</u>	<u>MEDELFEJEL</u>
Variansminimum				
($\beta_1=0.91, \beta_6=0.97$)	1853.7	-4.1	3287.1	-0.3
Medelfelsminimum				
($\beta_1=0.97, \beta_6=0.97$)	2434.7	-0.1	3287.1	-0.3

På dessa data har inte den heuristiska metoden och inte heller minimalvariansprediktion med känd del frändragen testats och av de övriga, i tabell 30 redovisade prediktionsmetoderna, ger generell exponentiell utjämning minsta värde på varians och medelfel.

9.4 Kommentar

Av de av oss behandlade metoderna har det visat sig att data som innehåller mest slumpmässiga variationer, nämligen Företagsdata och Skogsdata, bör predikteras med generell exponentiell utjämning. De data som innehåller mest markanta säsongsvariationer, såsom Flygdata, bör predikteras med den heuristiska metoden. Generell exponentiell utjämning har visat sig vara arbetssam och tidskrävande och blir sämre ju längre fram i tiden man kommer. En metod som är lätt att utföra och som kräver liten tid vid prediktionsarbetet och som dessutom ger ett bra resultat, är den heuristiska metoden. Denna metod är därför fördelaktig att använda.

Det har visat sig att metoder som är adaptiva, är att föredra, då de ger lägre varians och medelfel. Av de av oss studerade prognosmetoderna, har den heuristiska metoden och den generella exponentiella utjämningen i någon mån denna egenskap.

En annan iakttagelse är att, om kunskap om datas speciella utseende byggs in i modellen, ger prediktionen låg varians och lågt medelfel.

Kunskapen kan byggas in på olika sätt. I den heuristiska metoden byggs denna kunskap, om datas utseende, in i modellen genom att datas profil över säsongen ej förändras med tiden.

Vid generell exponentiell utjämning tages de termer, ur fourierserien, som beskriver profilen, med som ger störst bidrag till profilen.

REFERENSER

1. Brown, R.G. Smoothing, Forecasting and Prediction of Discrete Time Series, Prentice-Hall, 1962.
2. Prognosmetoder, Projektarbete vid Institutionen för Reglerteknik, LTH, Rapport 7335 (C), 1973.
3. Åström, K.J. Introduction to Stochastic Control Theory, Academic Press, 1970.
4. Reichhelm, W. Möglichkeiten zur Beurteilung der kurzfristigen wirtschaftlichen Entwicklung in der Holzindustrie der Bundesrepublik Deutschland unter besonderer Berücksichtigung univariabler Modelle, Mitteilungen der Bundesforschungsanstalt für Forst- und Holzwirtschaft, Reinbeck bei Hamburg, Kommissionsverlag, Buchhandlung Max Wiedebusch, Hamburg, 1971.
5. Gustavsson, I. IDPAC, Users Guide, Report 7331, Lund Institute of Technology, Division of Automatic Control.
Selander, S. Wieslander, J.
6. Gustavsson, I. Parametric Identification of Time Series, Report 6803, Lund Institute of Technology, Division of Automatic Control.

APPENDIX A1Datagenereringsprogrammet GENE

Programmet behöver SUBROUTINERNA:

FILES - biblioteksprogram
 MNODI - biblioteksprogram
 AMP1 - innehåller störningens amplitudändring. (se nedan)
 AMP2 - innehåller svängningens amplitudändring. (se nedan)
 TREND - innehåller datas trend. (se nedan)

Variabler:

X(500) - vektor som innehåller genererade data.
 R(16,16) - kovariansfunktionsmatrisen för slumpalen.
 E(16) - vektor som innehåller slumpalen.
 FEL(512) - vektor som innehåller störningen.
 AA(10) - vektor som innehåller svängningarnas amplitud.
 T(10) - vektor som innehåller svängningarnas period.
 F(10) - vektor som innehåller svängningarnas fasförskjutning.
 IT(10) - vektor som innehåller information för inläsning på fil.
 VEC(1) - överför genererade data till fil.
 N - antal data.
 K - antal svängningar.
 IS - väljare, =1 vid inläsning.
 STEG - beloppet på ett eventuellt steg.
 ISTEK - tidpunkt då steget inträffar.
 C1,C2 - störningens trend.
 C3,C4 - svängningens trend.
 C5,C6 - basdatas trend.


```

001      C
002      C      DETTA PROGRAM GENERERAR DATA
003      C
004      C      LOGICAL LOG
005      C      DIMENSION AA(10),T(10),F(10),X(500),E(16),R(16,16),FEL(512),
006      C      6IT(10),VEC(1)
007      C      COMMON X
008      C      DO 500 JJ=1,16
009      C      DO 500 JK=1,16
010      C      500      R(JK,JJ)=0.0
011      C      DO 100 JJ=1,16
012      C      100      R(JJ,JJ)=1.0
013      C      WRITE(8,70)
014      C
015      C      N AR ANTALET DATA, K AR ANTALET SVANGNINGAR
016      C      OCH IS AR 1 VID INLASNING
017      C
018      C      70      FORMAT(' N=ANTAL DATA,K=ANTALET SVANGNINGAR',
019      C      6',IS=SWITCH=1=INLASNING')
020      C      I=1
021      C      N=RTTFF(I)
022      C      K=RTTFF(I)
023      C      IS=RTTFF(I)
024      C      IF(K.EQ.0) GO TO 1
025      C      WRITE(8,71)
026      C
027      C      SVANGNINGSPARAMETRARNA AA AR AMPLITUDEN, T AR
028      C      PERIODEN OCH F AR FASFORSKJUTNINGEN
029      C
030      C      71      FORMAT(' SVANGNINGSPARAMETRAR AA(I),T(I),F(I),I=1,K')
031      C      DO 200 JJ=1,K
032      C      AA(JJ)=RTTFF(I)
033      C      T(JJ)=RTTFF(I)
034      C      200      F(JJ)=RTTFF(I)
035      C      1      WRITE(8,72)
036      C
037      C      C1 C2 AR TREND PA STORNINGEN, C3 C4
038      C      AR TREND PA SVANGNINGEN OCH C5 C6 AR
039      C      TRENDEN PA BASDATA
040      C
041      C      72      FORMAT(' C1 C2 STORNINGENS TREND,C3 C4 SVANGNINGENS TREND',
042      C      6',C5 C6 TREND')
043      C      C1=RTTFF(I)
044      C      C2=RTTFF(I)
045      C      C3=RTTFF(I)
046      C      C4=RTTFF(I)
047      C      C5=RTTFF(I)
048      C      C6=RTTFF(I)
049      C      WRITE(8,73)
050      C
051      C      ETT STEG MED BELOPPET STEG INTRAFFAR VID TID-
052      C      PUNKTEN ISTEK
053      C
054      C      73      FORMAT(' STEK,ISTEK=TIDPUNKTEN')
055      C      STEK=RTTFF(I)
056      C      ISTEK=RTTFF(I)
057      C      NI=16
058      C      IA=16
059      C      NODD=19
060      C      ILOG=0
061      C      DO 50 I=1,N
062      C      50      X(I)=0
063      C

```

```

064 C GENERERING AV DATA
065 C
066 DO 10 I=1,N
067 IF(K.EQ.0) GOTO 12
068 DO 20 J=1,K
069 U=2.*3.1416*(FLOAT(I)-F(J))/T(J)
070 20 X(I)=X(I)+AA(J)*SIN(U)
071 CALL AMP2(Y,I,C3,C4)
072 X(I)=X(I)*Y
073 12 CALL TREND(2,I,C5,C6)
074 IF(I.LT.1STEG) GO TO 30
075 X(I)=X(I)+Z+STEG
076 GO TO 10
077 30 X(I)=X(I)+Z
078 10 CONTINUE
079 L=(N+15)/16
080 DO 7 IX=1,L
081 CALL MNODI(E,R,NI,IA,NODD,ILOG,IND)
082 IM=(IX-1)*16+1
083 IN=IM+15
084 DO 7 I=IM,IN
085 M=MOD(I-1,16)+1
086 7 FEL(I)=E(M)
087 DO 40 I=1,N
088 CALL AMP1(XX,I,C1,C2)
089 FEL(I)=FEL(I)*XX
090 40 X(I)=X(I)+FEL(I)
091 C
092 C UTSKRIFT AV DATAS UPPBYGGNAD
093 C
094 WRITE(6,956)N,K,C1,C2,C3,C4,C5,C6
095 956 FORMAT('1N=',I3/' K=',I2/' C1=',F10.5/' C2=',F10.5/
096 6' C3=',F10.5/' C4=',F10.5/' C5=',F10.5/
097 6' C6=',F10.5)
098 WRITE(6,600)K
099 600 FORMAT(10X,22HANTALET SVANGNINGAR K=,I1)
100 WRITE(6,700)(J,AA(J),F(J),T(J),J=1,K)
101 700 FORMAT(10X,17H SVANGNING NUMMER ,I1,2H =,F10.5,
102 614H*SIN(2*3.1416*,3H(I-,F10.5,2H)/,F10.5,1H))
103 WRITE(6,800)C5,C6
104 800 FORMAT(10X,'TREND =',F10.5,'+',F10.5,'*T')
105 WRITE(6,960)C1,C2,C3,C4
106 960 FORMAT(10X,'AMPLITUD 1 =',F10.5,'+',F10.5,'*T'/
107 610X,'AMPLITUD 2 =',F10.5,'+',F10.5,'*T')
108 WRITE(6,900)1STEG,STEG
109 900 FORMAT(10X,'ETT STEG INTRAFFAR VID T=',I3,4X,'STEGET=',
110 6F10.2)
111 WRITE(6,950)(I,X(I),I=1,N)
112 950 FORMAT(1H0,11X,1H1,11X,'X'/(10X,I3,6X,F8.2))
113 IF(15.NE.1) GO TO 955
114 WRITE(9,951)
115 C
116 C INLASNING KOMMER ATT SKE PA FILEN FNAM PA DK
117 C
118 951 FORMAT(' FNAM')
119 READ(8,952)FNAM
120 952 FORMAT(A5)
121 I=1
122 WRITE(8,957)
123 957 FORMAT(' IT-VEKTORN')
124 DO 953 J=1,10
125 953 IT(J)=RTTFF(I)
126 C
127 C FILEN LASES IN

```

```
128      C
129      CALL FILES('ENTER',2,IT,FNAM,'BIN',LOG)
130      NNR=1
131      DO 954 J=1,N
132      VEC(1)=X(J)
133      954  CALL FILDAT('WRITE',2,VEC,NNR)
134      CALL FILES('CLOSE',2,IT,FNAM,'BIN',LOG)
135      955  CONTINUE
136      STOP
137      END
```

```
001      SUBROUTINE AMP1(X,I,C1,C2)
002      XI=I
003      X=C1+C2*XI
004      RETURN
005      END
```

```
001      SUBROUTINE AMP2(Y,I,C3,C4)
002      YI=I
003      Y=C3+C4*YI
004      RETURN
005      END
```

```
001      SUBROUTINE TREND(Z,I,C5,C6)
002      ZI=I
003      Z=C5+C6*ZI
004      RETURN
005      END
```

APPENDIX A2Dataprogrammet MINKO

Programmet behöver SUBROUTINERNA:

FLEPO - biblioteksprogram (minimeringsprogram).
DOT - biblioteksprogram (FUNCTION till FLEPO).
UPDOT - biblioteksprogram (FUNCTION till FLEPO).
FU - FUNCTION till FLEPO. (se nedan)
SYMINV - biblioteksprogram (matrisinverteringsprogram).
FOGIX - SUBROUTINE till FLEPO. (se nedan)

Variabler:

X(500) - vektor som innehåller data.
H(210) - vektor som innehåller inverterade andraderivatan till förlustfunktionen.
A(20) - vektor som innehåller a-parametrarna.
AD(20,20) - matris som innehåller förlustfunktionens andraderivata.
IT(10) - vektor som innehåller information för läsning och inläsning av data på fil.
VEC(1) - överför data från eller till fil.
M - antal data.
N - antal a-startvärden.
EPS - iterationen håller på tills delta förlustfunktionen är mindre än EPS.
LIMIT - maximalt antal iterationer.
FNAM - namn på datafilen.

```

001      C
002      C      DETTA PROGRAM ANPASSAR EN FUNKTION TILL GIVNA
003      C      DATA ,SA ATT FORLUSTFUNKTIONEN MINIMERAS,
004      C      MED HJALP AV PROGRAMMET FLEPO.
005      C
006      C      INTEGER CONV
007      C      DIMENSION A(20),H(210),X(500),L(2),IT(10),VEC(1),AD(20,20)
008      C      COMMON X,L
009      C      EXTERNAL FOGIX
010      C      WRITE(8,1)
011      C
012      C      N AR ANTALET A-STARTVARDEN
013      C
014      1      FORMAT(' N=ANTAL A-STARTVARDEN')
015      C      I=1
016      C      N=RTTFF(I)
017      C      L(1)=N
018      C      WRITE(8,2)
019      2      FORMAT(' A-STARTVARDEN')
020      C      DO 3 J=1,N
021      C      I=1
022      3      A(J)=RTTFF(I)
023      C      WRITE(8,4)
024      C
025      C      ITERATIONEN HALLER PA TILLS DELTA FORLUSTFUNKTIONEN
026      C      AR MINDRE AN EPS.
027      C
028      4      FORMAT(' EPS')
029      C      I=1
030      C      EPS=RTTFF(I)
031      C      WRITE(8,5)
032      C
033      C      MAXIMALT ANTAL ITERATIONER
034      C
035      5      FORMAT(' ANTAL ITERATIONER')
036      C      I=1
037      C      LIMIT=RTTFF(I)
038      C      WRITE(8,11)
039      C
040      C      DATA LASES FRAN FILEN FNAM PA DT1
041      C
042      11      FORMAT(' FNAM')
043      C      READ(8,12)FNAM
044      12      FORMAT(A5)
045      C      WRITE(8,13)
046      13      FORMAT(' IT-VEKTORN')
047      C      DO 14 J=1,10
048      C      I=1
049      14      IT(J)=RTTFF(I)
050      C      CALL FILES('SEEK',3,IT,FNAM,'BIN',LOG)
051      C      IF(LOG) GO TO 15
052      C      WRITE(8,16)
053      16      FORMAT(' FILEN EJ FUNNEN')
054      15      WRITE(8,25)
055      C
056      C      M AR ANTALET DATA VID MINIMERING
057      C
058      25      FORMAT(' M=ANTAL DATA VID MINIMERING')
059      C      I=1
060      C      M=RTTFF(I)
061      C      L(2)=M
062      C      NNR=1
063      C      DO 17 J=1,M

```

```
064          CALL FILDAT('READ',3,VEC,NNR)
065      17      X(J)=VEC(1)
066          CALL FILES('CLOSE',3,IT,FNAM,'BIN',LOG)
067          LOADH=0
068      10      DO 20 I=1,N
069          DO 20 K=1,N
070      20      AD(I,K)=0.
071          II=0
072      C
073      C          ANDRADERIVATAN TILL FORLUSTFUNKTIONEN BERAKNAS
074      C
075          DO 18 I=1,N
076          DO 18 K=1,N
077          DO 18 J=1,M
078      18      AD(I,K)=2.*FU(I,J)*FU(K,J)+AD(I,K)
079      C
080      C          ANDRADERIVATMATRISEN INVERTERAS
081      C
082          CALL SYMINV(N,N,IFAIL,AD)
083          IF(IFAIL.EQ.0) GOTO 21
084          WRITE(6,22)
085      22      FORMAT(' INVERTERINGEN MISSLYCKADES')
086          GO TO 23
087      C
088      C          OVRE HOGRA DELEN AV MATRISEN , SOM INNEHALLER
089      C          INVERSEN TILL ANDRADERIVATAN, LAGRAS RADVIS I EN
090      C          VEKTOR H.
091      C
092      21      DO 24 I=1,N
093          LL=I
094          DO 24 K=LL,N
095              II=II+1
096      24      H(II)=AD(I,K)
097      C
098      C          FORLUSTFUNKTIONEN MINIMERAS
099      C
100          CALL FLEPO(N,A,F,EPS,CONV,LIMIT,H,LOADH,FOGIX)
101          WRITE(6,6)
102      6          FORMAT(5X,'A-PARAMETRARNA')
103          WRITE(6,7)(I,A(I),I=1,N)
104      7          FORMAT(/(7X,'A(',I2,')=',F20.4))
105          WRITE(6,8)
106      8          FORMAT(/5X,'FUNKTIONSVARDET')
107          WRITE(6,9)F
108      9          FORMAT(7X,'F=',F20.4)
109          IF(CONV.EQ.0) GO TO 10
110      23      CONTINUE
111          STOP
112          END
```

```
001      C
002      C      SUBROUTINE FOGIX(A,F,G) AR EN SUBROUTINE TILL
003      C      PROGRAMMET MINKO OCH BERAKNAR SUMMA AVVIKELSE
004      C      I KVADRAT SAMT FORLUSTFUNKTIONENS GRADIENT
005      C
006      C      A( )=A-KOEFFICIENTER
007      C      F=ACKUMULERAD AVVIKELSE I KVADRAT
008      C      G( )=FORLUSTFUNKTIONENS GRADIENT
009      C
010      C      SUBROUTINE FOGIX(A,F,G)
011      C      DIMENSION X(500),G(1),A(1),L(1)
012      C      COMMON X,L
013      C      N=L(1)
014      C      M=L(2)
015      C      F=0.
016      C      DO 8 J=1,20
017      8      G(J)=0.
018      C      DO 9 J=1,M
019      C      B=0.
020      C      DO 10 K=1,N
021      10      B=A(K)*FU(K,J)+B
022      C      F=(X(J)-B)*(X(J)-B)+F
023      C      DO 9 K=1,N
024      9      G(K)=- (X(J)-B)*2.*FU(K,J)+G(K)
025      C      RETURN
026      C      END
```



```
001      C
002      C      FUNCTION FU(I,J) AR FUNCTION TILL PROGRAMMET
003      C      MINKO
004      C
005      FUNCTION FU(I,J)
006      T=FLOAT(J)
007      IF(I,NE,1) GOTO 2
008      FU=1.
009      GOTO 1
010      2      IF(I,NE,2) GOTO 3
011      FU=T
012      GOTO 1
013      3      IF(I,NE,3) GOTO 4
014      FU=SIN(2.*3.1416*T/12.)
015      GOTO 1
016      4      IF(I,NE,4) GOTO 5
017      FU=COS(2.*3.1416*T/12.)
018      GOTO 1
019      5      IF(I,NE,5) GOTO 6
020      FU=SIN(2.*3.1416*T/6.)
021      GOTO 1
022      6      IF(I,NE,6) GOTO 7
023      FU=COS(2.*3.1416*T/6.)
024      GOTO 1
025      7      IF(I,NE,7) GOTO 8
026      FU=SIN(2.*3.1416*T/6.)
027      GOTO 1
028      8      IF(I,NE,8) GOTO 9
029      FU=COS(2.*3.1416*T/6.)
030      GOTO 1
031      9      IF(I,NE,9) GOTO 10
032      FU=COS(2.*3.1416*T/5.)
033      GOTO 1
034      10     IF(I,NE,10) GOTO 11
035      FU=SIN(2.*3.1416*T/7.)
036      GOTO 1
037      11     IF(I,NE,11) GOTO 12
038      FU=COS(2.*3.1416*T/7.)
039      GOTO 1
040      12     IF(I,NE,12) GOTO 13
041      FU=SIN(2.*3.1416*T/1.)
042      GOTO 1
043      13     IF(I,NE,13) GOTO 14
044      FU=COS(2.*3.1416*T/1.)
045      GOTO 1
046      14     CONTINUE
047      1      CONTINUE
048      RETURN
049      END
```

APPENDIX A3Dataprogrammet ALBER

Programmet behöver SUBROUTINEN:

FILES - biblioteksprogram

Variabler:

x(500) - vektor som innehåller data.
A(40) - vektor som innehåller a-parametrarna.
L(40,40) - L-matrisen.
AA(40) - vektor som innehåller svängningarnas amplitud.
T(40) - vektor som innehåller svängningarnas period.
F(40) - vektor som innehåller svängningarnas fasförskjutning.
P(6) - vektor som innehåller polynomkoefficienterna.
D(24) - vektor som innehåller autoregressionskoefficienterna.
IT(10) - vektor som innehåller information för läsning och in-
läsning på fil.
VEC(1) - vektor som överför data till eller från fil.
IS - väljare, =1 medför inläsning på fil.
IQ - väljare, =1 medför att andra a-parametrar kan väljas.
IPO - antal polynomkoefficienter.
IAS - antal svängningar.
IAAK - antal autoregressionskoefficienter.
C1,C2 - störningens trend.
C3,C4 - svängningens trend.
LL - antal a-parametrar som skall ändras.
FNAM - namn på datafil.

```

001      C
002      C      DETTA PROGRAM ANPASSAR A-KOEFFICIENTERNA OCH
003      C      BERAKNAR L-MATRISEN TILL GEXP, SAMT LASER IN
004      C      DESSA TILLSAMMANS MED DATA PA EN FIL
005      C
006      LOGICAL LOG
007      REAL L
008      DIMENSION A(40),P(6),AA(40),T(40),F(40),D(24),L(40,40),
009      6VEC(1),IT(10),X(500)
010      COMMON X,A,L
011      WRITE(8,79)
012      C
013      C      IS LIKA MED 1 MEDFOR INLASNING PA FIL OCH
014      C      OM IQ AR LIKA MED 1 KAN ANDRA A-PARAMETRAR VALJAS
015      C
016      79      FORMAT(' IS=SWITCH.IS=1 MEDFOR INLASNING PA FIL'/
017      6' IQ=SWITCH. DA IQ=1 KAN ANDRA A-PARAMETRAR VALJAS')
018      I=1
019      IS=RTTFF(I)
020      IQ=RTTFF(I)
021      WRITE(8,80)
022      C
023      C      IPO AR ANTAL POLYNOMKOEFFICIENTER, IAS AR ANTAL
024      C      SVANGNINGAR OCH IAAK AR ANTAL AUTOREGRESIONS-
025      C      KOEFFICIENTER
026      C
027      80      FORMAT(' IPO,IAS,IAAK')
028      I=1
029      IPO=RTTFF(I)
030      IAS=RTTFF(I)
031      IAAK=RTTFF(I)
032      IF(IPO.EQ.0) GO TO 2
033      DO 1 J=1,6
034      1      P(J)=0
035      WRITE(8,81)
036      81      FORMAT(' POLYNOMKOEFFICIENTERNA P(I),I=1,IPO')
037      I=1
038      DO 101 J=1,IPO
039      101     P(J)=RTTFF(I)
040      2      IF(IAS.EQ.0) GO TO 3
041      WRITE(8,82)
042      C
043      C      SVANGNINGSPARAMETRARNA AA AR AMPLITUDEN, T AR
044      C      PERIODEN OCH F AR FASFOSKJUTNINGEN
045      C
046      82      FORMAT(' SVANGNINGSPARAMETRARNA AA(I),T(I),F(I),I=1,IAS')
047      I=1
048      DO 102 J=1,IAS
049      AA(J)=RTTFF(I)
050      T(J)=RTTFF(I)
051      102     F(J)=RTTFF(I)
052      3      IF(IAAK.EQ.0) GO TO 4
053      WRITE(8,83)
054      C
055      C      D AR AUTOREGRESIONSKOEFFICIENTERNA
056      C
057      83      FORMAT(' AUTOREGRESIONSKOEFFICIENTERNA D(I),I=1,IAAK')
058      I=1
059      DO 103 J=1,IAAK
060      103     D(J)=RTTFF(I)
061      4      WRITE(8,84)
062      C
063      C      C1 C2 AR TENDEN PA STORNINGEN, C3 C4 AR TENDEN PA

```

```

064 C SVANGNINGEN
065 C
066 84 FORMAT(' C1,C2 STORNINGENS TREND C3,C4 SVANGNINGENS TREND')
067 I=1
068 C1=RTTFF(I)
069 C2=RTTFF(I)
070 C3=RTTFF(I)
071 C4=RTTFF(I)
072 DO 38 I=1,40
073 DO 38 J=1,40
074 38 L(I,J)=0
075 I=0
076 I=0
077 WRITE(6,105)
078 105 FORMAT(1H1,10X,'FITTING FUNCTIONS'/)
079 IF(IPO.EQ.0) GO TO 23
080 C
081 C BERAKNING AV A-KOEFFICIENTERNA OCH DEN DEL AV
082 C L-MATRISEN SOM BEROR AV POLYNOMKOEFFICIENTERNA
083 C
084 A1=P(1)
085 A2=P(2)+P(3)+P(4)+P(5)+P(6)
086 A3=2.*P(3)+6.*P(4)+14.*P(5)+30.*P(6)
087 A4=6.*P(4)+36.*P(5)+150.*P(6)
088 A5=24.*P(5)+240.*P(6)
089 A6=120.*P(6)
090 IC=100.*A1
091 IF(IC.EQ.0) GO TO 5
092 I=I+1
093 A(I)=A1
094 L(1,1)=1.
095 WRITE(6,106)I
096 106 FORMAT(11X,'F',I2,'=1')
097 5 IF(IPO.EQ.1) GO TO 23
098 IC=1000.*A2
099 IF(IC.EQ.0) GO TO 7
100 I=I+1
101 A(I)=A2
102 DO 6 J=1,I
103 6 L(I,J)=1.
104 WRITE(6,107)I
105 107 FORMAT(11X,'F',I2,'=T')
106 7 IF(IPO.EQ.2) GO TO 23
107 IC=10000.*A3
108 IF(IC.EQ.0) GO TO 11
109 I=I+1
110 A(I)=A3
111 IF(I.EQ.1) GO TO 9
112 K=I-1
113 DO 8 J=K,I
114 8 L(I,J)=1.
115 GO TO 10
116 9 L(1,1)=1.
117 10 WRITE(6,108)I
118 108 FORMAT(11X,'F',I2,'=T*(T-1.)/2. ')
119 11 IF(IPO.EQ.3) GO TO 23
120 IC=10000.*A4
121 IF(IC.EQ.0) GO TO 15
122 I=I+1
123 A(I)=A4
124 IF(I.EQ.1) GO TO 13
125 K=I-1
126 DO 12 J=K,I
127 12 L(I,J)=1.

```

```

128          GO TO 14
129      13      L(1,1)=1,
130      14      WRITE(6,109)I
131      109     FORMAT(11X,'F',I2,'=T*(T-1.)*(T-2.)/2./3.')
```

132 15 IF(IPO.EQ.4) GO TO 23

133 IC=10000.*A5

134 IF(IC.EQ.0) GO TO 19

135 I=I+1

136 A(I)=A5

137 IF(I.EQ.1) GO TO 17

138 K=I-1

139 DO 16 J=K,I

140 16 L(I,J)=1,

141 GO TO 18

142 17 L(1,1)=1,

143 18 WRITE(6,110)I

144 110 FORMAT(11X,'F',I2,'=T*(T-1.)*(T-2.)*(T-3.)/2./3./4.')

145 19 IF(IPO.EQ.5) GO TO 23

146 IC=10000.*A6

147 IF(IC.EQ.0) GO TO 23

148 I=I+1

149 A(I)=A6

150 IF(I.EQ.1) GO TO 21

151 K=I-1

152 DO 20 J=K,I

153 20 L(I,J)=1,

154 GO TO 22

155 21 L(1,1)=1,

156 22 WRITE(6,111)I

157 111 FORMAT(11X,'F',I2,'=T*(T-1.)*(T-2.)*(T-3.)*(T-4.)',

158 6'/2./3./4./5.')

159 23 IF(IAS.EQ.0) GO TO 26

160 C

161 C BERAKNING AV A-KOEFFICIENTERNA OCH DEN DEL AV

162 C L-MATRISEN SOM BEROR AV SVANGNINGARNA

163 C

164 DO 25 K=1,IAS

165 X0=2.*3.14159265*F(K)/T(K)

166 X1=2.*3.14159265/T(K)

167 SX=SIN(X0)

168 CX=COS(X0)

169 SX1=SIN(X1)

170 CX1=COS(X1)

171 IC=100.*AA(K)*C3

172 IF(IC.EQ.0) GO TO 24

173 I=I+1

174 A(I)=AA(K)*C3*CX

175 WRITE(6,112)I,T(K)

176 112 FORMAT(11X,'F',I2,'=SIN(2.*3.1416*T/',

177 6F4.1,')')

178 I=I+1

179 A(I)=-AA(K)*C3*SX

180 WRITE(6,113)I,T(K)

181 113 FORMAT(11X,'F',I2,'=COS(2.*3.1416*T/',

182 6F4.1,')')

183 L(I-1,I-1)=CX1

184 L(I-1,I)=SX1

185 L(I,I-1)=-SX1

186 L(I,I)=CX1

187 II=1

188 24 IC=100.*AA(K)*C4

189 IF(IC.EQ.0) GO TO 25

190 I=I+1

191 A(I)=AA(K)*C4*CX

```

192      WRITE(6,114)I,T(K)
193      114      FORMAT(11X,'F',I2,'=T*SIN(2.*3,1416*T/',F4,1,')')
194      I=I+1
195      A(I)=-AA(K)*C4*SX
196      WRITE(6,115)I,T(K)
197      115      FORMAT(11X,'F',I2,'=T*COS(2.*3,1416*T/',F4,1,')')
198      L(I-1,I-1)=CX1
199      L(I-1,I)=SX1
200      L(I,I-1)=-SX1
201      L(I,I)=CX1
202      IF(I1,EQ,0) GO TO 26
203      L(I-1,I-3)=CX1
204      L(I-1,I-2)=SX1
205      L(I,I-3)=-SX1
206      L(I,I-2)=CX1
207      25      I1=0
208      26      IF(IAAK,EQ,0) GO TO 28
209      C
210      C      BERAKNING AV A-KOEFFICIENTERNA OCH DEN DEL AV
211      C      L-MATRISEN SOM BEROR AV AUTOREGRESIONSKOEFF-
212      C      FICIENTERNA
213      C
214      N=I
215      DO 27 J=1,IAAK
216      I=I+1
217      A(I)=D(J)
218      K=I-J+1
219      L(K,I)=D(J)
220      M=N+IAAK
221      IF((I+1).GT.M) GO TO 71
222      L(I+1,I)=1,
223      71      CONTINUE
224      27      WRITE(6,116)I,J
225      116      FORMAT(11X,'F',I2,'=X(T-',I2,')')
226      28      IF(IQ,NE,1) GO TO 50
227      JK=1
228      WRITE(8,72)
229      C
230      C      EVENTUELLA A-KORFFICIENTER SOM SKALL ANDRAS
231      C
232      72      FORMAT(' ANTAL A-PARAMETRAR SOM SKALL ANDRAS')
233      LL=RTTFF(JK)
234      WRITE(8,56)
235      56      FORMAT(' NUMMER      VARDE')
236      DO 70 K=1,LL
237      JK=1
238      J=RTTFF(JK)
239      U=RTTFF(JK)
240      70      A(J)=U
241      50      WRITE(6,117)(J,A(J),J=1,I)
242      117      FORMAT(1H0/(11X,'A',I2,'=',F15,8))
243      WRITE(6,118)
244      118      FORMAT(1H0/11X,'L-MATRISEN')
245      DO 29 J=1,I
246      29      WRITE(6,119)(L(J,K),K=1,I)
247      119      FORMAT(1X,10F12.8/(13X,9F12.8))
248      IF(IS,NE,1) GO TO 44
249      C
250      C      DATA LASES FRAN FILEN FNAM PA DK
251      C
252      WRITE(9,130)
253      130      FORMAT(' GAMMALT FNAM')
254      READ(8,131)FNAM
255      131      FORMAT(A5)

```

```

256          WRITE(9,132)
257      132    FORMAT(' IT-VEKTORN TILL DEN GAMLA FILEN')
258          I=1
259          DO 45 J=1,10
260      45    IT(J)=RTTFF(I)
261          LOG=.FALSE.
262          CALL FILES('SEEK',2,IT,FNAM,'BIN',LOG)
263          IF(LOG) GO TO 135
264          WRITE(8,133)
265      133    FORMAT(' FILEN EJ FUNNEN')
266      135    NNR=1
267          M=IT(1)
268          DO 39 J=1,M
269          CALL FILDAT('READ',2,VEC,NNR)
270      39    X(J)=VEC(1)
271          CALL FILES('CLOSE',2,IT,FNAM,'BIN',LOG)
272          WRITE(8,49)
273      C
274      C      INLASNING AV DATA, A-KOEFFICIENTER OCH L-MATRIS
275      C      SKER PA FILEN FNAM PA DK
276      C
277      49    FORMAT(' NYTT FNAM')
278          READ(8,222)FNAM
279      222    FORMAT(A5)
280          WRITE(9,134)
281      134    FORMAT(' IT-VEKTORN TILL DEN NYA FILEN')
282          I=1
283          DO 40 J=1,10
284      40    IT(J)=RTTFF(I)
285          CALL FILES('ENTER',1,IT,FNAM,'BIN',LOG)
286          NNR=1
287          M=IT(8)
288          DO 41 J=1,M
289          VEC(1)=X(J)
290      41    CALL FILDAT('WRITE',1,VEC,NNR)
291          NNR=1
292          N=IT(9)
293          DO 42 J=1,N
294          DO 42 K=1,N
295          VEC(1)=L(K,J)
296      42    CALL FILDAT('WRITE',1,VEC,NNR)
297          NNR=1
298          N=IT(9)
299          DO 43 J=1,N
300          VEC(1)=A(J)
301      43    CALL FILDAT('WRITE',1,VEC,NNR)
302          WRITE(6,46)(I,X(I),I=1,M)
303      46    FORMAT(/,10X,'DATA'/11X,'T          X(T)'/((11X,13,2X,F14.7))
304          WRITE(6,47)((J,I,L(J,I),J=1,N),I=1,N)
305      47    FORMAT(/,10X,'L-MATRISEN'/(11X,'L(',12,',',12,')=' ,F14.7))
306          WRITE(6,48)(I,A(I),I=1,N)
307      48    FORMAT(/,10X,'A-PARAMETRARNAN'/(11X,'A(',12,',')=' ,F14.7))
308          CALL FILES('CLOSE',1,IT,FNAM,'BIN',LOG)
309      44    CONTINUE
310          STOP
311          END

```

APPENDIX A4Dataprogrammet GEXP

Programmet behöver SUBROUTINERNA:

FILES - biblioteksprogram
 SYMINV - biblioteksprogram (matrisinverteringsprogram).
 FIT - SUBROUTINE till GEXP. (se nedan)
 RITA - SUBROUTINE.(se appendix A6.)

Variabler:

X(500) - vektor som innehåller data.
 XP(500) - vektor som innehåller prediktionen.
 F(20,20) - stabila tillståndsmatrisen och dess invers.
 L(20,20) - L-matrisen.
 A(20) - vektor som innehåller a-parametrarna.
 FEL1(500) - vektor som innehåller prediktionsfelet.
 FEL2(500) - vektor som innehåller summa prediktionsfel i kvadrat.
 H(20) - vektor som innehåller viktfaktorerna.
 IT(10) - vektor som innehåller information för läsning och in-
 läsning på fil.
 VEC(1) - vektor som överför data från fil.
 S(50) - vektor som innehåller data för konvergenstest.
 FNAM - namn på datafil.
 N - antal a-startvärden.
 M - antal data.
 IS - väljare, =1 medför uthoppur programmet.
 =2 medför fortsättning av programmet.
 IV - väljare, =1 om ny viktfaktor β , önskas.
 =2 om gammal viktfaktor β , vill behållas.
 JB - antal sparade värden för konvergenstest (mellan 1 och 50).
 IU - väljare, =1 ger utskrift.
 IRIIT - väljare, =0 medför ingen uppritning på displayen.
 =1 medför uppritning av verkliga data, X(),
 och prediktionen, XP() på displayen.
 =2 medför uppritning av verkliga data, X(),
 prediktionen, XP(), och prediktionsfelet,
 FEL1().

=3 medför uppritning av verkliga data, $X()$,
prediktionen, $XP()$, prediktionsfelet, $FEL1()$,
och summa prediktionsfel i kvadrat, $FEL2()$.

BETA - viktfaktor.
K - prediktionsstegets längd.
VAR - variansen.
FMED - medelfelet.
IAVS - antal värden per sida (bild) vid uppritning på displayen.

```

001      C
002      C      DETTA PROGRAM GOR EN PREDIKTION MED HJALP AV
003      C      GENERELL EXPONENTIELL UTJAMNING
004      C
005      LOGICAL LOG
006      REAL L
007      DIMENSION F(20,20),L(20,20),H(20),B(20),X(500),XP(500),
008      6A(20),S(50),FEL1(500),FEL2(500),VEC(1),IT(10),P(20)
009      COMMON L,X,A,F,H,B,XP,S,FEL1,FEL2,VEC,IT
010      WRITE(9,101)
011      101      FORMAT(' FNAM')
012      READ(8,102)FNAM
013      102      FORMAT(A5)
014      C
015      C      INLASNING AV DATA KOMMER ATT SKE FRAN FILEN FNAM PA DT1
016      C
017      WRITE(9,103)
018      103      FORMAT(' IT-VEKTORN')
019      I=1
020      DO 104 J=1,10
021      104      IT(J)=RTTFF(I)
022      LOG=.FALSE.
023      CALL FILES('SEEK',3,IT,FNAM,'BIN',LOG)
024      IF(LOG) GOTO 73
025      WRITE(9,105)
026      105      FORMAT(' FILEN EJ FUNNEN')
027      73      NNR=1
028      M=IT(8)
029      C
030      C      LASER IN DATA FRAN FILEN FNAM
031      C
032      DO 106 J=1,M
033      CALL FILDAT('READ',3,VEC,NNR)
034      106      X(J)=VEC(1)
035      N=IT(9)
036      C
037      C      LASER IN OVERFORINGSMATRISEN L FRAN FILEN FNAM
038      C
039      DO 107 J=1,N
040      DO 107 K=1,N
041      CALL FILDAT('READ',3,VEC,NNR)
042      107      L(K,J)=VEC(1)
043      C
044      C      LASER IN STARTKOEFFICIENTERNA I GEN.EXP.UTJ. FRAN FILEN FNAM
045      C
046      DO 108 J=1,N
047      CALL FILDAT('READ',3,VEC,NNR)
048      108      A(J)=VEC(1)
049      CALL FILES('CLOSE',3,IT,FNAM,'BIN',LOG)
050      DO 74 K=1,N
051      74      P(K)=A(K)
052      23      WRITE(8,71)
053      71      FORMAT(' IS=1=UTHOPP UR PROG.,IS=2 FORTS.,IV=1 VID NYTT BETA
054      6'IV=2 VID GAMMALT BETA')
055      I=1
056      IS=RTTFF(I)
057      IV=RTTFF(I)
058      C
059      C      M=ANTALET DATA      N=ANTALET KOEFFICIENTER I GEN.EXP.UTJ.
060      C      JB=ANTALET SPARADE VARDEN FOR KONVERGENSTEST (MELLAN
061      C      1 OCH 50)
062      C
063      WRITE(8,70)

```

```

064      70      FORMAT(' JB=ANTAL DATA I KONV.TEST, JU=1=UTSKRIFT, IRIT=0=EJ B
065      6/' IRIT=1=X,XP., IRIT=2=X,XP,FEL2., IRIT=3=X,XP,FEL2,FEL1')
066      I=1
067      JB=RTTFF(I)
068      IU=RTTFF(I)
069      IRIT=RTTFF(I)
070      C
071      C      IS, IV AR SWITCHAR . IS=1 AVSLUTAS PROGRAMMET. IS=2 FORT-
072      C      SATTET PROGRAMMET MED EFTERFOLJANDE SATS. IV=1 SKER
073      C      BERAKNING AV H(J). IV=2 SKER HOPP TILL PREDIKTIONSBERAK-
074      C      NINGEN.
075      C
076      GO TO(24,25),IS
077      25      WRITE(8,72)
078      72      FORMAT(' BETA,KSTEG=PRED.LANGD')
079      I=1
080      BETA=RTTFF(I)
081      KSTEG=RTTFF(I)
082      C
083      C      BETA=VIKTAL. KSTEG=PREDIKTIONSSTEGETS LANGD.
084      C
085      GO TO(21,22),IV
086      C
087      C      BERAKNINGEN AV F SOM AVSLUTAS NAR ALLA INGAENDE ELEMENT
088      C      AR MINDRE AN ETT VISST VARDE ELLER DA BERAKNINGSSLINGAN
089      C      GENOMLOPTS 10000 GANGER.
090      C
091      21      DO 11 J=1,N
092      DO 11 KK=J,N
093      DD=0.
094      BD=1.
095      WRITE(6,225)KK,J
096      225      FORMAT('/',11X,1H|,11X,2HF(.,12,1H.,.12,1H))
097      DO 3 I=1,10000
098      BD=BD*BETA
099      CALL FIT(J,-I,Y)
100      CALL FIT(KK,-I,Z)
101      D=BD*Y*Z
102      DD=DD+D
103      II=MOD(I,20)
104      IF(II.NE.0) GO TO 4
105      WRITE(6,230)I,DD
106      230      FORMAT(9X,15,3X,F14.2)
107      4      JT=JB-1
108      DO 52 JP=1,JT
109      JS=JB-JP+1
110      52      S(JS)=S(JS-1)
111      S(1)=ABS(DD)
112      IF(I.LT.JB) GO TO 3
113      SMAX=0.
114      DO 53 JP=1,JB
115      53      SMAX=AMAX1(SMAX,S(JP))
116      SMIN=SMAX
117      DO 54 JP=1,JB
118      54      SMIN=AMIN1(SMIN,S(JP))
119      TEST=SMAX/SMIN-1.
120      IF(TEST.LT.1.E-3) GO TO 77
121      3      CONTINUE
122      77      WRITE(6,230)I,DD
123      F(KK,J)=DD
124      11      F(J,KK)=DD
125      WRITE(6,235)
126      235      FORMAT('/',10X,10HF-MATRISEN)
127      DO 98 I=1,N

```

```

128      98      WRITE(6,240)(F(I,J),J=1,N)
129      240      FORMAT(11X,10F10.2/(21X,9F10.2))
130          IA=10
131      C
132      C      INVERTERAR F OCH LAGGER RESULTATET I F
133      C
134          CALL SYMINV(N,IA,IFAIL,F)
135          IF(IFAIL.NE.1) GO TO 99
136          WRITE(6,280)IFAIL
137      280      FORMAT(1H0,11X,'IFAIL=',I3,14H INVERTERINGEN,
138          633H MISSLYCKADES. KORNINGEN AVBRYTES)
139          GO TO 24
140      99      WRITE(6,245)
141      245      FORMAT(/,10X,'F-1-MATRISEN')
142          DO 97 I=1,N
143      97      WRITE(6,240)(F(I,J),J=1,N)
144          DO 13 I=1,N
145      13      H(I)=0
146      C
147      C      H(J) AR EN VEKTOR (VIKTVEKTOR) SOM VIKTAR FELETS BETYDELSE
148      C      VID BERAKNING AV DE NYA A-PARAMETRARNA.
149      C
150          DO 14 KK=1,N
151          DO 14 J=1,N
152          CALL FIT(KK,0,Y)
153      14      H(J)=F(J,KK)*Y+H(J)
154          WRITE(6,350)(H(J),J=1,N)
155      350      FORMAT(/,10X,4HH(J)/(11X,F14.6))
156      22      DO 76 K=1,N
157      76      A(K)=P(K)
158      75      WRITE(6,650)BETA
159      650      FORMAT(1H1,10X,'BETA=',F7.5)
160          IF(IU.NE.1) GOTO 65
161          WRITE(6,700)
162      700      FORMAT(/,1X,'TID      DATA
163          6'KOEFFICIENTER                                PREDIKTION',
164          6' PREDIKTIONS- SUM PREDIKTIONS-')
165          WRITE(6,800)KSTEG
166      800      FORMAT(3X,'T      X(T)      A1      A2      A3      A4      A5',
167          6'      A6      A7      A8      A9      A10  XP(T-',I2,
168          6')      FEL      FEL I KVADRAT')
169          WRITE(6,850)(A(J),J=1,N)
170      850      FORMAT(/15X,F9.2,9F7.2)
171      C
172      C      BERAKNING AV A-PARAMETRARNA
173      C
174      65      DO 27 K=1,M
175          XP(K)=0
176          FEL1(K)=0
177      27      FEL2(K)=0
178          IR=0
179          SUM=0
180          DO 26 I=1,M
181          IF(I.EQ.1) GO TO 78
182          C=0
183          DO 15 J=1,N
184      15      B(J)=0
185          DO 17 J=1,N
186          CALL FIT(J,1,Y)
187      17      C=A(J)*Y+C
188          E=X(I+1)-C
189          DO 18 J=1,N
190          DO 18 KK=1,N
191      18      B(J)=L(KK,J)*A(KK)+B(J)

```

```

192      DO 16 J=1,N
193      16      A(J)=B(J)+H(J)*E
194      C
195      C      BERAKNING AV PREDIKTIONEN
196      C
197      78      DO 20 KK=1,N
198      CALL FIT(KK,KSTEG,Y)
199      JJ=I+KSTEG
200      IF(JJ.GT,M) GO TO 26
201      20      XP(JJ)=A(KK)*Y+XP(JJ)
202      FEL1(JJ)=X(JJ)-XP(JJ)
203      IF(JJ.NE.1) GO TO 28
204      FEL2(JJ)=FEL1(JJ)**2
205      GO TO 29
206      28      FEL2(JJ)=FEL1(JJ)**2+FEL2(JJ-1)
207      29      SUM=SUM+FEL1(JJ)
208      IR=IR+1
209      IF(IU.NE.1) GOTO 26
210      WRITE(6,900)I,X(I),(A(IJ),IJ=1,10),XP(I),FEL1(I),FEL2(I)
211      900      FORMAT(2X,I3,1X,2F9.2,9F7.2,1X,F9.2,F9.2,F15.4)
212      IF(N.LE.10) GOTO 26
213      WRITE(6,901)(A(I),I=10,N)
214      901      FORMAT(15X,F9.2,9F7.2)
215      26      CONTINUE
216      C
217      C      BERAKNING AV VARIANS OCH MEDEFEL
218      C
219      VAR=(FEL2(M)-SUM**2/FLOAT(IR))/FLOAT(IR-1)
220      FMED=SUM/FLOAT(IR)
221      WRITE(6,950)KSTEG,VAR,FMED
222      950      FORMAT(/,10X,'PREDIKTIONSSTEG=',I2,5X,'VARIANS=',F20.7,
223      65X,'MEDEFEL=',F15.7)
224      IF(IRIT.EQ.0) GO TO 23
225      WRITE(8,64)
226      64      FORMAT(' IAVS=ANTAL VARDEN PER SIDA')
227      I=1
228      IAVS=RTTFF(I)
229      CALL RITA(X,XP,M,IAVS)
230      PAUSE 1
231      IF(IRIT.EQ.1) GOTO 23
232      CALL RITA(FEL2,FEL2,M,IAVS)
233      PAUSE 2
234      IF(IRIT.EQ.2) GOTO 23
235      CALL RITA(FEL1,FEL1,M,IAVS)
236      GO TO 23
237      24      CONTINUE
238      STOP
239      END

```

```
001      SUBROUTINE FIT(I,J,Y)
002      T=J
003      GOTO(1,2,3,4,5,6,7,8,9,10,11,12,13,14,15,16,17,18,19,20),I
004      1      Y=1.
005      GOTO 21
006      2      Y=T
007      GOTO 21
008      3      Y=T*(T-1.)/2.
009      GO TO 21
010      4      Y=SIN(2.*3.1416*T/12.)
011      GOTO 21
012      5      Y=COS(2.*3.1416*T/12.)
013      GOTO 21
014      6      Y=SIN(2.*3.1416*T/3.)
015      GOTO 21
016      7      Y=COS(2.*3.1416*T/3.)
017      GOTO 21
018      8      Y=SIN(2.*3.1416*T/6.)
019      GOTO 21
020      9      Y=COS(2.*3.1416*T/6.)
021      GOTO 21
022      10     Y=SIN(2.*3.1416*T/7.)
023      GOTO 21
024      11     Y=COS(2.*3.1416*T/7.)
025      12     CONTINUE
026      13     CONTINUE
027      14     CONTINUE
028      15     CONTINUE
029      16     CONTINUE
030      17     CONTINUE
031      18     CONTINUE
032      19     CONTINUE
033      20     CONTINUE
034      21     CONTINUE
035      RETURN
036      END
```

APPENDIX A5Dataprogrammet SKATT

Programmet behöver SUBROUTINERNA:

FILES - biblioteksprogram
RITA - (se appendix A6)

Variabler:

X(200) - vektor som innehåller data.
AX(200) - vektor som innehåller eventuellt korrigerade X-data.
XP(200) - vektor som innehåller prediktionen.
SUM(200) - vektor som innehåller **summan** av AX-data under perioden.
SUMP(200) - vektor som innehåller prediktionen av SUM.
FEL1(200) - vektor som innehåller prediktionsfel.
FEL2(200) - vektor som innehåller summa prediktionsfel i kvadrat.
N - antal data.
K - prediktionsstegets längd.
ALFA - utjämningsfaktor.
VAR - varians.
EMED - medelfelet ($X() - XP()$).
IAVS - antal värden per sida vid uppritning på display.
IGEN - väljare, =1 medför att programmet tas om från början.

```

001      C
002      C      DETTA PROGRAM GOR EN PREDIKTION ENLIGT DEN
003      C      HEURISTISKA METODEN
004      C
005      DIMENSION X(200),AX(200),XP(200),SUM(200),SUMP(200),FEL1(200)
006      6FEL2(200)
007      WRITE(8,1)
008      1      FORMAT(' N=ANTALET DATA')
009      C
010      C      N AR ANTALET DATA
011      C
012      I=1
013      N=RTTFF(I)
014      C
015      C      LASER IN DATA FRAN REMSA
016      C
017      READ(5,2)(X(I),I=1,N)
018      2      FORMAT(F14,5)
019      C
020      C      HAR KAN EN GODTYCKLIG FUNKTION DRAS IFRAN DATA
021      C
022      DO 3 I=1,N
023      3      AX(I)=X(I)
024      4      WRITE(8,5)
025      5      FORMAT(' K,ALFA')
026      C
027      C      K AR PREDIKTIONSSTEGETS LANGD
028      C      ALFA AR UTJAMNINGSFAKTOR
029      C
030      I=1
031      K=RTTFF(I)
032      ALFA=RTTFF(I)
033      L=N-K
034      DO 21 I=1,N
035      FEL1(I)=0.0
036      FEL2(I)=0.0
037      21      XP(I)=0.
038      C
039      C      PREDIKTIONEN BERAKNAS
040      C
041      6      DO 9 I=12,L
042      S=0.0
043      M=I-11
044      DO 7 J=M,I
045      7      S=AX(J)+S
046      SUM(I)=S
047      VIKT=AX(I-11+MOD(K-1,12))/SUM(I)
048      IF(I,GT,12) GOTO 8
049      S1I=SUM(I)
050      S2I=SUM(I)
051      8      B=1.-ALFA
052      S1I=ALFA*SUM(I)+B*S1I
053      S2I=ALFA*S1I+B*S2I
054      A=(ALFA/B)*(S1I-S2I)
055      XT=2.*S1I-S2I
056      SUMP(I+K)=XT+A*FLOAT(K)
057      C
058      C      OM GODTYCKLIG FUNKTION DRAGITS IFRAN DATA MASTE DEN
059      C      LAGGAS TILL HAR IGEN
060      C
061      9      XP(I+K)=VIKT*SUMP(I+K)
062      LL=12+K
063      SU=0.0

```



```
064          IR=0
065          C
066          C      BERAKNING AV VRIANS OCH MEDEFEL
067          C
068          DO 10 I=LL,N
069          FEL1(I)=X(I)-XP(I)
070          IF(I.NE.13) GOTO 11
071          FEL2(I)=FEL1(I)**2
072          GOTO 12
073          11      FEL2(I)=FEL1(I)**2+FEL2(I-1)
074          12      SU=SU+FEL1(I)
075          10      IR=IR+1
076          VAR=(FEL2(N)-SU**2/FLOAT(IR))/FLOAT(IR-1)
077          FMED=SU/FLOAT(IR)
078          WRITE(6,13)K,ALFA,VAR,FMED
079          13      FORMAT(/,10X,'PREDIKTIONSSTEG=',I2,5X,'ALFA=',F4,2,5X,'VARI
080          6F20.7,5X,'MEDEFEL=',F15.7)
081          IAVS=150
082          C
083          C      HAR UPPRITAS DATA PLUS PREDIKTION,PREDIKTIONSFEL
084          C      OCH SUMMA PREDIKTIONSFEL I KVADRAT PA DISPLAYEN
085          C
086          CALL RITA(X,XP,N,IAVS)
087          PAUSE 1
088          CALL RITA(FEL2,FEL2,N,IAVS)
089          PAUSE 2
090          CALL RITA(FEL1,FEL1,N,IAVS)
091          15      WRITE(8,17)
092          17      FORMAT(' IGEN=1 IGEN')
093          I=1
094          IGEN=RTTFF(I)
095          IF(IGEN.EQ.1) GOTO 4
096          STOP
097          END
```

ANS='

APPENDIX A6

Dataprogrammet RITA, som ritar på displayen.

Programmet behöver SUBROUTINERNA:

MUNMAX - biblioteksprogram
SCALE - biblioteksprogram
AXIS - biblioteksprogram
LINE - biblioteksprogram

Variabler:

X(1) - den ena vektorn som skall uppritas.
XP(1) - den andra vektorn som skall uppritas.
M - antal data.
IAVS - antal värden per sida vid uppritning på displayen.

```

001      C
002      C      SUBROUTINE RITA(X,XP,M,IAVS) RITAR TVA KURVOR
003      C      PA DISPLAYEN
004      C
005      SUBROUTINE RITA(X,XP,M,IAVS)
006      DIMENSION X(1),XP(1),TID(600),IX(500),IXP(500),ITID(600)
007      ITT=1
008      CALL MINMAX(X(1),M,UMIN,UMAX,ITT)
009      CALL MINMAX(XP(1),M,UMIN,UMAX,ITT)
010      MM=(M-1)/IAVS+1
011      K=MM*IAVS
012      DO 61 I=1,K
013      61      TID(I)=I
014      DO 66 KL=1,MM
015      KF=(KL-1)*IAVS+1
016      KS=KL*IAVS
017      CALL SCALE(TID(KF),ITID(KF),IAVS,22.,TID(KF),TID(KS),SMINT,D
018      DO 68 J=KF,KS
019      68      ITID(J)=ITID(J)+50
020      IF(KL.EQ.MM) GOTO 63
021      CALL SCALE(X(KF),IX(KF),IAVS,17.,UMIN,UMAX,SMINX,DSX,0)
022      CALL SCALE(XP(KF),IXP(KF),IAVS,17.,UMIN,UMAX,SMINXP,DSXP,0)
023      DO 69 L=KF,KS
024      IX(L)=IX(L)+150
025      69      IXP(L)=IXP(L)+150
026      GOTO 64
027      63      NN=MOD(M-1,IAVS)+1
028      CALL SCALE(X(KF),IX(KF),NN,17.,UMIN,UMAX,SMINX,DSX,0)
029      CALL SCALE(XP(KF),IXP(KF),NN,17.,UMIN,UMAX,SMINXP,DSXP,0)
030      KNN=KF+NN
031      DO 70 L=KF,KNN
032      IX(L)=IX(L)+150
033      70      IXP(L)=IXP(L)+150
034      64      ASSIGN 1000 TO IFMT
035      1000      FORMAT(7HMANADER)
036      ASSIGN 2000 TO IFMU
037      2000      FORMAT(8HX=I,XP=*)
038      CALL AXIS(50,150,22.,IFMT,7,0.,SMINT,DST)
039      CALL AXIS(50,150,17.,IFMU,8,90.,SMINX,DSX)
040      IF(KL.EQ.MM) GOTO 65
041      CALL LINE(ITID(KF),IX(KF),IAVS,1,40,7)
042      CALL LINE(ITID(KF),IXP(KF),IAVS,1,40,5)
043      PAUSE 4
044      GOTO 66
045      65      CALL LINE(ITID(KF),IX(KF),NN,1,40,7)
046      CALL LINE(ITID(KF),IXP(KF),NN,1,40,5)
047      66      CONTINUE
048      RETURN
049      END

```

(ST,0)

APPENDIX A7Dataprogrammet MLDAT

Programmet behöver SUBROUTINERNA:

FILES - biblioteksprogram

Variabler:

X(500) - vektor som innehåller data.

IT(10) - vektor som innehåller information för senare inläsning
till fil.

N - antal data.

DETTA PROGRAM GENERERAR DATA UTAN BRUS

```
001      DIMENSION X(500), IT(10)
002      WRITE(8,1)
003      1      FORMAT(' N')
004      I=1
005      N=RTTFF(I)
006      DO 2 I=1,N
007      T=I
008      2      X(I)=118.7662+1.2320*T+0.0229*T*(T-1.)/2.
009      6-9.0959*SIN(2.*3.1416*T/12.)-29.4522*COS(2.*3.1416*T/12.)
010      WRITE(8,3)
011      3      FORMAT(' IT-VEKTORN')
012      I=1
013      DO 4 J=1,10
014      4      IT(J)=RTTFF(I)
015      WRITE(7,5)(IT(J),J=1,10),(X(M),M=1,N)
016      5      FORMAT(1X,16/1X,16/1X,16/1X,16/1X,16/1X,16/1X,16/
017      61X,16/1X,16/1X,16/(1X,F14.5))
018      STOP
019      END
```

APPENDIX A8

SAMMANFATTNING AV MAXIMUM LIKELIHOOD METODEN

ur K.Eklund: Linear drum boiler-turbine models

Rapport 7117, Nov. 1971

The identification problem is to estimate a number of unknown parameters in a model of known structure. The available information is a sequence of measured values of the input variable $\{u(t), t = 1, 2, \dots, N\}$ and the output variable $\{y(t), t = 1, \dots, N\}$ of the process under consideration. The sampling interval is fixed and normalized to 1.

Using the maximum likelihood method it is assumed that the process can be described by a linear model of n :th order and that the disturbance is a stationary gaussian process with rational power spectra. A general model under these assumptions is

$$A^*(q^{-1})y(t) = B_1^*(q^{-1})u(t) + \lambda C^*(q^{-1})e(t) \quad (2.1)$$

In eq. (2.1), $\{e(t)\}$ is a sequence of independent normal (0,1) random variables and q denotes the shift operator

$$qx(t) = x(t+1)$$

The polynomials A^* , B_1^* and C^* are defined as

$$\begin{aligned} A^*(z) &= 1 + a_1 z + \dots + a_n z^n \\ B_1^*(z) &= b_1 z + b_2 z^2 + \dots + b_n z^n \\ C^*(z) &= 1 + c_1 z + \dots + c_n z^n \end{aligned} \quad (2.2)$$

It is assumed that the polynomials $A(z) = z^n A^*(z^{-1})$ and $C(z) = z^n C^*(z^{-1})$ have all zeros inside the unit circle and that there are no factors in com-

mon to all polynomials $A(z)$, $B_1(z)$, $C(z)$.

The parameter λ in the model (2.1) controls the variance of the noise since $\text{var}[e(t)]$ is normalized to 1.

The problem is solved by establishing the maximum likelihood function for the estimation of the parameters

$$\theta^T = (a_1 \ a_2 \ \dots \ a_n \ b_1 \ \dots \ b_n \ c_1 \ \dots \ c_n)$$

and the parameter λ . The maximizing of the logarithm of the likelihood function

$$\log L(\theta, \lambda) = -\frac{1}{2\lambda} \sum_{t=1}^N \epsilon^2(t) - \frac{N}{2} \log \lambda - \frac{N}{2} \log 2\pi \quad (2.3)$$

is equivalent to minimizing the loss function

$$V(\theta) = \frac{1}{2} \sum_{t=1}^N \epsilon^2(t) \quad (2.4)$$

where the residuals $\epsilon(t)$ are obtained from

$$\hat{C}^*(q^{-1})\epsilon(t) = \hat{A}^*(q^{-1})y(t) - \hat{B}_1^*(q^{-1})u(t) \quad (2.5)$$

and \hat{A} , \hat{B}_1 and \hat{C} denotes the estimates of the polynomials A , B_1 and C . The estimation problem is thus equivalent to minimizing a function of several variables.

Knowing the estimate $\hat{\theta}$ and the minimal value $V(\hat{\theta})$ of the loss function the parameter λ is estimated as

$$\hat{\lambda}^2 = \frac{2}{N} V(\hat{\theta}) \quad (2.6)$$

It has been shown [52] that the maximum likelihood estimates are consistent, asymptotically normal and efficient under mild conditions.

The residuals $\epsilon(t)$ have a nice interpretation. It can be shown that the residuals equal the one-step ahead prediction error. Thus the maximum likelihood method tries to estimate the parameters of the model (2.1) in such a way that the sum of squared prediction errors is minimized.

An iterative technique is used to find the minimum of $V(\theta)$ and both the gradient V_{θ} and the matrix of second derivatives $V_{\theta\theta}$ are utilized in the recursive formula for improving the estimate $\hat{\theta}$. Apart from improving the rate of convergence the matrix $V_{\theta\theta}$ also gives the accuracy of the parameters since an estimate of the covariance matrix $\lambda^2 V_{\theta\theta}^{-1}$ then is available.

The order of the model is usually not known a priori. This problem is solved by repeated identification of the parameters in models of increasing order. A statistical test may then be applied to judge, if the loss function has decreased significantly, when model order is increased from n to $n+1$. Let V_i be the minimal value of the loss function for the i :th order model. The null hypothesis is that the model is of order n . Then the test variable

$$F_{n+1,n} = \frac{V_n - V_{n+1}}{V_{n+1}} \frac{N - 3(n+1)}{3} \quad (2.7)$$

has an $F[3, N - 3(n+1)]$ distribution under null hypothesis. When N is large $3F_{n+1,n}$ tends towards a χ^2 distribution with 3 degrees of freedom. Usually the risk level 5 % is used that is, if the test quantity is greater than 2.6 ($N > 100$) then the loss function has been decreased significantly and model order is at least $n+1$.

The material given above is somewhat simplified. The model (2.1) is easily extended to have more than one input. By shifting the time series $\{u(t), t = 1, \dots, N\}$ or $\{y(t), t = 1, \dots, N\}$ the model (2.1) can also be applied to processes where the $B_1^*(z)$ polynomial contains a constant term b_0 . In the same way processes described by the model

$$A^*(q^{-1})y(t) = B^*(q^{-1})u(t-k) + \lambda C^*(q^{-1})e(t) \quad (2.8)$$

where

$$B^*(z) = b_0 + b_1 z + \dots + b_n z^n = b_0 + B_1^*(z)$$

can be handled. The model can thus be extended to contain k time delays.